

MINISTERUL EDUCATIEI SI INVATAMINTULUI
INSTITUTUL POLITEHNIC "TRAIAN VUIA" TIMISOARA
FACULTATEA DE ELECTROTEHNICA

ing. IOAN ADRIAN VIOREL

INFLUENTA FORMEI CRESTATURILOR, NUMARULUI CRESTATURILOR
SI A REPARTITIEI INFASURARILOR ASUPRA PARAMETRILOR
MASINII DE INDUCTION SI CONSIDERAREA ACESTORA IN STUDIUL
FUNCTIONARII MASINII

Teză de doctorat

BIBLIOTECA CENTRALĂ
UNIVERSITATEA "POLITEHNICA"
TIMIȘOARA

CONDUCATOR STIINTIFIC
Prof.dr.ing. TOMA DORDEA

- 1978 -
TIMISOARA

348034
III F

C U P R I N S

LISTA PRINCIPALELOR NOTATII UTILIZATE	5
INTRODUCERE	9
CAPITOLUL 1.CIMPUL IN INTREFIER	13
1.1.Calculul permeanței echivalente a întrefierului	13
1.2.Cimpul produs de curentul statoric de frecvență rețelei	16
1.3.Cimpul produs de rotor,reacția primară	23
1.4.Cimpuri produse de reacțiile multiple	29
1.4.1.Zone în paralel fără legături de egalizare	29
1.4.2.Zone în paralel cu legături de egalizare	36
1.4.3.Zone în serie	38
1.4.4.Cazul particular cînd numărul de crestături rotoroice este un multiplu al numărului de poli ($Z_2/2p=\text{întreg}$).	40
1.4.5.Cazul particular cînd numărul de crestături rotoroice este un multiplu al numărului de perechi de poli ($Z_2/p=\text{întreg impar}$).	41
1.5.Mașina cu rotor bobinat	42
1.6.Amplitudinea și ordinul armonicilor	47
CAPITOLUL 2.INDUCTIVITATILE DE DISPERSIE	52
2.1.Dispersia părții de înfășurare plasată în crestătură	52
2.1.1.Permeanțele specifice ale crestăturii	53
2.1.2.Influența tipului de înfășurare asupra dispersiei crestăturii	59
2.1.3.Influența formei crestăturii asupra dispersiei crestăturii	62
2.2.Dispersia părții frontale a înfășurării	64
CAPITOLUL 3.ECUATIILE DE TENSIUNI SI CUPLURILE ELECTROMAGNETICE	69
3.1.Ecuațiile de tensiuni	69
3.1.1.Ecuațiile de tensiuni la mașina cu rotor în colivie și zonele înfășurării statorice conectate în paralel.	71
3.1.2.Ecuațiile de tensiuni la mașina cu rotor în colivie și zonele înfășurării statorice conectate în serie	74

3.1.3.Ecuatiile de tensiuni in cazul masinii cu rotor bobinat	76
3.2.Cuplurile electromagnetice	77
3.2.1.Calculul cuplurilor asincrone	83
3.2.2.Calculul cuplurilor sincrone	85
3.2.3.Calculul cuplurilor asincrone din bilantul puterilor	87
3.2.4.Cazul masinii cu rotor bobinat	88
CAPITOLUL 4.CONSIDERAREA SATURATIEI SI A PIERDERILOR IN FIER	90
4.1.Considerarea saturatiei circuitului magnetic	91
4.2.Considerarea pierderilor in fier	95
CAPITOLUL 5.REZULTATE DE CALCUL SI EXPERIMENTALE	99
5.1.Modelul matematic si programul de calcul	101
5.2.Rezultate de calcul	104
5.2.1.Caracteristica mecanica	105
5.2.2.Calculul pierderilor in fier	107
CONCLUZII	109
ANEXA 1.DATE SI CARACTERISTICI ALE MASINILOR INCERCATE	111
ANEXA 2.CALCULUL INDUCTIVITATILOR DE DISPERSIE	114
A2.1.Calculul permeanteelor specifice la crestaturi de forma trapezoidală	114
A2.2.Calculul permeantei specifice la crestatura ovală	120
A2.3.Definirea functiilor Bessel	121
A2.4.Program de calcul a inductivitatilor de dispersie ale partii frontale a infășurării	123
ANEXA 3.CALCULUL CARACTERISTICII MECANICE	125
A3.1.Program pentru calculul caracteristicii mecanice	125
A3.2.Descrierea programului	132
A3.3.Particularitati de operare si limbaj ale calculatorului HP 9820 A.	139
ANEXA 4.CARACTERISTICI MECANICE CALCULATE	150
ANEXA 5.PIERDERILE IN FIER CALCULATE	156
BIBLIOGRAFIE	158

LISTA PRINCIPALELOR NOTATII UTILIZATE

- a - constantă în expresia ordinului de armonică ν a solenajiei produsă de curentul statoric de frecvență rețelei ($a=0, \pm 1, \dots$).
- $\mu^\nu a_{R(x'_2,t)}$ - solenajia rezultantă rotorică armonică de ordinul μ , produsă de curentul rotoric de ordinul ν , scrisă față de o axă fixă în rotor, $x'_2 = 0$.
- $\mu^\nu a_{(Z)}$ - solenajia armonică de ordinul μ a ochiului (Z) rotoric, produsă de curentul rotoric de ordinul ν .
- $\mu^\nu a_{S(x_1,t)}$ - solenajia rezultantă statorică produsă de curentul de frecvență rețelei, scrisă față de o axă fixă în stator, $x_1 = 0$.
- \bar{A} - potentialul magnetic vector.
- b - constantă în expresia ordinului de armonică μ a solenajiei produsă de curentul rotoric de ordinul ν ($b=0, \pm 1, \dots$).
- b_0, b_{01}, b_{02} - deschiderea de creștere în general respectiv statoric rotorică în unitate de lungime
- \bar{B} - inducția magnetică.
- $\nu b_{S(x_1,t)}$ - inducția magnetică rezultantă în întrefier produsă de solenajia rezultantă statorică armonică de ordinul ν , scrisă față de o axă fixă în stator, $x_1 = 0$.
- $\nu b_{R(x'_2,t)}$ - inducția magnetică în întrefier produsă de solenajia rezultantă rotorică armonică de ordinul ν , scrisă față de o axă fixă în rotor, $x'_2 = 0$.
- c - constantă în expresia ordinului de armonică ξ a solenajiei produse de curenții armonici statorici ($c=0, \pm 1, \dots$)
- d - constantă în expresia ordinului de armonică ζ a solenajiei produse de curenții rotorici de ordinul ζ ($d=0, \pm 1, \dots$).
- D - diametrul mediu în întrefier.
- $\nu e_{\lambda,\varphi}$ - tensiunea electromotoare induată în zona φ a fazei λ statorică de cimpul armonică de ordinul ν .
- $\nu e_{(Z)}$ - tensiunea electromotoare induată în ochiul Z rotoric de cimpul armonică de ordinul ν .

- \bar{H} - intensitatea cîmpului magnetic.
- i - curent variabil în general.
- i_1, i_2 - inclinarea crestăturii statorice respectiv rotorice.
- $-b_{i_{\lambda,1}}$ - curentul din prima zonă a fazei λ statorice armonică de ordinul -b.
- $'i_{(Z)}$ - curentul din ochiul Z rotoric armonică de ordinul ν.
- I_1 - valoarea eficace a curentului de fază statoric de frecvența rețelei.
- $-b_{I_{1g}}$ - valoarea eficace a curentului statoric din zona ρ , armonică de ordinul -b.
- $'I_R$ - valoarea eficace a curentului de ochi rotoric armonică de ordinul ν.
- $'I_2$ - valoarea eficace a curentului de fază rotoric armonică de ordinul ν'.
- I_{lp} - valoarea eficace a curentului din înfășurarea fictivă statorică pentru considerarea pierderilor în fier.
- k, K - constante în general..
- k_c, k_{cl}, k_{c2} - factorul lui Carter cînd se consideră crestături pe ambele armături, respectiv numai pe stator, rotor.
- $'k_{w1}, 'k_{w2}$ - factorul de înfășurare statoric, respectiv rotoric, pentru armonica de ordinul ν.
- $'k_{q1}, 'k_{q2}$ - factorul de zonă statoric, respectiv rotoric, pentru armonica de ordinul ν.
- $'k_{y1}, 'k_{y2}$ - factorul de scurtare statoric, respectiv rotoric, pentru armonica de ordinul ν.
- $'k_{il}, 'k_{i2}$ - factorul de înclinare statoric, respectiv rotoric, pentru armonica de ordinul ν.
- $'k_{f1}, 'k_{f2}$ - coeficientul de formă a solenăției statorice, respectiv rotorice pentru o armonică de ordinul ν.
- $'k_{DS}, 'k_{DR}$ - factorul de deschidere statoric, respectiv rotoric pentru o armonică de ordinul ν.
- k_s, k_{sdc} - factorul de saturăție pentru înțefier, respectiv deschiderea de crestătură.
- L_{dc} - inductivitatea de dispersie a crestăturii în general.
- L_{d1q}, L_{d2q} - inductivitatea de dispersie a unei zone statorice, respectiv rotorice.
- L_{d1}, L_{d2} - inductivitatea de dispersie a unei faze statorice, respectiv rotorice.

- $L_{d2\sigma}, L_{db}, L_{di}$ - inductivitatea de dispersie a unui ochi, respectiv bară, porțiune de inel din rotor.
- L_{dlf}, L_{d2f} - inductivitatea de dispersie a părții frontale a înfășurării pentru o fază statorică, respectiv rotorică.
- $\mathbf{L}'_1, \mathbf{L}'_2$ - inductivitatea extinsă utilă a unei zone statorice respectiv rotorice, pentru o armonică de ordinul ν .
- $\mathbf{L}'_1, \mathbf{L}'_2$ - inductivitatea extinsă utilă a unei faze statorice respectiv rotorice pentru o armonică de ordinul ν .
- \mathbf{L}'_R - inductivitatea extinsă a unui ochi rotoric pentru o armonică de ordinul ν .
- l - lungimea mașinii.
- m_1, m_2 - numărul de faze statoric, respectiv rotoric.
- M'_{12} - inductivitatea de cuplaj extinsă stator-rotor corepunzătoare cîmpului armonică de ordinul ν .
- $M'_{21\beta}$ - inductivitatea de cuplaj extinsă rotor-zonă statorică corespunzătoare cîmpului armonică de ordinul ν .
- M - cuplu electromagnetic, în general.
- M_{as} - cuplul electromagnetic asincron rezultant.
- M_ν - cuplul electromagnetic asincron datorat armonicii de ordinul ν .
- M_{sin} - cuplul electromagnetic sincron.
- p - numărul de perechi de poli.
- P_{Fe1}, P_{Fe2} - pierderile în fierul statoric, respectiv rotoric.
- q_1, q_2 - numărul de creștături pe pol și fază a înfășurării statorice, respectiv rotorice.
- r - raza medie în întrefier.
- R_{1q}, R_{2q} - rezistența unei zone statorice, respectiv rotorice.
- R_1, R_2 - rezistența unei faze statorice, respectiv rotorice.
- $R_{2\sigma}, R_{2b}, R_{2i}$ - rezistența unui ochi, respectiv bară, porțiune de inel din rotor.
- R_{1pq} - rezistența unei zone a înfășurării fictive statorice pentru considerarea pierderilor în fier.
- s - alunecarea în general.
- $\dot{\gamma}_s$ - alunecarea corespunzătoare cîmpului rotoric de frecvență rețelei.
- s_b - numărul de spire inseriate într-o bobină.

t_1, t_2	-pasul dentar statoric,respectiv rotoric .
U_1	-tensiunea de fază statorică.
Z_1, Z_2	-numărul de crestături statoric,respectiv rotoric .
Z	-numărul unui ochi rotoric în general.
x, x_1, x_S	-sisteme de coordonate cu axe fixe în stator.
x_2, x'_2, x_R	-sisteme de coordonate cu axe fixe în rotor.
y, y_1, y_2	-pasul înfășurării în general,respectiv statoric, rotoric,în număr de crestături.
w_1, w_2	-numărul de spire inseriate pe fază statorică,respectiv rotorică.
α_{cl}, α_{c2}	-deschiderea crestăturii statorice,respectiv rotorice în radiani.
β_S, β_R	-unghiuri între axe de coordonate în stator,respectiv rotor.
$\delta, \delta', \delta''$	-întrefierul real,respectiv mărit cu factorul lui Carter și cu factorul de saturatie .
η_1, η_2	-înclinarea raportată a crestăturii statorice,respectiv rotorice ($\bar{J}_1/\eta_1 = i_1/D$).
$\nu, \mu, \epsilon, \sigma, \varphi$	-ordine de armonică.
$\lambda(x, t)$	-permeanță echivalentă variabilă a întrefierului .
λ_1, λ_2	-coeficienți în expresia permeanței echivalente variabile a întrefierului .
λ_c	-permeanță specifică a crestăturii .
φ_S, φ_R	-defazajul dintre tensiunea electromotoare indușă și curentul generat în elementul de bază statoric, respectiv rotoric.
φ_Z	-fluxul prin ochiul Z rotoric,armonică de ordinul v.
τ_1, τ_2	-pasul polar statoric,respectiv rotoric în număr de crestături.
ω_1	-pulsatia mărimilor rețelei.

I N T R O D U C E R E

Robustetea, siguranța în funcționare și simplitatea construc-
tivă în comparație cu celelalte tipuri de mașini electrice, au fă-
cut ca mașina de inducție să-și găsească o foarte largă răspîndire.
Dezvoltarea teoriei mașinii de inducție este o urmare firească a
necesității obținerii de performanțe tehnice și economice cît mai
bune în condițiile creșterii continue și rapide a numărului și pu-
terii mașinilor de inducție utilizate. Elaborarea unor metodici de
proiectare și verificările experimentale au contribuit de asemenea
la îmbunătățirea parametrilor funcționali. Saltul calitativ în
teoria mașinii de inducție, care vizează considerarea cît mai exac-
tă a armonicilor, saturăției și a pierderilor în fier în funcțio-
narea mașinii, a fost însă condiționat de dezvoltarea posibilității
de calcul. Evoluția calculatoarelor numerice care fac posibilă
studierea unor modele matematice foarte complexe au favorizat ten-
dința de elaborare a acestor modele și în cazul mașinii de inducție.
De altfel utilizarea pe scară tot mai largă a alimentării mașinii
de inducție cu tensiune de frecvență variabilă prin convertoare
statice pune și problema cunoașterii cît mai precise a fenomenelor
din mașină legate de armonici, saturăție și pierderi.

Lucrări în acest domeniu, al determinării și considerării în
primul rînd a armonicilor din mașină, au apărut încă de la începu-
tul acestui secol. Rezultatele obținute în prima jumătate a seco-
lului și găsesc loc în lucrările de sinteză publicate de R.Richter
[72], [73], P.L.Alger [2] și alții , [29], [67], [84], etc.

Cercetările moderne sunt dominate de activitatea și de rezul-
tatele obținute de P.L.Alger [3], [5], [6], B.Heller [39], [40], [41],
[42], [43], [44] și K.Oberretl [62], [63], [64], [65], [65], [66], la care
se adaugă alte contribuții cum at fi cele ale lui K.J.Binns [12],
[13], [14], [15], B.J. Chalmers [21], [22], [23], [24], T.Dordea [32],
[33], M.Ivanescu [47], W.Neuhaus , R.Weppler [60], F.Taegen [79],
L.V.Popov [69], J.F.Lindsay, T.H.Barton [53], [54], S.A.Nasar [58] et.

Din studiul rezultatelor obținute în bibliografie au rezultat ca abordabile mai multe metode pentru studierea influenței formei și deschiderii crestăturilor, numărului crestăturilor și a tipului infășurărilor asupra parametrilor mașinii de inducție și anume:

1.- considerarea deschiderilor de crestătură prin modificarea inductivităților [60], [79], [69] etc.,

2. - considerarea armonicilor de creștere prin introducerea unei permeanțe echivalente variabile a întrefierului [2], [39], [40], [44], [47] etc.

3. - considerarea armonicilor de repartiție și a celor date-rate reacțiilor multiple prin calcularea iterativă a cîmpurilor [63], [64] etc.

4. - considerarea tuturor factorilor prin rezolvarea ecuațiilor de cîmp cu ajutorul potențialului magnetic vector [37], [51], [65] etc.

5. - considerarea influenței tuturor factorilor prin intermediul unor parametrii globali determinați prin identificare din caracteristicile experimentale [53], [54].

Metoda prezentată la punctul 1 are avantajul simplității, dar conduce la un model matematic prea simplificat în care nu sunt considerate armonici de cîmp importante. Rezolvarea ecuațiilor de cîmp nu se pot face pentru un caz general și simplificările care sunt necesare reduc precizia de calcul. Metoda identificării nu este încă suficient conturată în ceea ce privește complexitatea modelului matematic și a modului în care se leagă parametrii modelului propus cu parametrii reali ai mașinii. În aceste condiții, analiza metodelor expuse a condus la concluzia că o combinație între metoda permeanței echivalente variabile și calculul iterativ al cîmpurilor în procesul reacțiilor oferă cele mai bune rezultate.

Astfel, în lucrarea de față, dezvoltând metoda iterativă de calcul a cîmpurilor în procesul reacțiilor multiple și considerînd armonicile de creștere prin intermediul permeanței echivalente variabile se obține o metodă de studiu eficientă. Modelul matematic rezultat pe acestă cale conține toate armonicile iar expresiile inductivităților, care se determină prin calcul, înglobează prin factorii de deschidere și coeficientii de formă ai solenașiei efectul deschiderilor reale de crestătură.

Pentru calculul efectiv al curentilor și cuplurilor s-a pus la punct un program în care modelul matematic obținut a fost completat cu un proces iterativ prin care se consideră efectul saturării asupra parametrilor, și pierderilor în fier. Programul este alcătuit pentru cazul mașinii de inducție cu rotor în colivie dar se poate aplica cu mici modificări la orice tip de mașină de inducție.

Metoda de studiu elaborată în lucrare pentru mașina de inducție se poate extinde la studiul oricărui tip de mașină electrică rotativă, oferind astfel un aparat de analiză cu caracter general.

Modelul matematic s-a obținut pentru cazul alimentării mașinii cu un sistem simetric sinusoidal de tensiuni dar poate fi completat încât să permită studiul funcționării mașinii alimentate cu un sistem nesimetric sau nesinusoidal de tensiuni.

Rezultatele obținute au fost parțial aplicate în cadrul unui contract de cercetare încheiat cu Centrul Școlar Metalotehnica Tîrgu-Mureș care a avut ca obiect îmbunătățirea caracteristicilor unui motor cu două turări produs de beneficiar.

Lucrarea este alcătuită din cinci capitole, un capitol de concluzii și cinci anexe.

În capitolul 1 este aplicată metoda de calcul al cîmpului elaborată la mașina cu rotor în colivie și cu rotor bobinat, obținindu-se expresiile tensiunilor electromotoare induse în înfășurările de pe cele două armături. Definirea permeanței echivalente variabile a întrefierului și calculul coeficienților acesteia se face tot în acest capitol.

Capitolul 2 se referă la inductivitățile de dispersie. În prima parte sunt comparate diverse relații pentru calculul permeanțelor specifice a creșterii și se studiază influența tipului de înfășurare și a formei creșterii asupra dispersiei creșterii. În partea a doua sunt discutate mai multe relații de calcul a inductivității de dispersie a părții frontale a înfășurării, alegindu-se relația corespunzătoare în urma comparării valorilor calculate cu cele determinate experimental.

Capitolul 3 este alcătuit din două părți distincte, în prima fiind stabilite ecuațiile de tensiuni iar în cea de a doua fiind calculate cuplurile electromagnetice.

Capitolul 4 se referă la modul în care se iau în considerare saturarea circuitului magnetic și pierderile în fier.

In capitolul 5 este particularizat modelul matematic general și se prezintă programul alcătuit pentru calculul caracteristicii mecanice și a pierderilor în fier. Tot în acest capitol sunt comparate rezultatele obținute prin calcul cu cele experimentale pentru două mașini de inducție cu rotorul în colivie.

In încheiere, pe baza rezultatelor teoretice obținute și a verificării lor experimentale, sunt prezentate concluziile finale.

Elementele originale ale lucrării sunt următoarele:

1. Stabilirea unei metodici unitare de calcul a armonicilor de spațiu și de crestare

2. Considerarea influenței deschiderilor de crestătură asupra inductivităților proprii și de cuplaj prin introducerea factorilor de deschidere și a coeficientilor de formă ai solenajiei.

3. Determinarea unor relații de calcul pentru permeanță specifică a crestăturii și discuțarea domeniului de aplicabilitate a relațiilor de calcul aproximative a permeanțelor specifice ale crestăturii.

4. Studiul influenței formei crestăturii și a tipului de înfășurare asupra dispersiei de crestătură.

5. Calculul cuplurilor electromagnetice asincrone și sincrone.

6. Considerarea influenței saturăției și a pierderilor în fier la calculul inductivităților, curentilor și cuplurilor.

7. Elaborarea unui program pentru calculul caracteristicii mecanice și a pierderilor în fier la mașina de inducție cu rotor în colivie.

Elaborarea tezei de doctorat a avut loc sub îndrumarea permanentă și competență a conducerului științific prof.dr.ing. Toma Dordea căruia autorul îi exprimă recunoștiința să și fi mulțumeste pe această cale.

C A P I T O L U L 1

CIMPUL IN INTREFIER

Cunoașterea expresiei cimpului în intrefierul mașinii de inducție permite determinarea tensiunilor electromotoare induse în înfășurări și a armonicilor de curenti. Calculul cimpului în intrefier pornește de la solenăzia statorică produsă de curentul de frecvență rețelei, și urmează un proces iterativ pentru considerarea reacțiilor multiple. Intrefierul de calcul este variabil conținând armonice datorate deschiderilor de creștere. Procesul iterativ de calcul se oprește atunci când cimpul produs de un dintre armături nu mai induce tensiuni electromotoare de frecvențe noi în înfășurările celeilalte armături. Pentru calcul se consideră circuitul magnetic nesaturat cu permeabilitate infinită.

1.1. CALCULUL PERMEANTEI ECHIVALENTE A INTREFIERULUI

Calculul permeanței echivalente variabile a intrefierului, $\lambda_{(x,t)}$, se face cu relația, [40],

$$\lambda_{(x,t)} = \lambda_{1(x)} \cdot \lambda_{2(x,t)} \cdot \delta \quad (1.1)$$

δ fiind mărimea reală a intrefierului, iar $\lambda_{1(x)}$ și $\lambda_{2(y,t)}$, permeanțele echivalente variabile ale intrefierului calculată cu considerarea creșterilor numai pe stator, respectiv numai pe rotor. Axa $x=0$ este fixă în stator, legătura dintre o coordonată statorică x_S și una fixă față de rotor, x_R fiind dată de relația

$$x_S = x_R + \Omega t - \beta_R, \quad (1.2)$$

unde Ω este viteza umplătorului a rotorului iar β_R unghiul inițial.

Considerind permeabilitatea fierului infinită, pentru o tensiune magnetică unitară inducția magnetică în intrefier este numai egală cu permeanța intrefierului ceea ce permite calculul permeanțelor echivalente $\lambda_{1(x)}$ și $\lambda_{2(x)}$. Permeanțele echivalente $\lambda_{1(x)}$

și $\lambda_{2(x)}$ se exprimă considerindu-se numai prima armonică de creștere de ordinul Z_1 , respectiv Z_2 , adică

$$\lambda_1(x_S) = \frac{1}{\lambda_1 \delta} (1 + \lambda_1 \cos Z_1 x_S), \quad \lambda_2(x_R) = \frac{1}{\lambda_2 \delta} (1 + \lambda_2 \cos Z_2 x_R) \quad , \quad (1.3)$$

armonicele de ordin superior $(2k+1)Z_i$, $k=1,2,\dots,i=1,2$ având amplitudini mult mai mici [40]. Pentru calculul factorilor de întrefier κ_{c1}, κ_{c2} și a coeficientilor λ_1, λ_2 trebuie exprimată analitic variația inducției pe un pas de crestătură. În vederea stabilirii expresiilor corespunzătoare pentru inducție sunt considerate, comparațiv cu măsurările pe model în cuva electrolitică, mai multe aproximări și anume aproximarea propusă de Weber [40],

$$B(x) = (1 - 2\beta \sin^2 \frac{\pi}{2} x) B_{max}, \quad \beta = \frac{t - b_o}{b_o} \quad , \quad (1.4)$$

cea indicată de Heller [40],

$$B(x') = (1 - \beta - \beta \cos \frac{\pi}{0.8\alpha_c} \cdot x') B_{max}, \quad x' \in (0, 0.8\alpha_c) \quad , \quad (1.5)$$

$$B(x') = B_{max}, \quad x' \in (0.8\alpha_c, \alpha/2) \quad ,$$

unde $\alpha_c = 2b_o \sqrt{t}/tZ$, $\alpha = 2\sqrt{t}/Z$; aproximarea obținută prin transformare conformă de Freeman [36]

$$B = \frac{(1-w) B_{max}}{[(a-w)(b-w)]^{1/2}}, \quad w = \frac{1}{b} \cdot \frac{b-1}{\sqrt{b}} - \frac{b_0}{\delta}, \quad \beta^2 = \frac{b-w}{a-w} \quad . \quad (1.6)$$

$$x = \frac{\delta}{\pi} \left[\ln \left| \frac{b+\beta}{b-\beta} \right| - \ln \left| \frac{1+\beta}{1-\beta} \right| + 2b_o \frac{1}{\delta} \operatorname{arctg} \left(\frac{\beta}{\sqrt{b}} \right) \right] - 0.5 b_o$$

w fiind variabila independentă de transformare, aproximarea indicată în Richter [72],

$$B(x) = B_{max}(1-\beta), \quad x \in \left(-\frac{\alpha}{2}, -\frac{\alpha}{2} + \frac{\alpha'_c}{2}\right) \cup \left(\frac{\alpha}{2} - \frac{\alpha'_c}{2}, \frac{\alpha}{2}\right), \quad (1.7)$$

$$B(x) = B_{max}, \quad x \in \left(-\frac{\alpha}{2} + \frac{\alpha'_c}{2}, \frac{\alpha}{2} - \frac{\alpha'_c}{2}\right),$$

unde $\alpha'_c = \gamma\delta/\beta$, γ și β având expresiile obișnuite [72]; și o aproximare derivată din aproximarea dată de Richter [87],

$$B(x) = B_{max}(1-2\beta), \quad x \in \left(-\frac{\alpha}{2}, -\frac{\alpha}{2} + \frac{\alpha''_c}{2}\right) \cup \left(\frac{\alpha}{2} - \frac{\alpha''_c}{2}, \frac{\alpha}{2}\right), \quad (1.8)$$

$$B(x) = B_{max}, \quad x \in \left(-\frac{\alpha}{2} + \frac{\alpha'_c}{2}, \frac{\alpha}{2} - \frac{\alpha''_c}{2}\right),$$

unde $\alpha''_c = \gamma\delta/2\beta$.

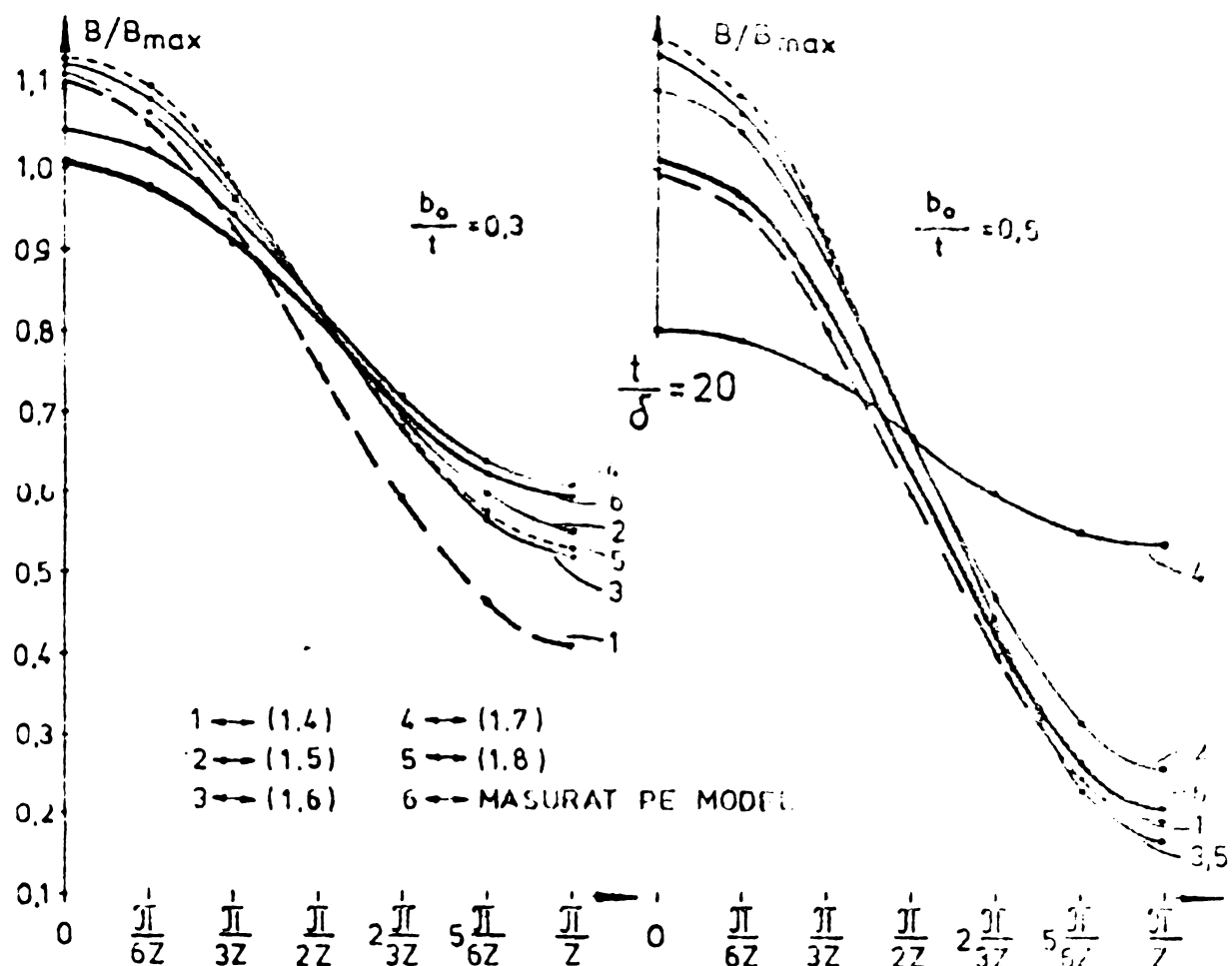


Fig.1.1. Varietăția inductiei în întreșteor calculată cu prima aproximare din aproximațiile (1.4)-(1.8), curvile 1-5, și cînd măsurători pe model în cuvă electrolitică, curba 6.

Din figura 1.1 se observă că pentru deschideri de creastă pînă la $b_0/t=0,3$ inclusiv aproximarea indicată de Richter este corespunzătoare, iar pentru deschideri mai mari aproximarea indicată de Weber este cea mai apropiată de caracteristica determinată prin măsurători în cuvă electrolitică.

Din configurația prezentată în figura 1.1 rezultă că coeficienții λ_1 și λ_2 din relațiile (1.3) au semnul plus cînd $x_S > 0$ este plasată în axa unui dintre și minus cînd este plasată în axa unei crestături.

Dacă se introduc relațiile (1.3) în relația (1.1) și se ține cont de relația (1.2) se obține pentru permeanță echivalentă $\lambda(x_S, t)$ expresia:

$$\lambda(x_S, t) = \frac{1}{\delta} \left\{ 1 + \lambda_1 \cos Z_1 x_S + \lambda_2 \cos Z_2 (x_S - \Omega t + \beta_R) + \right. \\ \left. + \frac{\lambda_1 \lambda_2}{2} [\cos((Z_1 + Z_2)x_S - Z_2 \Omega t - Z_2 \beta_R) + \cos(Z_1 - Z_2)x_S + Z_2 \Omega t - Z_2 \beta_R] \right\}, \quad (1.9)$$

unde coeficienții λ_1 și λ_2 sunt:

$$\lambda_i = \frac{2}{\pi} \beta_i k_{ci} \sin\left(\frac{t_i}{\beta_i} \frac{\delta}{t_i} \pi\right), \quad k_{ci} = \frac{t_i}{t_i - \beta_i \delta}, \quad i=1,2 \quad (1.10.a)$$

în cazul aproximării (1.7) care se utilizează în lucrare, și

$$\lambda_i = \frac{\beta \cdot K(q_i)}{2^{q_i-1} - \beta K(q_i)}, \quad k_{ci} = \frac{2^{q_i-1}}{2^{q_i-1} - \beta K(q_i)}, \quad q_i = \frac{t_i - b_{oi}}{b_{oi}}, \quad i=1,2 \quad (1.10.b)$$

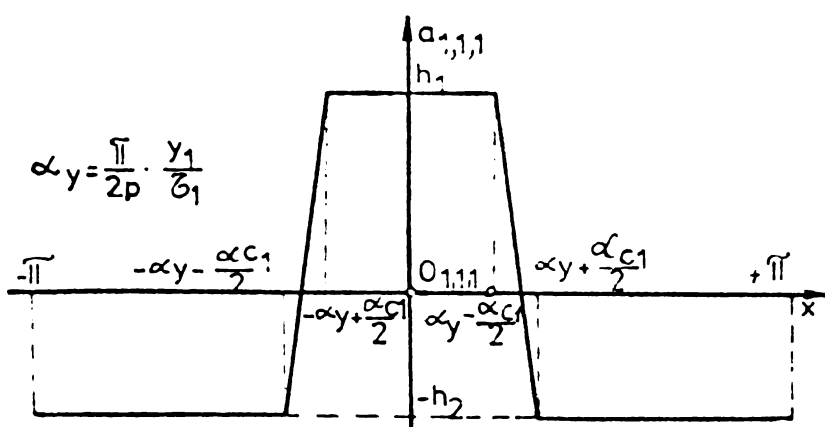
în cazul aproximării (1.4), funcțiile $K_1(\xi), K_2(\xi)$ având expresiile:

$$K_1(\xi) = 1 + \frac{g(g-1)}{4} \left\{ 1 + \frac{(g-2)(g-3)}{4} \left\{ g + \frac{(g-4)(g-5)}{15} \left[1 + \frac{(g-6)(g-7)}{32} \left(1 + \frac{2(g-8)(g-9)}{5 \cdot 7 \cdot 9} \right) \right] \right\} \right\},$$

$$K_2(\xi) = g \left\{ 1 + \frac{(g-1)(g-2)}{4} \left\{ 1 + \frac{(g-3)(g-4)}{30} \left[1 + \frac{(g-5)(g-6)}{24} \left(1 + \frac{(g-7)(g-8)}{4 \cdot 9} \right) \right] \right\} \right\}.$$

1.2. CIMPUL PRODUS DE CURENTUL STATORIC DE FRECVENTA RETELEI

Pentru a se confeți relațiilor ce se obțin un grad de generalitate se consideră pe stator o infășurare polifazată în dublu strat cu pas scurtat, cu zone de 60° electrice și cu un număr întreg de creșături pe pol și fază, infășurare care are $1, 2, \dots, \lambda$... m_1 faze, $1, 2, \dots, \beta, \dots, 2p$ zone pe fază și $1, 2, \dots, \gamma, \dots, q_1$ bobine pe zonă. Amplitudinea solenăției produse de prima bobină din prima zonă a primei faze, parcursă de curentul statoric de frecvența rețelei este



$$\theta = s_b \sqrt{2} I_1 \sin \omega_1 t$$

unde cu s_b s-a notat numărul de spire inseriate în bobină. Variatia spațială a solenăției produse de această bobină este reprezentată în figura 1.2.

înălțimile h_1 și h_2 având valorile:

$$h_1 = \theta \left(1 - \frac{1}{p} \frac{y_1}{\epsilon_1} \frac{1}{2} \right),$$

$$h_2 = \theta \frac{1}{p} \frac{y_1}{\epsilon_1} \frac{1}{2},$$

Fig.1.2. Variatia spațială a solenăției produse de prima bobină din prima zonă a primei faze statorice.

calculate din condiția de egalitate a fluxurilor, y_1 fiind pasul înfășurării iar ζ_1 pasul polar, ambele exprimate în număr de creștături.

Dacă se descompune în serie Fourier variația spațială a solenășiei, reprezentată în figura 1.2, se obține,

$$a_{1,1,1} = \frac{2}{\pi} \sqrt{2} I_1 s_b \sin \omega_1 t \sum_v v k_{fl} \cdot v k_{yl} \cos v x , \quad (1.11)$$

unde $v k_{fl}$ este coeficientul de formă a solenășiei statorice iar $v k_{yl}$ este factorul de scurtare statoric pentru armonica de ordinul v , cu expresiile:

$$v k_{fl} = \frac{\sin(v \alpha_{cl}/2)}{v \alpha_{cl}/2} , \quad v k_{yl} = \sin\left(\frac{v}{p} \frac{y_1}{\zeta_1} \frac{\pi}{2}\right) ,$$

α_{cl} fiind deschiderea crestăturii statorice în radiani geometrici. Coeficientul de formă a solenășiei, $v k_{fl}$, se introduce prin considerarea variației solenășiei în dreptul deschiderii crestăturii conform figurii 1.2. Dacă se negligează deschiderea de crestătură, $\alpha_{cl} \rightarrow 0$, coeficientul de formă a solenășiei este egal cu unitatea indiferent de valorile lui v , obținându-se expresia obisnuită pentru variația spațială a solenășiei, [88].

Sistemul de coordonate în care s-a exprimat solenășia $a_{1,1,1}$ are axa $x=0$ în axa primei bobine a primei zone a primei faze statorice, axa bobinei γ din zona impară γ' a fazei λ fiind decalată cu unghiul

$$\alpha_{\lambda, \gamma', \gamma} = (\gamma - 1) \frac{2\pi}{Z_1} + (\gamma' - 1) \frac{2\pi}{2p} + (\lambda - 1) \frac{2\pi}{m_1 p} , \quad (1.12)$$

exprimat în radiani geometrici. Tinând cont de defazajul $\alpha_{\lambda, \gamma', \gamma}$ armonica v a solenășiei produse de bobina γ din zona γ' a fazei λ este:

$$a_{\lambda, \gamma', \gamma} = \frac{2}{\pi} \sqrt{2} I_1 s_b \frac{v k_{yl} k_{fl}}{v} \sin(\omega_1 t - (\lambda - 1) \frac{2\pi}{m_1}) \cos\left[v(x - (\gamma - 1) \frac{2\pi}{Z_1} - (\gamma' - 1) \frac{2\pi}{2p} - (\lambda - 1) \frac{2\pi}{m_1 p})\right] \quad (1.13)$$

unde s-a introdus și defazajul temporar dintre curentul fazei λ și curentul primei faze.

Solenăția armonică de ordinul v produsă de bobina γ a zonei pare următoare β^v a aceleasi faze λ , întrucît curentii din zonele β^v și β^{v+1} sunt în opoziție, este

$${}^v a_{\lambda, \beta^v, \beta} = \frac{2}{\pi} \sqrt{2} I_1 s_b \frac{{}^v k_{w1}}{v} {}^v k_{q1} {}^v k_{y1} \sin(\omega_1 t - (\lambda-1) \frac{2\pi}{m_1} \beta) \cos[v(x - (\beta-1) \frac{2\pi}{Z_1} - (\lambda-1) \frac{2\pi}{m_1 p} - \frac{\pi}{p})] . \quad (1.14)$$

Sumind solenățiile bobinelor din zona β^v și apoi solenățiile tuturor zonelor impare ale fazei λ se obține [8],

$$\sum_{p=1}^{2p-1} \left(\sum_{\beta=1}^v {}^v a_{\lambda, \beta^v, \beta} \right) = \frac{2}{\pi} \sqrt{2} I_1 \frac{p q_1 s_b}{v} {}^v k_{w1} {}^v k_{q1} {}^v k_{y1} \sin(\omega_1 t - (\lambda-1) \frac{2\pi}{m_1} \beta) \cos[v(x - \frac{q_1-1}{2} \frac{2\pi}{Z_1} - (\lambda-1) \frac{2\pi}{m_1 p})] , \quad (1.15)$$

unde ${}^v k_{w1} = {}^v k_{q1} {}^v k_{y1}$ este factorul de înfășurare iar ${}^v k_{q1}$ este factorul de zonă corespunzător armonicii de ordinul v

$${}^v k_{q1} = \frac{\sin(v q_1 \pi / Z_1)}{q_1 \sin(v \pi / Z_1)} .$$

Condiția pentru ordinul de armonică rezultată din sumare este:

$$\frac{v}{p} = a , \quad a = 0, \pm 1, \dots \quad (1.16)$$

Dacă se procedează în mod analog și pentru zonele pare ale fazei λ , pornind de la relația (1.14), și apoi se sumează solenățiile armonică de ordinul v rezultante ale zonelor pare și impare ale fazei λ se obține:

$${}^v a_{\lambda} = \frac{2}{\pi} \sqrt{2} I_1 w_1 \frac{{}^v k_{w1}}{v} {}^v k_{q1} \sin(\omega_1 t - (\lambda-1) \frac{2\pi}{m_1} \beta) \cos[v(x_1 - (\lambda-1) \frac{2\pi}{m_1 p})] , \quad (1.17)$$

unde s-a făcut translația de axă $x_1 = x - \beta_S$, cu notația $\beta_S = (q_1-1)\pi/Z_1$ și s-a introdus numărul de spire inseriate pe fază $w_1 = 2pq_1 s_b$. Condiția pentru ordinul de armonică rezultată din sumarea solenățiilor rezultante ale zonelor pare și impare ale unei faze este:

$$\frac{v}{p} = 2a + 1, \quad a = 0, \pm 1, \dots \quad (1.18)$$

Descompunând în sumă produsul de funcții trigonometrice din relația (1.17) și sumind pentru cele m_1 faze statorice se obține:

expresia solenătiei rezultante statorice armonică de ordinul v

$$v_{a_\lambda} = \sqrt{2} I_1 \frac{w_1 m_1}{\pi} \frac{v k_{wl} v k_{fl}}{v} [\sin(\omega_1 t - vx_1) + \sin(\omega_1 t + vx_1)]. \quad (1.19)$$

cu condiția pentru ordinul de armonică .

$$\frac{v}{p} = m_1 a + 1, \quad a = 0, \pm 1, \dots \quad (1.20)$$

Prin reunirea celor trei condiții pentru ordinul de armonică, relațiile (1.16), (1.18) și (1.20), se obține

$$v = p(2m_1 a + 1), \quad a = 0, \pm 1, \dots \quad (1.21)$$

Pentru valoarea zero și valorile pozitive ale lui a armonice au sens direct iar pentru valorile negative ale lui a au sens invers. Întrucât pentru o valoare a lui a nu există decât o armonică de un anumit sens relația (1.19) se poate scrie

$$v_{a_S} = \sqrt{2} I_1 \frac{w_1 m_1}{\pi} \frac{v k_{wl} v k_{fl}}{v} \sin(\omega_1 t - vx_1). \quad (1.19')$$

In cazul înfășurărilor în simplu strat sau a înfășurărilor în dublu strat cu zone de 120° electrice, neexistând zone pare și impare, condiția pentru ordinul de armonică devine

$$v = p(m_1 a + 1), \quad a = 0, \pm 1, \dots \quad (1.22)$$

iar numărul de spire inseriate pe fază este $w_1 = p q_1 s_b$.

Solenătia rezultantă statorică se obține prin sumarea solenătiilor rezultante statorice armonice de ordinul v , date de relații de tipul (1.19'), pentru toate ordinele de armonică care rezultă din condiția (1.21) sau (1.22),

$$a_S(x_1, t) = \sum_v v_{a_S} = \sqrt{2} I_1 \frac{w_1 m_1}{\pi} \sum_v \frac{1}{v} v k_{wl} v k_{fl} \cdot \sin(\omega_1 t - vx_1). \quad (1.23)$$

Cunoscindu-se expresia solenătiei statorice rezultante se poate calcula tensiunea electromotoare indușă de cîmpul statoric într-o bobină din înfășurarea statorică,

$$e_{\lambda,\beta,\gamma} = -\frac{d}{dt} \left[s_b l \tau \int_{x_1=\alpha-\alpha_y}^{x_1=\alpha+\alpha_y} \frac{\mu_0}{\delta'} A_S(x_1, t) dx_1 \right] , \quad (1.24)$$

unde s-a notat

$$\alpha = (\lambda-1) \frac{2\pi}{m_1 p} + (\beta-1) \frac{2\pi}{2p} + (\gamma-1) \frac{2\pi}{Z_1} - \beta_S , \quad \alpha_y = \frac{\pi}{2} \cdot \frac{y_1}{Z_1} \cdot \frac{1}{p} ,$$

l fiind lungimea miezului iar r raza medie în întrefier.

Dacă se sumează acum tensiunile electromotoare induse în cele q_1 bobine ale unei zone oarecare se obține, după efectuarea calculelor, expresia tensiunii electromotoare induse rezultante pe o zonă a unei faze statorice:

$$e_{\lambda,\beta} = -\omega_1 \sqrt{2} I_1 \left(\sum L'_{1\beta} \right) \cos \left[\omega_1 t - (\lambda-1) \frac{2\pi}{m_1} - (\beta-1)\pi \right] , \quad (1.25)$$

unde inductivitatea utilă a unei zone pentru o armonică ν , este:

$$L'_{1\beta} = \frac{\mu_0}{\delta'} \frac{m_1 l r}{p \pi} \left(w_1 \frac{\nu k_{wl}}{\nu} \right)^2 \cdot \nu k_{fl} , \quad (1.26)$$

și în condiția neglijării deschiderilor de crestătură, adică $\alpha_{cl}=0$ și $\nu k_{fl}=1$, recapătă expresia obișnuită, [63].

Pentru a se calcula tensiunea electromotoare indusă de cîmpul statoric într-un ochi rotoric se calculează mai întîi inducția în întrefier produsă de cîmpul statoric,

$$b_S(x_1, t) = \mu_0 \lambda(x_1, t) a_S(x_1, t) \quad (1.27)$$

$\lambda(x_1, t)$ fiind permeanța echivalentă variabilă a întrefierului care se obține din relația (1.9) prin înlocuirea lui x_S cu x_1 .

In cazul înfășurării considerate axa $x_1=0$ se găsește în axa unui dintre q_1 și y_1 sint ambii pari sau impari și în axa unei crestături dacă unul este par iar celălalt impar și semnele coeficientilor λ_1 , și λ_2 se stabilesc corespunzător.

Pentru scrierea relației (1.27) față de o axă fixă în rotor $x_2=0$, se înlocuiește x_1 în funcție de x'_2 conform figurii 1.3

$$x_1 = x'_2 + \frac{\omega_1}{p} (1-s)t - \beta_R ,$$

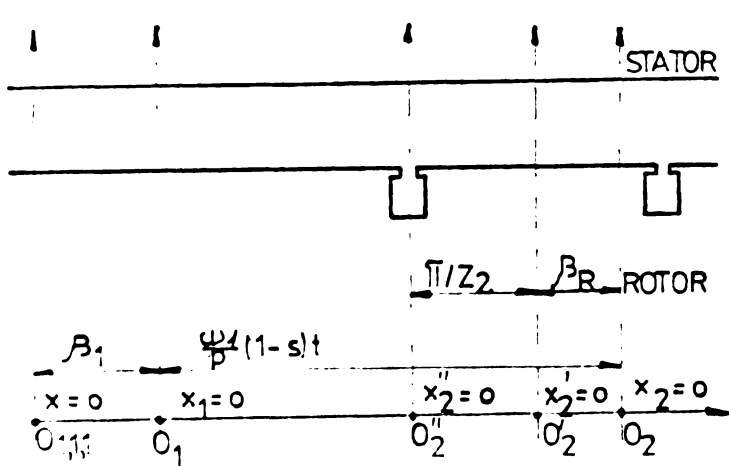


Fig.1.3. Sistemele de axe de coordonate.

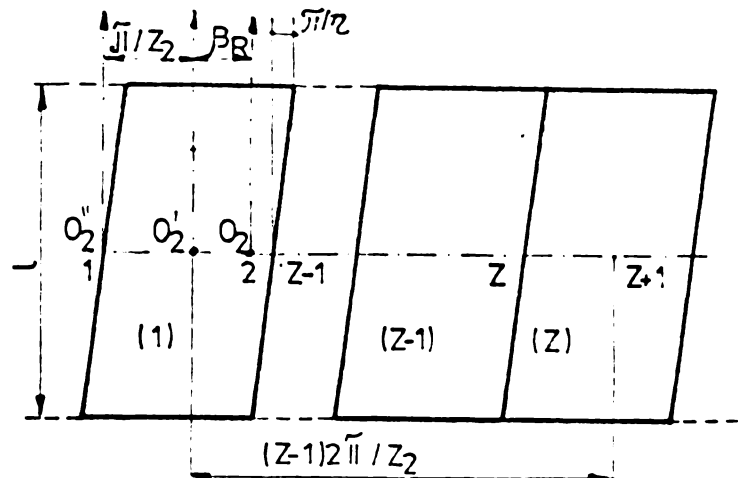


Fig.1.4. Notări și axe de coordonate în rotor.

și după efectuarea calculelor se obține

$$\begin{aligned} {}^v b_S(x'_2, t) = & \frac{\mu_0}{\delta'} A_S \left\{ \sin(v s \omega_1 t - v x'_2 + v \beta_R) + \frac{\lambda_1}{2} \left[\sin(v - Z_1 s \omega_1 t - (v - Z_1) x'_2 + (v - Z_1) \beta_R) + \right. \right. \\ & + \sin(v + Z_1 s \omega_1 t - (v + Z_1) x'_2 + (v + Z_1) \beta_R) \left. \right] + \frac{\lambda_1 \lambda_2}{4} \left[\sin(v - Z_1 s \omega_1 t - (v - Z_1 - Z_2) x'_2 + (v - Z_1) \beta_R) + \right. \\ & + \sin(v - Z_1 s \omega_1 t - (v - Z_1 + Z_2) x'_2 + (v - Z_1) \beta_R) + \sin(v + Z_1 s \omega_1 t - (v + Z_1 - Z_2) x'_2 + (v + Z_1) \beta_R) + \\ & + \sin(v + Z_1 s \omega_1 t - (v + Z_1 + Z_2) x'_2 + (v + Z_1) \beta_R) \left. \right] + \frac{\lambda_2}{2} \left[\sin(v s \omega_1 t - (v - Z_2) x'_2 + v \beta_R) + \right. \\ & \left. \left. + \sin(v s \omega_1 t - (v + Z_2) x'_2 + v \beta_R) \right] \right\}, \end{aligned} \quad (1.28)$$

unde s-a notat cu ${}^v A_S$ amplitudinea solenăției rezultante statorice de ordinul v și s-au introdus alunecările:

$${}^v s = 1 - \frac{v}{p}(1-s), \quad {}^{v-Z} s = 1 - \frac{v - Z_1}{p}(1-s), \quad {}^{v+Z} s = 1 - \frac{v + Z_1}{p}(1-s). \quad (1.29)$$

Fluxul printr-un ochi oarecare (Z) rotoric format din barele Z , $Z+1$ și porțiunile de inel corespunzătoare, este

$${}^v \Phi_{(Z)} = \Gamma \int_{y=-l/2}^{y=l/2} \int_{x'_2=\alpha_1}^{x'_2=\alpha_2} b_S(x'_2, t) dx'_2 dy,$$

unde $\alpha_1 = (Z-1,5)2\pi/Z_2 + 2\pi y/(l \cdot \eta_2)$, $\alpha_2 = (Z-0,5)2\pi/Z_2 + 2\pi y/(l \cdot \eta_2)$,

semnificația notațiilor fiind conformă figurii 1.4. După efectuarea calculelor, se obțin, pentru tensiunile electromotoare induse, expresiile:

$$\begin{aligned} e_{(Z)} &= -s\omega_1 M_{12}^1 \sqrt{2} l_1 \cos \left[s\omega_1 t - v(Z-1) \frac{2\pi}{Z_2} + v\beta_R \right], \\ e_{(Z)} &= -s\omega_1 \frac{\lambda_1}{2} M_{12}^1 \sqrt{2} l_1 \cos \left[s\omega_1 t - (v-Z_1)(Z-1) \frac{2\pi}{Z_2} + (v-Z_1)\beta_R \right], \quad (1.30) \\ e_{(Z)} &= -s\omega_1 \frac{\lambda_1}{2} M_{12}^1 \sqrt{2} l_1 \cos \left[s\omega_1 t - (v+Z_1)(Z-1) \frac{2\pi}{Z_2} + (v+Z_1)\beta_R \right], \end{aligned}$$

cu inductivitățile de cuplaj extinse:

$$\begin{aligned} M_{12}^1 &= 2m_1 \tau l w_1 \frac{\mu_0}{\pi \delta} \frac{k_{w1} k_{f1}}{v} \frac{k_{i2} \sin(v\pi/Z_2)}{v} k_{DR}, \\ M_{12}^1 &= 2m_1 \tau l w_1 \frac{\mu_0}{\pi \delta} \frac{k_{w1} k_{f1}}{v} \frac{k_{i2} \sin((v-Z_1)\pi/Z_2)}{v-Z_1} k_{DR}, \quad (1.31) \\ M_{12}^1 &= 2m_1 \tau l w_1 \frac{\mu_0}{\pi \delta} \frac{k_{w1} k_{f1}}{v} \frac{k_{i2} \sin((v+Z_1)\pi/Z_2)}{v+Z_1} k_{DR} \end{aligned}$$

In inductivitățile de cuplaj extinse, factorii de înclinare sunt:

$$k_{i2} = \frac{\sin(v\pi/\eta_2)}{v\pi/\eta_2}, \quad k_{i2} = \frac{\sin((v-Z_1)\pi/\eta_2)}{(v-Z_1)\pi/\eta_2}, \quad k_{i2} = \frac{\sin((v+Z_1)\pi/\eta_2)}{(v+Z_1)\pi/\eta_2}, \quad (1.32)$$

unde $\pi/\eta_2 = i_2/D$, i_2 fiind înclinarea crestăturii măsurată pe periferia rotorului iar D diametrul exterior rotoric, aproximativ egal cu diametrul mediu în întregier.

Factorii de deschidere rotorici, rezultați din sumarea tensiunilor electromotoare cu aceeași frecvență, au expresiile:

$$k_{DR} = 1 - \frac{\lambda_2}{2} \frac{v}{v k_{i2}} \left(\frac{v-Z_2 k_{i2}}{v-Z_2} + \frac{v+Z_2 k_{i2}}{v+Z_2} \right),$$

$$\begin{aligned} \nu - Z_1 k_{DR} &= 1 - \frac{\lambda_2}{2} \cdot \frac{\nu - Z_1}{\nu - Z_1 k_{i2}} \left(\frac{\nu - Z_1 - Z_2 k_{i2}}{\nu - Z_1 - Z_2} + \frac{\nu - Z_1 + Z_2 k_{i2}}{\nu - Z_1 + Z_2} \right) , \\ \nu + Z_1 k_{DR} &= 1 - \frac{\lambda_2}{2} \cdot \frac{\nu + Z_1}{\nu + Z_1 k_{i2}} \left(\frac{\nu + Z_1 - Z_2 k_{i2}}{\nu + Z_1 - Z_2} + \frac{\nu + Z_1 + Z_2 k_{i2}}{\nu + Z_1 + Z_2} \right) , \end{aligned} \quad (1.33)$$

După cum se poate vedea, datorită considerării permeanței echivalente variabile a întrefierului o armonică de spațiu statorică de ordinul ν produsă de curentul de frecvență rețelei induce în ochiul rotoric tensiuni electromotoare de pulsăriile $\nu s\omega_1$, $\nu + Z_1 s\omega_1$, $\nu - Z_1 s\omega_1$. Dacă se negligează deschiderile de crestătură rotorice atunci $\lambda_2 = 0$ și factorii de deschidere rotorici sunt egali cu unitatea pentru orice armonică. Dacă se negligează și deschiderile de crestătură statorice, $\lambda_1 = 0$, și tensiunile electromotoare induse în ochiul rotoric de pulsărie $\nu - Z_1 s\omega_1$ și $\nu + Z_1 s\omega_1$ sunt nule. În concluzie, cind $\alpha_{c1} = \alpha_{c2} \rightarrow 0$, $\lambda_1 = \lambda_2 = 0$, $\nu k_{pl} = 1$, tensiunea electromotoare induată în ochiul rotoric de o armonică spațială statorică de ordinul ν este

$$\nu e(Z) = -\nu s\omega_1 \nu M_{12} \sqrt{2} I_1 \cos(\nu s\omega_1 t - \nu(Z-1) - \frac{2\pi}{Z_2} + \nu \beta_R) ,$$

inductivitatea de cuplaj νM_{12} având expresia obisnuită.

1.3. CIMPUL PRODUS DE ROTOR, REACTIA PRIMARA

Tensiunile electromotoare induse în ochiul rotoric, (Z), de cimpul produs de curentul statoric de frecvență rețelei generează în acest ochi curenți de contur cu aceeași componentă de frecvență. Dacă se notează cu νI_R , $\nu - Z_1 I_R$ și respectiv $\nu + Z_1 I_R$ valorile eficace ale curenților din ochi generați și cu $\nu \psi_R$, $\nu - Z_1 \psi_R$ și respectiv $\nu + Z_1 \psi_R$ defazajele dintre curenți și tensiunile electromotoare induse de pulsărie $\nu s\omega_1$, $\nu - Z_1 s\omega_1$ și $\nu + Z_1 s\omega_1$, care își generează, expresiile curenților sunt:

$$\begin{aligned} \nu i_{(Z)} &= \sqrt{2} \nu I_R \sin[\nu s\omega_1 t - \nu(Z-1) \frac{2\pi}{Z_2} + \nu \beta_R - \nu \psi_R] , \\ \nu - Z_1 i_{(Z)} &= \sqrt{2} \nu - Z_1 I_R \sin[\nu - Z_1 s\omega_1 t - (\nu - Z_1)(Z-1) \frac{2\pi}{Z_2} + (\nu - Z_1) \beta_R - \nu - Z_1 \psi_R] , \end{aligned} \quad (1.34)$$

$$i_{(Z)} = \sqrt{2}^{\nu+Z_1} I_R \sin \left[\nu+Z_1 S \omega_1 t - (\nu+Z_1)(Z-1) \frac{2\pi}{Z_2} + (\nu+Z_1) \beta_R - \nu+Z_1 \varphi_R \right].$$

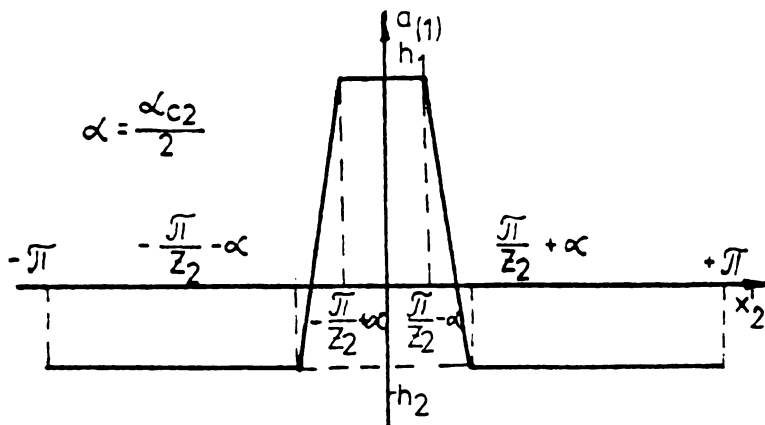


Fig.1.5. Variația spațială de solenăție produsă de ochiul (1) rotoric.

Considerind ca element independent ochiul rotoric cu currentul său de contur, variația spațială de solenăție produsă, de ochiul (1) este dată în figura 1.5, înălțimile h_1 și h_2 fiind pentru armonică de ordinul ν

$$h_1 = \nu i_{(1)} \left(1 - \frac{1}{Z_2} \right),$$

$$h_2 = \nu i_{(1)} \frac{1}{Z_2}.$$

Dacă se descompune în serie Fourier variația spațială de solenăție, se obține:

$$\nu a_{(1)} = \frac{2^\nu i_{(1)}}{\pi} \sum_{\mu} \frac{1}{\mu} \sin \left(\mu \frac{\pi}{Z_2} \right) \mu k_{f2} \cos(\mu x'_2) \quad (1.35)$$

unde coeficientul de formă a solenăției, pentru o armonică de spațiu μ , este:

$$\mu k_{f2} = \frac{\sin(\mu \alpha_{c2}/2)}{\mu \alpha_{c2}/2},$$

α_{c2} fiind deschiderea de crestătură rotorică în radiani geometrici.

Armonica de spațiu de ordinul μ produsă de currentul armonic de ordinul ν din ochiul (Z) se obține prin introducerea decalajului dintre axa ochiului (Z) și cea a ochiului (1), figura 1.4, în termenul corespunzător din suma dată în relația (1.35),

$$\nu a_{(Z)} = \frac{2\sqrt{2}^\nu}{\pi} I_R \frac{\mu k_{f2}}{\mu} \sin \mu \frac{\pi}{Z_2} \cos \mu \left(x'_2 - (Z-1) \frac{\pi}{Z_2} \right) \sin \left(\nu \omega_1 t - \nu(Z-1) \frac{2\pi}{Z_2} - \nu \varphi_R + \nu \beta_R \right), \quad (1.36)$$

și dacă se sumează armonicile de spațiu de ordinul μ produse de curenții de ordinul v din toate cele Z_2 ochiuri rotorice se obține:

$$\mu^v A_{R(x'_2,t)} = \frac{Z_2}{\pi} \sqrt{2} I_R \frac{\mu k_{t2}}{\mu} \sin \mu \frac{\pi}{Z_2} \sin(v \omega_1 t - \mu x'_2 - v \varphi_R + v \beta_R) \quad (1.37)$$

cu condiția pentru ordinul de armonică

$$\mu = b Z_2 + v, \quad b = 0, \pm 1, \dots \quad (1.38)$$

Dacă se procedează în același mod și pentru curenții cu pulsăriile $v-Z_1 s \omega_1$ și respectiv $v+Z_1 s \omega_1$ se obține:

$$\begin{aligned} \mu', v-Z_1 s \omega_1 A_{R(x'_2,t)} &= \sqrt{2} v-Z_1 I_R \frac{Z_2}{\pi} \frac{\mu' k_{t2}}{\mu'} \sin \mu' \frac{\pi}{Z_2} \sin(v-Z_1 s \omega_1 t - \mu' x'_2 - v-Z_1 \varphi_R + (v-Z_1) \beta_R), \\ \mu'', v+Z_1 s \omega_1 A_{R(x'_2,t)} &= \sqrt{2} v+Z_1 I_R \frac{Z_2}{\pi} \frac{\mu'' k_{t2}}{\mu''} \sin \mu'' \frac{\pi}{Z_2} \sin(v+Z_1 s \omega_1 t - \mu'' x'_2 - v+Z_1 \varphi_R + (v+Z_1) \beta_R), \end{aligned} \quad (1.39)$$

cu condițiile pentru ordinele de armonică:

$$\mu' = b Z_2 + v - Z_1, \quad b = 0, \pm 1, \dots$$

$$\mu'' = b Z_2 + v + Z_1, \quad b = 0, \pm 1, \dots \quad (1.40)$$

Solenăția rezultantă rotorică produsă de curenții de ochiuri de ordinul v , de exemplu, este: .

$$v a_{R(x'_2,t)} = \sum_{\mu} \mu^v a_{R(x'_2,t)}$$

sumarea efectuindu-se pentru toate valorile lui μ date de relația (1.38).

Cunoscându-se expresiile solenășilor rezultante rotorice se pot calcula tensiunile electromotoare induse în ochiul (Z) rotoric de către cîmpul propriu cu relații de tipul

$$e_{(Z)} = - \frac{d}{dt} \left[\int_r \frac{\mu_0}{\delta} \int_{x'_2=\alpha_1}^{x'_2=\alpha_2} A_{R(x'_2,t)} dx'_2 \right]$$

unde $\alpha_1 = (Z-1,5)2\pi/Z_2$, $\alpha_2 = (Z-0,5)2\pi/Z_2$, și după efectuarea calculelor se obține:

$$\begin{aligned} \text{v-} e_{(z)} &= -s\omega_1 \sqrt{2}^v \left| \sum_{\mu} \mu L_R \right| \cos \left[s\omega_1 t - v(z-1) \frac{2\pi}{Z_2} - \varphi_R + v\beta_R \right], \\ \text{v-} z_1 e_{(z)} &= -s\omega_1 \sqrt{2}^{v-z_1} \left| \sum_{\mu} \mu L_R \right| \cos \left[v-z_1 s\omega_1 t - (v-z_1)(z-1) \frac{2\pi}{Z_2} - v-z_1 \varphi_R + (v-z_1)\beta_R \right], \\ \text{v+} z_1 e_{(z)} &= -s\omega_1 \sqrt{2}^{v+z_1} \left| \sum_{\mu} \mu L_R \right| \cos \left[v+z_1 s\omega_1 t - (v+z_1)(z-1) \frac{2\pi}{Z_2} - v+z_1 \varphi_R + (v+z_1)\beta_R \right], \end{aligned} \quad (1.41)$$

inductivitățile proprii extinse fiind:

$$\mu L_R = 2rl \frac{Z_2}{\pi} \frac{\mu_0}{\delta} \left(\frac{\sin \mu \frac{\pi}{Z_2}}{\mu} \right)^2 \cdot \mu k_{f2} \quad (1.42)$$

și similar pentru μ' și μ'' .

Dacă se negligează deschiderea de crestătură rotorică, atunci $\mu k_{f2}=1$ și prin efectuarea sumei peste μ se obține:

$$L_R = \sum_{\mu} \mu L_R = 2rl \frac{\mu_0}{\delta} \cdot \frac{\pi}{Z_2},$$

unde s-a ținut cont de relația , [63],

$$\sum_{\mu} \frac{1}{\mu^2} = \left(\frac{\pi}{Z_2 \sin v \frac{\pi}{Z_2}} \right)^2,$$

și de faptul că $\sin^2((v+bZ_2) \frac{\pi}{Z_2}) = \sin^2 v \frac{\pi}{Z_2}$,

Pentru calculul inducției în întrefier produse de solenoiile rezultante rotorice se utilizează relații de tipul

$$\mu, v b_R(x'_2, t) = \mu_0 \cdot \lambda(x'_2, t) \cdot \mu, v a_R(x'_2, t)$$

în care permeanța echivalentă variabilă a întrefierului scrisă față de axa fixă în rotor x'_2 se obține din relația (1.9).

Calculul tensiunilor electromotoare induse într-o bobină din stator se face cu relația

$$\mu, v e_{\lambda, \beta, \gamma} = -\frac{d}{dt} \left[S_b r \int_{y=-l/2}^{y=l/2} \int_{x_1=\alpha_1+\epsilon_y}^{\alpha_1-\epsilon_y} \mu, v b_R(x_1, t) dx_1 dy \right]$$

unde inducția produsă de rotor s-a scris față de o axă fixă în stator x_1' prin înlocuirea lui x_2' ,

$$x_2' = x_1 - \frac{\omega_1}{p}(1-s)t + \beta_R$$

și s-a notat

$$\alpha_x = (\lambda-1) \frac{2\pi}{m_1 p} + (\beta-1) \frac{2\pi}{2p} + (\gamma-1) \frac{2\pi}{Z_1} - \beta_s + \frac{2\pi y_1}{L\eta_1}, \quad \alpha_y = \frac{\pi}{2} \frac{y_1}{Z_1} \frac{1}{p}$$

După efectuarea calculelor și sumarea tensiunilor electromotoare din bobinele unei zone se obțin, pentru tensiunile electro-motoare induse rezultante a zonei φ , expresiile:

$$\begin{aligned}
 E_{\lambda,\beta} &= -bZ_2 S \omega_1 \sqrt{2} \sum_v \left\{ {}^{\mu} M_{21\beta}^v I_R \cos \left[-bZ_2 S \omega_1 t - \left(1 + \frac{bZ_2}{p} \right) \left(\lambda-1 \right) \frac{2\pi}{m_1} + (\beta-1)\pi \right] - bZ_2 \beta_R^{-v-Z_1} \varphi_R \right] + \\
 &\quad + {}^{\mu} M_{21\beta}^{v-Z_1} I_R \cos \left[-bZ_2 S \omega_1 t - \left(1 + \frac{bZ_2}{p} \right) \left(\lambda-1 \right) \frac{2\pi}{m_1} + (\beta-1)\pi \right] - bZ_2 \beta_R^{-v-Z_1} \varphi_R \Big] + \\
 &\quad + {}^{\mu} M_{21\beta}^{v+Z_1} I_R \cos \left[-bZ_2 S \omega_1 t - \left(1 + \frac{bZ_2}{p} \right) \left(\lambda-1 \right) \frac{2\pi}{m_1} + (\beta-1)\pi \right] - bZ_2 \beta_R^{-v+Z_1} \varphi_R \Big\}, \\
 E_{\lambda,\beta} &= -{}^{(b-1)} Z_2 S \omega_1 \sqrt{2} \sum_v \frac{\lambda_2}{2} \left\{ {}^{\mu} M_{21\beta}^{v-Z_2} I_R \cos \left[-{}^{(b-1)} Z_2 S \omega_1 t - \left(1 + \frac{({b-1})Z_2}{p} \right) \left(\lambda-1 \right) \frac{2\pi}{m_1} + (\beta-1)\pi \right] - {}^{(b-1)} Z_2 \beta_R^{-v-Z_1} \varphi_R \right] + \\
 &\quad + {}^{\mu} M_{21\beta}^{v-Z_1} I_R \cos \left[-{}^{(b-1)} Z_2 S \omega_1 t - \left(1 + \frac{({b-1})Z_2}{p} \right) \left(\lambda-1 \right) \frac{2\pi}{m_1} + (\beta-1)\pi \right] - {}^{(b-1)} Z_2 \beta_R^{-v-Z_1} \varphi_R \Big] + \\
 &\quad + {}^{\mu} M_{21\beta}^{v+Z_1} I_R \cos \left[-{}^{(b-1)} Z_2 S \omega_1 t - \left(1 + \frac{({b-1})Z_2}{p} \right) \left(\lambda-1 \right) \frac{2\pi}{m_1} + (\beta-1)\pi \right] - {}^{(b-1)} Z_2 \beta_R^{-v+Z_1} \varphi_R \Big\}, \\
 E_{\lambda,\beta} &= -{}^{(b+1)} Z_2 S \omega_1 \sqrt{2} \sum_v \frac{\lambda_2}{2} \left\{ {}^{\mu} M_{21\beta}^{v+Z_2} I_R \cos \left[-{}^{(b+1)} Z_2 S \omega_1 t - \left(1 + \frac{({b+1})Z_2}{p} \right) \left(\lambda-1 \right) \frac{2\pi}{m_1} + (\beta-1)\pi \right] - {}^{(b+1)} Z_2 \beta_R^{-v-Z_1} \varphi_R \right] + \\
 &\quad + {}^{\mu} M_{21\beta}^{v-Z_1} I_R \cos \left[-{}^{(b+1)} Z_2 S \omega_1 t - \left(1 + \frac{({b+1})Z_2}{p} \right) \left(\lambda-1 \right) \frac{2\pi}{m_1} + (\beta-1)\pi \right] - {}^{(b+1)} Z_2 \beta_R^{-v-Z_1} \varphi_R \Big] + \\
 &\quad + {}^{\mu} M_{21\beta}^{v+Z_1} I_R \cos \left[-{}^{(b+1)} Z_2 S \omega_1 t - \left(1 + \frac{({b+1})Z_2}{p} \right) \left(\lambda-1 \right) \frac{2\pi}{m_1} + (\beta-1)\pi \right] - {}^{(b+1)} Z_2 \beta_R^{-v+Z_1} \varphi_R \Big\},
 \end{aligned} \tag{1.43}$$

unde s-au introdus alunecările:

$$-\frac{bz_2}{p}S = 1 + \frac{bz_2}{p}(1-S), \quad -(b-1)z_2S = 1 + \frac{(b-1)z_2}{p}(1-S), \quad -(b+1)z_2S = 1 + \frac{(b+1)z_2}{p}(1-S), \quad (1.44)$$

iar inductivitățile de cuplaj extinse rotor-zonă statorică sunt:

$$\begin{aligned} {}^{\mu}M_{21}^{\prime} &= l_r \frac{\mu_0}{\delta'} \frac{z_2}{\pi} \frac{w_1}{p} \frac{{}^{\mu}k_{12} \sin(\mu\pi/z_2)}{\mu} \frac{{}^{\mu}k_{w1} {}^{\mu}k_{11}}{\mu} \cdot {}^{\mu}k_{DS}, \\ {}^{\mu, \mu-z_2}M_{21}^{\prime} &= l_r \frac{\mu_0}{\delta'} \frac{z_2}{\pi} \frac{w_1}{p} \frac{{}^{\mu}k_{12} \sin(\mu\pi/z_2)}{\mu} \frac{\mu-z_2 k_{w1} \mu-z_2 k_{11}}{\mu-z_2} \cdot \mu-z_2 k_{DS}, \end{aligned} \quad (1.45)$$

Factorii de inclinare din expresiile inductivităților de cuplaj extinse rotor-zonă statorică sunt date de relații de tipul (1.32) pentru ordinele de armonică corespunzătoare, inclinarea măsurată pe periferia statorului fiind i_1 , deci $\pi/n_1 = i_1/D$, iar factorii de deschidere statorici sunt:

$$\begin{aligned} {}^{\mu}k_{DS} &= 1 + \frac{\lambda_1}{2} \frac{\mu}{{}^{\mu}k_{11} {}^{\mu}k_{w1}} \left(\frac{\mu-z_1 k_{w1} \mu-z_1 k_{11}}{\mu-z_1} + \frac{\mu+z_1 k_{w1} \mu+z_1 k_{11}}{\mu+z_1} \right), \\ &\dots \end{aligned} \quad (1.46)$$

$$\begin{aligned} {}^{\mu'}k_{DS} &= 1 + \frac{\lambda_1}{2} \frac{\mu'}{{}^{\mu}k_{11} {}^{\mu}k_{w1}} \left(\frac{{}^{\mu'}z_1 k_{w1} {}^{\mu'}z_1 k_{11}}{\mu'-z_1} + \frac{{}^{\mu'}z_1 k_{w1} {}^{\mu'}z_1 k_{11}}{\mu'+z_1} \right), \\ &\dots \end{aligned}$$

Dacă crestăturile statorice nu sunt inclinate, factorii de inclinare statorici sunt egali cu unitatea pentru toate ordinele de armonică și factorii de deschidere devin:

$$\begin{aligned} {}^{\mu}k_{DS} &= 1 + \frac{\lambda_1}{2} \frac{\mu}{{}^{\mu}k_{w1}} \left(\frac{\mu-z_1 k_{w1}}{\mu-z_1} + \frac{\mu+z_1 k_{w1}}{\mu+z_1} \right), \\ &\dots \end{aligned}$$

Analizând tensiunile electromotoare induse rezultante pe o zonă statorică, relațiile (1.43) rezultă că:

- la toate pulsăriile care apar, $-\frac{bz_2}{p}Sw$, $-(b-1)z_2Sw$, $-(b+1)z_2Sw$, participă toate cimpurile rotorice,

- tensiunile electromotoare induse armonice de ordinul $-(b-1)$ și $-(b+1)$ sunt atenuate față de cea de ordinul $-b$ cu factorul $\lambda_2/2$,

- neglijind deschiderile de crestătură rotorice, $\lambda_2=0$, și tensiunile electromotoare induse armonice de ordinul $-(b-1)$ și $-(b+1)$ se anulează.

Dacă se negligează deschiderile de crestătură de pe ambele armături atunci coeficienții de formă a solenajiei devin egali cu unitatea, tensiunile electromotoare induse în ochiul rotoric armonice de ordinele $\nu -Z_1$ și $\nu +Z_1$ se anulează ca și curenții generați de ele și relațiile (1.43) se reduc la:

$$-b e_{\lambda,\beta(0)} = -b Z_2 S \omega_1 \sqrt{2} \sum \left\{ M_{21\beta}^{\nu} I_R \cos \left[-b Z_2 S \omega_1 t - \left(1 + \frac{b Z_2}{p} \right) \frac{(2\pi)}{m_1} (\lambda-1) \pi + (\beta-1) \pi \right] - b Z_2 \beta R \psi_R \right\},$$

expresia inductivității de cuplaj fiind cea obișnuită, și pentru $b=0$, $\mu = \nu$ și înclinarea nulă,

$$\frac{M_{12}}{M_{21}} = \frac{2m_1 p}{Z_2} = \frac{m_1}{m_2}$$

unde $m_2 = Z_2 / 2p$, q_2 fiind unitar întrucât s-a considerat ochiul rotoric ca element independent.

1.4. CIMPURI PRODUSE DE REACȚIILE MULTIPLE

Conținutul de armonici al cimpurilor rezultate din procesul reacțiilor multiple depinde de modul în care sunt conectate între ele zonele fazelor statorice. Din acest motiv se vor trata separat cele trei tipuri uzuale de conectare a zonelor statorice și anume, în paralel, în paralel cu legături de egalizare și în serie.

1.4.1. Zone în paralel fără legături de egalizare

In cazul în care zonele unei faze statorice sunt conectate în paralel fără legături de egalizare, considerînd bornele fazei scurtcircuitate pentru frecvențele diferite de frecvența rețelei, din configurația dată în figura 1.6 se poate alcătui schema echivalentă pentru o armonică de ordinul $-b$ din figura 1.7.

Din analize schemei echivalente se constată că prin fiecare ramură formată din două zone consecutive, una impară și una pară, circulă un curent generat de diferența tensiunilor electromotoare induse în cele două zone. Dacă se calculează această diferență în cazul primelor două zone ale fazei λ , se obține, pentru armonica de ordinul $-b$.

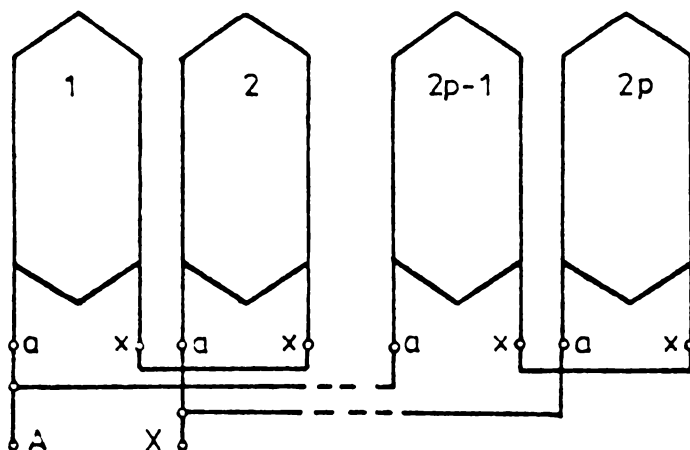


Fig.1.6. Faza statorică cu zone în paralel fără legături de egalizare.

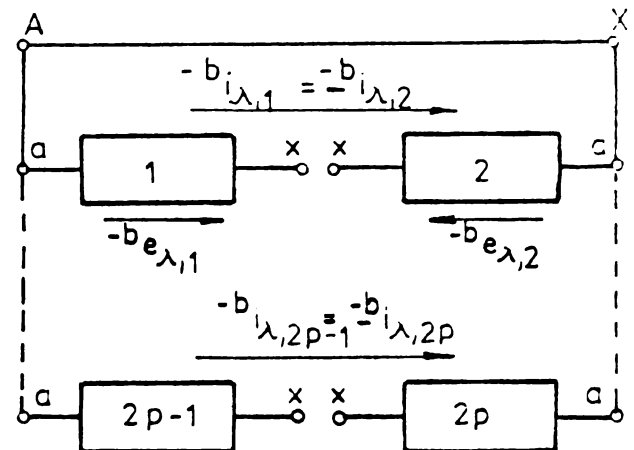


Fig.1.7. Schema echivalentă a unei faze cu zone în paralel fără legături de egalizare.

$$\begin{aligned} -b \mathbf{e}_{\lambda,1-2} = & -b Z_2 s \omega_1 2 \sqrt{2} \cos \frac{b Z \pi}{2p} \sum \left\{ M_{2p}^1 I_R \cos \left[-b Z_2 s \omega_1 t - \left(1 + \frac{b Z_2}{p} \right) (\lambda-1) \frac{2\pi}{m_1} - b Z_2 \beta_R - \frac{b Z_2 \pi}{2p} - \varphi_R \right] + \right. \\ & + M_{2p}^{1-v-Z_2} I_R \cos \left[-b Z_2 s \omega_1 t - \left(1 + \frac{b Z_2}{p} \right) (\lambda-1) \frac{2\pi}{m_1} - b Z_2 \beta_R - \frac{b Z_2 \pi}{2p} - v-Z_2 \varphi_R \right] + \\ & \left. + M_{2p}^{1+v+Z_2} I_R \cos \left[-b Z_2 s \omega_1 t - \left(1 + \frac{b Z_2}{p} \right) (\lambda-1) \frac{2\pi}{m_1} - b Z_2 \beta_R - \frac{b Z_2 \pi}{2p} - v+Z_2 \varphi_R \right] \right\}, \end{aligned}$$

diferență de tensiuni electromotoare care generează curenții

$$-b \mathbf{i}_{\lambda,1} = -b \mathbf{i}_{\lambda,2} = \sqrt{2} -b I_{1p} \sin \left[-b Z_2 s \omega_1 t - \left(1 + \frac{b Z_2}{p} \right) (\lambda-1) \frac{2\pi}{m_1} - b Z_2 \beta_R - \frac{b Z_2 \pi}{2p} - b \varphi_S \right],$$

unde cu $-b I_{1p}$ s-a notat valoarea eficace a curentului armonică de ordinul $-b$ dintr-o zonă statorică, iar cu $-b \varphi_S$ defazajul dintre tensiunea electromotoare care îl generează și curent.

Tensiunile electromotoare induse în primele două zone ale fazei λ de ordinele $-(b-1)$ și $+(b-1)$ generează curenții:

$$-(b-1) \mathbf{i}_{\lambda,1} = -(b-1) \mathbf{i}_{\lambda,2} = \sqrt{2} -(b-1) I_{1p} \sin \left[-(b-1) Z_2 s \omega_1 t - \left(1 + \frac{(b-1) Z_2}{p} \right) (\lambda-1) \frac{2\pi}{m_1} - (b-1) Z_2 \beta_R - \frac{(b-1) Z_2 \pi}{2p} - -(b-1) \varphi_S \right],$$

$$-(b+1)I_{\lambda,1} = -(b+1)I_{\lambda,2} = -\sqrt{2}^{(b+1)} I_{1,p} \sin \left[-(b+1)Z_2 S \omega_1 t - \left(1 + \frac{(b+1)Z_2}{p} \right) (\lambda-1) \frac{2\pi}{m_1} - (b+1)Z_2 \beta_R - \frac{(b+1)Z_2 \pi}{2p} - (b+1)\varphi_s \right],$$

cu valorile eficace $I_{1,p}$, respectiv $I_{1,p}$ și cu defazaiele $-(b+1)\varphi_s$ și respectiv $-(b+1)\varphi_s$.

Procedindu-se în același mod ca și în cazul curentului statoric de frecvență rețelei, subcapitolul 1.2, se obține pentru solenagia rezultantă statorică armonică de ordinul ϵ produsă de curentul armonic de ordinul $-b$.

$$\epsilon^{-b} A_{S(x_1,t)} = \frac{m_1 w_1}{\pi} \sqrt{2}^{-b} I_{1,p} \frac{\epsilon' k_{w1} \epsilon' k_{f1}}{\epsilon} \sin \epsilon \frac{\pi}{2p} \sin \left(-bZ_2 S \omega_1 t - \epsilon x_1 - bZ_2 \beta_R + m_1 c \frac{\pi}{2} - b\varphi_s \right), \quad (1.47)$$

cu condiția pentru ordinul de armonică:

$$\epsilon = pm_1c + bZ_2 + p; \quad c = 0, \pm 1, \dots \quad (1.48)$$

iar pentru curenții armonici de ordinul $-(b-1)$, $-(b+1)$,

$$\begin{aligned} \epsilon'_{-(b-1)} A_{S(x_1,t)} &= \frac{m_1 w_1}{\pi} \sqrt{2}^{-(b-1)} I_{1,p} \frac{\epsilon' k_{w1} \epsilon' k_{f1}}{\epsilon'} \sin \epsilon \frac{\pi}{2p} \sin \left(-(b-1)Z_2 S \omega_1 t - \epsilon x_1 - (b-1)Z_2 \beta_R + m_1 c \frac{\pi}{2} - (b-1)\varphi_s \right), \\ \epsilon''_{-(b+1)} A_{S(x_1,t)} &= \frac{m_1 w_1}{\pi} \sqrt{2}^{-(b+1)} I_{1,p} \frac{\epsilon'' k_{w1} \epsilon'' k_{f1}}{\epsilon''} \sin \epsilon \frac{\pi}{2p} \sin \left(-(b+1)Z_2 S \omega_1 t - \epsilon x_1 - (b+1)Z_2 \beta_R + m_1 c \frac{\pi}{2} - (b+1)\varphi_s \right), \end{aligned} \quad (1.49)$$

cu condițiile pentru ordinele de armonică:

$$\begin{aligned} \epsilon' &= pm_1c + (b-1)Z_2 + p, \quad c = 0, \pm 1, \dots \\ \epsilon'' &= pm_1c + (b+1)Z_2 + p, \quad c = 0, \pm 1, \dots \end{aligned} \quad (1.50)$$

Tensiunile electromotoare induse rezultante, sumate pe primele două zone ale fazei λ , calculate în același mod ca și în subcapitolul 1.2, sunt:

$$\begin{aligned} E_{\lambda,1-2} &= -bZ_2 S \omega_1 2 \sqrt{2}^{-b} I_{1,p} \left(\sum_c \epsilon' L_{1,p} \sin \epsilon \frac{\pi}{2p} \right) \cos \left(bZ_2 S \omega_1 t - \left(1 + \frac{bZ_2}{p} \right) (\lambda-1) \frac{2\pi}{m_1} - bZ_2 \beta_R - \frac{bZ_2 \pi}{2p} - b\varphi_s \right), \\ E_{\lambda,1-2} &= -bZ_2 S \omega_1 2 \sqrt{2}^{-(b-1)} I_{1,p} \left(\sum_c \epsilon' L_{1,p} \sin \epsilon \frac{\pi}{2p} \right) \cos \left(-(b-1)Z_2 S \omega_1 t - \left(1 + \frac{(b-1)Z_2}{p} \right) (\lambda-1) \frac{2\pi}{m_1} - (b-1)Z_2 \beta_R - \frac{(b-1)Z_2 \pi}{2p} - (b-1)\varphi_s \right), \end{aligned} \quad (1.51)$$

$$e_{\lambda,12} = -\frac{-(b+1)Z_2}{2} s\omega_1 \sqrt{2}^{-(b+1)} I_{1,p} \left(\sum \epsilon' L_{1,p} \sin \frac{\epsilon \pi}{2p} \right) \cos \left(-\frac{(b+1)Z_2}{2} s\omega_1 t - \left(1 + \frac{(b+1)Z_2}{p} \right) (\lambda-1) \frac{2\pi}{m_1} - \frac{(b+1)\pi Z_2}{2p} - (b+1)Z_2 \beta_R - \frac{(b+1)\psi_s}{2} \right),$$

unde inductivitățile proprii extinse se exprimă cu relații de tipul:

$$\epsilon' L_{1,p} = \frac{l_r m_1 \mu_0}{\pi \delta' p} \left(w_1 \frac{\epsilon k_{fl}}{\epsilon} \right)^2 \cdot \epsilon k_H,$$

în care diferă numai ordinele de armonică.

Dacă se negligează deschiderile de crestătură statorice atunci ϵk_{fl} este egal cu unitatea pentru orice ordin de armonică și se obțin pentru inductivitățile proprii expresiile obisnuite [63]. Dacă se negligează și deschiderile de crestătură rotorice atunci nu mai pot să apară curenti armonică de ordinul $-(b-1)$ și $-(b+1)$ și rămâne numai tensiunea electromotoare de ordinul $-b$, în care inductivitatea proprie are expresia uzuală.

Tensiunile electromotoare induse de cîmpurile statorice produse de solenățiile rezultante date de relațiile (1.47) și (1.49) în ochiul (Z) rotoric, calculate în același fel ca în subcapitolul 1.2, sunt:

$$^r e_Z = -^r s\omega_1 \sqrt{2} \sum_b \left\{ ^r M_{12}' \sin \frac{\epsilon \pi}{2p} {}^{-b} I_{1,p} \cos \left({}^r s\omega_1 t - {}^r(Z-1) \frac{2\pi}{Z_2} + {}^r \beta_R + m_1 c \frac{\pi}{2} - {}^{-b} \psi_s \right) + \right.$$

$$+ {}^r M_{12}' \sin \frac{\epsilon \pi}{2p} {}^{-(b-1)} I_{1,p} \cos \left({}^r s\omega_1 t - {}^r(Z-1) \frac{2\pi}{Z_2} + {}^r \beta_R + m_1 c \frac{\pi}{2} - {}^{-(b-1)} \psi_s \right) +$$

$$+ {}^r M_{12}' \sin \frac{\epsilon \pi}{2p} {}^{-(b+1)} I_{1,p} \cos \left({}^r s\omega_1 t - {}^r(Z-1) \frac{2\pi}{Z_2} + {}^r \beta_R + m_1 c \frac{\pi}{2} - {}^{-(b+1)} \psi_s \right) \right\},$$

$${}^{r-Z} e_Z = -{}^{r-Z} s\omega_1 \sqrt{2} \sum_b \left\{ {}^{r-Z} M_{12}' \sin \frac{\epsilon \pi}{2p} {}^{-b} I_{1,p} \cos \left({}^{r-Z} s\omega_1 t - ({}^{r-Z}_1)(Z-1) \frac{2\pi}{Z_2} + ({}^{r-Z}_1) \beta_R + m_1 c \frac{\pi}{2} - {}^{-b} \psi_s \right) + \right.$$

$$+ {}^{r-Z} M_{12}' \sin \frac{\epsilon \pi}{2p} {}^{-(b-1)} I_{1,p} \cos \left({}^{r-Z} s\omega_1 t - ({}^{r-Z}_1)(Z-1) \frac{2\pi}{Z_2} + ({}^{r-Z}_1) \beta_R + m_1 c \frac{\pi}{2} - {}^{-(b-1)} \psi_s \right) + \quad (1.52)$$

$$+ \epsilon' \epsilon' z_1 M'_{12} \sin \frac{\epsilon \pi}{2p} l_{1p} \cos(\sigma - z_1 s \omega_1 t - (\sigma - z_1)(z-1) \frac{2\pi}{Z_2} + (\sigma - z_1) \beta_R + m_1 c \frac{\pi}{2} - (b+1) \varphi_s) \} ,$$

$$\epsilon' z_1 E_{(z)} = \frac{\sigma - z_1}{s \omega_1} \frac{\lambda}{2} \sqrt{2} \sum_b \left\{ \epsilon' \epsilon' z_1 M'_{12} \sin \frac{\epsilon \pi}{2p} l_{1p} \cos(\sigma + z_1 s \omega_1 t - (\sigma + z_1)(z-1) \frac{2\pi}{Z_2} + (\sigma + z_1) \beta_R + m_1 c \frac{\pi}{2} - b \varphi_s) + \right.$$

$$+ \epsilon' \epsilon' z_1 M'_{12} \sin \frac{\epsilon \pi}{2p} l_{1p} \cos(\sigma + z_1 s \omega_1 t - (\sigma + z_1)(z-1) \frac{2\pi}{Z_2} + (\sigma + z_1) \beta_R + m_1 c \frac{\pi}{2} - (b+1) \varphi_s) +$$

$$+ \epsilon' \epsilon' z_1 M'_{12} \sin \frac{\epsilon \pi}{2p} l_{1p} \cos(\sigma + z_1 s \omega_1 t - (\sigma + z_1)(z-1) \frac{2\pi}{Z_2} + (\sigma + z_1) \beta_R + m_1 c \frac{\pi}{2} - (b+1) \varphi_s) \} ,$$

cu expresiile pentru inductivitățile de cuplaj extinse

$$\epsilon' M'_{12} = \frac{2l \tau m_1 w_1 \mu_0}{\pi \delta'} \frac{\epsilon' k_{w1} \epsilon' k_{s1}}{\epsilon} \frac{\epsilon' k_{i2}}{\epsilon} \sin \epsilon \frac{\pi}{Z_2} \cdot \epsilon' k_{DR} , \quad (1.53)$$

$$\epsilon' \epsilon' - z_1 M'_{12} = \frac{2l \tau m_1 w_1 \mu_0}{\pi \delta'} \frac{\epsilon' k_{w1} \epsilon' k_{s1}}{\epsilon} \frac{\epsilon' - z_1 k_{i2}}{\epsilon - z} \sin(\epsilon - z_1) \frac{\pi}{Z_2} \cdot \epsilon' - z_1 k_{DR} ,$$

unde s-a notat

$$\tau = m_1 p c + p \quad (1.54)$$

s-au introdus alunecările:

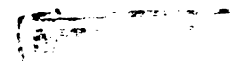
$$\sigma S = 1 - \frac{\sigma}{p}(1-s) , \sigma - z_1 S = 1 - \frac{\sigma - z_1}{p}(1-s) , \sigma + z_1 S = 1 - \frac{\sigma + z_1}{p}(1-s) , \quad (1.55)$$

iar factorii de deschidere rotorici sunt:

$$\epsilon' k_{DR} = 1 - \frac{\lambda_2 \epsilon'}{2 \epsilon' k_{i2}} \left(\frac{\epsilon' z_2 k_{i2}}{\epsilon' - z_2} + \frac{\epsilon' + z_2 k_{i2}}{\epsilon' + z_2} \right) , \quad (1.56)$$

$$\epsilon' k_{DR} = 1 - \frac{\lambda_2 \epsilon'}{2 \epsilon' k_{i2}} \left(\frac{\epsilon' z_2 k_{i2}}{\epsilon' - z_2} + \frac{\epsilon' + z_2 k_{i2}}{\epsilon' + z_2} \right) .$$

Pentru valoarea zero și valorile pare ale lui c ordinele de armonică σ , relația (1.54), sunt identice cu ordinele de armonice. Deci în rotor se introduc tensiuni electromotoare de frecvențe noi numai pentru valorile impare ale lui c și aceste valori, noteate cu c' , vor fi considerate în continuare.



In cazul particular, cînd deschiderile de crestătură se neglijă în ochiul rotoric se induce tensiunea electromotoare:

$$e_{(z)} = \omega \sqrt{2} \sum_b \left\{ M_{12} \sin \frac{\epsilon \pi}{2p} l_{12} \cos(\omega_1 t - \sigma(z-1) \frac{2\pi}{Z_2} + \sigma \beta_R + m_1 c \frac{\pi}{2} - \epsilon \varphi_s) \right\},$$

cu inductivitățile de cuplaj de tipul:

$$M_{12} = \frac{2 \pi l m_1 w_1 \mu_0}{\pi \delta} \frac{\epsilon k_{11} \epsilon k_{12}}{\epsilon^2} \cdot \sin \frac{\epsilon \pi}{Z_2},$$

relații care corespund celor cunoscute, [63].

Tensiunile electromotoare induse în ochiul (z) generează curentii:

$$i_{(z)} = \sqrt{2} l_R \sin(\omega_1 t - \sigma(z-1) \frac{2\pi}{Z_2} + \sigma \beta_R + m_1 c \frac{\pi}{2} - \epsilon \varphi_R),$$

$$i_{(z)}^{s-z} = \sqrt{2} l_R \sin(\sigma z_1 \omega_1 t - (\sigma - Z_1)(z-1) \frac{2\pi}{Z_2} + (\sigma - Z_1) \beta_R + m_1 c \frac{\pi}{2} - \sigma z_1 \varphi_R),$$

$$i_{(z)}^{s+z} = \sqrt{2} l_R \sin(\sigma z_1 \omega_1 t - (\sigma + Z_1)(z-1) \frac{2\pi}{Z_2} + (\sigma + Z_1) \beta_R + m_1 c \frac{\pi}{2} - \sigma z_1 \varphi_R),$$

unde cu i_R , i_R^{s-z} și respectiv i_R^{s+z} , s-au notat valorile eficace ale curentilor din ochiul rotoric iar cu φ_R , φ_R^{s-z} și φ_R^{s+z} defazajul între curenti și tensiunile electromotoare induse.

Procedindu-se în același fel ca și în cazul armonicilor de ordinele v , $v - Z_1$ și $v + Z_1$, subcapitolul 1.3, se obțin pentru soleațiiile rotorice rezultante expresiile:

$$Q_{R(z,t)} = \sqrt{2} l_R \frac{Z_2}{\pi} \frac{\epsilon k_{12}}{\epsilon} \sin \frac{\epsilon \pi}{Z_2} \sin(\omega_1 t - \sigma x_2 + \sigma \beta_R + m_1 c \frac{\pi}{2} - \epsilon \varphi_R),$$

$$Q_{R(x_1,t)} = \sqrt{2} l_R \frac{Z_2}{\pi} \frac{\epsilon k_{12}}{\epsilon} \sin \frac{\epsilon \pi}{Z_2} \sin(\sigma z_1 \omega_1 t - (\sigma - Z_1)(x_1 - \beta_R) + m_1 c \frac{\pi}{2} - \sigma z_1 \varphi_R), \quad (1.57)$$

$$Q_{R(x_2,t)} = \sqrt{2} l_R \frac{Z_2}{\pi} \frac{\epsilon k_{12}}{\epsilon} \sin \frac{\epsilon \pi}{Z_2} \sin(\sigma z_1 \omega_1 t - (\sigma + Z_1)(x_2 - \beta_R) + m_1 c \frac{\pi}{2} - \sigma z_1 \varphi_R),$$

cu condițiile pentru ordinele de armonică:

$$\begin{aligned} \xi &= dZ_2 + \sigma, \quad d = 0, \pm 1, \dots \\ \xi' &= dZ_2 + \sigma - Z_1, \quad d = 0, \pm 1, \dots \\ \xi'' &= dZ_2 + \sigma + Z_1, \quad d = 0, \pm 1, \dots \end{aligned} \quad (1.58)$$

Tensiunile electromotoare induse în ochiul (Z) rotoric de cîmpurile produse de solenatiile rezultante rotorice date de relațiile (1.57) sunt:

$$e_{(Z)} = \sigma s\omega \sqrt{2} \left(\sum_d \xi L_d \right) I_R \cos(\sigma s\omega t - \sigma(Z-1) \frac{2\pi}{Z_2} + \sigma \beta_R + m_1 c \frac{\pi}{2} - \sigma \varphi_R),$$

$$\sigma - Z_1 e_{(Z)} = \sigma - Z_1 s\omega \sqrt{2} \left(\sum_d \xi' L_d \right) I_R \cos(\sigma - Z_1 s\omega t - (\sigma - Z_1)(Z-1) \frac{2\pi}{Z_2} + (\sigma - Z_1) \beta_R + m_1 c \frac{\pi}{2} - \sigma - Z_1 \varphi_R), \quad (1.59)$$

$$\sigma + Z_1 e_{(Z)} = \sigma + Z_1 s\omega \sqrt{2} \left(\sum_d \xi'' L_d \right) I_R \cos(\sigma + Z_1 s\omega t - (\sigma + Z_1)(Z-1) \frac{2\pi}{Z_2} + (\sigma + Z_1) \beta_R + m_1 c \frac{\pi}{2} - \sigma + Z_1 \varphi_R),$$

inductivitățile proprii avînd aceleasi expresii ca și în cazul armonicelor de ordinul μ , μ' și μ'' , subcapitolul 1.3, calculate însă pentru armonicile ξ , ξ' , ξ'' .

Pentru tensiunile electromotoare induse într-o zonă statorică β a unei faze λ , se obține, după calcule similare cu cele făcute în subcapitolul 1.3,

$$\begin{aligned} -d e_{\lambda, \beta} &= -dZ_2 s\omega \sqrt{2} \sum_c \left\{ \xi M_{21\beta}^c I_R \cos \left[dZ_2 s\omega t - \left(1 + \frac{dZ_2}{P} \right) \left((\lambda-1) \frac{2\pi}{m_1} + (\beta-1)\pi \right) - dZ_2 \beta_R + m_1 c \frac{\pi}{2} - \sigma \varphi_R \right] + \right. \\ &\quad + \xi' M_{21\beta}^c I_R \cos \left[dZ_2 s\omega t - \left(1 + \frac{dZ_2}{P} \right) \left((\lambda-1) \frac{2\pi}{m_1} + (\beta-1)\pi \right) - dZ_2 \beta_R + m_1 c \frac{\pi}{2} - \sigma - Z_1 \varphi_R \right] + \\ &\quad \left. + \xi'' M_{21\beta}^c I_R \cos \left[dZ_2 s\omega t - \left(1 + \frac{dZ_2}{P} \right) \left((\lambda-1) \frac{2\pi}{m_1} + (\beta-1)\pi \right) - dZ_2 \beta_R + m_1 c \frac{\pi}{2} - \sigma + Z_1 \varphi_R \right] \right\}, \\ -(d-1) e_{\lambda, \beta} &= -\frac{(d-1)Z_2}{2} s\omega \sqrt{2} \sum_c \left\{ \xi \cdot \xi' \cdot Z_2 M_{21\beta}^c I_R \cos \left[\frac{(d-1)Z_2}{2} s\omega t - \left(1 + \frac{(d-1)Z_2}{P} \right) \left((\lambda-1) \frac{2\pi}{m_1} + (\beta-1)\pi \right) - (d-1)Z_2 \beta_R + m_1 c \frac{\pi}{2} - \sigma \varphi_R \right] + \right. \\ &\quad \left. + \xi' \cdot \xi'' \cdot Z_2 M_{21\beta}^c I_R \cos \left[\frac{(d-1)Z_2}{2} s\omega t - \left(1 + \frac{(d-1)Z_2}{P} \right) \left((\lambda-1) \frac{2\pi}{m_1} + (\beta-1)\pi \right) - (d-1)Z_2 \beta_R + m_1 c \frac{\pi}{2} - \sigma - Z_1 \varphi_R \right] + \right. \\ &\quad \left. + \xi'' \cdot \xi \cdot Z_2 M_{21\beta}^c I_R \cos \left[\frac{(d-1)Z_2}{2} s\omega t - \left(1 + \frac{(d-1)Z_2}{P} \right) \left((\lambda-1) \frac{2\pi}{m_1} + (\beta-1)\pi \right) - (d-1)Z_2 \beta_R + m_1 c \frac{\pi}{2} - \sigma + Z_1 \varphi_R \right] \right\}, \quad 1.6 \end{aligned}$$

$$+ \frac{\xi' \xi'' Z_2}{2} M_{21\beta}^{1 G+Z_1} I_R \cos \left[-(d-1) Z_2 S \omega_1 t - \left(1 + \frac{(d-1) Z_2}{p} \right) \left((\lambda-1) \frac{2\pi}{m_1} + (\rho-1) \pi \right) - (d-1) Z_2 \beta_R + m_1 c \frac{\pi}{2} - \frac{G+Z_1}{2} \varphi_R \right] \},$$

$$- (d+1) e = - \frac{(d+1) Z_2}{2} S \omega_1 \lambda_2 \sqrt{2} \sum_c \left\{ \frac{\xi' \xi'' Z_2}{2} M_{21\beta}^{1 G-Z_1} I_R \cos \left[-(d+1) Z_2 S \omega_1 t - \left(1 + \frac{(d+1) Z_2}{p} \right) \left((\lambda-1) \frac{2\pi}{m_1} + (\rho-1) \pi \right) - (d+1) Z_2 \beta_R + m_1 c \frac{\pi}{2} - \frac{G-Z_1}{2} \varphi_R \right] + \right.$$

$$+ \frac{\xi' \xi'' Z_2}{2} M_{21\beta}^{1 G-Z_1} I_R \cos \left[-(d+1) Z_2 S \omega_1 t - \left(1 + \frac{(d+1) Z_2}{p} \right) \left((\lambda-1) \frac{2\pi}{m_1} + (\rho-1) \pi \right) - (d+1) Z_2 \beta_R + m_1 c \frac{\pi}{2} - \frac{G-Z_1}{2} \varphi_R \right] +$$

$$\left. + \frac{\xi' \xi'' Z_2}{2} M_{21\beta}^{1 G-Z_1} I_R \cos \left[-(d+1) Z_2 S \omega_1 t - \left(1 + \frac{(d+1) Z_2}{p} \right) \left((\lambda-1) \frac{2\pi}{m_1} + (\rho-1) \pi \right) - (d+1) Z_2 \beta_R + m_1 c \frac{\pi}{2} - \frac{G-Z_1}{2} \varphi_R \right] \right\},$$

unde s-au introdus alunecările

$$-dZ_2 S = 1 + \frac{dZ_2}{p}(1-S), \quad -(d-1)Z_2 S = 1 + \frac{(d-1)Z_2}{p}(1-S), \quad -(d+1)Z_2 S = 1 + \frac{(d+1)Z_2}{p}(1-S), \quad (1.61)$$

iar inductivitățile de cuplaj extinse rotor-zonă statorică și factorii de deschidere statorici se calculează cu relațiile (1.45) și (1.46), date în subcapitolul 1.3., înlocuind ordinele de armonică μ, μ', μ'' cu ξ, ξ', ξ'' , și ξ' .

Tinând cont de similitudinea care există între tensiunile electromotoare induse armonice de ordinele $-d, -(d-1)$ și $-(d+1)$ și cele tratate anterior în subcapitolul 1.3, de ordinele $-b, -(b-1)$ și $-(b+1)$, toate considerațiile care s-au făcut în subcapitolul 1.3 rămân valabile.

Intrucât d parurge aceleasi valori ca și b, tensiunile electromotoare induse în zona statorică nu mai conțin armonici noi. Deci procesul reacțiilor multiple se încheie aici în stator putind exista numai armonici de ordinele $-b, -(b-1)$ și $-(b+1)$, care s-au considerat deja.

1.4.2. Zone în paralel cu legături de egalizare

In cazul în care zonele unei faze sunt conectate în paralel cu legături de egalizare, se obține o configurație similară cu cea prezentată în figura 1.6, punctele x comune la două zone con-

secutive fiind legate între ele. Schema echivalentă corespunzătoare armonicii de ordinul $-b$ este dată în figura 1.8, bornele de intrare fiind considerate în scurtcircuit ca și în cazul anterior.

Analizîndu-se schema echivalentă se observă că dacă :

$$\sum_{\beta=1}^{2p} -b e_{\lambda,\beta} \neq 0 \quad (1.62)$$

atunci tensiunile electromotoare din fiecare zonă sunt egale și în fază, adică:

$$-b e_{\lambda,1} = -b e_{\lambda,2} = \dots = -b e_{\lambda,2p},$$

și rezultă imediat că toți curentii din zone sunt nuli.

Dacă suma tensiunilor electromotoare induse în cele $2p$ zone ale unei faze statorice este zero,

$$\sum_{\beta=1}^{2p} -b e_{\lambda,\beta} = 0, \quad (1.63)$$

Fig.1.8. Schema echivalentă a unei faze cu zone în paralel cu legături de egalizare

atunci curentii din fiecare zonă sunt diferenții de zero fiind generat de tensiunea electromotoare indușă în zona respectivă.

Efectuînd suma tensiunilor electromotoare induse în zonele unei faze statorice, pentru armonica de ordinul $-b$, rezultă că inegalitatea (1.62) este adevărată pentru toate valorile lui b care satisfac condiția:

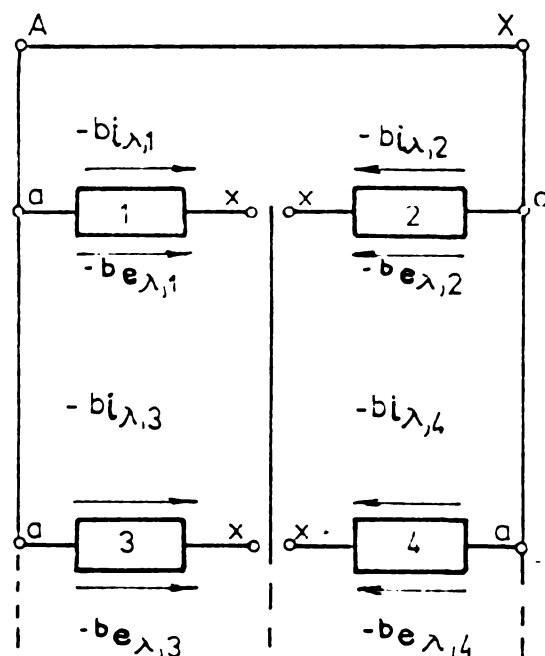
$$bZ_2/p = \pm 1, \pm 3, \dots \quad (1.64)$$

In toate cazurile cînd această condiție nu este îndeplinită, egalitatea (1.63) devine adevărată și atunci curentul din zona β a unei faze statorice λ este:

$$-b i_{\lambda,\beta} = \sqrt{2} -b I_1 \sin \left[\frac{bZ_2}{p} \omega_1 t - \left(1 + \frac{bZ_2}{p} \right) \left((\lambda-1) \frac{2\pi}{m} + (\beta-1) \pi \right) - b Z_2 \beta_R - b \varphi_s \right],$$

fiind generat de tensiunea electromotoare indușă în această zonă.

In rest rezultatele vor fi similare cu cele obținute pentru cazul tratat anterior, al zonelor în paralel fără legături de egalizare. Deci singura deosebire între cele două cazuri de legare în paralel a zonelor, constă în faptul că la zonele în paralel cu legături de egalizare, existența condiției suplimentare (1.64) pentru



ordinele de armonică superioare ale statorului, poate duce la anularea unora dintre acestea.

1.4.3. Zone în serie

Pentru cazul în care zonele fazelor statorice sunt conectate în serie se poate alcătui o schemă echivalentă conform celei din

figura 1.9. Analizând această schemă echivalentă se constată că prin toate zonele va trece un același curent generat de suma tensiunilor electromotoare induse.

Dacă se calculează această sumă pentru armonica de ordinul $-b$ se obține:

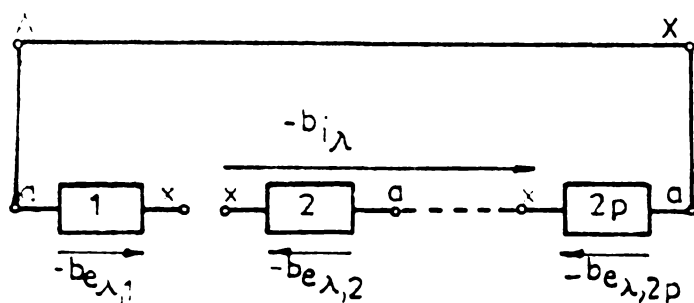


Fig.1.9. Schema echivalentă a unei faze cu zonele legate în serie.

$$\begin{aligned} -b e_{\lambda} = & \sum_{g=1,3,\dots,2p-1}^{-b} e_{\lambda,g} - \sum_{g=2,4,\dots,2p}^{-b} e_{\lambda,g} = -\frac{bZ_2}{2p} \sqrt{2} \left[\left\{ M_{2g}^{(1)} I_R \cos \left[\frac{bZ_2}{2p} \omega t - \left(1 + \frac{bZ_2}{p} \right) (\lambda-1) \frac{2\pi}{m_1} - bZ_2 \beta_R^{-1} \varphi_R \right] + \right. \right. \\ & \left. \left. + M_{2g}^{(2)} I_R \cos \left[\frac{bZ_2}{2p} \omega t - \left(1 + \frac{bZ_2}{p} \right) (\lambda-1) \frac{2\pi}{m_1} - bZ_2 \beta_R^{-1} \varphi_R \right] + M_{2g}^{(3)} I_R \cos \left[\frac{bZ_2}{2p} \omega t - \left(1 + \frac{bZ_2}{p} \right) (\lambda-1) \frac{2\pi}{m_1} - bZ_2 \beta_R^{-1} \varphi_R \right] \right\} \right], \quad (1.65) \end{aligned}$$

cu condiția pentru b

$$\frac{bZ_2}{p} = 2K, \quad K=0, \pm 1, \pm 2, \dots \quad (1.66)$$

Dacă $2K$ este multiplu de m_1 minus unu, adică

$$2K = M(m_1) - 1 \quad (1.67)$$

atunci:

$$1 + \frac{bZ_2}{p} = M(m_1) \quad (1.68)$$

și tensiunile electromotoare induse rezultante pe fazele statorice, armonice de ordinul $-b$, sunt în fază. În această situație reacția va fi nulă în cazul conexiunii fazelor în stea și homopolară în cazul conexiunii fazelor în triunghi, întrucât curentii de pe cele m_1 faze ale statorului sunt și ei în fază.

In cazul mașinilor de inducție uzuale, cind $m_1 = 3$, din con-

dițiile (1.67) și (1.68) se obține:

$$bZ_2/2p = m_1 k + l \quad , \quad k = 0, \pm 1, \pm 2, \dots \quad (1.69)$$

Condiția (1.66) este îndeplinită pentru orice valoare a lui b cind Z_2 este un multiplu de $2p$, pentru valorile pare ale lui b cind Z_2 este multiplu numai de p , și pentru valorile lui b multiplu de $2p$ atunci cind Z_2 și p sunt numere prime între ele.

Curentul, armonică de ordinul $-b$, din fază λ statorică, generat de tensiunea electromotoare indușă rezultantă este:

$$-bI_\lambda = \sqrt{2}^{-b} I_1 \sin \left[-bZ_2 s\omega_1 t - \left(1 + \frac{bZ_2}{p} \right) (\lambda - 1) \frac{2\pi}{m_1} - bZ_2 \beta_R^{-b} \varphi_s' \right],$$

și procedîndu-se în același fel ca și pentru cazul curentului statoric de frecvență rețelei, subcapitolul 1.2, se obține pentru armonica ε a solenășiei statorice rezultante produsă de curentii armonică de ordinul $-b$:

$$\varepsilon^{-b} A_{S(x,t)} = \frac{m_1 w_1}{\pi} \frac{\varepsilon k_{w1} \varepsilon k_{s1}}{\varepsilon} \sqrt{2}^{-b} I_1 \sin \left[bZ_2 s\omega_1 t - \varepsilon x_1 - bZ_2 \beta_R^{-b} \varphi_s' \right], \quad (1.70)$$

cu condiția oentru ordinul de armonică:

$$\varepsilon = p(2m_1 c + l) + bZ_2 \quad , \quad c = 0, \pm 1, \pm 2, \dots \quad (1.71)$$

Tensiunea electromotoare indușă, de cîmpul produs de solenășiiile rezultante de tipul celei date în relația (1.70), într-o zonă statorică este:

$$-bE_{\lambda,\varphi} = -bZ_2 s\omega_1 \sqrt{2}^{-b} I_1 \left(\sum \varepsilon L_{1p} \right) \cos \left[-bZ_2 s\omega_1 t - \left(1 + \frac{bZ_2}{p} \right) (\lambda - 1) \frac{2\pi}{m_1} + (\varphi - \varphi_1) \pi \right] - bZ_2 \beta_R^{-b} \varphi_s', \quad (1.72)$$

inductivitatea proprie extinsă fiind similară cu cea scrisă pentru armonica de ordinul ν , subcapitolul 1.2.

Analizînd condiția pentru ordinul de armonică (1.71) se observă că în toate cazurile în care (1.69) nu este îndeplinită, ordinele de armonică ε parcurg aceleasi valori ca și ordinele de armonică ν exprimate prin condiția (1.21) din subcapitolul 1.2. Deci, dacă fazele sunt conectate în stea reacțiile multiple se încheie aici, iar în cazul fazelor conectate în triunghi apar armonici noi numai pentru situația în care condiția (1.69) este

independență, adică numai în cazul unei circulații homopolare de curenti în fazele statorice.

Calculându-se tensiunea electromotoare induată în ochiul (Z) rotoric de cîmpurile produse de solenagiile rezultante statorice date de relația (1.70) se obține:

$$\sigma' e_{(Z)} = -\sigma' S \omega_1 \sqrt{2} \sum_b^{\infty} \left\{ I_1^b M_{12}^b \cos \left[\sigma' S \omega_1 t - \sigma' (Z-1) \frac{2\pi}{Z_2} + \sigma' \beta_R \right] \right\}, \quad (1.73)$$

unde

$$\sigma' = p(2m_1c + 1), \quad (1.74)$$

și evident că valorile σ' sunt identice cu valorile ν date de (1.21), deci tensiunile electromotoare induse au aceeași frecvență și fază ca și tensiunile electromotoare induse de cîmpul statoric produs de curentul statoric de frecvență rețelei, cu care se adună, procesul de reacție încheindu-se.

1.4.4. Cazul particular cînd numărul de crestături rotorice este un multiplu al numărului de poli ($Z_2/2p=\text{întreg}$).

In cazul în care numărul de crestături rotorice este un multiplu al numărului de perechi de poli, între numărul de crestături statoric și cel rotoric există relația:

$$|Z_1 - Z_2| = 2Kp, \quad K=0, +1, \dots \quad (1.75)$$

și indiferent de modul în care sunt conectate între ele zonele statorice, înfășurarea statorică se comportă față de tensiunile electromotoare induse în procesul reacției secundare ca și cum ar avea zonele conectate în serie.

Pentru a justifica această afirmație trebuie reanalizată expresia tensiunilor electromotoare induse în zona statorică de cîmpul de reacție rotorică. Retranchiind numai expresia pentru armonica de ordinul $-b$:

$$-b e_{\lambda, \rho} = -b Z_2 S \omega_1 \sqrt{2} \sum_v^{\infty} \left\{ M_{21\rho}^v I_k \cos \left[\frac{bZ_2}{p} S \omega_1 t - \left(1 + \frac{bZ_2}{p} \right) (\lambda-1) \frac{2\pi}{m_1} - b Z_2 \beta_R \frac{v}{p} - \left(1 + \frac{bZ_2}{p} \right) (\rho-1) \frac{2\pi}{Z_2} \right] + \dots \right\},$$

se observă imediat că întrucît $bZ_2/2p$ este întreg par $1+bZ_2/2p$ este întreg impar, adică

$$(1+bZ_2/p)(\beta - 1)\pi = K, \quad K=0, \pm 1, \pm 2, \dots$$

și atunci

$$\cos[\alpha - 2K\pi] = \cos\alpha, \quad K=0, \pm 1, \pm 2, \dots$$

pentru zonele impare, și

$$\cos[\alpha - K''\pi] = -\cos\alpha, \quad K''=\pm 1, \pm 2, \dots$$

pentru zonele pare, cu notăția

$$\alpha = -bZ_2 S \omega_1 t - \left(1 + \frac{bZ_2}{p}\right)(\lambda-1) \frac{2\pi}{m_1} - bZ_2 \beta_R \varphi_e .$$

In consecință tensiunile electromotoare induse în zonele fazelor λ sunt în fază pentru toate zonele de același tip, ca și cind zonele ar fi conectate în serie.

Pentru a se opera, în acest caz, și la zonele conectate în paralel cu relațiile obținute pentru zonele conectate în serie, numărul de spire inseriate pe fază trebuie calculat cu relațiile:

$$w_1 = \frac{2pq_1 S_b}{a_1}, \quad w_1 = \frac{pq_1 S_b}{a_1}$$

a_1 fiind numărul de căi de curent în paralel, egal cu numărul de perechi de poli p .

1.4.5. Cazul particular cind numărul de crestături rotorice este un multiplu al numărului de poli ($Z_2/p = \text{întreg impar}$)

Pentru valorile pare ale lui b acest caz este identic cu cel tratat anterior întrucât $1+bZ_2/p$ are valori impare.

Pentru valorile impare ale lui b , $1+bZ_2/p$ este un număr par și tensiunile electromotoare induse în zonele unei faze statorice de cimpul rotoric sunt în fază. In consecință, sumele tensiunilor electromotoare din zonele perechi devin nule ca și curentii generați. Deci, în acest caz, îmfășurarea cu zonele conectate în paralel se comportă ca și cind ar avea legături de egalizare, și armonicile cu numere de ordine impare sunt eliminate.

1.5. MASINA CU ROTOR BOBINAT

Pentru tratarea cazului în care rotorul mașinii este bobinat, se presupune o înfășurare rotorică, identică cu cea statorică, în dublu strat, cu pas scurtat, cu zone de 60° electrice având m_2 faze, $2p$ zone pe fază și q_2 bobine pe zonă. Pasul înfășurării este y_2 iar pasul polar este β_2 , ambele măsurate în număr de crestături.

Intrucât numărul de crestături rotorice, Z_2 este un multiplu ale numărului de perechi de poli, indiferent de modul în care sunt conectate zonele înfășurărilor statorice sau rotorice acestea se comportă în procesul reacțiilor multiple ca și cind ar avea zonele conectate în serie.

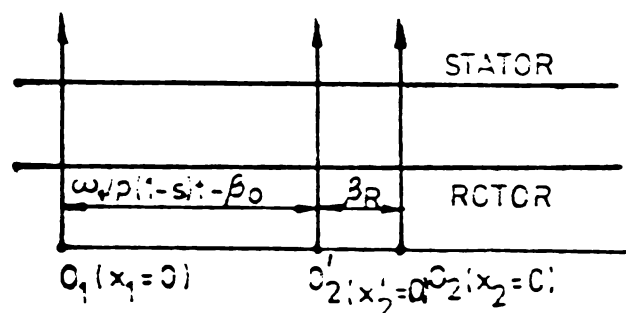


Fig.1.10. Sistemele de axe de coordinate plasate în rotor sunt prezentate în figura 1.10, axa $x'_2=0$ fiind plasată în axa primei bobine a primei zone a primei faze rotorice, iar axa $x_2=0$ fiind plasată în axa primei zone a primei faze rotorice.

Sistemele de axe de coordinate plasate în rotor sunt prezentate în figura 1.10, axa $x'_2=0$ fiind plasată în axa primei bobine a primei zone a primei faze rotorice, iar axa $x_2=0$ fiind plasată în axa primei zone a primei faze rotorice. Înăind cont de poziția axelor $x_1=0$ și $x_2=0$, în axa unui dintre sau în axa unei crestături, semnele coeficienților permeanței echivalente variabile a întrefierului, λ_1 și λ_2 se iau corespunzător. Condiția pentru ca axa $x_2=0$ să fie plasată în axa unui dintre este y_2 și q_2 ambii pari sau impari.

În conformitate cu sistemele de axe adoptate, figura 1.10, între x_1 și x_2 există relația:

$$x_1 = x_2 + \frac{\omega_1}{p}(1-s)t + \beta_R - \beta_0 \quad (1.76)$$

înțreprzentând unghiul inițial, pentru $t=0$, între axele $x_1=0$ și $x'_2=0$.

Cum înfășurarea statorică s-a presupus identică cu cea din cazul tratat anterior al rotorului în colivie, subcapitolul 1.2., solenăitia rezultantă statorică, condițiile pentru ordinele de armănică și tensiunile electromotoare induse în zona statorică sunt date de expresii identice cu cele obținute în subcapitolul 1.2.

Expresia inducției rezultante statorice de ordinul v scrisă față de axa x_2 rotorică se obține din relația (1.28) înlocuind în aceasta pe x'_2 cu x_2 , pe β_R cu $\beta_R = \beta_0 - \beta_R$, și ținând cont de semnele pe care le au coeficienții λ_1 și λ_2 . Efectuând calculele în continuare, se obțin, pentru tensiunile electromotoare induse în zona rotorică, expresiile:

$$e_{\lambda_R, \beta_R} = -v' s \omega_i^{v,v} M'_{12g} \sqrt{2} I_1 \cos \left[v' s \omega_i t - v' (\lambda_R - 1) \frac{2\pi}{pm_2} + (\beta_0 - \beta_R) \right], \quad (1.77)$$

$$e_{\lambda_R, \beta_R} = -v' s \omega_i^{v,v \pm Z_1} M'_{12g} \sqrt{2} I_1 \cos \left[v' s \omega_i t - (v \pm Z_1) (\lambda_R - 1) \frac{2\pi}{pm_2} + (\beta_0 - \beta_R) \right],$$

cu inductivitățile de cuplaj extinse:

$$M'_{12g} = m_1 r l_{W_1} \frac{\mu_0 w_2}{\pi \delta p} \frac{v' k_{i1} k_{f1}}{v} \frac{v' k_{i2} k_{w2}}{v} \cdot k_{DR}, \quad (1.78)$$

$$M'_{12g} = m_1 r l_{W_1} \frac{\mu_0 w_2}{\pi \delta p} \frac{v' k_{i1} k_{f1}}{v} \frac{v' k_{i2} k_{w2}}{v \pm Z_1} \cdot k_{DR},$$

unde numărul de spire inseriate pe faza rotorică este

$$w_2 = \frac{2pq_2 s_{b2}}{s_2}$$

s_2 fiind numărul de căi de curent în paralel, iar factorii de deschidere sint:

$$k_{DR} = 1 + \frac{\lambda_2}{2} \cdot \frac{v}{k_{i2} k_{w2}} \left(\frac{v - Z_2 k_{i2} k_{w2}}{v - Z_2} + \frac{v + Z_2 k_{i2} k_{w2}}{v + Z_2} \right) \quad (1.79)$$

$$k_{DR} = 1 + \frac{\lambda_2}{2} \cdot \frac{v \pm Z_1}{v \pm Z_1 k_{i2} k_{w2}} \left(\frac{v \pm Z_1 k_{i2} k_{w2}}{v \pm Z_1 - Z_2} + \frac{v \pm Z_1 k_{i2} k_{w2}}{v \pm Z_1 + Z_2} \right)$$

alunecările v_s , $v' s$ fiind date de relațiile (1.29).

Calculindu-se tensiunile electromotoare rezultante pe faza λ_R se obține, pentru armonica de ordinul $v' = v, v - Z_1, v + Z_1$,

$$e_{\lambda_R} = -v' s \omega_i^{v,v} M'_{12} \sqrt{2} I_1 \cos \left[v' s \omega_i t - v' (\lambda_R - 1) \frac{2\pi}{pm_2} + v' (\beta_0 - \beta_R) \right], \quad (1.80)$$

inductivitățile de cuplaj extinse pentru fază fiind legate de cele de zonă prin relația

$${}^{v,v'} M_{12}^1 = 2p {}^{v,v'} M_{12}^1 .$$

Condițiile impuse de sumare, $v'/p = \text{întreg}$, sunt îndeplinite pentru toate ordinele de armonică.

Dacă ψ_R sunt defazajele între curenții de fază rotorici și tensiunile electromotoare induse care-i generează atunci

$${}^{v'} i_{\lambda_R} = \sqrt{2} {}^{v'} I_2 \sin [{}^{v'} \omega_1 t - v' (\lambda_e - 1) \frac{2\pi}{p m_2} + v' (\beta_0 - \beta_R) - \psi_R] ,$$

unde s-au notat cu ${}^{v'} I_2$ valorile eficace ale curenților de fază rotorici armonică de ordinul v' .

Succesiunea tensiunilor electromotoare induse în faza rotorică este directă pentru toate ordinele de armonică care satisfac condiția

$$\frac{v'}{p} = m_2 k+1 , \quad (1.81)$$

inversă, pentru ordinele de armonică care satisfac condiția

$$\frac{v'}{p} = m_2 k-1 \quad (1.82)$$

și homopolară pentru ordinele de armonică care satisfac condiția

$$\frac{v'}{p} = m_2 k . \quad (1.83)$$

în cazul în care $m_1 \neq m_2$, constanta k fiind peste tot $k=0, \pm 1, \dots$

Calculând solenăția rezultantă rotorică armonică de ordinul μ' , produsă de curenții armonică de ordinul v' se obține, procedând similar ca în calculul solenăției rezultante statorice, subcapitolul 1.2,

$${}^{\mu',v'} A_{R(x_2)} = \frac{\mu_0 m_2 w_2}{\pi \mu \delta'} \cdot R_{w2} R_{f2} {}^{v'} I_2 \sin [{}^{v'} \omega_1 t - \mu x + v' (\beta_0 - \beta_R) - \psi_R] , \quad (1.84)$$

condiția pentru ordinele de armonică μ' fiind:

$$\mu' = 2m_2 pb + v' , \quad b=0, \pm 1, \dots , \quad v' = v, v - Z_1, v + Z_1 . \quad (1.85)$$

Tensiunile electromotoare induse în faza rotorică de cîmpul

propriu, calculate similar cu cele induse în faza statorică de cîmpul statoric, subcapitolul 1.2, sînt:

$$e_{\lambda_R} = -s\omega_1 \sum_k' L_2 \cos [s\omega_1 t - v(\lambda_R - 1) \frac{2\pi}{pm_2} + v(\beta_0 - \beta_R) - v\varphi_R] \cdot I_2, \quad (1.86)$$

inductivitățile extinse ale fazelor rotorice avînd expresia:

$$\frac{k'}{2} L_2 = \frac{2\mu_0 r}{\pi \delta} \left(w_2 \frac{k' k_{w2}}{\mu'} \right)^2 \cdot k' k_{f2}. \quad (1.87)$$

Exprimînd cîmpul rezultant armonică μ' , v' rotoric și calculînd tensiunile electromotoare induse în faza statorică se obține pentru acestea expresia:

$$-b' e_{\lambda} = -b' s\omega_1 \sum_k' M_{21}^k v' I_2 \cos [b' s\omega_1 t - (2m_2 b + 1)(\lambda - 1) \frac{2\pi}{m_1} - 2m_2 b p (\beta_0 - \beta_R) - v'\varphi_R], \quad (1.88)$$

unde $b' = b$, $b - q_2$, $b + q_2$; $\mu' = \mu'$, $\mu' - Z_2$, $\mu' + Z_2$, inductivitățile de cuplaj rotor-zonă statorică fiind:

$$k' k'' M_{21}^k = 2m_2 r |w_2| \frac{\mu_0}{\pi \delta} \frac{k' k_{w2} k_{f2}}{\mu'} \frac{k' k_{w1} k'' k_{il}}{\mu''} w_1 R_{DS}, \quad (1.89)$$

iar factorii de deschidere

$$k'' k_{DS} = 1 + \frac{\lambda_1}{2} \frac{\mu''}{k' k_{il} k_{w1}} \left(\frac{k'' Z_1 k_{il} k'' Z_1 k_{w1}}{\mu'' - Z} - \frac{k'' Z_1 k_{il} k'' Z_1 k_{w1}}{\mu'' + Z} \right). \quad (1.90)$$

In cazul în care crestătura statorică nu este înclinată atunci $k'' k_{il} = \mu'' - Z$, $k_{il} = \mu'' + Z$, $k_{il} = 1$ și relațiile (1.89) și (1.90) se modifică corespunzător.

Expresiile alunecărilor $-b'_s$ sînt:

$$-b'_s = 1 + \frac{2m_2 p b}{p} (1 - s). \quad (1.91)$$

Deci ca și în cazul rotorului în colivie în stator apar armonici datorate reacției și crestării dar armonicele de crestere au ordini mai mari și devin astfel mai neimportante.

Analizînd expresia tensiunii electromotoare induse într-o fază statorică de cîmpul rotoric, $-b' e_{\lambda}$, se observă că se obține un sistem homopolar în cazul în care este îndeplinită condiția:

$$2m_2^b = km_1 - l \quad , \quad k=0, \pm 1, \dots \quad (1.92)$$

și atunci acest sistem se anulează la conexiunea stea, dând un curent homopolar la conexiunea triunghi.

Dacă se notează cu $-\beta \varphi_s$ defazajul dintre curenții armonici statorici și tensiunile electromotoare care-i generează și cu $-\beta I_1$ valoarea eficace a curentului de fază armonic de ordinul $-b$, expresia curentului din fază λ statorică este, considerind bornele fazei scurtcircuitate,

$$-b I_\lambda = \sqrt{2}^{-b} I_1 \sin \left[b sw_1 t - (2m_2^b + 1)(\lambda - 1) \frac{2\pi}{m_1} - 2m_2^b p(\beta_0 - \beta_R) - \beta \varphi_s - \beta \varphi_R \right] ,$$

și calculul solenăției rezultante statorice armonică de ordinul ε' produsă de această armonică de curent duce la:

$$\varepsilon'^{-b} Q_{S(x_1)} = \frac{\mu_0 m_1 w_1}{\pi \varepsilon' \delta'} k_{w_1}^{-b} k_{\varepsilon'}^{-b} I_1 \sin \left[b sw_1 t - \varepsilon' x_1 - 2m_2^b p(\beta_0 - \beta_R) - \beta \varphi_s - \beta \varphi_R \right] , \quad (1.93)$$

cu condiția pentru ordinele de armonică

$$\varepsilon' = 2cm_1 p + p(2m_2^b + 1), \quad c=0, \pm 1, \pm 2, \dots \quad (1.94)$$

Tensiunea electromotoare indusă în fază statorică de cîmpul propriu este, după efectuarea calculelor, :

$$-b E_\lambda = -b sw_1 \sum_{\varepsilon'} \varepsilon' L_1 \sqrt{2}^{-b} I_1 \cos \left[b sw_1 t - (2m_2^b + 1)(\lambda - 1) \frac{2\pi}{m_1} - 2m_2^b p(\beta_0 - \beta_R) - \beta \varphi_s - \beta \varphi_R \right] , \quad (1.95)$$

inductivitățile extinse ale fazei statorice $\varepsilon' L_1$ fiind date de relația

$$\varepsilon' L_1 = \frac{2\mu_0 l \tau}{\pi \delta'} \left(w_1 \frac{\varepsilon' k_{w_1}}{\varepsilon'} \right)^2 \cdot k_{\varepsilon'} , \quad (1.96)$$

Intrucît constanta c , care caracterizează ordinele de armonică ε' , parurge aceleasi valori ca și constanta a , care caracte - rizează ordinele de armonică v , cîmpurile statorice armonice pro - duse de solenățiiile armonice statorice de ordinul ε' nu produc frecvențe noi în rotor. Astfel, tensiunile electromotoare induse de cîmpurile statorice armonice de ordinul ε' în fază rotorică sunt date de relațiile:

$$e_{\lambda_R} = -S \omega_1^{\varepsilon, \varepsilon''} M_{12} \sqrt{2}^{-b} |, \cos [S \omega_1 t - \sigma(\lambda_R - 1) \frac{2\pi}{pm_2} + \sigma(\beta_0 - \beta_R) - b \varphi_S - v \varphi_R], \quad (1.97)$$

unde ordinele de armonică σ' sănt:

$$\sigma' = p(2cm_1 + 1), \quad p(2cm_1 + 1) - Z_1, \quad p(2cm_1 + 1) + Z_1, \quad (1.98)$$

identice cu ordinele v' , iar ordinele ε'' sănt:

$$\varepsilon'' = \varepsilon', \quad \varepsilon' - Z_1, \quad \varepsilon' + Z_1 \quad (1.99)$$

Inductivitățile de cuplaj și factorii de deschidere rotorici se obțin cu relațiile (1.78) și (1.79) prin înlocuirea ordinelor v și v' cu ε' și ε'' și introducerea factorului de înfășurare rotoric în locul factorului de ochi.

Procesul reacțiilor multiple în cazul rotorului bobinat se încheie odată cu prima reacție statorică, considerarea armonicilor de creștere neinfluentând, ca și în cazul rotorului în colivie, numărul reacțiilor multiple care apar în mașină.

Alunecările care apar în expresiile tensiunilor electromotoare induse în fază rotorică, relația (1.97), sănt

$$\sigma' s = 1 - \frac{\sigma'}{p}(1-s), \quad (1.100)$$

fiind identice cu alunecările $v's$. Deci tensiunile electromotoare induse armonice de ordinul σ' sănt de aceeași frecvență cu tensiunile electromotoare induse armonice de ordinul v' , fiind defazate față de acestea în timp datorită decalajelor $-b\varphi_S$ și $v\varphi_R$ introduse de parametrii înfășurărilor statorice respectiv rotorice.

In cazul în care numărul de faze al înfășurării statorice este egal cu numărul de faze al înfășurării rotorice, $m_1 = m_2$, nu pot să apară sisteme de tensiuni electromotoare induse de tip homopolar în nici una dintre armături și în consecință modul în care sănt conectate fazele înfășurărilor nu mai influențează ordinele de armonică.

1.6. AMPLITUDINEA SI ORDINUL ARMONICILOR

Amplitudinea armonicilor cîmpului de întrefier, a tensiunilor electromotoare induse și a curenților armonici depinde de valoriile factorilor care intervin în expresiile inductivităților extinse.

Din acest motiv este important să se precizeze pentru ce ordine de armonică apar diferenți factori, care sunt condițiile de anulare ale acestora și cum se poate acționa în vederea atenuării unor armonice.

In tabelul 1.1. sunt prezentate toate combinațiile de ordine de armonică care apar în cazul mașinii cu rotorul în colivie avînd zonele fazei statorice conectate în paralel fără legături de egalizare, cazul cel mai general, și factorii din expresiile inductivi - tăgilor care se calculează pentru aceste ordine. In tabel, la factorii considerați, s-a adoptat o notație generală φ pentru ordinele

Tabelul 1.1.

Factorii din induc-		$\varphi_{k_{w1}}$	$\varphi_{k_{f1}}$	$\varphi_{k_{f2}}$	$\sin \varphi \frac{\pi}{Z_2}$	$\varphi_{k_{i2}}$	$\varphi_{R_{i1}}$
Ordinele de armonică							
v		X	X		X	X	
$v \pm Z_1$.			X	X	
μ, μ', μ''		X		X	X		X
$\mu \pm Z_2, \mu' \pm Z_2, \mu'' \pm Z_2$		X					X
$\mu' \pm Z_1, \mu'' \pm Z_1$		X					X
$\mu' \pm Z_1 \pm Z_2, \mu'' \pm Z_1 \pm Z_2$		X					X
$\varepsilon, \varepsilon', \varepsilon''$		X	X		X	X	
$\varepsilon \pm Z_1, \varepsilon' \pm Z_1, \varepsilon'' \pm Z_1$					X	X	
$\varepsilon' \pm Z_2, \varepsilon'' \pm Z_2$					X	X	
$\varepsilon' \pm Z_2 \pm Z_1, \varepsilon'' \pm Z_2 \pm Z_1$					X	X	
ξ, ξ', ξ''		X		X	X		X
$\xi \pm Z_2, \xi' \pm Z_2, \xi'' \pm Z_2$		X					X
$\xi' \pm Z_1, \xi'' \pm Z_1$		X					X
$\xi' \pm Z_1 \pm Z_2, \xi'' \pm Z_1 \pm Z_2$		X					X

de armonică, și în coloana fiecărui factor s-a notat cu X ordinul de armonică la care se calculează.

Pentru ordinele de armonică datorate creșterii se observă că

$$\Psi_{R_{w1}} = -\Psi_{K_{w1}}, \Psi_{K_{w1}} = (-1)^{y+q} \cdot \Psi_{K_{w1}}, \sin \frac{\Psi \pm Z_2 \pi}{Z_2} = -\sin \frac{\Psi \pi}{Z_2},$$

deci armonicele datorate deschiderilor proprii de crestătură nu se reduc cu factorii de înfășurare sau factorii de ochi rotorici.

Condițiile pentru anularea factorilor de înfășurare, de acuritate, de ochi rotorici și ale coeficientilor de formă ai solenoidelor, pentru un ordin de armonică Ψ sunt:

$$\begin{aligned} \Psi_{k_{yi}} &= 0, \quad \Psi/2p = K_{zi}/y_i; \\ \Psi_{K_{qi}} &= 0, \quad \Psi/2p = K_{mi}, \quad \Psi/2p \neq K_{qi}m_i; \\ \Psi_{R_{ii}} &= 0, \quad \Psi = (2K'+1)\eta_i; \\ \sin \frac{\Psi \pi}{Z_2} &= 0, \quad \Psi = KZ_2; \\ \Psi_{K_{fi}} &= 0, \quad \Psi = (2K'+1)2\pi/\alpha_{zi}; \end{aligned} \quad (1.101)$$

unde $K = \pm 1, \pm 2, \dots, K' = 0, \pm 1, \pm 2, \dots$, și $i = 1, 2$.

Factorii de deschidere, dacă crestăturile nu sunt inclinate pe nici una dintre armături și $y_1 + q_1 = 2K$, deci semnul lui λ_1 și este pozitiv, au expresiile:

$$\begin{aligned} \Psi_{k_{DS}} &= 1 - \frac{\lambda_1}{2} \left(\frac{\Psi}{\Psi - Z_1} + \frac{\Psi}{\Psi + Z_1} \right), \\ \Psi_{k_{DR}} &= 1 - \frac{\lambda_2}{2} \left(\frac{\Psi}{\Psi - Z_2} + \frac{\Psi}{\Psi + Z_2} \right), \end{aligned} \quad (1.102)$$

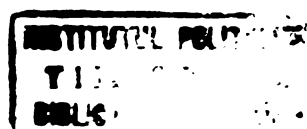
și după efectuarea calculelor se obține:

$$\Psi_{k_{DS}} = 1 - \lambda_1 \frac{\Psi^2}{\Psi^2 - Z_1^2}, \quad \Psi_{k_{DR}} = 1 - \lambda_2 \frac{\Psi^2}{\Psi^2 - Z_2^2},$$

evidențindu-se amplificarea pe care o realizează pentru armonicile de ordinul $p \pm Z_1$ și respectiv $p \pm Z_2$, întrucât

$$\frac{(p \pm Z_1)^2}{p(p \pm 2Z_1)} > 1, \quad \frac{(p \pm Z_2)^2}{p(p \pm 2Z_2)} > 1.$$

In expresia tensiunilor electromotoare induse variază cu deschiderea de crestătură factorii de deschidere și factorul lui C.R. Pentru a exemplifica influența acestora se consideră o mașină cu $Z_1 = 24, p = 1$ și fără crestături pe rotor. În tabelul 1.2 sunt prezentate valoările factorilor combinați κ_{DS}/κ_c pentru armonicele pînă la



ordinul patru, la reportul $t/\delta = 20$ pentru diferite valori ale raportului b_0/t , coeficienții λ_1 și k_c fiind calculați cu relațiile (1.10.b).

Tabelul 1.2.

b_0/t	1	-5	7	-11	13	-17	19	-23	25
0,1	0,91	0,92	0,92	0,96	0,98	1,09	1,22	2,99	-1,46
0,2	0,84	0,85	0,87	0,93	0,98	1,18	1,42	4,72	-3,57
0,3	0,76	0,78	0,80	0,86	0,91	1,12	1,36	4,74	-3,75
0,4	0,68	0,69	0,71	0,77	0,83	1,05	1,30	4,85	-4,05
0,5	0,60	0,62	0,64	0,71	0,77	1,00	1,27	5,12	-4,53
0,6	0,52	0,54	0,56	0,63	0,69	0,94	1,21	5,16	-4,73
0,7	0,44	0,46	0,48	0,54	0,60	0,82	1,07	4,69	-4,38
0,8	0,34	0,36	0,37	0,42	0,46	0,64	0,84	3,65	-3,41
0,9	0,23	0,24	0,24	0,27	0,30	0,39	0,51	2,09	-1,88
1,0	0,10	0,10	0,10	0,10	0,10	0,10	0,10	0,10	0,10

Din analiza rezultatelor prezentate în tabelul 1.2 se evidențiază concluziile importante:

-Factorii de deschidere produc o amplificare importantă a armonicilor din cîmp de ordinul $p-Z_1$, $p+Z_1$, respectiv -23 și 25 în cazul considerat, amplificare care atinge valoarea maximă pentru deschideri raportate de creștătură în jurul valorilor $b_0/t=0,5-0,6$.

-Factorii de deschidere nu modifică practic fundamentalul indiferent de deschiderea raportată a creștăturii, și modificația esențială armonicile ale căror ordine au valori mult diferite de valoarea numărului de creștăuri. Armonicile cu numere de ordine apropiate de numărul de creștăuri, dar diferite de $p \pm Z_1$, sunt și el amplificate ușor evidențiindu-se și în acest caz un efect ușor de redresare care apare însă pregnant la ordinea $p+Z_1$.

Coeficienții de formă ai solenajiei φ_{k_p} au asupra armonicilor ce apar în cîmp un efect opus factorilor de deschidere. Astfel, din valorile prezentate în tabelul 1.3 pentru coeficientul de formă

Tabelul 1.3.

$b_0/t \backslash \varphi$	1	-5	7	-11	13	-17	19	-23	25
0,1	1,00	1,00	1,00	1,00	1,00	0,99	0,99	0,99	0,98
0,2	1,00	1,00	0,99	0,99	0,98	0,97	0,96	0,94	0,93
0,3	1,00	0,99	0,99	0,97	0,96	0,93	0,91	0,87	0,85
0,4	1,00	0,99	0,98	0,95	0,92	0,87	0,84	0,78	0,74
0,5	1,00	0,98	0,97	0,92	0,88	0,81	0,76	0,66	0,61
0,6	1,00	0,97	0,95	0,88	0,84	0,73	0,67	0,54	0,47
0,7	1,00	0,97	0,93	0,84	0,78	0,64	0,57	0,41	0,33
0,8	1,00	0,95	0,91	0,79	0,72	0,55	0,46	0,28	0,19
0,9	1,00	0,94	0,89	0,74	0,65	0,45	0,35	0,15	0,07
1,0	1,00	0,93	0,86	0,69	0,58	0,36	0,24	0,04	-0,04

al solenoiicii statorice în cazul aceleiasi mașini cu $Z_1=24$, $p=1$ se observă că acesta reduce amplitudinea armonicilor cu numere de ordine apropiate de Z_1 odată cu creșterea deschiderii reportată la creșterea factorului de deschidere. Totuși această reducere de amplitudine nu compensează creșterea foarte mare pe care o introduce factorii de deschidere.

Dacă creșterile de pe cele două armături sunt inclinate valoarea factorilor de deschidere se reduce pentru armonicile cu numere de ordine $\pm Z_1$, deci inclinarea permite o atenuare a armonicilor de creștere.

C A P I T O L U L 2

INDUCTIVITATILE DE DISPERSIE

Dispersia înfășurărilor mașinii de inducție constă în principal din dispersia părții de înfășurare plasată în crestături și dispersia părții frontale. Dispersia frontală este influențată în primul rând de geometria capetelor de bobine și a circuitului magnetic înconjurător, iar dispersia crestăturii de formă crestăturii și de tipul de înfășurare. Tinând cont de acestea, tratarea dispersiei de crestătură va fi mai aprofundată în timp ce pentru dispersia frontală se va urmări numai alegerea unei relații de calcul cît mai adecvate.

Peste tot, în acest capitol, permeabilitatea fierului se consideră infinită, efectele saturăției circuitului magnetic asupra dispersiei crestăturii urmând să fie discutate în capitolul 4.

2.1. DISPERSIA PARTII DE INFASURARE PLASATA IN CRESTATURA

La mașina de inducție, într-o crestătură, se găsesc conductori apartinând unei laturi de bobină la înfășurările în simplu strat, sau a două laturi de bobină la înfășurările în dublu strat. Dacă se notează cu N numărul de conductoare inseriate într-o bobină, și cu l lungimea miezului, pentru cazul unei singure laturi de bobină în crestătură, inductivitatea de dispersie a acesteia este:

$$L_d = \mu_0 (N^2 \lambda_c) \quad (2.1)$$

λ_c fiind permeanța specifică a crestăturii considerate.

Pentru înfășurările în simplu strat configurația fluxurilor de dispersie este aceeași pentru toate crestăturile care conțin bobinele unei zone și inductivitatea de dispersie corespunzătoare are expresia:

$$L_{eq} = \mu_0 (N^2 \lambda_q) \quad (2.2)$$

unde s-a introdus permeanța specifică pentru o zonă

$$\lambda_q = 2q\lambda_c, \quad (2.3)$$

q fiind numărul de crestături pe pol și fază.

In cazul înfășurărilor în dublu strat fluxurile de dispersie pot să difere de la o crestătură la alta a zonei și pentru determinarea inductivității de dispersie corespunzătoare trebuie analizată întreaga zonă. Dacă se notează cu L_{da} , L_{db} inductivitatea de dispersie a unei laturi de bobină păsată în partea superioară, respectiv inferioară a crestăturii și cu L_{dm} inductivitatea de cuplaj între laturile de bobină dintr-o crestătură, se obține pentru bobinale unei zone:

$$L_{dq} = q(L_{da} + L_{db}) + L_{dm} \sum_1^{2q} \cos\theta_{xi} \quad (2.4)$$

unde θ_{xi} este defazajul dintre curentul din laturile de bobine ale zonei considerate și curentii din celelalte laturi de bobină ce se găsesc în crestăturile zonei. Relația (2.4) se poate scrie și pentru permeanțele specifice, adică:

$$\lambda_q = q(\lambda_a + \lambda_b) + \lambda_m \sum_1^{2q} \cos\theta_{xi} \quad (2.5)$$

unde λ_a , λ_b și λ_m corespund inductivităților L_{da} , L_{db} și L_{dm} .

Deci inductivitatea de dispersie pentru o zonă se calculează în cazul înfășurărilor în dublu strat, cu relația (2.2) în care se introduce permeanța specifică dată de relația (2.5).

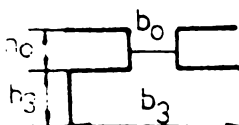
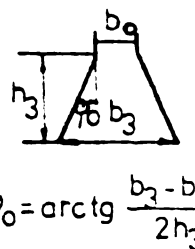
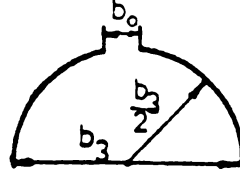
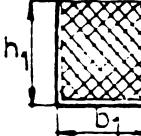
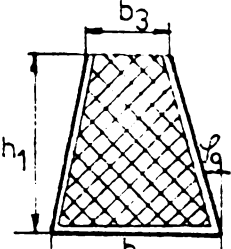
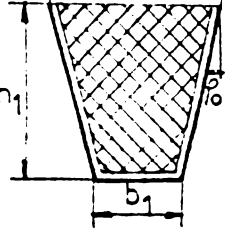
2.1.1. Permeanțele specifice ale crestăturii

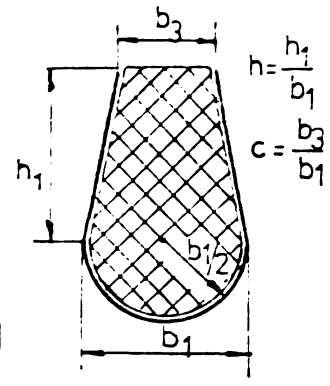
Permeanța specifică a crestăturii se poate calcula din energia magnetică,

$$\lambda = \frac{2 W_m}{\mu_0 I^2}, \quad (2.6)$$

I fiind curentul care parcurge spirele din crestătură. Energia magnetică, W_m , înmagazinată în crestătură se exprimă cu relațiile:

$$W_m = \frac{1}{2} \int_V \bar{B} \cdot \bar{H} dv = \frac{1}{2} \int_V \text{rot} \bar{A} \cdot \bar{H} dv = -\frac{1}{2} \int_V \bar{A} \cdot \bar{J} dv + \frac{1}{2} \int_S (\bar{A} \cdot \bar{H}) \bar{n} \cdot d\bar{s} \quad (2.7)$$

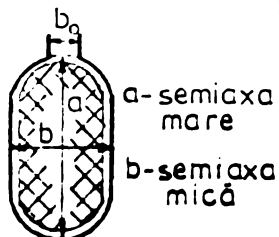
FORMA ELEMENTULUI DE CRESTĂTURĂ ȘI NOTAȚIALE UTILIZATE	RELATIILE DE CALCUL PENTRU PERMEANTELE SPECIFICE	OBSERVATII
	$\lambda = \frac{h_3}{b_3} + \frac{h_0}{b_0}$ (2.9)	*
 $\phi_0 = \arctg \frac{b_3 - b_0}{2h_3}$	$\lambda = \frac{h_3}{b_3 - b_0} \ln \left(\frac{b_3}{b_0} \right)$ (2.10)	După [73]
	$\lambda = \frac{1}{2\varphi_0} \ln \left(\frac{b_3}{b_0} \right)$ (2.11)	Anexa 2
	$\lambda = \frac{1}{2} \arcsin \sqrt{1 - (b_0/b_3)^2}$ (2.12)	*
	$\lambda = \frac{1.2}{1 + 2 b_0/b_3}$ (2.13)	Formulă aproximativă [78]
	$\lambda = \frac{h_1}{3b_1}$ (2.14)	*
$c = \frac{b_3}{b_1}$  $\phi_0 = \arctg \frac{b_1 - b_3}{2h_1}$	$\lambda = \frac{h_1/b_1}{(1+c)^2} \left[1 + \frac{\ln(1/c)}{(1-c)^3} - \frac{1}{(1-c)^2} - \frac{1}{2(1-c)} - \frac{1-c}{4} \right]$ (2.15)	*
	$\lambda = \frac{h_1}{3b_e} \cdot b_e = b_3 + (b_1 - b_3) \left[\frac{4}{3} \frac{(1-c^2)^2}{(c^2-1)(3-c^2)-4\ln c} - \frac{c}{1-c} \right]$ (2.16)	După [35]
	$\lambda = \frac{1}{2\varphi_0(1-c^2)^2} \left[\ln \frac{1}{c} - \frac{1}{2}(1-c^2)^2 - \frac{1}{4}(1-c^4) \right]$ (2.17)	Anexa 2
$c = \frac{b_1}{b_3}; c_1 = \frac{b_3}{b_1}$  $\phi_0 = \arctg \frac{b_3 - b_1}{2h_1}$	$\lambda = \frac{h_1/b_1}{(1+c_1)^2} \left[1 + \frac{\ln(1/c_1)}{(1-c_1)^3} - \frac{1}{(1-c_1)^2} - \frac{1}{2(1-c_1)} - \frac{1-c_1}{4} \right]$ (2.18)	*
	$\lambda = \frac{h_1}{3b_e} \cdot b_e = b_3 + (b_1 - b_3) \left[\frac{1}{1-c} - \frac{4}{3} \frac{(1-c^2)^2}{(1-c^2)(1-3c^2)-4c^4\ln c} \right]$ (2.19)	După [35]
	$\lambda = \frac{1}{2\varphi_0(1-c^2)^2} \left[c^4 \ln \frac{1}{c} + \frac{1}{2}(1-c^2)^2 - \frac{1}{4}(1-c^4) \right]$ (2.20)	Anexa 2



$$\lambda = \frac{1}{[\pi + 4h(1+c)]^2} \left\{ \frac{\pi^3}{12} - \frac{3\pi}{8} + 16h^3 \left[1 + \frac{1}{(1-c)^3} \ln \frac{1}{c} - \frac{1}{(1-c)^2} - \frac{1}{2(1-c)} \cdot \frac{1-c}{4} \right] + \frac{\pi h}{1-c} (\pi \ln \frac{1}{c} + \frac{8h}{1-c} \ln \frac{1}{c} - 8h) \right\} \quad (2.21)$$

Prin echivalare cu un trapez cu parametrii:

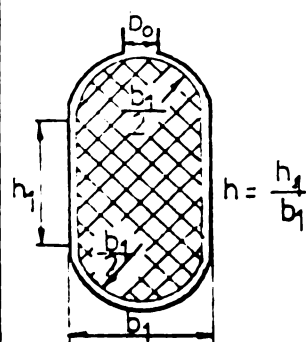
$$b'_3 = b_3; b'_1 = b_1 + \frac{b_1}{4h_1}(b_1 - b_3); h'_1 = h_1 + \frac{b_1}{4}; \varphi_0 = \arctan \frac{b_1 - b_2}{2h_1}$$



$$\lambda = \frac{1}{16\pi} \left(\frac{3a}{b} - \frac{b}{a} \right) + \varphi(\alpha_0, \beta_0)$$

$$\varphi(\alpha_0, \beta_0) = \frac{1}{\pi \beta_0^2} \sum_{n=1}^{\infty} \frac{\sin^2 n \beta_0}{n^3} \operatorname{cthn} \alpha_0; \alpha_0 = \frac{1}{2} \ln \frac{a+b}{a-b}; \beta_0 = \frac{b_0}{2b}$$

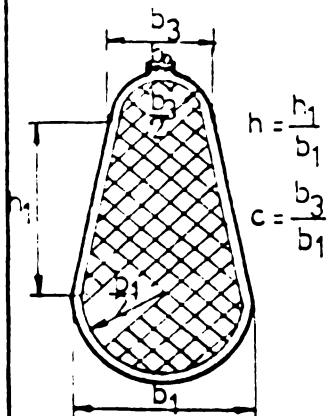
După [82]



$$\lambda = \frac{1}{[\pi + 4h]^2} \left[\frac{11\pi^3}{48} + \frac{\pi}{32} \cdot h \left(\frac{7\pi^2}{4} + 2 \right) + 6\pi h^2 + \frac{16}{3} h^3 \right] \quad (2.23)$$

Prin echivalare cu o elipsă cu parametrii:

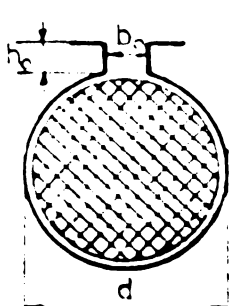
$$a = \frac{1}{2} (h_1 + b_1), \quad b = \frac{b_1}{2}, \quad b'_0 = b_0$$



$$\lambda = \frac{1}{[\pi(1+c^2) + 4h(1+c)]^2} \left\{ \frac{\pi^3}{12} - \frac{3\pi}{8} + 16h^3 \left[1 + \frac{1}{(1-c)^3} \ln \frac{1}{c} - \frac{1}{(1-c)^2} - \frac{1}{2(1-c)} \cdot \frac{1-c}{4} \right] + \frac{\pi h}{1-c} (\pi \ln \frac{1}{c} + \frac{8h}{1-c} \ln \frac{1}{c} - 8h) + \frac{\pi}{4} \left[\pi + 4h(1+c) \right]^2 + \left[\pi + 4h(1+c) \right] c^2 \left(\frac{\pi^2}{4} + 1 \right) + c^4 \left(\frac{\pi^3}{12} + \frac{5\pi}{8} \right) \right\} \quad (2.24)$$

Prin echivalare cu o elipsă cu parametrii:

$$b = \frac{b_1 + b_3}{2}; \quad a = \frac{1}{2} \frac{b_1^2 + b_3^2}{b_1 + b_3} \cdot \frac{2}{\pi} h_1; \quad b'_0 = b_0$$



$$\lambda = 0,624$$

(2.25)

$$\lambda = 0,298 - \frac{1}{\pi} \ln \frac{b_0}{c}$$

După [82]

(2.25)

$$\lambda = 0,47 + 0,066 \cdot \frac{d}{b_0}$$

Foto: I.C. -
R.R. 1971,
după [82].

(2.27)

unde \bar{B} este inducția magnetică, \bar{H} intensitatea cîmpului magnetic, \bar{J} densitatea de curent, \bar{A} potențialul magnetic vector, dv elementul de volum, dS elementul de suprafață iar \bar{n} este normala la suprafața de integrare. Pentru a calcula în acest fel permeanța specifică trebuie rezolvate ecuațiile de cîmp și exprimați A și H.

In cazul în care fluxul de dispersie din crestătură se presupune perpendicular pe planul median al crestăturii și conductoarele sunt repartizate uniform în crestătură permeanța specifică se poate calcula pentru diferite porțiuni ale crestăturii cu relația:

$$\lambda = \frac{1}{N^2} \int_0^h N_x^2 \frac{dx}{b_x} \quad (2.8)$$

unde N_x reprezintă numărul de conductoare din porțiunea elementară a crestăturii definită de înălțimea dx și de lățimea b_x , iar N reprezintă numărul total de conductoare din porțiunea de crestătură de înălțime totală h pentru care se face calculul.

In tabelul 2.1 sunt date relațiile de calcul pentru permeanțele specifice pe porțiuni de crestătură ocupate sau neocupate de conductoare în cazul formelor celor mai întâlnite.

Toate relațiile notate cu asterisc în tabelul 2.1 sunt obținute cu metoda de calcul simplificată, relația (2.8), în Anexa 2 fiind dat ca exemplu calculul pentru obținerea relației (2.21), cazul crestăturii ovale trapezoidale.

Relațiile (2.11), (2.17) și (2.20) pentru forme trapezoidale de crestătură s-au obținut prin rezolvarea ecuațiilor de cîmp, calculele fiind date de Anexa 2

Tabelul 2.2

$\frac{b_3}{b_0}$	Permeanță specifică pentru $\varphi_c = \pi/3$			Permeanță specifică pentru $\varphi_c = \pi/4$		
	Cu (2.10)	Cu (2.11)	După [29]	Cu (2.10)	Cu (2.11)	După [29]
2	0,2009	0,3310	0,289	0,3466	0,4413	0,418
3	0,3171	0,5245	0,479	0,5493	0,6994	0,675
4	0,4002	0,6619	0,615	0,6932	0,8825	0,850
6	0,5172	0,8555	0,809	0,8959	1,1407	1,116
8	0,6003	0,9929	0,945	1,0397	1,3238	1,300
10	0,6647	1,0994	1,052	1,1513	1,4659	1,442

In tabelul 2.2 sînt date valorile permeanțelor specifice pentru locul de pană de formă trapezoidală calculate cu relațiile (2.10),(2.11) și indicate în literatură [29]. Luînd ca referință valorile date în [29] rezultă că relația (2.11) dă valori ceva mai mari, dar suficient de apropiate, deci ea este corespunzătoare.

Pentru locul de pană de formă semicirculară compararea valorilor calculate cu relațiile (2.12),(2.13) cu valorile indicate în literatură [29], tabelul 2.3, impune ca adecvată relația (2.13)

Tabelul 2.3

b_3/b_0	2	3	4	6	8	10
Cu (2.12)	0,5236	0,6155	0,6591	0,7017	0,7227	0,7353
Cu (2.13)	0,600.	0,72	0,80	0,90	0,96	1,00
După [29]	0,63	0,78	0,87	1,00	1,10	1,17

Comparînd între ele relațiile pentru calculul permeanței specifice a crestăturii trapezoidale, (2.15),(2.16) și (2.17) se poate observa din tabelul 2.4 că relația (2.17) dă valori cu ceva mai mari dar diferențele nu sînt importante. În consecință, la calcul, se poate utiliza oricare dintre cele trei relații. Situația este aceeași și în cazul trapezului inversat, astfel de exemplu pentru $c=0,57$ și $h=1,5$ cu relațiile (2.18),(2.19) și (2.20) se obțin pentru permeanță specifică valorile 0,4868, 0,4868 și respectiv 0,4901.

Tabelul 2.4.

$h=h/b_1$	3				2			
$\frac{b_1}{c} = \frac{b_1}{b_3}$	1,25	1,67	2	2,5	1,25	1,67	2	2,5
(2.15)	1,2435	1,6191	1,8936	2,2668	0,8290	1,0794	1,2624	1,5112
(2.16)	1,2435	1,6191	1,8936	2,2668	0,8290	1,0794	1,2624	1,5112
(2.17)	1,2439	1,6215	1,8979	2,2743	0,8297	1,0830	1,2629	1,5225

Pentru crestăturile cu porțiuni de formă circulară, relațiile de calcul a permeanțelor specifice, obținute prin considerarea

fluxului perpendicular pe planul median al crestăturii, dă erori destul de importante. Astfel pentru crestătura rotundă relațiile (2.26) sau (2.27) dă valori mult diferite față de relația (2.25), de exemplu cu $b_0/d=0,25$ se obține 0,739 și 0,734 față de 0,624. De asemenea pentru crestătura ovală dreaptă pentru $h=2$ se obține 1,46 iar prin echivalarea cu o elipsă, [82], se obține 1,61. Pentru a evita aceste erori, ca și pentru a se putea aplica rezultatele obținute pentru înfășurările în dublu strat date în Anexa 2, crestătura ovală trapezoidală se echivalează cu un trapez. Rezultatele comparative obținute cu relația (2.21) și echivalarea indicată în tabelul 2.1 sunt date în tabelul 2.5, valorile obținute prin echivalare

Tabelul 2.5.

$h=h_1/b_1$	3				2			
$\frac{1}{c} = \frac{b_1}{b_3}$	1,25	1,67	2	2,5	1,25	1,67	2	2,25
Cu (2.21)	1,2178	1,5882	1,8586	2,2258	0,8238	1,0746	1,2571	1,5045
Cu trapez echiv.	1,3465	1,7496	2,0419	2,4365	0,9322	1,2110	1,4127	1,6843

fiind mai mari cu cca. 10% pentru cazul $h=3$, și cu cca. 12% pentru cazul $h=2$, ceea ce coincide cu situația de la echivalarea crestăturii ovale drepte cu o elipsă, cind permeanța specifică a elipsei echivalente este mai mare cu 10%.

Tabelul 2.6.

$h=h_1/b_1$	3				2			
$\frac{1}{c} = \frac{b_1}{b_3}$	1,25	1,67	2	2,5	1,25	1,67	2	2,5
Cu (2.24)	1,7927	2,2021	2,4967	2,8917	1,4020	1,6920	1,8989	2,1740
Cu elipsă echiv.	2,7755	3,1469	3,3876	3,6798	2,0773	2,3445	2,5211	2,7387

In tabelul 2.6 sunt comparate valorile permeanței specifice pentru crestătura ovală trapezoidală ocupată de conductoare, calculate cu relația (2.24) și prin echivalarea cu o elipsă indicată în

tabelul 2.1. Valorile obținute prin echivalare sunt cu 25% pînă la 50% mai mari de cît cele calculate cu relația (2.24) dar pot fi considerate corespunzătoare pentru cazul în care $l/c \geq 1$. În cazul crestăturilor plasate în rotor cînd $l/c < 1$ valorile obținute prin echivalare, [90], sunt mult mai mari de cît cele calculate cu relația (2.24) și în această situație echivalarea nu mai este corespunzătoare.

Înfășurările în dublu strat sunt plasate în general în crestături de formă dreptunghiulară, trapezoidală sau ovală trapezoidală. Pentru cazul crestăturii de formă trapezoidală, deci și pentru crestătura de formă ovală trapezoidală care se poate approxima cu una trapezoidală, expresiile permeanțelor specifice sunt date în Anexa 2. La crestătura dreptunghiulară, păstrînd notațiile din figura dată în tabelul 2.1 și considerînd înălțimea ocupată de un strat egală cu jumătatea înălțimii totale a părții din crestătură ocupată de conductoare, adică $h_1/2$, se obține:

$$\lambda_a = \frac{h_1}{6b_1}; \quad \lambda_b = \frac{h_1}{6b_1} + \frac{h_1}{2b_1}; \quad \lambda_m = \frac{h_1}{4b_1} \quad (2.28)$$

unde indicele a corespunde laturii de bobină plasată în partea superioară a crestăturii, b laturii de bobină plasată în partea inferioară, iar λ_m este permeanța specifică corespunzătoare inductivității mutuale a celor două laturi de bobină.

2.1.2. Influența tipului de înfășurare asupra dispersei crestăturii.

In cazul înfășurărilor în simplu strat, permeanța specifică a crestăturii se calculează direct, cu una dintre formulele date în tabelul 2.1, întrucât în crestătură există o singură latură de bobină. La înfășurările în dublu strat, la calculul permeanței specifice a crestăturii, trebuie să se țină cont și de defazajul dintre curenții din cele două laturi de bobină din crestătură. Pentru înfășurările trifazate obisnuite, cu număr întreg de crestături pe pol și fază, defazajele între curenții prin laturile de bobine poate fi $0, \pm \pi/3, \pm 2\pi/3$.

Calculul permeanței specifice a unei zone la înfășurările în dublu strat se face cu relația (2.5). Întrucât crestături de formă dreptunghiulară și trapezoidală permeanțele specifice λ_a , λ_b și λ_m sunt date de relațiile (2.28) respectiv (A2.18), (A2.20) și

(A2.21). Din analiza înfășurărilor în dublu strat obisnuite, la care pot apărea numai defazaje 0, $\pm\pi/3$ și $\pm 2\pi/3$ între curenții dintr-o crestătură, rezultă că suma cosinusurilor unghiurilor de defazaj din relația (2.5) este:

$$\sum_{i=1}^{2q} \cos \theta_{xi} = 2q - (\zeta - y) \text{ pentru } q \geq \zeta - y \quad (2.29)$$

$$\sum_{i=1}^{2q} \cos \theta_{xi} = q - 2k \text{ pentru } \zeta - y \geq q \geq y \quad (2.30)$$

unde

$$\begin{aligned} k &= 0 \text{ pentru } y = \zeta - q; \\ k &= 1 \text{ pentru } y = \zeta - q - 1; \\ &\dots \\ k &= q \text{ pentru } y = q. \end{aligned} \quad (2.31)$$

Astfel valoarea maximă a sumei de cosinuși se obține pentru $\zeta = y$ fiind $2q$ iar valoarea minimă pentru $y = q$ fiind $-q$.

Dacă se mai face observația că, neglijând grosimea izolației între laturile de bobină din crestătură, și considerind același număr de spire în fiecare strat N ca și pentru o singură latură de bobină în crestătură, la crestăturile de formă dreptunghiulară și trapezoidală există relația

$$\lambda_a + \lambda_b + 2\lambda_m = 4\lambda_c \quad (2.32)$$

relația (2.5) se poate retranscrie:

$$\lambda_q = q(\lambda_a + \lambda_b) + [2\lambda_c - 0,5(\lambda_a + \lambda_b)]F(\zeta, y, q) \quad (2.33)$$

unde

$$F(\zeta, y, q) = \begin{cases} 2q - (\zeta - y), & \zeta - y \leq q \\ 3q - (\zeta - y), & 2q \geq \zeta - y \geq q \end{cases} \quad (2.34)$$

condițiile (2.31) fiind transformate în egalitatea adoua din egalitățile (2.34).

Pentru crestăturile de formă dreptunghiulară din relațiile (2.28), (2.14) și (2.23) rezultă:

$$\frac{\lambda_q}{4\lambda_c} = -\frac{5}{8} + \frac{3}{16q} F(\zeta, y, q); \quad (2.35)$$

relație care exprimă valoarea raportată a permeanței specifice pe zonă în funcție de parametrii înfășurării ζ , y și q . Valorile calculate cu această relație pentru cîteva înfășurări cu ζ , q dat și y variabil sint reprezentate în tabelul 2.7 unde s-a marcat trecerea de la $y < \zeta - q$ la $y \geq \zeta - q$ cînd are loc un salt în valoarea permeanței specifice raportate a zonei. Din analiza valorilor din tabelul 2.7, rezultă, că scurtarea pasului are o influență mai mare pentru scurtări mai mari de cît q , valoarea minimă fiind aceeași pentru toate cazurile, și mai mică de cît în cazul unei înfășurări în simplu strat a cărei zonă ocupă același număr de crestături.

Tabelul 2.7

y	2	3	4	5	6	7	8	9	10	11
$\frac{\lambda_q}{4\lambda_c}$	$\zeta = 9$ $q = 2$	0,4375	0,625	0,3125	0,9063	1				
	$\zeta = 9$ $q = 3$		0,4375	0,5625	0,6875	0,8125	0,8750	0,9375	1	
	$\zeta = 12$ $q = 4$			0,4375	0,5313	0,625	0,7188	0,8125	0,8594	0,9063

Pentru crestături de formă trapezoidală din relațiile (2.33) (A2.18), (A2.20), (A2.21) și (2.17) se obține:

$$\frac{\lambda_q}{4\lambda_c} = \frac{1}{2} (1+f(c)) + \frac{1}{4q} (1-f(c)) F(\zeta, y, q) \quad (2.36)$$

unde

$$f(c) = \frac{c^2 \ln \frac{1}{c} + \frac{1}{2} (1-c^2)^2 \ln \sqrt{\frac{1+c}{2c^2}} - \frac{1}{4} (1-c^4)}{\ln \frac{1}{c} - \frac{1}{2} (1-c^2)^2 - \frac{1}{4} (1-c^4)} \quad (2.37)$$

și calculul permeanței specifice raportate a zonei se poate face pentru diferite valori ale lui c și a parametrilor înfășurării ζ, y, q . În tabelul 2.8 sunt date valorile permeanței specifice raportate a zonei, calculate cu relația (2.36) pentru $F(\zeta, y, q) = q$ și $-q$, la diferite valori ale lui c , rezultând valori mai mici de cît în cazul crestăturii de formă dreptunghiulară. Se poate observa

de asemenea, din tabelul 2.8, că atunci cind $c \rightarrow 1$ valorile permeanței specifice raportate tind către cele obținute în cazul formei dreptunghiulare, adică 0,8125 respectiv 0,4375, ele crescând cu scăderea lui c .

Tabelul 2.8

c		0,9	0,8	0,7	0,6	0,5	0,4	0,3	0,2	0,1
$\frac{\lambda_q}{4q\lambda_c}$	$F_{(z,y,q)} = q$	0,8237	0,8271	0,8313	0,8391	0,8456	0,8518	0,8576	0,8629	0,8675
	$F_{(z,y,q)} = -q$	0,4492	0,4787	0,4959	0,5164	0,5366	0,5553	0,5728	0,5885	0,6022

2.1.3. Influenta formei crestăturii asupra dispersiei crestăturii

Pentru calculul permeanței specifice crestătura se divizează în trei părți și anume deschiderea, partea ocupată de pană și partea ocupată de conductoare. Discutarea influenței formei asupra dispersiei crestăturii se va face pentru fiecare portiune separat.

Permeanța specifică a deschiderii crestăturii este dată de raportul dintre înălțimea și lățimea părții corespunzătoare, h_0/b_0 , și valoarea ei scade cu creșterea deschiderii b_0 sau cu scădereea înălțimii h_0 . Deci o crestătură cu o deschidere mai mare are o permeanță specifică corespunzătoare mai mică la aceeași înălțime h_0 .

Partea ocupată de pană este în general de formă trapezoidală sau semicirculară. În tabelul 2.9 sunt date comparativ valorile permeanțelor specifice pentru forma trapezoidală și semicirculară, cu aceeași înălțime $h_3=b_3/2$, și același raport $c=b_0/b_3$, notatiile fiind identice cu cele de la figurile corespunzătoare date în tabelul 2.1.

Tabelul 2.9

c		1/6	1/4	1/3	1/2
Formă trapezoidală	$\lambda = \frac{1}{2\arctg(1-c)} \ln \frac{1}{c}$	0,747	0,934	1,077	1,29
Formă semicirculară	$\lambda = \frac{1,2}{1 + 2c}$	0,60	0,72	0,80	0,90

Din analiza valorilor prezentate în tabelul 2.9 rezultă că la aceeași înălțime și același raport c forma semicirculară este

mai avantajoasă avind o permeanță specifică mai mică.

Pentru partea de crestătură ocupată de conductoare, în tabelul 2.10, se face comparație între valorile permeanțelor specifice ale crestăturilor de formă trapezoidală și ovală trapezoidală la diferite valori ale rapoartelor $c = b_3/b_1$ și $h = h_1/b_1$, notațiile corespunzând celor din tabelul 2.1. Calculul permeanței specifice a creștăturii este făcut cu relația (2.17) pentru forma trapezoidală și prin echivalarea cu un trapez, conform tabelului 2.1, pentru forma ovală trapezoidală. În tabel sunt date, pentru fiecare valoare a lui h și c , permeanțele specifice calculate pentru forma dreptunghiulară, care are lățimea egală cu semisuma lui b_1 și b_3 , iar înălțimea rezultată din egalitatea ariilor. Din analiza valorilor rezultă

Tabelul 2.10

		1/c	1,11	1,25	1,67	2,0	2,5
TRAPEZOIDALĂ	$h = \frac{h_1}{b_1} = 1$	Cu relația (2.17)	0,3703	0,4159	0,5468	0,6312	0,7777
		Dreptunghi echivalent	0,3509	0,3704	0,4167	0,4444	0,4762
	$h = \frac{h_1}{b_1} = 2$	Cu relația (2.17)	0,7401	0,8297	1,0830	1,2689	1,5225
		Dreptunghi echivalent	0,7018	0,7407	0,8333	0,8889	0,9524
	$h = \frac{h_1}{b_1} = 3$	Cu relația (2.17)	1,1098	1,2439	1,6215	1,8979	2,2743
		Dreptunghi echivalent	1,0526	1,1111	1,2500	1,3333	1,4286
OVALĂ TRAPEZOIDALĂ	$h = \frac{h_1}{b_1} = 1$	Echivalare cu trapez	0,4625	0,5185	0,6751	0,7883	0,9400
		Dreptunghi echivalent	0,4329	0,4505	0,4902	0,5128	0,5376
	$h = \frac{h_1}{b_1} = 2$	Echivalare cu trapez	0,8323	0,9322	1,2110	1,4127	1,6843
		Dreptunghi echivalent	0,7843	0,8219	0,9091	0,9600	1,0169
	$h = \frac{h_1}{b_1} = 3$	Echivalare cu trapez	1,2022	1,3465	1,7496	2,0419	2,4365
		Dreptunghi echivalent	1,1354	1,1927	1,3265	1,4054	1,4943

că diferențele între permeanțele specifice pentru formele trapezoidale și ovale trapezoidale sunt minime. Pentru valori mai mici de 1,25 ale raportului l/c permeanța specifică calculată pentru crestătura dreptunghiulară echivalentă este apropiată de permeanțele specifice ale crestăturilor de formă trapezoidală sau ovală trapezoidală. Pentru valori ale lui l/c mai mari de 1,25 diferența devine importantă și este recomandabilă utilizarea unor crestături de formă dreptunghiulară. Un studiu similar făcut pentru crestăturile din rotor, cu l/c mai mic decât unitatea [90], arată că permeanța specifică a crestăturilor de formă ovală trapezoidală și trapezoidală este mult mai mică de cît a crestăturii dreptunghiulare echivalente cu cît l/c este mai mic. Deci, în rotor, este justificată utilizarea crestăturilor dreptunghiulare numai pentru cazul în care raportul l/c ar fi foarte aproape de unitate.

2.2. DISPERSIA PARTII FRONTALE A INFASURARII

Calculul dispersiei părții frontale a înfășurării este destul de aproximativ, datorită configurației foarte complexe, precum și datorită neconcordanței dintre datele de proiectare cu care se calculează și datele reale, corespunzătoare fiecărei mașini. Tinind cont de acestea, se va urmări în continuare, prin compararea rezultatelor obținute cu relații cu grade diferite de complexitate, stabilirea pentru cazurile concrete considerate a expresiilor de calcul cele mai adecvate.

In expresiile de calcul a inductivității de dispersie a părții frontale a înfășurării pentru o fază, pe lîngă notațiile indicate în figura 2.1 se vor utiliza și:

$\beta = \frac{y}{\delta}$ - pasul relativ al înfășurării

ζ_f - pasul polar frontal [m]

l_f - lungimea medie a semi-spirei din partea frontală a unei bobine [m]

α - unghiul pe care fil face latura de bobină cu miezul în partea frontală [radiani]

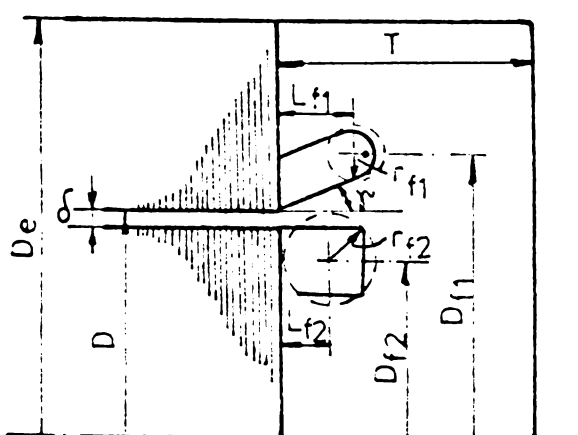


Fig.2.1. Configurația părții frontale, notații

Pentru calcul s-au considerat relații de diferite grade de

complexitate și anume, grad redus de complexitate [20],

$$L_{df_1} = 4 \cdot 10^7 l_{f_1} \cdot \frac{w_1^2}{p} \cdot p_n \cdot \frac{l_{f_1}}{2r_{f_1}} \quad (2.38)$$

grad mediu de complexitate [2]

$$L_{df_1} = \frac{m_1 w_1^2 k_{w_1}^2}{2\pi^2 p \cdot 10^6} \left\{ 2D_{f_1} t g \alpha \left(\frac{\beta \pi - \sin \beta \pi}{\pi} \right) \left[1 - \left(\frac{0.8 D_{f_2}}{D_{f_1}} \right)^p \right] + \right. \\ \left. + 1.84 k_{y_1}^2 \left(D_{f_1} \log \frac{0.695 D_{f_1}}{r_{f_1}} - D \log \frac{0.541 D}{R_f} \right) \right\} \quad (2.39)$$

unde

$$D = \sqrt{D_{f_1} D_{f_2}}, R_f = \sqrt{0.25 (D_{f_1} - D_{f_2})^2 + (L_{f_1} - L_{f_2})^2}$$

grad ridicat de complexitate [29]

$$L_{df_1} = 8 \times 10^5 \frac{(w_1 k_{w_1})^2}{p} m_1 z_{f_1} k_{fr} \quad (2.40)$$

unde:

$$k_{fr} = \frac{1}{\pi} k_{fr} k_f k_g \left\{ k_{y_1}^2 \frac{3_{f_1}}{\pi \tau} + \sum_{n=1}^{\infty} \left\{ \frac{2}{\tau \sqrt{\frac{\pi^2}{C_{f_1}^2} + (\frac{n \pi}{\tau})^2}} \frac{1}{(\frac{4 n^2 L_{f_1}^2}{\beta^2 \tau^2} - 1)^2} + \right. \right. \\ \left. \left. + \left[1 + \frac{16 n^2 L_{f_1}}{\beta^2 C_{f_1}^2 \tau^2} \right] k_{y_1}^2 + \frac{4 L_{f_1}^2}{\beta^2} \left(\frac{1}{C_{f_1}^2} + \frac{n^2}{\tau^2} \right) \sin^2 \frac{n \pi L_{f_1}}{\tau} - \frac{4 n L_{f_1}}{\beta \tau} \left(1 + \frac{4 L_{f_1}^2}{\beta^2 C_{f_1}^2 \tau^2} \right) k_{y_1} \sin \frac{n \pi L_{f_1}}{\tau} \right] \right\}$$

$$K_{fr} = 1 + 0.3 \sin \gamma, \quad K_{f1g} = \frac{l_{f_1}}{2 L_{f_1} \sqrt{1 + (\beta z_{f_1} / 2 L_{f_1})^2}}$$

și grad foarte ridicat de complexitate [45],

$$L_{df_1} = \frac{m_1 \pi}{3.35} \left(\frac{w_1}{2p} k_B k_{f1} k_{q1} \right)^2 \cdot k_m k_T k_{fe} k_{hb} D_{f1} \cdot 10^{-6} \quad (2.41)$$

unde se definesc:

factorul de scurtare extins $k_{p1} = J_1(\frac{\pi}{2} \beta_{f1}) / 0.567$,

factorul de lungime axială

$$k_{f11} = \frac{1}{0.89} \sum_{n=1}^{\infty} \left(\frac{n^2}{n^2 - 0.25} J_{2n}(\pi \frac{l_{f_1}}{\tau}) \right)$$

factorul de inductivitate mutuală

$$k_m = 1 - \frac{D_{f2} I_p (\pi D_{f2} / 2T) k_B k_{f12}}{D_{f1} I_p (\pi D_{f1} / 2T) k_B k_{f11}}$$

k_{f12} și k_{f11} fiind factorii de scurtare extins respectiv lungime axială pentru rotor,

factorul de capăt:

$$k_{T1} = \frac{\pi D_{f1}}{2T} I_p'(\pi D_{f1}/2T) K_p'(\pi D_{f1}/2T)$$

factorul de fier:

$$K_{fe1} = 1 - \frac{K_p(\pi D_e/2T) I_p'(\pi D_{f1}/2T)}{K_p'(\pi D_{f1}/2T) I_p(\pi D_e/2T)}$$

factorul de dimensiune a capătului de bobină:

$$K_{hb1} = \frac{2T}{\pi h_1} \left(1 - \frac{e^{\frac{\pi h_1}{T}}}{\frac{\pi h_1}{T}}\right) \left(-\frac{2T}{pb_1} \sin \frac{pb_1}{2T}\right)^2$$

b_1 este lățimea iar h_1 este înălțimea capătului de bobină statoric, iar definirea funcțiilor Bessel $J_n(x)$, $I_n(x)$, $K_n(x)$ și derivatelor lor $I'_n(x)$ și $K'_n(x)$ este dată în Anexa 2.

Valorile mărimilor utilizate la calculul dispersiei frontale, pentru cele de două mașini încercate, mașina 1 de 5,5 Kw și cu $p=2$ și mașina 2 de 2,2 Kw cu $p=1$ sunt date în tabelul 2.11, iar rezultatele calculelor în tabelul 2.12. În tabelul 2.13 sunt date valorile rezistenței și reactanței de scurtcircuit calculate din încercările celor două mașini, indicate împreună cu datele constructive principale în Anexa 1, precum și factorul de raportare stator-rotor k_{12} , factorul de creștere a rezistenței k_R și factorul de reducere a reactanței k_x , pentru alunecarea $s=1$. În tabelul 2.14 sunt calculate valorile permeanțelor specifice ale crestăturii, reactanțele de dispersie pentru partea de înfășurare plasată în crestătură a unei faze statorice și a unei bare rotorice.

Tabelul 2.11

	α	β	$l_{f1}[m]$	$\zeta_{f1}[m]$	$L_{f1}[m]$	$L_{f2}[m]$	$r_{f1}[m]$	$D_{f1}[m]$	$D_{f2}[m]$	$T[m]$	k_{21}	β
Mașina 1	$\frac{\pi}{3}$	$\frac{\pi}{6}$	0,166	0,122	0,025	0,005	0,0071	0,1564	0,1108	0,08	0,9598	1
Mașina 2	$\frac{\pi}{3}$	$\frac{\pi}{6}$	0,105	0,1476	0,008	0,009	0,0058	0,089	0,0674	0,05	0,9577	1

Tabelul 2.12.

	Mașina 1		Mașina 2	
	$L_{df1}[H]$	$X_{df1}[\Omega]$	$L_{df1}[H]$	$X_{df1}[\Omega]$
Cu (2.38)	$1,8367 \cdot 10^{-3}$	0,577	$3,2702 \cdot 10^{-3}$	1,0274
Cu (2.39)	$1,5314 \cdot 10^{-3}$	0,4811	$3,1335 \cdot 10^{-3}$	0,9844
Cu (2.40)	$1,023 \cdot 10^{-3}$	0,3373	$3,8711 \cdot 10^{-3}$	1,2161
Cu (2.41)	$2,4987 \cdot 10^{-3}$	0,785	$4,7342 \cdot 10^{-3}$	1,4873

Tabelul 2.13

	Masina 1	Masina 2
$R_{sc} [\Omega]$	1,6486	5,1952
$X_{sc} [\Omega]$	2,2442	3,5341
k_R	1,6	1,1
k_X	0,83	0,97
k_{12}	$1,1257 \cdot 10^{-4}$	$5,6559 \cdot 10^{-5}$

Tabelul 2.14

	Masina 1	Masina 2
λ_{cl}	1,5531	1,2278
$X_{dcl} [\Omega]$	0,50584	0,7281
λ_{c2}	1,617	1,1840
$X_{db} [\Omega]$	$7,022 \cdot 10^{-5}$	$3,973 \cdot 10^{-5}$

Din analiza valorilor inductivităților de dispersie frontale, prezentate în tabelul 2.12, reiese că în cazul mașinii 2 care are $p=1$ toate formulele considerate dău valori destul de apropiate, cea mai mare obținându-se cu relația (2.41). În cazul mașinii 1, unde $p=2$, diferențele între valorile calculate cu diferite formule sunt importante, relația (2.41) dând și de această dată valoarea cea mai mare. După cum se va vedea din compararea valorilor calculate cu cele experimentale, care se va da în continuare, relația (2.41) este cea mai adecvată pentru cazurile considerate ea cferind rezultate corespunzătoare. Programul de calcul pentru determinarea dispersiei frontale cu ajutorul relației (2.41) este dat în Anexa 2 împreună cu subrutina de calcul a funcțiilor Bessel necesare în program și cu un tabel de echivalențe între numele variabilelor folosite în program și notările utilizate.

Inductivitatea de dispersie a porțiunilor de inel corespunzătoare ochiului rotoric s-a luat egală cu cea a fazelor statorice raportate, adică

$$L_{di} = L_{dlf} \cdot k_{12} \cdot 2 \sin^2 \frac{\pi}{Z_2} \quad (2.41)$$

Întrucât nu există o relație care să dea valori corespunzătoare.

In acest fel s-a obținut $L_{di}=7,0537 \cdot 10^{-9}$ pentru mașina 1 și $L_{di}=1,0845 \cdot 10^{-8}$ pentru mașina 2.

Calculând reactanțele de scurtcircuit pentru cele două mașini cu relația:

$$X_{sc} = X_{dcl} + X_{dlf} + \frac{1}{k_{12}} (k_X X_{db} + X_{di} / 2 \sin^2 \frac{\pi}{Z_2}) \quad (2.43)$$

se obține:

$$X_{sc1} = 0,50584 + 0,785 + 0,5177 + 0,785 = 2,5936 \Omega$$

$$X_{sc2} = 0,7281 + 1,4873 + 0,6814 + 1,4873 = 4,3841 \Omega$$

ceea ce reprezintă 115,57% din valoarea determinată experimental pentru mașina 1 și respectiv 124,05% pentru mașina 2. Corespondența valorilor calculate cu cele experimentale este bună probabil în acest fel valabilitatea relațiilor utilizate la calculul inductivităților de dispersie. Diferențele care apar se datoresc în mare parte aproximării grosiere pentru dispersia frontală rotorică.

In cazul armonicilor de curenți din stator, datorate reacției rotorice, dispersia frontală se va calcula ținând cont de modificările intervenite în configurația cîmpului propriu pentru aceste armonici. Astfel, pentru armonica de ordinul $p+bZ_2$, de exemplu, inductivitatea de dispersie frontală a unei faze statorice este:

$$L_{df1} = \left(\frac{p+bZ_2}{k_{wl}} \cdot \frac{p}{p+bZ_2} \right)^2 \cdot L_{df1}, \quad (2.44)$$

unde k_{wl} și $\frac{p+bZ_2}{k_{wl}}$ sunt factorii de infășurare statorici corespunzători fundamentalei respectiv armonicii de ordinul $p+bZ_2$.

In rotor, în cazul rotorului bobinat, dispersia frontală pentru ordinele de armonică diferite de fundamentală, se va calcula cu o relație similară cu (2.44), iar în cazul rotorului în colivie relația nu va conține factorii de infășurare, aceștia fiind egali cu unitatea.

C A P I T O L U L 3

ECUATIILE DE TENSIUNI SI CUPLURILE ELECTROMAGNETICE

Calculul curentilor din înfășurările mașinii se face prin rezolvarea ecuațiilor de tensiuni. Inductivitățile proprii, utile și de dispersie care apar în ecuațiile de tensiuni s-au determinat în capitolele 1 și 2. Cuplul electromagnetic se determină cunoșcind curentii și parametrii mașinii. Obținerea relațiilor de calcul a cuplurilor electomagneticice de tip asincron se face pornind de la expresiile solenației rezultante și a inducțiilor magnetice din întrefier. Pentru cuplurile electomagneticice de tip asincron se determină și relațiile de calcul bazate pe bilanțul puterilor. Si în acest capitol permeabilitatea fierului este considerată infinită, făcind astfel posibilă aplicarea principiului superpoziției.

3.1. ECUATIILE DE TENSIUNI

Numărul și ordinea armonicelor de curent care există la o mașină cu rotorul bobinat nu este influențat de modul de conectare a zonelor fazelor celor două înfășurări. Deci numărul ecuațiilor de tensiuni și compoziția acestora este generală. În cazul mașinii cu rotor în colivie conținutul de armonici, deci și sistemul de ecuații de tensiuni, este diferit pentru cele două moduri de conectare a zonelor. Din acest motiv ecuațiile de tensiuni se scriu separat pentru cazul zonelor conectate în paralel și în serie. Prezența legăturilor de egalizare la zonele conectate în paralel nu influențează numărul și forma ecuațiilor, introducând numai o condiție restrictivă suplimentară pentru ordinele de armonică.

Elementul de bază pentru scrierea ecuațiilor de tensiuni în stator este faza, la mașina cu zonele conectate în serie, și

cu rotor bobinat și ansamblul format din două zone consecutive, una impară și una pară, la mașina cu zonele conectate în paralel și rotorul în colivie. Elementul de bază rotoric este ochiul, format din două bare consecutive și porțiunile de inel dintre ele, la mașina cu rotor în colivie și faza la mașina cu rotor bobinat.

Ecuatiile se scriu aplicînd teorema a doua a lui Kirchhoff pentru ochiuri de circuit, adoptînd sensul de receptor pentru elementul de bază statoric și de generator pentru cel rotoric.

Trecerea de la mărimele sinusoidale la fazori se face cu echivalențele:

$$a = A \cdot \sin(\omega \cdot t - \varphi) \iff a = \text{Im}[A], \quad (3.1)$$

$$a = A \cdot \cos(\omega \cdot t - \varphi) \iff a = \text{Im}[jA],$$

deci o ecuație de forma:

$$\omega M_B \cdot \cos(\omega \cdot t - \alpha - \varphi_B) + R_A \cdot \sin(\omega \cdot t - \alpha - \varphi_A) + \omega L_d A \cdot \cos(\omega \cdot t - \alpha - \varphi_A) + \omega L_h A \cdot \cos(\omega \cdot t - \alpha - \varphi_A) = 0,$$

devine, scrisă fazorial:

$$(R + j\omega L_d + j\omega L_h)A + j\omega M_B = 0.$$

Intrucît în calul inductivităților de dispersie și al rezistențelor se consideră modificările datorate efectului de refugare, ordinul de armonică este indicat în notatiile utilizate în stînga sus ca și la curenti, inductivități proprii și de cuplaj.

Parametrii ochiului rotoric pentru o armonică de ordinul v se definesc cu relațiile:

$${}^v L_{d2\sigma} = {}^v L_{di} + 4 {}^v L_{db} \sin^2 \sqrt{\frac{\pi}{Z_2}}, \quad {}^v R_{2\sigma} = {}^v R_{2i} + 4 {}^v R_{2b} \sin^2 \sqrt{\frac{\pi}{Z_2}},$$

${}^v L_{d2\sigma}$, ${}^v L_{di}$ și ${}^v L_{db}$ fiind inductivitățile de dispersie ale ochiului, porțiunii de inel și respectiv a barei iar ${}^v R_{2\sigma}$, ${}^v R_{2i}$ și ${}^v R_{2b}$ fiind rezistențele acelorași elemente, toate calculate pentru frecvența corespunzătoare ordinului de armonică v .

Ecuatiile pentru elementul de bază al înfășurărilor bobinate sunt scrise în concordanță cu schemele echivalente date în subcapitolul 1.4, respectiv figura 1.7. pentru zone conectate în paralel și figura 1.9. pentru zone conectate în serie.

3.1.1. Ecuatiile de tensiuni la masina cu rotor in colivie si zonele infășurării statorice conectate in paralel.

Tinind cont de expresiile tensiunilor electromotoare induse, a curentilor și a ordinelor de armonică, calculate în capitolul 1, și notând cu U_1 fazorul corespunzător tensiunii de alimentare a fazei statorice, se obțin următoarele ecuații de tensiuni scrisă sub formă fazorială.

$$U_1 = \left[2R_{1q} + 2j\omega_1 L_{dq} + 2j\omega_1 \sum_v v L_{1p} \right] I_1 + 2j\omega_1 \sum_v \left\{ M_{21p}^v k_M |_R + M_{21p}^{v-z} R_M |_R + M_{21p}^{v+z} R_M |_R \right\} + \\ + M_{21p}^{v-z} R_M |_R \} + 2j\omega_1 \sum_v \left\{ M_{21p}^v k_M |_R + M_{21p}^{v-z} R_M |_R + M_{21p}^{v+z} R_M |_R \right\}_{c=1,2,3, \dots} \quad (3.2)$$

$$0 = \left[R_{1q} + j S\omega_1 \left(L_{dq} + \sum_{\epsilon} \epsilon L_{1p} \sin^2 \frac{\epsilon \pi}{2p} \right) \right]^{-b} I_{1p} + j S\omega_1 \cos \frac{b Z_2 \pi}{2p} \sum_v \left\{ M_{21p}^v |_R + M_{21p}^{v-z} |_R + M_{21p}^{v+z} |_R \right\} \\ + j S\omega_1 \cos \frac{d Z_2 \pi}{2p} \sum_v \left\{ M_{21p}^v |_R + M_{21p}^{v-z} |_R + M_{21p}^{v+z} |_R \right\}_{c=1,2,3, \dots; d=b} \quad (3.3)$$

$$0 = \left[R_{1q} + j S\omega_1 \left(L_{dq} + \sum_{\epsilon} \epsilon L_{1p} \sin^2 \frac{\epsilon \pi}{2p} \right) \right]^{-(b+1)} I_{1p} + \\ + j S\omega_1 \frac{\lambda_2}{2} \cos \frac{(b-1) Z_2 \pi}{2p} \sum_v \left\{ M_{21p}^{v-z} |_R + M_{21p}^{v+z} |_R + M_{21p}^{v+2z} |_R \right\} + \\ + j S\omega_1 \frac{\lambda_2}{2} \cos \frac{(d-1) Z_2 \pi}{2p} \sum_v \left\{ M_{21p}^{v-z} |_R + M_{21p}^{v+z} |_R + M_{21p}^{v+2z} |_R \right\}_{c=1,2,3, \dots; d=b} \quad (3.4)$$

$$0 = \left[R_{1q} + j S\omega_1 \left(L_{dq} + \sum_{\epsilon} \epsilon L_{1p} \sin^2 \frac{\epsilon \pi}{2p} \right) \right]^{-(b+1)} I_{1p} + \\ + j S\omega_1 \frac{\lambda_2}{2} \cos \frac{(b+1) Z_2 \pi}{2p} \sum_v \left\{ M_{21p}^{v-z} |_R + M_{21p}^{v+z} |_R + M_{21p}^{v+2z} |_R \right\} + \\ + j S\omega_1 \frac{\lambda_2}{2} \cos \frac{(d+1) Z_2 \pi}{2p} \sum_v \left\{ M_{21p}^{v-z} |_R + M_{21p}^{v+z} |_R + M_{21p}^{v+2z} |_R \right\}_{c=1,2,3, \dots; d=b} \quad (3.5)$$

$$0 = \left[R_{2\sigma} + j\omega_1 \left(L_{d2\sigma} + \sum_b L_R \right) \right] I_R + j\omega_1 M_{12} I_1 + j\omega_1 \sum \left\{ \begin{array}{l} \varepsilon M_{12}^1 \sin \frac{\varepsilon \pi}{2p} I_{1g} \\ + \varepsilon' M_{12}^1 \sin \frac{\varepsilon' \pi}{2p} I_{1g} + \varepsilon'' M_{12}^1 \sin \frac{\varepsilon'' \pi}{2p} I_{1g} \end{array} \right\}_{c=0, \pm 2, \dots; \sigma=\nu} \quad (3.6)$$

$$0 = \left[R_{2\sigma} + j\omega_1 \left(L_{d2\sigma} + \sum_b L_R \right) \right] I_R + j\omega_1 \frac{\lambda_1^{v, v-Z_1}}{2} M_{12}^1 I_1 + j\omega_1 \frac{\lambda_1^{v, v-Z_1}}{2} \sum \left\{ \begin{array}{l} \varepsilon, \varepsilon-Z_1 M_{12}^1 \sin \frac{\varepsilon \pi}{2p} I_{1g} \\ + \varepsilon', \varepsilon'-Z_1 M_{12}^1 \sin \frac{\varepsilon' \pi}{2p} I_{1g} + \varepsilon'', \varepsilon''-Z_1 M_{12}^1 \sin \frac{\varepsilon'' \pi}{2p} I_{1g} \end{array} \right\}_{c=0, \pm 2, \dots; \sigma=\nu} \quad (3.7)$$

$$0 = \left[R_{2\sigma} + j\omega_1 \left(L_{d2\sigma} + \sum_b L_R \right) \right] I_R + j\omega_1 \frac{\lambda_1^{v, v+Z_1}}{2} M_{12}^1 I_1 + j\omega_1 \frac{\lambda_1^{v, v+Z_1}}{2} \sum \left\{ \begin{array}{l} \varepsilon, \varepsilon+Z_1 M_{12}^1 \sin \frac{\varepsilon \pi}{2p} I_{1g} \\ + \varepsilon', \varepsilon'+Z_1 M_{12}^1 \sin \frac{\varepsilon' \pi}{2p} I_{1g} + \varepsilon'', \varepsilon''+Z_1 M_{12}^1 \sin \frac{\varepsilon'' \pi}{2p} I_{1g} \end{array} \right\}_{c=0, \pm 2, \dots; \sigma=\nu} \quad (3.8)$$

$$0 = \left[R_{2\sigma} + j\omega_1 \left(L_{d2\sigma} + \sum_d L_R \right) \right] I_R + j\omega_1 \sum_b \left\{ \begin{array}{l} \varepsilon M_{12}^1 \sin \frac{\varepsilon \pi}{2p} I_{1g} \\ + \varepsilon' M_{12}^1 \sin \frac{\varepsilon' \pi}{2p} I_{1g} + \varepsilon'' M_{12}^1 \sin \frac{\varepsilon'' \pi}{2p} I_{1g} \end{array} \right\}_{c=\pm 1, \pm 3, \dots} \quad (3.9)$$

$$0 = \left[R_{2\sigma} + j\omega_1 \left(L_{d2\sigma} + \sum_d L_R \right) \right] I_R + j\omega_1 \sum_b \frac{\lambda_1}{2} \left\{ \begin{array}{l} \varepsilon, \varepsilon-Z_1 M_{12}^1 \sin \frac{\varepsilon \pi}{2p} I_{1g} \\ + \varepsilon', \varepsilon'-Z_1 M_{12}^1 \sin \frac{\varepsilon' \pi}{2p} I_{1g} + \varepsilon'', \varepsilon''-Z_1 M_{12}^1 \sin \frac{\varepsilon'' \pi}{2p} I_{1g} \end{array} \right\}_{c=\pm 1, \pm 3, \dots} \quad (3.10)$$

$$0 = \left[R_{2\sigma} + j\omega_1 \left(L_{d2\sigma} + \sum_d L_R \right) \right] I_R + j\omega_1 \sum_b \frac{\lambda_1}{2} \left\{ \begin{array}{l} \varepsilon, \varepsilon+Z_1 M_{12}^1 \sin \frac{\varepsilon \pi}{2p} I_{1g} \\ + \varepsilon', \varepsilon'+Z_1 M_{12}^1 \sin \frac{\varepsilon' \pi}{2p} I_{1g} + \varepsilon'', \varepsilon''+Z_1 M_{12}^1 \sin \frac{\varepsilon'' \pi}{2p} I_{1g} \end{array} \right\}_{c=\pm 1, \pm 3, \dots} \quad (3.11)$$

unde, în ecuația (3.2) s-au introdus notățiile:

$$\begin{aligned} {}^v k_M &= 1 + \frac{\lambda_2}{2 {}^v M_{21\beta}} \left({}^{v,v-Z_2} M_{21\beta}^1 + {}^{v,v+Z_2} M_{21\beta}^1 \right), \\ {}^{v-Z_1} k_M &= 1 + \frac{\lambda_2}{2 {}^{v-Z_1} M_{21\beta}} \left({}^{v-Z_1,v-Z_1-Z_2} M_{21\beta}^1 + {}^{v-Z_1,v-Z_1+Z_2} M_{21\beta}^1 \right), \\ {}^{v+Z_1} k_M &= 1 + \frac{\lambda_2}{2 {}^{v+Z_1} M_{21\beta}} \left({}^{v+Z_1,v+Z_1-Z_2} M_{21\beta}^1 + {}^{v+Z_1,v+Z_1+Z_2} M_{21\beta}^1 \right), \end{aligned} \quad (3.12)$$

și la fel pentru armonicile de ordine σ ,

$$\begin{aligned} {}^\sigma k_M &= 1 + \frac{\lambda_2}{2 {}^\sigma M_{21\beta}} \left({}^{\sigma,\sigma-Z_2} M_{21\beta}^1 + {}^{\sigma,\sigma+Z_2} M_{21\beta}^1 \right), \\ {}^{\sigma-Z_1} k_M &= 1 + \frac{\lambda_2}{2 {}^{\sigma-Z_1} M_{21\beta}} \left({}^{\sigma-Z_1,\sigma-Z_1-Z_2} M_{21\beta}^1 + {}^{\sigma-Z_1,\sigma-Z_1+Z_2} M_{21\beta}^1 \right), \\ {}^{\sigma+Z_1} k_M &= 1 + \frac{\lambda_2}{2 {}^{\sigma+Z_1} M_{21\beta}} \left({}^{\sigma+Z_1,\sigma+Z_1-Z_2} M_{21\beta}^1 + {}^{\sigma+Z_1,\sigma+Z_1+Z_2} M_{21\beta}^1 \right), \end{aligned} \quad (3.13)$$

toți acești factori fiind egali cu unitatea pentru cazul în care se consideră numai valoarea zero pentru ordinea de armonică b și d .

In sistemul de ecuații scris ecuația (3.2) este pentru curentul statoric de frecvență rețelei, ecuațiile (3.3), (3.4) și (3.5) sunt pentru armonicile superioare de curenți din stator iar ecuațiile (3.6)-(3.11) sunt pentru curenții din rotor.

Numărul de ecuații de tensiuni depinde de numărul de armonice care se iau în considerare. Astfel, dacă se iau numai valoările 0 și ± 1 pentru toate constantele din expresiile ordinelor de armonică, sistemul de ecuații este format dintr-o ecuație de tipul (3.2), două ecuații de tipul (3.3) cîte o ecuație de tipul (3.4) și (3.5) cîte trei ecuații de tipul (3.6), (3.7) și (3.8) și cîte două ecuații de tipul (3.9), (3.10) și (3.11). Deci, pentru acest caz particular cînd $a=b=c=d=0, \pm 1$, sistemul este format din 20 de ecuații. Pot fi considerate și alte combinații de valori pentru constantele ordinelor de armonică, dar, în general, cea presupusă satisfacă, avînd în vedere că armonicile de ordin mai mare au amplitudini mult mai mici.

In sistemul general de ecuații prezentat, pentru cazurile concrete, pot apărea mai multe ecuații care cuprind curenți de aceeași frecvență atât în stator pentru ecuațiile de tipul (3.3)-(3.5), cât și în rotor pentru ecuațiile de tipul (3.6)-(3.11). În această situație, ecuațiile cu aceeași frecvență se comasează prin sumarea într-o ecuație a tuturor termenilor distincti de aceeași frecvență, în sistem rămînind numai ecuații de frecvențe diferite.

3.1.2. Ecuațiile de tensiuni la mașina cu rotor în colivie și zonele înfășurării statorice conectate în serie.

Ecuațiile de tensiuni se scriu, în acest caz, pentru faza statorică și ochiul rotoric. Notatiile sunt conforme cu cele din capitolul 1, iar modul de scriere este similar cu cel adoptat în paragraful anterior. Tinând cont de expresiile tensiunilor electro-motoare induse, ale curenților și ale ordinelor de armonică, determinate în capitolul 1, ecuațiile de tensiuni scrise sub formă fazorială sunt:

$$\underline{U}_1 = \left[R_1 + j\omega_1 \left(L_{d1} + \sum_v^v L_1 \right) \right] I_1 + j\omega_1 \sum_v \left\{ M_{21}^{v-1} k_M^v I_R + \right. \\ \left. + M_{21}^{v+1} k_M^{v-1} I_R + M_{21}^{v+2} k_M^{v+1} I_R \right\}, \quad (3.14)$$

$$0 = \left[R_1 + j \frac{-bZ_2}{S\omega_1} \left(L_{d1} + \sum_v^v L_1 \right) \right]^{-b} I_1 + j \frac{-bZ_2}{S\omega_1} \sum_v \left\{ M_{21}^{v-b} I_R + \right. \\ \left. + M_{21}^{v+1} I_R + M_{21}^{v+2} I_R \right\}, \quad (3.15)$$

$$0 = \left[R_1 + j \frac{-(b-1)Z_2}{S\omega_1} \left(L_{d1} + \sum_{\varepsilon}^v L_1 \right) \right]^{-(b-1)} I_1 + j \frac{-(b-1)Z_2}{S\omega_1} \frac{\lambda_2}{2} \sum_v \left\{ M_{21}^{v-(b-1)} I_R + \right. \\ \left. + M_{21}^{v+1-(b-1)} I_R + M_{21}^{v+2-(b-1)} I_R \right\}, \quad (3.16)$$

$$0 = \left[R_1 + j \frac{-(b+1)Z_2}{S\omega_1} \left(L_{d1} + \sum_{\varepsilon''}^v L_1 \right) \right]^{-(b+1)} I_1 + j \frac{-(b+1)Z_2}{S\omega_1} \frac{\lambda_2}{2} \sum_v \left\{ M_{21}^{v-(b+1)} I_R + \right. \\ \left. + M_{21}^{v+1-(b+1)} I_R + M_{21}^{v+2-(b+1)} I_R \right\}$$

$$+ \mu' \mu'^{-1} Z_2 M_{21}^{1+Z_1} \underline{I}_R + \mu'' \mu''^{-1} Z_2 M_{21}^{1+Y+Z_1} \underline{I}_R \} , \quad (3.17)$$

$$0 = [^v R_{2\sigma} + j^v S \omega_1 \left(^v L_{d2\sigma} + \sum_b ^k L_R \right)]^v \underline{I}_R + j^v S \omega_1 ^{v,v} M_{12}^1 \underline{I}_1 + \\ + j^v S \omega_1 \sum_b \left\{ \epsilon M_{12}^{1-b} \underline{I}_1 + \epsilon' M_{12}^{1-(b-1)} \underline{I}_1 + \epsilon'' M_{12}^{1-(b+1)} \underline{I}_1 \right\} , \quad (3.18)$$

$$0 = [^{v-Z_1} R_{2\sigma} + j^{v-Z_1} S \omega_1 \left(^{v-Z_1} L_{d2\sigma} + \sum_b ^k L_R \right)]^{v-Z_1} \underline{I}_R + j^{v-Z_1} S \omega_1 \frac{\lambda_1}{2} ^{v,v-Z_1} M_{12}^1 \underline{I}_1 + \\ + j^{v-Z_1} S \omega_1 \frac{\lambda_1}{2} \sum_b \left\{ \epsilon, \epsilon-Z_1 M_{12}^{1-b} \underline{I}_1 + \epsilon', \epsilon'-Z_1 M_{12}^{1-(b-1)} \underline{I}_1 + \epsilon'', \epsilon''-Z_1 M_{12}^{1-(b+1)} \underline{I}_1 \right\} . \quad (3.19)$$

$$0 = [^{v+Z_1} R_{2\sigma} + j^{v+Z_1} S \omega_1 \left(^{v+Z_1} L_{d2\sigma} + \sum_b ^k L_R \right)]^{v+Z_1} \underline{I}_R + j^{v+Z_1} S \omega_1 \frac{\lambda_1}{2} ^{v,v+Z_1} M_{12}^1 \underline{I}_1 + \\ + j^{v+Z_1} S \omega_1 \frac{\lambda_1}{2} \sum_b \left\{ \epsilon, \epsilon+Z_1 M_{12}^{1-b} \underline{I}_1 + \epsilon', \epsilon'+Z_1 M_{12}^{1-(b-1)} \underline{I}_1 + \epsilon'', \epsilon''+Z_1 M_{12}^{1-(b+1)} \underline{I}_1 \right\} , \quad (3.20)$$

unde $^v k_M$, $^{v-Z_1} k_M$ și $^{v+Z_1} k_M$ sunt date de relații de tipul (3.12) scrise pentru inductivitățile de cuplaj rotor fază statorică, fiind egale cu unitatea în cazul în care se consideră numai valoarea zero pentru ordinul de armonică b .

Se poate observa imediat că sistemul de ecuații pentru cazul zonelor legate în serie conține cu trei ecuații generale mai puțin de cît sistemul de ecuații scris pentru cazul zonelor în paralel fără legături de egalizare. Acest fapt era de așteptat întrucît cîmpurile statorice produse de armonicele de curent nu induc frecvențe noi în ochiul rotoric.

Pentru cazul particular considerat și anterior la zonele legate în paralel, adică $a=b=c=0$, se obține un sistem de numai 14 ecuații, dispărind cele 6 ecuații rotorice datorate reacției terțiere a statorului.

Observația făcută în paragraful anterior cu privire la comasarea ecuațiilor statorice sau rotorice între ele cînd curentii au aceeași frecvență rămîne valabilă și aici.

3.1.3. Ecuatiile de tensiuni pentru cazul masinii cu rotor bobinat

In cazul masinii cu rotor bobinat elementul pentru scrierea ecuatiilor de tensiuni este faza statorica si cea rotorica. Pasand aceleasi conventiuni ca in cazul rotorului in colivie, pe baza rezultatelor obtinute in subcapitolul 1.5, se obtin ecuatiile:

$$U_1 = [R_1 + j\omega_1 (L_{d1} + \sum_v L_1)] I_1 + j\omega_1 \sum_v \sum_{v'} (M_{21}^{v1} k_M^{v1} I_2), \quad v=v, v=Z_1 \quad (3.21)$$

$$0 = [-b^b R_1 + j^{-b} s\omega_1 (-b^b L_{d1} + \sum_\varepsilon L_1)]^{-b} I_1 + j^{-b} s\omega_1 \sum_v \sum_{v'} (k^{v1} M_{21}^{v1} I_2), \quad b=b, b=Z_2 \neq 0 \quad (3.22)$$

$$0 = [^v R_2 + j^v s\omega_1 (^v L_{d2} + \sum_b L_2)] ^v I_2 + j^v s\omega_1 M_{12}^{v1} I_1 + j^v s\omega_1 \sum_b \sum_b (k^{v1} M_{12}^{v1} I_1), \quad (3.23)$$

pentru o valoare a lui b existand trei ecuatii de tipul (3.22) iar pentru o valoare a lui v trei ecuatii de tipul (3.23).

Expresiile inductivitatilor proprii utile si de cuplaj sunt date in subcapitolul 1.5 iar inductivitatile de scapari se calculeaza pe fază cu relatiile din capitolul 2. Factorii k_M^{v1} se calculeaza cu relatiile (3.12) in care inductivitatile de cuplaj au expresii corespunzatoare cazului rotorului bobinat.

In sistemul de ecuatii (3.21)-(3.23) se elimină armonicele care dau succesiuni homopolare in stator sau in rotor cind infășurările sunt conectate in stea, in rest armonicele fiind cele rezultate din conditiile pentru ordinele de armonică obtinute in subcapitolul 1.5.

Dacă se consideră cazul particular cind $a=b=c=0, \pm 1$ se obține un sistem cu 18 ecuatii intrucăt b' are 8 valori distincte cind $q_2 > 2$. Pentru $q_2=2$, și aceleasi valori pentru a,b și c sistemul are 16 ecuatii iar pentru $q_2=1$, 14 ecuatii ca și in cazul masinii cu rotor in colivie și zone statorice conectate in serie.

Si in acest caz comasarea ecuatiilor statorice sau rotorice de aceeasi frecventa ramane valabila, sistemul fiind alcătuit numai din ecuatii cu frecvențe distincte.

3.2. CUPLURILE ELECTROMAGNETICE

Pentru calculul cuplurilor electromagnetice produse în mașină de fundamentală și de armonici se pot aplica mai multe metode, precizia lor fiind în funcție și de precizia de calcul a elementelor din formulele finale pentru cupluri. Fiecare metodă prezintă o serie de avantaje și de dezavantaje, alegerea metodei de lucru fiind pînă la urmă rezultatul unui compromis. Întrucît în capitolul I s-au determinat curentii, solenatiile, tensiunile electromotoare induse, inducția și fluxul în întrefier, se poate aplica oricare dintre metodele cunoscute. Opțiunea care s-a făcut este determinată de două motive și anume, o simplitate corespunzătoare și posibilitatea evidențierii valorilor pentru ordinea de armonică la care apar cuplurile de tip asincron și sincron.

Pentru obținerea formulei de calcul general al cuplurilor se pornește de la ecuația Biot-Savart-Laplace.

$$\Delta \bar{F} = i \cdot \Delta l \times \bar{B},$$

scrisă pentru un conductor parcurs de curentul i care se găsește în cîmpul de inducție \bar{B} . Dacă lungimea conductorului este finită și inducția este perpendiculară pe conductor, cum este cazul mașinii de inducție cînd se consideră inducția normală în întrefier, atunci forța elementară este:

$$\bar{F} = i l B_f,$$

cu direcția corespunzătoare stabilită de vîsorul de forță f . Întrucît în mașină există o repartiție de curenti care parcurg un număr de conductoare și care produc fluxuri, deci care contribuie la inducția în întrefier, după sumări succesive se ajunge la relația

$$F = l \cdot \int_0^{\pi} a(x_1, t) b(x_1, t) dx_1$$

din care se obține expresia cuplului

$$M = r l \cdot \int_0^{2\pi} a_s(x_1, t) b_R(x_1, t) dx_1 \quad (3.24)$$

unde s-au eliminate componente de pe aceeași armătură a căror produse nu dau cupluri întrucît sunt în fază*. Trebuie să se precizeze aici că obținerea relațiilor de calcul și a condițiilor pentru

* A se vedea condițiile resultante din relația (3.27)

ordinele de armonică se va face pentru cazul zonelor în paralel fără legături de egalizare, caz care poate fi ușor particularizat pentru obținerea celorlalte cazuri tratate.

Solenația rezultantă statorică este, conform rezultatelor obținute în capitolul 1,

$$\begin{aligned}
 a_{S(x_1,t)} = & \sqrt{2} I_1 \frac{m_1 w_1}{\pi} \sum_v \left[\frac{\epsilon' k_{w1} \epsilon' k_{s1}}{\epsilon} \sin(\omega_1 t - vx_1) \right] + \\
 & + \sum_{b \neq 0} \left\{ \sqrt{2}^{-b} I_1 \frac{m_1 w_1}{\pi} \sum_{\epsilon'} \left[\frac{\epsilon' k_{w1} \epsilon' k_{s1}}{\epsilon} \sin \frac{\epsilon \pi}{2p} \sin(-bx_2 s \omega_1 t - \epsilon x_1 - bZ_2 \beta_R + m_1 c \frac{\pi}{2} - b \varphi_s) \right] \right\} + \\
 & + \sum_{b=1 \neq b \neq 0} \left\{ \sqrt{2}^{-(b-1)} I_1 \frac{m_1 w_1}{\pi} \sum_{\epsilon'} \left[\frac{\epsilon' k_{w1} \epsilon' k_{s1}}{\epsilon} \sin \frac{\epsilon \pi}{2p} \sin(-bZ_2 s \omega_1 t - \epsilon x_1 - (b-1)Z_2 \beta_R + m_1 c \frac{\pi}{2} - b \varphi_s) \right] \right\} + \\
 & + \sum_{b+1 \neq b \neq 0} \left\{ \sqrt{2}^{-(b+1)} I_1 \frac{m_1 w_1}{\pi} \sum_{\epsilon'} \left[\frac{\epsilon' k_{w1} \epsilon' k_{s1}}{\epsilon} \sin \frac{\epsilon \pi}{2p} \sin(-b+1 Z_2 s \omega_1 t - \epsilon x_1 - (b+1)Z_2 \beta_R + m_1 c \frac{\pi}{2} - b \varphi_s) \right] \right\}, \quad (3.25)
 \end{aligned}$$

semnificația notatiilor fiind aceeași ca și în capitolul 1.

Inductia în întrefier produsă de curentii rotorici, se poate calcula imediat pornind de la expresiile solenațiilor rezultante rotorice, exact cum s-a procedat de altfel și în capitolul 1 cînd s-au calculat tensiunile electromotoare induse în înfășurarea statorică de cîmpurile produse de către rotor. Avînd în vedere faptul că inducția dată în întrefier de cîmpurile produse de curentii rotorici, cînd crestătura rotorică este înclinată, se calculează în lungul mașinii după o axă înclinată și ea cu unghiul de înclinare a barelor, se vor înmulți rezultatele cu factorii de înclinare pentru a obține valorile într-o axă identică cu axa crestătului, deci și a conductorilor statorici. Cu această observație inducția rezultantă în întrefier produsă de cîmpurile date de curentii rotorici este:

$$\begin{aligned}
 b_{R(x_1,t)} = & \sum_v \left\{ \sqrt{2}^v I_R \frac{\mu_0 Z_2}{\delta \pi} \sum_b \frac{\mu k_{t2} \mu k_{i2}}{\mu} \sin \mu \frac{\pi}{Z_2} \left\{ \sin(-bx_2 s \omega_1 t - \mu x_1 - bZ_2 \beta_R - v \varphi_R) + \right. \right. \\
 & \left. \left. + \frac{\lambda}{2} \sin(-bx_2 s \omega_1 t - (\mu \pm Z_1)x_1 - bZ_2 \beta_R - v \varphi_R) + \frac{\lambda}{2} \left[\sin(-b-1 Z_2 s \omega_1 t - (\mu - Z_2)x_1 - (b-1)Z_2 \beta_R - v \varphi_R) + \right. \right. \\
 & \left. \left. + \sin(-b+1 Z_2 s \omega_1 t - (\mu + Z_2)x_1 - (b+1)Z_2 \beta_R - v \varphi_R) \right] \right\} \right\}
 \end{aligned}$$

$$\begin{aligned}
 & + \frac{\lambda_1}{2} \sin\left(-(b-1)Z_2 s\omega_1 t - (\mu - Z_2 \pm Z_1)x_1 - (b-1)Z_2 \beta_R - \varphi_R\right) + \frac{\lambda_2}{2} \left[\sin\left(-(b+1)Z_2 s\omega_1 t - (\mu + Z_2) x_1 - (b+1)Z_2 \beta_R - \varphi_R\right) + \right. \\
 & \left. + \frac{\lambda_1}{2} \sin\left(-(b+1)Z_2 s\omega_1 t - (\mu + Z_2 \pm Z_1)x_1 - (b+1)Z_2 \beta_R - \varphi_R\right) \right] + \\
 & + \sqrt{2}^{b-Z_1} I_R \frac{\mu_0}{\delta} \frac{Z_2}{\pi} \sum_b \frac{\mu' k_{f2} k_{i2}}{\mu''} \sin \mu' \frac{\pi}{Z_2} \left\{ \sin(-bZ_2 s\omega_1 t - \mu' x_1 - bZ_2 \beta_R - \varphi_R) + \right. \\
 & \left. + \frac{\lambda_1}{2} \sin(-bZ_2 s\omega_1 t - (\mu \pm Z_1)x_1 - bZ_2 \beta_R - \varphi_R) + \dots \right\} + \\
 & + \sqrt{2}^{b+Z_1} I_R \frac{\mu_0}{\delta} \frac{Z_2}{\pi} \sum_b \frac{\mu' k_{f2} k_{i2}}{\mu''} \sin \mu' \frac{\pi}{Z_2} \left\{ \sin(-bZ_2 s\omega_1 t - \mu' x_1 - bZ_2 \beta_R - \varphi_R) + \dots \right\} + \\
 & + \sum_{\sigma, c=1, 3} \left\{ \sqrt{2}^c I_R \frac{\mu_0}{\delta} \frac{Z_2}{\pi} \sum_d \frac{\sigma' k_{f2} \sigma' k_{i2}}{\sigma''} \sin \sigma' \frac{\pi}{Z_2} \left\{ \sin(-dZ_2 s\omega_1 t - \sigma' x_1 - dZ_2 \beta_R + m_1 c \frac{\pi}{2} - \sigma' \varphi_R) + \dots \right\} + \right. \\
 & \left. + \sqrt{2}^{c-Z_1} I_R \frac{\mu_0}{\delta} \frac{Z_2}{\pi} \sum_d \frac{\sigma' k_{f2} \sigma' k_{i2}}{\sigma''} \sin \sigma' \frac{\pi}{Z_2} \left\{ \sin(-dZ_2 s\omega_1 t - \sigma' x_1 - dZ_2 \beta_R + m_1 c \frac{\pi}{2} - \sigma' \varphi_R) + \dots \right\} + \right. \\
 & \left. + \sqrt{2}^{c+Z_1} I_R \frac{\mu_0}{\delta} \frac{Z_2}{\pi} \sum_d \frac{\sigma' k_{f2} \sigma' k_{i2}}{\sigma''} \sin \sigma' \frac{\pi}{Z_2} \left\{ \sin(-dZ_2 s\omega_1 t - \sigma' x_1 - dZ_2 \beta_R + m_1 c \frac{\pi}{2} - \sigma' \varphi_R) + \dots \right\} \right\}, \quad (3.26)
 \end{aligned}$$

relație în care notațiile au de asemenea aceeași semnificație ca și în capitolul 1 unde s-au introdus.

Tinând cont de expresiile solenăției rezultante statorice și a inducției în întregier produsă de curentii rotorici, rezultă că expresia de calcul a cuplului electromagnetic va consta dintr-o sumă de integrale din produse de funcții trigonometrice înmulțite cu termeni independenți de x_1 , adică va trebui rezolvată pentru fiecare cuplu o integrală de tipul:

$$\int_0^{2\pi} \sin(\omega_1 t - g_1 x_1 - \varphi_1) \sin(\omega_2 t - g_2 x_1 - \varphi_2) dx_1. \quad (3.27)$$

Analizând această integrală, din condiția ca ea să fie diferită de zero rezultă observația importantă că produc cupluri numai armonicile de același ordin, adică armonicile cu același număr de ordine $g_1 = g_2$. De asemenea este evident faptul că dau valori

medii de cupluri numai armonicile care au aceeași pulsărie, adică la care $\omega_1 = \omega_2$, armonicile cu pulsării diferite dind valori medii egale cu zero.

Dacă la aceste observații se mai adaugă aceea că cuplurile de tip asincron sunt produse prin interacțiunea unei armonici de solenărie cu o armonică de cimp rotoric, produsă de curenți rotoriți generați de aceeași armonică de solenărie statorică, iar cuplurile de tip sincron sunt produse prin interacțiunea unei armonici de solenărie statorică cu o armonică de cimp rotoric, produsă de curenți care au fost generați de altă armonică de solenărie statorică și apar numai la o anumită turărie, există toate elementele necesare pentru a se trece la discutarea cuplurilor electromagnetice care apar în mașină.

Prin analiza cuplurilor rezultate din interacțiunea a două armonici oarecare, de exemplu o armonică de ordinul v din $a_{S(x_1, t)}$ și o armonică de ordinul μ din $b_{R(x_1, t)}$ rezultă o serie de reguli care se vor aplica la celelalte produse. Aplicîndu-se relația (3.24) de calcul a cuplurilor pentru cele două armonici considerate se obține:

$$M_{v, \mu} = (\sqrt{2} I_1)(\sqrt{2}^v I_R) \left(\frac{m_1 w_1}{\pi} \frac{k_{w1} k_{s1}}{v} \right) \left(\frac{\mu_0 Z_2}{\delta} \frac{k_{t2} k_{r2}}{\mu} \sin \mu \frac{\pi}{Z_2} \right),$$

$$x l \int_0^{2\pi} \sin(\omega_1 t - v x_1) \sin(-b Z_2 s w_1 t - \mu x_1 - b Z_2 \beta_R - \varphi_R) dx, \quad (3.28)$$

și conform precizărilor anterioare se produce un cuplu de tip asincron dacă $b=0$ și cimpul rotoric a fost produs de armonica v de solenărie statorică, deci $\mu = v$, întrucît $\mu = v + b Z_2$. Acest cuplu este:

$$M_v = l r Z_2 \frac{\mu_0 w_1 m_1}{\pi \delta} \frac{k_{w1} k_{s1}}{v} \frac{k_{t2} k_{r2}}{v} \sin v \frac{\pi}{Z_2} 2 I_1^v I_R \cos^v \varphi_R, \quad (3.29)$$

și introducînd în relație valoarea eficace a tensiunii electromotoare de ochi rotoric se obține expresia uzuală pentru cuplul electromagnetic asincron produs de armonica de ordinul v de spațiu statorică:

$$M_v = \frac{v}{s \omega_1} \cdot Z_2^v E_R^v I_R \cos^v \varphi_R, \quad (3.30)$$

unde φ_R reprezintă defazajul dintre tensiunea electromotoare indușă și curentul de ochi generat de aceasta.

Din relația (3.28) rezultă cupluri sincrone dacă alunecarea este egală cu unitatea și ordinele de armonică sunt egale, adică

$$-bZ_2 s = \pm 1 , \mu = \pm v , \quad (3.31)$$

condițiile scrise explicit fiind:

$$-bZ_2 s=1 , s=1 , \mu=v \quad (3.32)$$

$$-bZ_2 s=-1 , s=1+2p/bZ_2 , \mu=-v$$

Deci cuplurile sincrone pot să apară la pornire în primul caz, în condiția în care

$$\frac{bZ_2}{2p} = (a+a_1)m_1 \quad (3.33)$$

și a_1 fiind ordinele pentru cele două armonici v care participă la cuplu, și în domeniul de alunecări $0 \div 1$ în al doilea caz dacă b este negativ și este îndeplinită condiția

$$\frac{bZ_2}{2p} = m_1(a+a_1)+1 \quad (3.34)$$

în care b s-a considerat cu semnul minus.

Armonicile pentru care este îndeplinită condiția

$$bZ_2/2p = m_1(a+a_1)-1 \quad (3.35)$$

nu produc cupluri întrucât sunt componente de tip homopolar. Aceste componente nu există decât în cazul legăturii în triunghi a fazelor infășurării.

Calculându-se amplitudinea cuplului sincron pentru cazul în care acesta are loc la o alunecare diferită de unu se obține din relația (3.28) cu condițiile date mai sus, expresia:

$$M_{sin} = \sqrt{2} I_1 I_2 \tau Z_2 \frac{\mu_0}{\delta} \frac{m_1 w_1}{\pi} \frac{k_{w1} k_{s1}}{\mu} \frac{k_{s2} k_{i2}}{\mu} \sin \mu \frac{\pi}{Z_2} \sqrt{2} I_R \cos(\varphi_2 + bZ_2 \beta_R) . \quad (3.36)$$

Dacă se observă că

$$\frac{p}{\omega_1} E_{\beta \max} = \frac{\mu_0}{\delta'} \cdot \frac{l \tau w_1}{Z_2} \cdot \frac{k_{w1}}{\mu} \cdot \frac{k_{i2} k_{s2}}{\mu} \sin \mu \frac{\pi}{Z_2} \cdot \sqrt{2} \cdot I_R$$

și se consideră $k_{ij}=1$, din relația (3.36) se obține:

$$M_{\sin} = \frac{2m_1 p}{\omega_1} I_1^{-b} E_\beta \cos(\varphi_R + b Z_2 \beta_R),$$

și dacă se negligează rezistențele atât în zona statorică cât și în ochiul rotoric se obține o expresie tipică pentru cuplul sincron:

$$M_{\sin} = \frac{2m_1 p}{\omega_1} \frac{U_1^{-b} E_\beta}{X} \sin b Z_2 \beta_R \quad (3.37)$$

unde reactanța X reprezintă o reactanță pentru care, în condițiile neglijării rezistenței statorice, există $I_1 = U_1/X$, fiind similară unei reactanțe sincrone, iar unghiul $b Z_2 \beta_R$ similar unghiului intern al mașinii sincrone. Semnul lui b s-a considerat negativ.

Condiția (3.34) poate fi îndeplinită pentru mai multe combinații de valori ale constantelor a și a_1 , cînd $b Z_2 / 2p$ este un număr întreg. Astfel, pentru aceeași valoare a lui b , deci la o valoare a turăției stabilită de alunecarea calculată în al doilea rînd al relațiilor (3.32) se pot suprapune mai multe cupluri sincrone. Spre exemplu, pentru o mașină cu $Z_1=24$, $Z_2=28$, $2p=4$ și zone cu extindere de 60° electrice în stator, se obține cînd $b=-1$, $b Z_2 / 2p = 7$ și combinațiile de a și a_1 care satisfac condiția (3.31) sunt:

$$a=2, a_1=0; a=0, a_1=2; a=-1, a_1=3;$$

cărora le corespund valorile lui $\mu = -26, -2, 10$.

Amplitudinile cuplurilor depind de mărimea curentului I_R și de valorile factorilor de inclinare și de infășurare. Totuși, se poate observa, că cele mai importante cupluri sunt produse de armonicele cu număr de ordine mai mic, întrucît pentru acestea amplitudinile curentilor sunt mai importante și de asemenea factorul μ^2 de la numitorul expresiei cuplului sincron are valori mai mici.

Tinînd cont de concluziile care s-au desprins din analiza cuplurilor produse de doi termeni oarecare din cele două sume

se poate trece mai departe la calcularea cuplurilor asincrone și sincrone care pot să apară, utilizând relații de tipul (3.29) și respectiv (3.36) pentru calculul amplitudinilor. Relațiile (3.30) și (3.37) s-au dezvoltat numai pentru a demonstra că cele două cupluri sint de tip asincron respectiv sincron.

3.2.1. Calculul cuplurilor asincrone

Analizîndu-se termenii care apar în urma efectuării calculelor implicate de produsul $a_{S(x_1,t)} b_{R(x_1,t)}$ și ținîndu-se cont de condițiile în care pot să apară cupluri de tip asincron se obține pentru cuplul electromagnetic asincron rezultant expresia:

$$\begin{aligned}
M_{as} = & \frac{m_w l \tau}{\pi} \cdot \frac{\mu_0}{\sigma} \left\{ \sqrt{2} I_1 \sum_b \left\{ \frac{\kappa_{w1} \kappa_{z1}}{\nu} \left[\sqrt{2} I_R \frac{\kappa_{z2} \kappa_{z2}}{\nu} (1 + \lambda_2) \sin \nu \frac{\pi}{Z_2} \cos^{\nu} \varphi_R + \right. \right. \right. \\
& \left. \left. \left. + \sqrt{2} \frac{\nu - Z_1}{\nu - Z} I_R \frac{\kappa_{z2} \kappa_{z2}}{\nu - Z} \frac{\lambda_1}{2} (1 + \lambda_2) \sin(\nu - Z_1) \frac{\pi}{Z_2} \cos^{\nu - Z_1} \varphi_R + \sqrt{2} I_R \frac{\kappa_{z2} \kappa_{z2}}{\nu + Z_1} \frac{\lambda_1}{2} (1 + \lambda_2) \sin(\nu + Z_1) \frac{\pi}{Z_2} \cos^{\nu + Z_1} \varphi_R \right] \right\} + \right. \\
& \left. b=0, b-1=0, b-1=0 \right. \\
& + \sum_{\substack{b=0, b-1=0, b+1=0 \\ \varepsilon=\mu, (\varepsilon=0, \pm 2, \dots)}} \left\{ \sqrt{2} I_{1g} \sum_{\varepsilon} \frac{\kappa_{w1} \kappa_{z1}}{\varepsilon} \left[\sqrt{2} I_R \frac{\kappa_{z2} \kappa_{z2}}{\mu} \sin \mu \frac{\pi}{Z_2} \cos(-b \varphi_s - \varphi_R) + \sqrt{2} I_R \frac{\kappa'_{z2} \kappa'_{z2}}{\mu} \sin \mu \frac{\pi}{Z_2} \frac{\lambda_1}{2} \cos(-b \varphi_s - \nu - Z_1 \varphi_R) + \right. \right. \\
& \left. \left. + \sqrt{2} I_R \frac{\kappa'_{z2} \kappa'_{z2}}{\mu''} \sin \mu'' \frac{\pi}{Z_2} \cos(-b \varphi_s - \nu + Z_1 \varphi_R) \right] + \sqrt{2} I_g \frac{\lambda_2}{2} \sum_{\substack{\varepsilon \\ \varepsilon=\mu, (\varepsilon=0, \pm 2, \dots)}} \left[\sqrt{2} I_R \frac{\kappa_{z2} \kappa_{z2}}{\mu} \sin \mu \frac{\pi}{Z_2} \cos(-b-1 \varphi_s - \nu \varphi_R) + \right. \right. \\
& \left. \left. + \sqrt{2} I_R \frac{\kappa'_{z2} \kappa'_{z2}}{\mu} \sin \mu \frac{\pi}{Z_2} \frac{\lambda_1}{2} \cos(-b-1 \varphi_s - \nu - Z_1 \varphi_R) + \sqrt{2} I_R \frac{\kappa'_{z2} \kappa'_{z2}}{\mu''} \sin \mu'' \frac{\pi}{Z_2} \frac{\lambda_1}{2} \cos(-b-1 \varphi_s - \nu + Z_1 \varphi_R) \right] + \right. \\
& \left. + \sqrt{2} I_g \frac{\lambda_2}{2} \sum_{\substack{\varepsilon \\ \varepsilon=\mu, (\varepsilon=0, \pm 2, \dots)}} \left[\sqrt{2} I_R \frac{\kappa_{z2} \kappa_{z2}}{\mu} \sin \mu \frac{\pi}{Z_2} \cos(-b-1 \varphi_s - \nu \varphi_R) + \sqrt{2} I_R \frac{\kappa'_{z2} \kappa'_{z2}}{\mu} \sin \mu \frac{\pi}{Z_2} \frac{\lambda_1}{2} \cos(-b-1 \varphi_s - \nu - Z_1 \varphi_R) + \right. \right. \\
& \left. \left. + \sqrt{2} I_R \frac{\kappa'_{z2} \kappa'_{z2}}{\mu''} \sin \mu'' \frac{\pi}{Z_2} \frac{\lambda_1}{2} \cos(-b-1 \varphi_s - \nu + Z_1 \varphi_R) \right] \right\} + \sum_{\substack{b=d+0, \\ b-1-d-1=0, b+1-d+1=0}} \sum_{\substack{\varepsilon \\ \varepsilon=\frac{3}{2}, (\varepsilon=\pm 4, \pm 3, \dots)}} \left[\sqrt{2} I_{1g} \frac{\frac{3}{2} \kappa_{z2} \frac{3}{2} \kappa_{z2}}{\frac{3}{2}} \sin \frac{3}{2} \frac{\pi}{Z_2} \cos(-b \varphi_s - \frac{3}{2} \varphi_R) + \right. \\
& \left. + \sqrt{2} I_R \frac{\frac{3}{2} \kappa_{z2} \frac{3}{2} \kappa_{z2}}{\frac{3}{2}} \sin \frac{3}{2} \frac{\pi}{Z_2} \frac{\lambda_1}{2} \cos(-b \varphi_s - \nu - Z_1 \varphi_R) + \sqrt{2} I_R \frac{\frac{3}{2} \kappa_{z2} \frac{3}{2} \kappa_{z2}}{\frac{3}{2}} \sin \frac{3}{2} \frac{\pi}{Z_2} \frac{\lambda_1}{2} \cos(-b \varphi_s - \nu + Z_1 \varphi_R) \right] + \\
& + \sqrt{2} I_g \frac{\lambda_2}{2} \sum_{\substack{\varepsilon \\ \varepsilon=\frac{3}{2}, (\varepsilon=\pm 4, \pm 3, \dots)}} \left[\sqrt{2} I_R \frac{\frac{3}{2} \kappa_{z2} \frac{3}{2} \kappa_{z2}}{\frac{3}{2}} \sin \frac{3}{2} \frac{\pi}{Z_2} \cos(-b-1 \varphi_s - \nu \varphi_R) + \sqrt{2} I_R \frac{\frac{3}{2} \kappa_{z2} \frac{3}{2} \kappa_{z2}}{\frac{3}{2}} \sin \frac{3}{2} \frac{\pi}{Z_2} \frac{\lambda_1}{2} \cos(-b-1 \varphi_s - \nu - Z_1 \varphi_R) + \right. \right. \\
& \left. \left. + \sqrt{2} I_R \frac{\frac{3}{2} \kappa_{z2} \frac{3}{2} \kappa_{z2}}{\frac{3}{2}} \sin \frac{3}{2} \frac{\pi}{Z_2} \frac{\lambda_1}{2} \cos(-b-1 \varphi_s - \nu + Z_1 \varphi_R) \right] \right\}
\end{aligned}$$

$$\begin{aligned}
 & + \sqrt{2}^{\sigma+Z_1} \left| \frac{\xi_{k_{12}} \xi''_{k_{12}}}{\xi''} \sin \varphi \frac{\pi}{Z_2} \frac{\lambda_1}{2} \cos(\text{b.v}) \varphi_s - \sigma Z_1 \varphi_r \right] + \sqrt{2}^{-(b+1)} \left| \frac{\lambda_2}{2} \sum_{\varepsilon=\pm} \frac{\xi_{k_{12}} \xi''_{k_{12}}}{\varepsilon''} \left[\sqrt{2}^{\sigma} \right]_R \frac{\xi_{k_{12}} \xi''_{k_{12}}}{\xi''} \sin \varphi \frac{\pi}{Z_2} \cos(\text{b.v}) \varphi_s - \sigma \varphi_r \right] + \\
 & + \sqrt{2}^{\sigma-Z_1} \left| \frac{\xi_{k_{12}} \xi''_{k_{12}}}{\xi''} \sin \varphi \frac{\pi}{Z_2} \frac{\lambda_1}{2} \cos(\text{b.v}) \varphi_s - \sigma Z_1 \varphi_r \right] + \\
 & + \sqrt{2}^{\sigma+Z_1} \left| \left. \frac{\xi_{k_{12}} \xi''_{k_{12}}}{\xi''} \sin \varphi \frac{\pi}{Z_2} \frac{\lambda_1}{2} \cos(\text{b.v}) \varphi_s - \sigma Z_1 \varphi_r \right] \right\} . \quad (3.38)
 \end{aligned}$$

In expresia cuplului asincron rezultant, dată mai sus, s-au pus în evidență mai multe categorii de cupluri asincrone și anume:

-cupluri asincrone rezultate din interacțiunea între curentul statoric de frecvență rețelei I_1 și curenții rotorici de ordinul ν , $\nu - Z_1$ și $\nu + Z_1$, interacțiune care are loc atunci cind $b=0, b-1=0$ și $b+1=0$,

-cupluri asincrone rezultate din interacțiunea între curenții armonici statorici de ordinul $-b, -(b-1)$ și $-(b+1)$ și curenții rotorici de ordinul ν , $\nu - Z_1$, $\nu + Z_1$, interacțiune care are loc la alunecările identice, adică $-\nu Z_2 s = -b Z_2 s$, s.a.m.d, și atunci cind $\varepsilon = \mu$ deci pentru valoarea zero și valorile pare ale lui c ($c=0, \pm 2, \pm 4, \dots$),

-cupluri asincrone rezultate din interacțiunea între curenții armonici statorici de ordinul $-b, -(b-1), -(b+1)$ și curenții rotorici de ordinul ν , $\nu - Z_1, \nu + Z_1$, interacțiune care are loc la alunecările identice, adică $-\nu Z_2 s = -b Z_2 s$, s.a.m.d, deci cu $b=d \neq 0$, și atunci cind $\varepsilon = \varphi$, deci pentru valorile impare ale lui c ($c=\pm 1, \pm 3, \dots$)

Defazajele dintre tensiunile electromotoare induse și curenții generați se exprimă în funcție de parametrii circuitelor respective, care se calculează cu relațiile date în capitolele 1 și 2.

In cazul în care înfășurarea statorică are zonele legate în serie, sau cind numărul de creștături rotorice este un multiplu al numărului de perechi de poli, în rotor nu există decât curenții de ordinul ν , $\nu - Z_1$, $\nu + Z_1$, și deci cuplurile asincrone rezultate din interacțiunea între curenții armonici statorici de ordinul $-b, -(b-1), -(b+1)$ și curenții rotorici de ordinul $\nu, \nu - Z_1, \nu + Z_1$ nu mai apar.

3.2.2. Calculul cuplurilor sincrone

Tinind cont de concluziile care s-au tras la discutarea cuplului sincron rezultat din interacțiunea solenășiei statorice de ordinul v cu inducția produsă de cîmpul rotoric al curentului rotoric armonică de ordinul v , se pot exprima toate cuplurile sincrone, împreună cu condițiile pentru ordinele de armonică și cu valorile alunecărilor la care apar cuplurile sincrone. Întrucît intereseză numai valorile maxime ale cuplurilor sincrone, care se adaugă cuplului asincron rezultant corespunzător alunecării la care apare cuplul sincron, se calculează în continuare tocmai aceste valori. Pentru simplificarea scrierii formulelor se introduc noțiuni:

$$K = 2m_1 l r \frac{w_1 Z_2 \mu_0}{\pi \delta} \quad (3.39)$$

Din produsele rezultate în urma înmulțirii primului termen general, din expresia solenășiei rezultante statorice, cu prima sumă de termeni din expresia inducției în întrefier produsă de cîmpurile rotorice, se obțin cupluri sincrone pentru valorile de alunecare :

$$\begin{aligned} -bZ_2 s &= \pm 1 \quad ; \quad v = \pm \mu \quad , \quad v = \pm (\mu \pm Z_1) \\ -(b-1)Z_2 s &= \pm 1 \quad ; \quad v = \pm (\mu - Z_2) \quad , \quad v = \pm (\mu - Z_2 \pm Z_1) \end{aligned} \quad (3.40)$$

$$-(b+1)Z_2 s = \pm 1 \quad ; \quad v = \pm (\mu + Z_2) \quad , \quad v = \pm (\mu + Z_2 \pm Z_1)$$

În dreptul fiecărei alunecări fiind date condițiile care trebuie să le îndeplinească ordinele de armonică.

Pentru cuplurile sincrone care apar la pornire, $s=1$ condițiile pentru ordinele de armonică sunt:

$$\begin{aligned} \frac{bZ_2}{2p} &= (a+a_1)m_1 \quad , \quad \frac{bZ_2}{2p} = (a+a_1 \pm q_1)m_1, \\ \frac{(b-1)Z_2}{2p} &= (a+a_1)m_1 \quad , \quad \frac{(b-1)Z_2}{2p} = (a+a_1+q_1)m_1, \\ \frac{(b+1)Z_2}{2p} &= (a+a_1)m_1 \quad , \quad \frac{(b+1)Z_2}{2p} = (a+a_1+q_1)m_1, \end{aligned} \quad (3.41)$$

identice cu cele care se vor exprima în continuare pentru cazul în care cuplurile sincrone apar la alunecări diferite de unu. Valorile alunecărilor, condițiile pentru ordinele de armonică precum și valorile maxime ale cuplurilor pentru acest caz se dau în tabelul 3.1.

Tabelul 3.1.

VALORILE ALUNECĂRILOR	CONDIȚIILE PENTRU ORDINELE DE ARMONICĂ	VALORILE MAXIME ALE CUPLURILOR
$-bZ_2 S = -1$ $S = 1 + \frac{2p}{bZ_2}$	$v = -\mu$ $\frac{bZ_2}{2p} = (a + a_1)m_1 + 1$	$K I_1^v I_R \frac{\mu' k_{w1} \mu' k_{f1}}{\mu} \cdot \frac{\mu' k_{f2} \mu' k_{i2}}{\mu} \sin \mu \frac{\pi}{Z_2}$
	$v = -(\mu \pm Z_1)$ $\frac{bZ_2}{2p} = (a + a_1 \pm q_1)m_1 + 1$	$K \frac{\lambda_1}{2} I_1^v I_R \frac{\mu' k_{w1} \mu' k_{f1}}{\mu \pm Z_1} \cdot \frac{\mu' k_{f2} \mu' k_{i2}}{\mu} \sin \mu \frac{\pi}{Z_2}$
$-(b-1)Z_2 S = -1$ $S = 1 + \frac{2p}{(b-1)Z_2}$	$v = -(\mu - Z_2)$ $\frac{(b-1)Z_2}{2p} = (a + a_1)m_1 + 1$	$K \frac{\lambda_2}{2} I_1^v I_R \frac{\mu' k_{w1} \mu' k_{f1}}{\mu'} \cdot \frac{\mu' k_{f2} \mu' k_{i2}}{\mu} \sin \mu \frac{\pi}{Z_2}$
	$v = -(\mu - Z_2 \pm Z_1)$ $\frac{(b-1)Z_2}{2p} = (a + a_1 \pm q_1)m_1 + 1$	$K \frac{\lambda_1 \lambda_2}{4} I_1^v I_R \frac{\mu' \pm Z_1 k_{w1} \mu' \pm Z_1 k_{f1}}{\mu'} \cdot \frac{\mu' k_{f2} \mu' k_{i2}}{\mu} \sin \mu \frac{\pi}{Z_2}$
$-(b+1)Z_2 S = -1$ $S = 1 + \frac{2p}{(b+1)Z_2}$	$v = -(\mu + Z_2)$ $\frac{(b+1)Z_2}{2p} = (a + a_1)m_1 + 1$	$K \frac{\lambda_2}{2} I_1^v I_R \frac{\mu' k_{w1} \mu' k_{f1}}{\mu''} \cdot \frac{\mu' k_{f2} \mu' k_{i2}}{\mu} \sin \mu \frac{\pi}{Z_2}$
	$v = -(\mu + Z_2 \pm Z_1)$ $\frac{(b+1)Z_2}{2p} = (a + a_1 \pm q_1)m_1 + 1$	$K \frac{\lambda_1 \lambda_2}{4} I_1^v I_R \frac{\mu' \pm Z_1 k_{w1} \mu' \pm Z_1 k_{f1}}{\mu''} \cdot \frac{\mu' k_{f2} \mu' k_{i2}}{\mu} \sin \mu \frac{\pi}{Z_2}$

Interacțiunea dintre solenăția corespunzătoare termenului de ordinul v al solenăției rezultante statorice, cu inducția corespunzătoare termenilor din expresia inducției datorată cimpurilor rotorice produse de curentii armonică de ordinul $v - Z_1$ $v + Z_1$ duce la apariția unor cupluri sincrone la aceleasi alunecări, condițiile pentru ordinele de armonică obținindu-se din cele date în tabelul 3.1 prin înlocuirea lui μ cu μ' respectiv cu μ'' . Valorile maxime ale cuplurilor se obțin din tabelul 3.1 prin schimbarea lui I_R^v cu $I_R^{v-Z_1}$ respectiv cu $I_R^{v+Z_1}$ și prin calcularea grupului de factori rotorici la armonicile μ' respectiv μ'' în loc de μ .

Interacțiunea dintre solenăția corespunzătoare termenului de ordinul v al solenăției rezultante statorice, cu inducția corespunzătoare cimpurilor rotorice produse de curenții armonică de ordinul v , $v \pm Z_1$, duce la apariția unor cupluri sincrone la aceleasi alunecări, întrucit d parcurge valori similare cu b . Condi-

țiile pentru ordinele de armonică sunt la fel ca cele date în tabelul 3.1. Valorile maxime ale cuplurilor sincrone se obțin din cele date în tabelul 3.1 prin înlocuirea lui $\sqrt{I_R}$ cu $\sqrt{\bar{I}_R}$, $\sqrt{-Z_1} I_R$, respectiv $\sqrt{+Z_1} I_R$, calculind grupul de factori rotorici la armonicile ψ , ψ' și ψ'' , și factorii statorici pentru aceleasi ordine de armonică.

In cazul în care înfășurarea statorică are zonele legate în serie acest ultim grup de cupluri sincrone, calculate pentru $c=\pm 1, \pm 3, \dots$, nu apare întrucât în rotor nu există decit curentii de ordine de armonică v , $v-Z_1$ și $v+Z_1$.

Din toate cuplurile sincrone care apar la aceeași turatie, cel mai important este cel datorat primelor ordine de armonice v , pentru care μ are valoarea minimă, celelalte cupluri avind valori mult mai mici.

Faptul că Z_2 este un multiplu al numărului de poli favorizează apariția de cupluri sincrone parazite, dar nu este suficientă numai această condiție pentru ca aceste cupluri să apară în domeniul în care mașina funcționează ca motor.

Pentru calculul cuplurilor sincrone trebuie să se rezolve ecuațiile de tensiuni la slunecarea corespunzătoare determinându-se astfel valorile curentilor care participă la cupluri. In rest, toate calculele sunt realizabile chiar și cu mîna, relațiile de calcul, date în formă finală în acest subcapitol, neprezentînd nici o dificultate.

3.2.3. Calculul cuplurilor asincrone din bilanțul puterilor

Valoarea medie a cuplului asincron rezultant la mașina de inducție se poate calcula și plecînd de la bilanțul puterilor cînd se neglijă pîrderile în fierul rotoric. Fără a se mai relua demonstrația dată de Oberretl [63], demonstrație care se poate extinde pentru a cuprinde și armonicile de crestături care nu erau considerate, se poate scrie pentru cuplul asincron rezultant mediu:

$$M_{as} = - \sum_{b=0, b-1=0, b+1=0} \left\{ \frac{bZ_2}{-bZ_2 S\omega_1} \cdot P_{cu1} + \frac{(b-1)Z_2}{-(b-1)Z_2 S\omega_1} \cdot P_{cu1} + \frac{(b+1)Z_2}{(b+1)Z_2 S\omega_1} \cdot P_{cu1} \right\} +$$

$$\begin{aligned}
 & + \sum_{\nu} \left\{ \frac{\nu}{\nu S\omega_1} P_{cu2}^{\nu} + \frac{\nu - Z_1}{\nu - Z_1 S\omega_1} P_{cu2}^{\nu-Z_1} + \frac{\nu + Z_1}{\nu + Z_1 S\omega_1} P_{cu2}^{\nu+Z_1} \right\} + \\
 & + \sum_{\sigma, L= \pm 1, \pm 3, \dots} \left\{ \frac{\sigma}{\sigma S\omega_1} P_{cu2}^{\sigma} + \frac{\sigma - Z_1}{\sigma - Z_1 S\omega_1} P_{cu2}^{\sigma-Z_1} + \frac{\sigma + Z_1}{\sigma + Z_1 S\omega_1} P_{cu2}^{\sigma+Z_1} \right\} . \quad (3.42)
 \end{aligned}$$

unde s-au introdus notațiile obisnuite pentru pierderile în înfășurări

$$-g_{P_{cu1}} = \frac{1}{m_1} I_1^2 R \quad , \quad g=b, b-1, b+1 , \quad (3.43)$$

$$f_{P_{cu2}} = Z_2 I_R^2 R_2 \quad , \quad f=\nu, \nu \pm Z_1, \sigma, \sigma \pm Z_1.$$

In cazul înfășurării statorice cu zonele fazelor legate în serie sau pentru cazul cînd Z_2 este un multiplu al numărului de poli, ultima sumă din relația (3.42) dispare întrucît în rotor nu există ordine de armonică diferite de ν , $\nu - Z_1$ și $\nu + Z_1$.

Expresia cuplului asincron calculat din bilanțul puterilor este identică cu cea calculată anterior cu relația generală (3.24). Astfel, de exemplu, pentru o armonică ν rotorică (3.30) dă același lucru ca și termenul corespunzător din (3.42), adică

$$M = \frac{\nu}{\nu S\omega} Z_2 E_R^{\nu} I_R \cos^{\nu} \varphi_R = \frac{\nu}{\nu S\omega} Z_2 I_R^2 R_{2\sigma} ,$$

pentru că

$$E_R^{\nu} \cos^{\nu} \varphi_R = I_R^{\nu} R_{2\sigma} .$$

La calculul cuplului asincron rezultant se pot utiliza oricare dintre cele două formule obținute adică (3.38) sau (3.42) întrucît toate elementele componente se pot determina, relația dedusă din bilanțul puterilor, (3.42) prezentând avantajul că nu necesită calcularea defazajelor dintre tensiunile electromotoare induse și curentii generați.

3.2.4. Cazul mașinii cu rotor bobinat

Rezultatele obținute pentru rotorul în colivie rămîn vala-

bile pentru rotorul bobinat cu următoarele observații:

- ne existând armonice produse de reacția statorică termenii corespunzători acestor armonice nu apar în expresiile cuplurilor,

- ordinele de armonică sunt stabilite prin condițiile date în subcapitolul 1.5,

- expresiile cîmpului rotoric conțin numărul de spire rotoric și factorul de înfășurare rotoric în locul factorului de ochi, deci aceste mărimi apar și în relațiile de calcul a cuplurilor asincrone și sincrone,

- peste tot se operează cu mărimi de fază atît pentru stator cît și pentru rotor,

- pierderile în înfășurarea rotorică se calculează în mod corespunzător adică $\dot{P}_{cu2} = m_2 \dot{I}_2^2 \dot{R}_2$ unde \dot{I}_2, \dot{R}_2 sunt curentul respectiv rezistența unei faze rotorice pentru armonica $f = v$,

$$v - Z_1, v + Z_1,$$

- condițiile pentru cuplurile sincrone sunt:

$$- b'_{s=-1}, s=1, b' = \frac{m_1(a_1-a')}{m_2} \quad (3.44)$$

$$- b'_{s=1}, s=1+ \frac{1}{m_2 b'}, b' = \frac{m_1(a_1+a')+1}{m_2} \quad (3.45)$$

unde $a' = a$, $a \pm q_1$ iar b' în condiția (3.45) s-a considerat cu semnul său, adică minus pentru domeniul $0 \div 1$ de alunecări.

C A P I T O L U L 4 .

CONSIDERAREA SATURATIEI SI A PIERDERILOR IN FIER

Saturația circuitului magnetic al mașinii afectează inductivitățile proprii, mutuale și de dispersie ale înfășurărilor, care s-au calculat anterior în capitolele 1 și 2 în ipoteza simplificatoare a liniarității circuitului magnetic constituit din material feromagnetic cu permeabilitate infinită față de cea a aerului. Considerarea efectelor saturației asupra inductivităților prezintă o sumă de dificultăți datorate complexității circuitului magnetic al mașinii. Metodele propuse în diferite lucrări [9, 21, 23, 26, 27, 31, 37, 51, 52, 83] prezintă fiecare avantaje și dezavantaje și pornesc de la simplificări care vizează în general forma circuitului magnetic sau curba de magnetizare. Toate metodele amintite, considerate ca cele mai semnificative, sunt metode iterative, care nu stabilesc expresii analitice generale. Tinând cont de acestea se adoptă un calcul iterativ pentru stabilirea valorilor saturate ale inductivităților, exceptie făcindu-se cu inductivitățile de dispersie ale părții frontale a înfășurării, care se vor considera neafectate de saturația circuitului magnetic întrucât fluxurile de dispersie parcurg distanțe importante prin aer.

Pierderile în fier constituie o putere consumată în mașină, și în consecință considerarea lor atrage după sine modificarea curentului absorbit de la rețea, acesta fiind mai mare de cît valoarea calculată prin rezolvarea ecuațiilor de tensiune date în capitolul 3. Pentru calculul curentului absorbit de la rețea, care acoperă și pierderile în fierul mașinii, se adoptă o metodă iterative, pornind de la considerarea unor înfășurări fictive în care se produc pierderi în înfășurări egale tocmai cu pierderile în fier [31, 32, 33, 34]. Pierderile în fierul celor două armături

se vor calcula la fiecare iterație pe baza pierderilor specifice ale tolei, cunoscindu-se inducția în diferitele porțiuni ale circuitului magnetic.

Considerarea pierderilor în fier duce și la modificarea cuplului electromagnetic al mașinii, modificare care se realizează prin adăugarea unor termeni suplimentari la expresiile calculate în capitolul 3. Acești termeni se calculează pe baza pierderilor în fier rezultate din procesul iterativ.

4.1. CONSIDERAREA SATURATIEI CIRCUITULUI MAGNETIC

După cum s-a precizat anterior, saturarea circuitului magnetic se va considera prin efectele pe care le produce asupra inductivităților proprii, mutuale și de dispersie ale creștăturii pentru înfășurările de pe cele două armături ale mașinii.

Inductivitățile proprii și mutuale se consideră afectate de saturare prin intermediul introducerii în trefierului echivalent cu factorul de saturare, k_s , adică

$$\delta' = k_s \cdot \delta^* \quad (4.1)$$

calculul factorului de saturare făcindu-se cu relația obișnuită,

$$k_s = 1 + \frac{U_{mFe}}{U_{m\delta}} \quad (4.2)$$

unde U_{mFe} este tensiunea magnetică în fierul mașinii iar $U_{m\delta}$ este tensiunea magnetică în trefier.

Pentru calculul factorului de saturare se consideră numai cimpul fundamental statoric și cel rotoric, întrucât cîmpurile armonice, calculate în capitolul 1, nu se închid prin tot fierul mașinii contribuind în fapt numai la saturarea vîrfurilor dinjilor. Această contribuție se poate neglija fără a afecta precizia de calcul. Cunoscindu-se, în urma rezolvării ecuațiilor de tensiuni scrise pentru curentul fundamental statoric și rotoric, valoile acestor curenți pentru cazul circuitului magnetic nesaturat deci cu δ' în expresiile inductivităților, se determină cimpul în trefier precum și valorile inducțiilor în diferitele porțiuni ale circuitului magnetic. Din caracteristica de magnetizare se determină valorile intensităților de cimp magnetic în porțiunile respective, și apoi se calculează tensiunile magnetice corespunzătoare și factorul de saturare. Acest proces iterativ se

răpetă pînă cînd diferența între doi factori de saturație calculați este mai mică de cît o valoare impusă, obținîndu-se în final valoarea întrefierului mărit δ'' , care se va utiliza în calculul inductivităților proprii și mutuale pentru fundamentală și pentru armonici.

Blocul iterativ de stabilire a întrefierului schivalent cuplat cu blocul de stabilire a pierderilor în fier și a deschiderilor echivalente de crestătură este prezentat în capitolul 5 în cadrul schemei logice date pentru calculul caracteristicilor mecanice.

Prin introducerea întrefierului echivalent δ'' nu se rezolvă problema modificării inductivităților de dispersie corespunzătoare părții de înfășurare aflată în crestături cu saturăția și, din acest motiv, această problemă va fi tratată separat. La deducerea expresiilor permeanțelor specifice pentru diferitele tipuri de crestături, capitolul 2, s-a presupus că fierul care înconjoară crestătura are permeabilitate infinită nefiind saturat, iar cîmpul produs de curentii care parcurg spirele aflate în crestătură se închide prin miezul magnetic și prin crestătură. După cum se observă la toate tipurile de crestătură deschiderea crestăturii are întrefierul cel mai mic și deci dispersia corespunzătoare acestei părți a crestăturii va fi afectată de saturarea miezului, și în special de saturarea dinților.

Pentru a considera influența saturăției asupra dispersiei corespunzătoare deschiderilor de crestătură se introduce o deschidere echivalentă de crestătură, care se calculează, în același fel ca și întrefierul echivalent mărit δ'' , cu ajutorul unui factor de saturăție k_{sdc} . În vederea stabilirii factorului de saturăție k_{sdc} se adoptă un model simplificat, dat în figura 4.1, în care s-au neglijat fluxurile ce se închid prin crestătură ca și cele care se închid prin întrefier și s-au luat secțiuni egale pentru toate porțiunile prin care se închid fluxurile considerate. Pe baza modelului se poate alcătui o schemă echivalentă cu reluctanțe date în figura 4.2., în care s-au notat reluctanțele miezului magnetic cu R_1 pentru armătura pe care s-a considerat crestătura și cu R_2 pentru cealaltă armătură, iar reluctanțele întrefierului, respectiv a deschiderii crestăturii cu R_δ și respectiv R_{dc} . Calculîndu-se acum fluxul care se închide pe ramura corespunzătoare deschiderii de crestătură a circuitului magnetic se obține:

$$\phi_{dc} = \Theta \frac{R_2 + R_\delta}{R_{dc}(R_2 + R_\delta) + R_1(R_2 + R_\delta) + R_{dc}R_1} \quad (4.3)$$

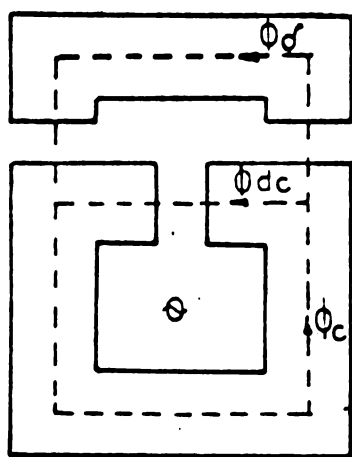


Fig.4.1. Model simplificat pentru calculul fluxului prin deschiderea crestăturii

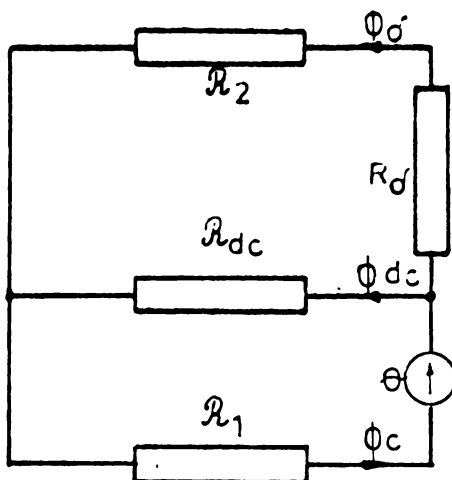


Fig.4.2. Schema echivalentă pentru modelul dat în figura 5.1.

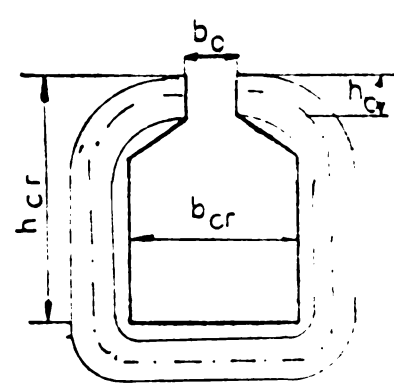


Fig.4.3. Tubul de flux considerat pentru calculul factorului de saturare

unde cu Θ s-a notat solenzia totală a crestăturii și grupind corespunzător

$$\phi_{dc} = \frac{\Theta}{R_{dc}} \frac{1}{1 + \frac{R_1}{R_{dc}} + \frac{R_1}{R_2 + R_\delta}} \quad (4.4)$$

se obține expresia factorului de saturare pentru deschiderea crestăturii

$$k_{sdc} = 1 + \frac{R_1}{R_{dc}} + \frac{R_1}{R_2 + R_\delta} \quad (4.5)$$

deci fluxul prin deschiderea crestăturii are expresia finală

$$\phi_{dc} = \frac{\mu_0 \Theta}{\epsilon_0 \cdot k_{sdc}} \cdot h_0 \cdot l \quad (4.6)$$

l fiind lungimea modelului, considerată ca fiind egală tocmai cu lungimea mașinii.

In sfîrșit, ținând cont de faptul că porțiunea de circuit magnetic din armătura opusă crestăturii este mult mai complexă și

că din acest motiv $R_2 > R_1$, atunci termenul $R_1/(R_2 + R_\delta)$ este mult mai mic decât unu și se poate neglijă. Atunci expresia lui k_{sdc} devine:

$$k_{sdc} = 1 + R_1/R_{dc}, \quad (4.7)$$

expresie absolută similară cu cea a lui k_{sat} și care se va calcula în același fel.

Pentru calculul lui R_1 sau a tensiunii magnetice în fierul din jurul crestăturii se consideră un tub de flux care înconjoară crestătura având secțiunea egală cu secțiunea la deschiderea crestăturii, adică $b_o \cdot l$, și cu o lungime egală cu de două ori înălțimea totală a crestăturii plus de două ori lățimea cea mai mare a crestăturii, tub de flux care este dat în figura 4.3.

In calculul efectiv a factorului k_{sdc} trebuie să se țină cont și de inducția în dinte pe care o produce solenăgia rezultantă, care s-a luat ca bază pentru calculul factorului de saturare al întrefierului k_{sat} . Astfel în blocul iterativ de calcul, dat în capitolul 5, se calculează inducția în tubul de flux care înconjoară crestătura în cazul în care k_{sdc} este egal cu unitatea și aceasta este comparată cu inducția maximă obținută în dinte în cazul calculului lui k_{sat} , mai departe urmând să se utilizeze cea mai mare dintre cele două valori. Cu această valoare se determină intensitatea cîmpului magnetic din curba de magnetizare și se calculează tensiunea magnetică în tubul de flux considerat. Calculul intensității cîmpului magnetic în deschiderea crestăturii se face cu relația:

$$H_{dc} = \frac{\Phi}{b_o} \quad (4.8)$$

unde Φ este solenăgia rezultantă a armăturii care corespunde unei crestături, și se obține prin împărțirea solenăgiei rezultante a armăturii cu numărul de crestături.

Deschiderea echivalentă a crestăturii astfel obținută,

$$b'_o = k_{sdc} b_o \quad (4.9)$$

se utilizează în recalcularea coeficienților permeanței echivalente variabile și a întrefierului echivalent prin factorul lui Carter. Si în acest caz iterarea se va încheia atunci când diferența între doi coeficienți k_{sdc} calculați consecutiv va fi mai mică de cît o valoare impusă.

In cazul crestăturilor închise, pentru a se putea aplica

această metodă de calcul a deschiderii echivalente se va adopta de la început o deschidere foarte mică, deschidere fictivă care nu va influența în mod important parametrii circuitului magnetic, inițial, deschiderea echivalentă stabilizându-se după încheierea procesului de iteratii.

4.2. CONSIDERAREA PIERDERILOR IN FIER

După cum s-a mai arătat pentru luarea în considerare a pierderilor în fier în miezurile magnetice ale celor două armături se introduce o înfășurare auxiliară fictivă pe armătura statorică. Această înfășurare, identică cu cea statorică este legată în scurt circuit la borne. Curentul care se stabilește în ea va produce pierderi în înfășurare egale tocmai cu pierderile totale în fier. Înfășurarea de pierderi are același număr de spire și aceeași configurație ca și înfășurarea statorică fiind cuplată cu aceasta și cu înfășurarea rotorică prin intermediul fluxului principal. Inductivitatea de dispersie și inductivitatea proprie a înfășurării auxiliare de pierderi sunt egale cu cele ale înfășurării statorice iar rezistența înfășurării auxiliare care este proporțională cu pierderile în fier urmează să se determine odată cu toți curentii în urma unui proces iterativ.

Intrucât pierderile în fier datorate armonicilor sunt mult mai mici și se pot determina că pierderi suplimentare, pentru calculul iterativ al curentului și a rezistenței de pierderi se consideră numai curentii fundamentali din cele două înfășurări, sisteme de ecuații de tensiuni fiind, pentru cazul zonelor legate în para-

$$\underline{U} = (2R_{1pq} + 2j\omega_1 L_{d1q} + 2j\omega_1 L_{ip}) \underline{I}_p + 2j\omega_1^{\text{sp}} M'_{2ip} \underline{I}_R ,$$

$$0 = [R_{2o} + j^p S \omega_1 (L_{d2o} + L_R)] \underline{I}_R + j^p S \omega_1^{\text{sp}} M'_{12} \underline{I}_1 , \quad (4.10)$$

$$0 = [R_{1pq} + j\omega_1 (L_{d1q} + L_{ip})] \underline{I}_p + j\omega_1 L_{ip} \underline{I}_p + j\omega_1^{\text{sp}} M'_{2ip} \underline{I}_R ,$$

unde s-a notat cu I_{1p} curentul de pierderi din înfășurarea auxiliară și cu R_{1pq} rezistența unei zone a acestei înfășurări.

Ecuățiile pentru cazul zonelor legate în serie sunt similare și se pot scrie imediat pe baza ecuațiilor de tensiuni scrise în capitolul 3 în care se negligează armonicile, cum s-a procedat în cazul zonelor legate în paralel.

La sistemul de ecuații de tensiuni (4.10) trebuie să se mai adauge relația energetică de corespondență cu pierderile în fier,

$$2pm_1 R_{lpq} \cdot I_{lp}^2 = p_{Fe}, \quad (4.11)$$

unde p_{Fe} reprezintă pierderile totale în fierul mașinii fiind suma pierderilor în fierul statoric și în fierul rotoric, adică

$$p_{Fe} = p_{Fel} + p_{Fe2} \quad (4.12)$$

Pierderile în fier se vor calcula cu ajutorul pierderilor specifice în funcție de inducția determinată în dinții și jugurile celor două armături, întreg calculul fiind inclus în blocul iterativ de calcul și a coeficienților de saturare. Relațiile de calcul pentru pierderi sunt la juguri și dinți,

$$\begin{aligned} p_{Feji} &= 1,5 \cdot p_{ji} \cdot m_{ji} \\ p_{Fedi} &= 1,8 \cdot p_{di} \cdot m_{di} \end{aligned} \quad (4.13)$$

unde p_{Feji} reprezintă pierderile în fierul jugurilor iar p_{Fedi} sunt pierderile în fierul dinților, și fiind 1 pentru stator și 2 pentru rotor. În relațiile (4.13) s-au mai notat cu m_{ji} și m_{di} masele jugurilor, respectiv dinților celor două armături iar cu p_{ji} și p_{di} pierderile specifice funcție de inducție în juguri, respectiv dinți. Caracteristica pierderilor specifice în funcție de inducție pentru tola din care sunt confectionate miezurile se va aproxima, ca și caracteristica de magnetizare, pe portiuni cu polinoame Cebîșev de aproximare.

Considerarea pierderilor în fier afectează și expresia cuplului electromagnetic dedus în urma bilanțului energetic în sensul măririi acestuia cu cuplul datorat pierderilor în fierul rotoric. Astfel, dacă p_{Fe2} sunt pierderile în fierul rotoric care rezultă din procesul iterativ, atunci cuplul electromagnetic asincron calculat în capitolul 3, se completează cu termenul corespunzător pierderilor în fier, adică

$$M'_{as} = M_{as} + p_{Fe2} \frac{p}{p_s \omega_1} \quad (4.14)$$

unde M_{as} este cuplul electromagnetic asincron fără pierderi calculate cu relația (3.42).

In ceea ce privește pierderile suplimentare în fier, pierderi cauzate de armonicile de cîmp din întrefier acestea pot fi determinate în final atunci cînd se cunosc, după rezolvarea sistemului de ecuații de tensiuni, toți curentii armonică din înfășurările de pe cele două armături. Cunoscînd valorile curentilor armonici se pot calcula solenatiile rezultante statorice și rotorice pentru armonici. Dacă se presupune acum că aceste solenati se găsesc repartizate în întrefier și că fluxurile armonicilor de curenti se închid prin capetele dintilor pătrunzînd în dintii celor două armături pînă la o adîncime egală cu înălțimea deschiderii de creștătură se poate calcula o valoare aproximativă a intensității cîmpului produs în capetele de dinti cu relația

$$H_{arm} = \frac{\Theta_{arm}}{\zeta_{med}} \quad (4.15)$$

unde Θ_{arm} este suma solenatiilor rezultante armonice statorice și rotorice împărțită la media numărului de creștături iar ζ_{med} este pasul dentar mediu a celor două armături.

Adăugînd acum acest H_{arm} calculat cu relația (4.15) la valoarea finală obținută pentru intensitățile cîmpului magnetic în capetele dintilor din procesul iterativ pentru determinarea factorilor de saturatie și a pierderilor în fier se obțin din caracteristica de magnetizare noi valori pentru inducția în capetele dintilor, valori cu care se pot calcula pierderile în capetele de dinti. Dacă din aceste valori de pierderi în fierul capetelor de dinti se scad pierderile în capetele de dinti calculate anterior cu valorile de inducții obținute în finalul procesului iterativ se obțin pierderile în fier suplimentare datorate armonicilor.

Metoda propusă pentru determinarea pierderilor suplimentare în fier, deși are la bază unele simplificări, este ușor de aplicat întrucît calculul lui Θ_{arm} se poate face pe baza expresiilor obținute în capitolul 1 și a curentilor care rezultă prin rezolvarea sistemului de ecuații de tensiuni.

Pentru calculul factorilor de saturatie și a pierderilor în fier se utilizează caracteristica de magnetizare, prin intermediul căreia se determină valorile intensității cîmpului magnetic H în

diferite porțiuni a circuitului magnetic, cind se cunoaște inducția magnetică B , și apoi se recalculează inducția magnetică. Caracteristica de magnetizare s-a aproximat pe porțiuni cu polinoame de aproximare, aceste polinoame fiind introduse în program. Aproximarea adoptată este de precizie comparabilă cu alte tipuri de aproximări propuse în literatură [36, 57, 82] și poate fi ușor utilizată pe calculatoare de mică capacitate ca HP 9820A pe care s-a rulat programul. În tabelul 4.1 sunt date pentru diferite valori ale lui H valorile approximate ale inducției, notate B_a , în comparație cu valorile reale, notate B_r și eroarea relativă. După cum se observă în crile sunt sub 2,5%, deci aproximarea este corespunzătoare.

Tabelul 4.1

H	B_a	B_r	$\frac{B_a - B_r}{B_r} \cdot 100$	H	B_a	B_r	$\frac{B_a - B_r}{B_r} \cdot 100$
Asp/m	T	T	%	Asp/m	T	T	%
0,35	0,295	0,3	-1,52	3,70	1,377	1,40	-1,632
0,5	0,395	0,4	-1,24	6,66	1,528	1,50	1,847
0,65	0,491	0,5	-1,82	8,50	1,559	1,525	2,223
0,8	0,583	0,6	-2,82	22,0	1,598	1,60	-0,108
1,0	0,700	0,7	0,014	37,0	1,644	1,65	-0,388
1,2	0,811	0,8	1,313	55,4	1,696	1,70	-0,265
1,4	0,914	0,9	1,584	74	1,744	1,75	-0,349
1,6	1,011	1,0	1,138	101	1,807	1,80	0,382
2,0	1,186	1,20	-1,192	155	1,907	1,90	0,362
2,1	1,244	1,225	1,527	250	1,999	2,00	-0,057
2,25	1,258	1,25	0,661	300	2,052	2,05	0,078
2,53	1,284	1,30	-1,267	345	2,099	2,10	-0,052

C A P I T O L U L 5

REZULTATE DE CALCUL SI EXPERIMENTALE

Rezultatele teoretice obținute în capitolele anterioare se verifică în cazul a două mașini de inducție prin comparare cu rezultatele experimentale. Datele constructive și caracteristicile experimentale ale celor două mașini încercate sunt prezentate în ANEXA 1 și anume, în tabelele Al.1 și Al.3. pentru mașina 1 de 5,5 Kw, 1500 rot/min, gabarit 132 S și în tabelele Al.2 și Al.4 pentru mașina 2 de 2,2 Kw, 3000 rot/min, gabarit 90L. Încercările celor două mașini s-au efectuat în laboratorul I.C.P.E utilizându-se aparatură de precizie adecvată.

Mașina 1 are o înfășurare în simplu strat cu cîte două zone legate în paralel pe fază și fazele legate în triunghi. Mașina 2 are înfășurarea statorică cu o zonă pe fază, conexiunea fiind în stea. La ambele mașini raportul dintre numărul de creștături rotorice și numărul de perechi de poli este un număr întreg, deci procesul reacțiilor se încheie cu reacția rotorică primă în rotor neexistând decît armonicele produse de cîmpurile statorice datorate curentului de frecvență rețelei. În cazul mașinii 2, care are conexiunea în stea, $Z_2/2p$ este 11, deci pentru ordinul de armonică $b=-1$ este îndeplinită condiția ca tensiunile electromotorice induse în fazele statorice să fie de tip homopolar, $-11=-12+1$.^{*} În concluzie la această mașină nu există în stator decît armonice de curent de ordinul $b=1$ care nu produce cîmpuri de ordine de armonică și diferențe de ordine de armonică și pe care le produc curentul de frecvență rețelei.

În cazul mașinii 1, conexiunea fiind în triunghi, există curenti armonici de ordinul $b=\pm 1$ în înfășurarea statorică. Curentul

* Paragraful 1.4.3, relația (1.69)

armonică de ordinul $b=+1$ îndeplinește condiția de homopolaritate adică $bZ_2/2p = M(3)+1$, $7=5+1$, și dă un cîmp statoric cu armonici de spațiu de ordinul ε diferite de ordinele v pe care le produce curentul statoric de frecvență rețelei. Acest cîmp induce în rotor tensiuni electromotoare de frecvențe identice cu cele induse de cîmpurile armonice de ordinele v , deci și în acest caz reacția se încheie la stator.

Infășurările statorice fiind în simplu strat la ambele mașini, numărul de spire pe fază este $w_1 = pqs_b/a_1$, a_1 fiind 2 la mașina 1 și 1 la mașina 2. În expresiile inductivităților proprii și de cuplaj, la ambele mașini apare coeficientul 2, întrucît în capitolul 1 aceste expresii s-au calculat în ipoteza unor infășurări în dublu strat și acest coeficient este introdus în w_1 .

Sistemul general de ecuații de tensiuni pentru mașina 1 conține zece ecuații și anume o ecuație pentru curentul statoric de frecvență rețelei, două ecuații pentru curentii armonici statorici de ordinul $b=±1$ și sapte ecuații pentru rotor una pentru curentul de frecvență rețelei, $v'=p$, două pentru curentii armonici datorăi crestării, $v'=p±Z_1$, două pentru curentii date de primele două armonici de spațiu statorice $v=-5p$, $v=7p$. Ultimele două ecuații rotorice pot fi fie pentru armonici de crestare $v'=-5p+Z_1$, $v'=7p-Z_1$ fie pentru armonici de spațiu $v=-11p$, $v=13p$ și în calcule vor fi considerate ambele alternative.

Sistemul de ecuații de tensiuni pentru mașina 1 este:

$$U_1 = \left[R_{1g} + j\omega_1 \left(L_{dg} + \sum_v^v L_{1g} \right) \right] I_{1g} + j\omega_1 \sum_{v=-v, v'}^v M_{21g}^{v, v} h_M^{v, v} I_R , \quad (5.1)$$

$$0 = j\omega_1^v M_{12}^{v, v} I_{1g} + \left[R_{2g} + j\omega_1 \left(L_{dg} + \sum_{b=0, ±1}^{v+bZ_1} L_R \right) \right] I_R + j\omega_1^{v+Z_1} M_{12}^{v+Z_1} I_{1g} , \quad (5.2)$$

$$0 = j\omega_1^v \frac{\lambda_1}{2} M_{12}^{v, v} I_{1g} + \left[R_{2g} + j\omega_1 \left(L_{dg} + \sum_{b=0, ±1}^{v+bZ_1} L_R \right) \right] I_R , \quad (5.3)$$

$$v = p - Z_1, p + Z_1, (-5p + Z_1), (7p - Z_1)$$

$$0 = j\omega_1^v \left(1 + \frac{\lambda_1}{2} \right) M_{12}^{v, v} I_{1g} + \left[R_{1g} + j\omega_1 \left(L_{dg} + \sum_{v=-v, v'}^{v+Z_2} L_{1g} \right) \right] I_{1g} , \quad (5.4)$$

conținând în cazul considerării a patru armonici de crestare în rotor trei ecuații de tipul (5.2) și patru ecuații de tipul (5.3). În cazul considerării a patru armonici de spațiu în rotor sistemul

de ecuații de tensiuni conține cinci ecuații de tipul (5.2) și două ecuații de tipul (5.3). În ambele cazuri există o ecuație de tipul (5.1) și două ecuații de tipul (5.4).

Pentru mașina 2 neexistând în stator decât curentul armonic de ordinul $b=1$ ecuațiile de tipul (5.2) și (5.4) devin:

$$0 = j^v s \omega_1^{v,v} M_{12}^1 I_{1\beta} + \left[R_{2\sigma} + j^v s \omega_1 \left(L_{d2\sigma} + \sum_{b=0,1}^{v+z_2} L_R \right) \right] v I_R , \quad (5.2')$$

$$0 = j^{z_2} s \omega_1 \left(1 + \frac{\lambda_2}{2} \right) \sum_{v''} \left(M_{21\beta}^{v,v} I_{-R} \right) + \left[R_{1\sigma} + j^{z_2} s \omega_1 \left(L_{d1\sigma} + L_{1\beta} \right) \right]^{-z_2} I_{1\beta} . \quad (5.4')$$

conținând în ambele variante, cu patru armonici de crestare, sau numai cu două armonici de crestare, un total de nouă ecuații. În cazul mașinii 2 s-au păstrat notațiile corespunzătoare zonei întrucât nu există decât o zonă pe fază, deci parametrii zonei și a fazelor se confundă.

Ecuatiile de tensiuni constituie un element important al modelului matematic și al programului alcătuit pentru calculul caracteristicilor mașinilor încercate.

5.1. MODELUL MATEMATIC SI PROGRAMUL DE CALCUL

Modelul matematic pentru programul de calcul este alcătuit pe baza rezultatelor teoretice obținute în capitolele anterioare și urmărește în primul rînd calculul caracteristicii mecanice și a armonicilor de curent din stator și rotor. De fapt verificarea cea mai importantă a unei bune părți din rezultatele teoretice obținute constă tocmai într-o bună concordanță între caracteristicile mecanice calculate și ridicate experimental.

Programul pentru calculator este divizat în două părți mari. În prima parte se urmărește calculul și definitivarea factorilor de saturare și a pierderilor în fier iar în cea de a doua parte sunt calculați curentii din stator și rotor și cuplurile electro-magnetice. Cele două părți mari ale programului pot funcționa și separat ele fiind independente între ele. Schema bloc a programului întreg pentru calculul caracteristicii mecanice și a curentilor este dată în figura 5.1. O variantă a programului în limba-

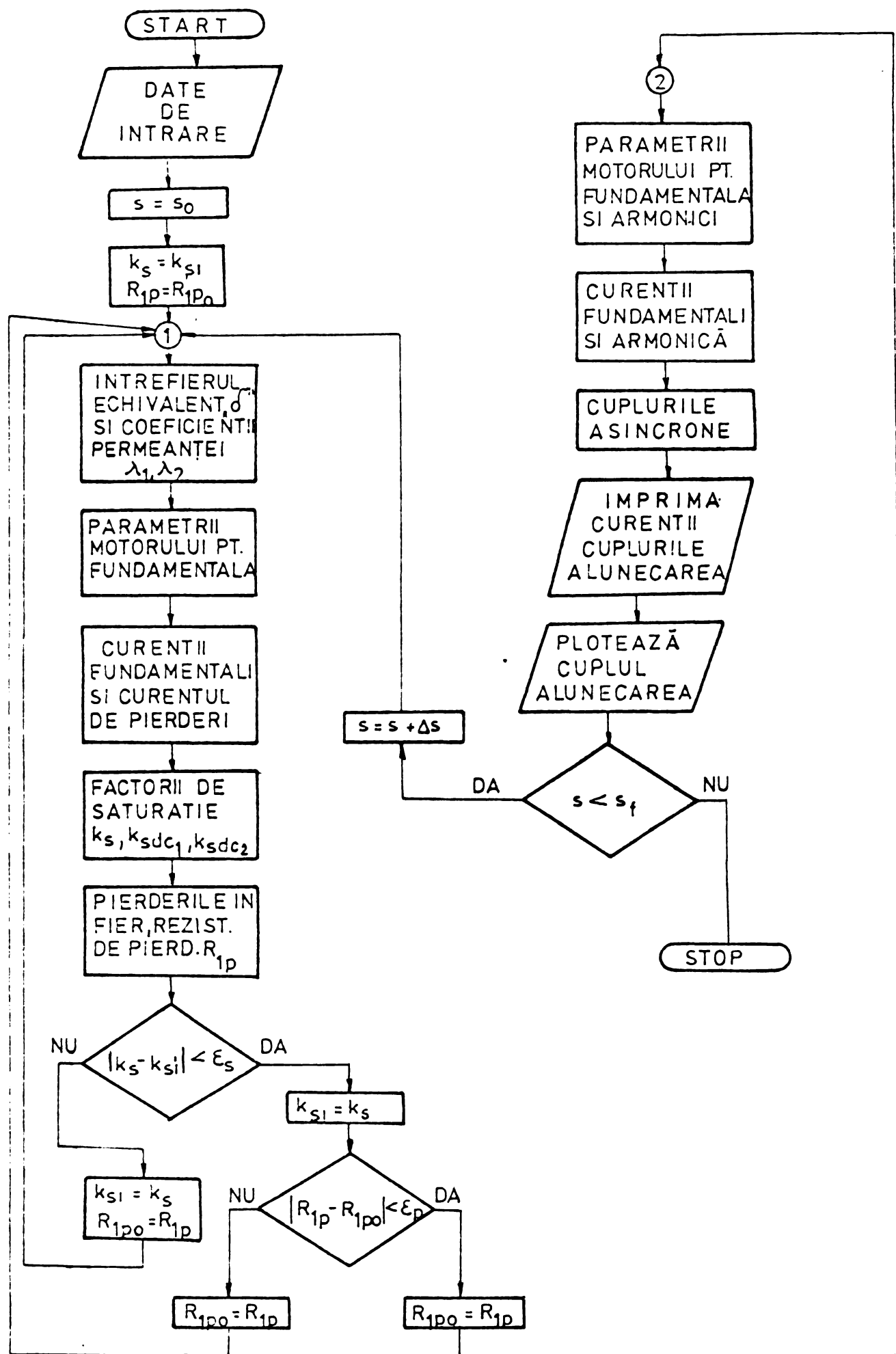


Fig.5.1. Schema logică a programului pentru calculul caracteristicii mecanice

în calculatorului HP9820A utilizat este dată în ANEXA 3 care mai conține schema bloc a subprogramului de rezolvare a sistemului de ecuații cu coeficienți complecși, o descriere amănunțită a programului, un tabel cu principalele mărimi din program și cîteva elemente privind particularitățile de operare și limbaj ale calculatorului.

Pentru prima parte a programului, blocul cuprins între punctele 1 și 2 în schema bloc dată în figura 5.1, elementul central îl constituie rezolvarea ecuațiilor de tensiuni de tipul ecuațiilor (4.10) din capitolul 4. Pentru aceasta se calculează parametrii mașinii, care sunt coeficienții ecuațiilor, cu relațiile date în capitolul 1. Inițial factorii de saturatie k_s și k_{sdc} sunt luati egali cu unitatea și în primul bloc din această parte a programului este calculat întrefierul echivalent δ'' . Tot aici se calculează și coeficienții λ_1 și λ_2 ai permeanței echivalente variabile a întrefierului. După rezolvarea sistemului de ecuații de tensiuni se trece la calculul factorilor de saturatie efectivi, a pierderilor în fier și a rezistenței echivalente de pierdere. Mersul de calcul este conform celui prezentat în capitolul 4. Calculul se reia de la început cu noile valori ale factorilor de saturatie k_s , k_{sdc} și ale rezistenței echivalente de pierderi pînă cînd între două valori consecutive ale acestora există o diferență mai mică de cît valorile impuse ε_s și ε_p . Această parte de program poate fi completată cu un bloc care să varieze tensiunea și utilizată în acest fel pentru calculul caracteristicilor de mers în gol a mașinii $P_{Fe} = f(U_1)$, $P_{10}, I_{10} = f(U_1)$ etc. În această situație valoarea alunecării poate fi luată zero pentru mersul în gol ideal sau egală cu cea de mers în gol pentru mersul în gol ușual.

Dacă prima parte este conectată cu cea de a doua pentru calculul caracteristicii mecanice, ca în schema bloc din figura 5.1, atunci din ea rezultă valorile finale ale întrefierului echivalent și ale coeficienților λ_1 și λ_2 ai permeanței echivalente variabile. Cu aceste valori se calculează în continuare inductivitățile proprii și de cuplaj precum și cele de dispersie care constituie coeficienții sistemului de ecuații de tensiuni format din ecuațiile (5.1), (5.2), (5.3) și (5.4) la mașina 1 sau din ecuațiile (5.1'), (5.2'), (5.3') și (5.4') la mașina 2. Programul de calcul din ANEXA 3 este scris pentru mașina 1 în varianta cu patru armonici de creștere, modificările necesare pentru cealaltă variantă ca și pentru

mașina 2 fiind prezentate în descrierea programului dată în aceeași anexă.

După rezolvarea sistemului de ecuații de tensiuni se obțin valorile curentilor cu care se calculează cuplurile electromagnetice de tip asincron. Programul continuă pentru o nouă alunecare pînă cînd alunecarea are valoare mai mare de cît s-a valoarea maximă de alunecare introdusă.

Dacă această parte a doua a programului este rulată separat rezultă curentii și cuplurile electromagnetice pentru mașina cu o saturare oarecare dată și nu se mai poate introduce cuplul datorat pierderilor în fierul rotorului care se calculează în varianta anterioară.

Programul poate fi ușor adaptat pentru calculul altor caracteristici, cum ar fi cea de scurtcircuit, de exemplu. Acestea nu au fost introduse în lucrare întrucît nu sunt direct legate de subiect. S-a introdus, totuși, calculul caracteristicii pierderilor în fier în funcție de tensiune la mersul în gol pentru a se proba valabilitatea metodei de calcul a pierderilor în fier prezintă în capitolul 4.

Modelul matematic care stă la baza programului de calculator nu s-a dezvoltat mai mult întrucît el se bazează pe rezultatele obținute în capitolele anterioare și în ANEXA 3 este dată o descriere în detaliu a programului, fiind ușor de urmărit astfel și modelul matematic.

Programul a fost scris pentru un calculator de mici dimensiuni, HP9820A, pentru că acesta este suficient în cazurile considerate și se găsește în dotarea laboratorului de calcul de la Institutul Politehnic Cluj. Acest program poate fi transcris pentru un calculator mare, diferențele de limbaj nefiind importante.

5.2. REZULTATE DE CALCUL

Cu programul descris în capitolul anterior s-au calculat caracteristicile mecanice și caracteristica pierderilor în fier în funcție de tensiune la mersul în gol pentru cele două mașini considerate. Valorile mărimilor de intrare în program calculate din datele constructive sau determinate în capitolul 2 sunt date în tabelul A3.1 din ANEXA 3. Pentru fiecare mașină s-au considerat două variante de calcul a caracteristicii mecanice, una cu patru armonici de crestare și alta cu patru armonici de spațiu

și numai două de crestare.

5.2.1. Caracteristica mecanică

Caracteristica mecanică experimentală s-a ridicat prin puncte menținindu-se riguros tensiunea de alimentare pe un stand dotat cu aparatură de măsură de bună calitate. A fost preferată această metodă de ridicare experimentală întrucât ea oferă mai multă precizie și mai mare decât celelalte metode utilizate. Valorile obținute sunt date în ANEXA 1, tabelul Al.3 pentru mașina 1 și tabelul Al.4 pentru mașina 2.

În calcule rezistențele zonei statorice s-au luat pentru temperatura de 75°C iar rezistențele barei și a inelului rotoric pentru temperatura de 120°C , ținând cont de modul în care s-a făcut ridicarea experimentală a caracteristicii mecanice.

Toate rezultatele obținute sunt date în ANEXA 4. Caracteristicile mecanice calculate pentru mașina 1 sunt date în figura A4.1. pentru varianta cu patru armonici de crestare și în figura A4.2 pentru varianta cu patru armonici de spațiu. În ambele figure caracteristicile calculate reprezentate cu puncte notate cu x unite între ele sunt comparate cu caracteristica experimentală reprezentată prin puncte notate cu +. Aceleasi caracteristici sunt reprezentate în același mod și date în figurile A4.5 și A4.6 pentru mașina 2. Principalele cupluri parazite de tip asincron sunt reprezentate în figura A4.7 pentru mașina 2 și în figurile A4.3 și A4.4 pentru mașina 1 la care considerarea armonicilor de spațiu de ordinele -11p și 13p modifică cuplurile parazite datorate armonicilor de curent din stator.

Valorile curentilor pentru cele două variante de calcul sunt date în tabelele A4.1, A4.3 și A4.5 și A4.6 iar valorile cuplurilor în tabelele A4.3, A4.4 și respectiv A4.7, A4.8 pentru cele două mașini, mașina 1 respectiv mașina 2.

În cazul mașinii 1 există și un cuplu sincron care apare alunecarea $s=0,857$, pentru armonica de curent din stator de ordin $b=-1$. Valoarea maximă a acestui cuplu are loc la

$$\beta_R = \pm \frac{\pi}{2Z_2},$$

rezultând din interacțiunea curentului de frecvență rețelei din stator și a curentului armonic de ordinul 13p din rotor, fiind dată de:

$$M_s = 2m_1 l r \frac{w_1 Z_2 \mu_0}{\pi \delta''} |_{s=0,857} \left| \frac{-2 k_{w1}^{-2} k_{f1}}{-2} \cdot \frac{-2 k_{f2}^{-2} k_{i2}}{-2} \sin\left(-2 \frac{\pi}{Z_2}\right) \right|$$

unde $\mu = 13p - 28 = -2$, și se obține:

$$M_{\text{sin max}} = 5,9463 \text{ Nm}$$

Amplitudinile maxime ale cuplurilor parazite asincrone date rate armonicilor de spațiu s-au calculat, raportat la cuplul de pornire, cu metoda indicată în Richter [73], și rezultatele sunt comparate cu cele obținute în lucrare în tabelul 5.1 pentru mașina 1 și mașina 2. Pentru mașina 1 s-a făcut calculul și pentru cuplul sincron, compararea fiind dată tot în tabelul 5.1. Cuplurile de pornire, conform rezultatelor date în tabelele A4.4 și A4.8 sunt 92,8 Nm pentru mașina 1 și 16 Nm pentru mașina 2.

Tabelul 5.1

	Mașina 1					Mașina 2			
Ordinul de armonică	-10	14	-22	26	2/26	-5	7	-11	13
După [73]	$-4,0 \times 10^{-2}$	$0,9 \times 10^{-2}$	$-3,6 \times 10^{-4}$	$1,96 \times 10^{-5}$	$8,69 \times 10^{-2}$	-0,194	$5,94 \times 10^{-2}$	$-8,8 \times 10^{-3}$	$3,5 \times 10^{-3}$
Calculat	$-4,2 \times 10^{-2}$	$1,1 \times 10^{-2}$	$-4,9 \times 10^{-4}$	$2,82 \times 10^{-5}$	$6,41 \times 10^{-2}$	-0,1937	$6,41 \times 10^{-2}$	$-8,4 \times 10^{-3}$	$3,45 \times 10^{-3}$

După cum se observă din tabelul 5.1, între valorile maxime ale cuplurilor parazite, date de armonicile de spațiu, calculate după Richter și cu programul elaborat în lucrare există o concordanță corespunzătoare. Aceasta dovedește că modelul matematic alcătuit este bun.

Analiza rezultatelor obținute prin calculul caracteristicilor mecanice și a curenților conduce la următoarele concluzii:

1.-Concordanța între caracteristicile mecanice calculate și cele ridicate experimental este bună

2.-Armonicile de spațiu de ordinele $-11p$ și $13p$ ca și armonicile de deschidere de ordinele $-5p+Z_1$ și $7p-Z_1$ nu sunt importante, amplitudinile lor neafectând caracteristica mecanică rezultantă.

3.-In cazul mașinii 1, considerarea armonicilor de spațiu de ordinele -11p și 13p în locul armonicilor de deschidere de ordinele -5p+Z₁, 7p-Z₁, produce modificarea celor două cupluri parazite datorate armonicilor de curent statoric după cum se poate observa prin compararea figurilor A4.3 și A4.4, dar global caracteristica mecanică rezultantă este practic nemodificată.

4.-Armonicile de deschidere de ordinele p-Z₁ și p+Z₁ dau cupluri parazite de tip asincron de valori apropriate cuplurilor parazite produse de armonicile de repartiție de ordinele -5p și 7p, deci considerarea lor este necesară.

5.-Armonicile statorice datorate reacției rotorice dau cupluri parazite cu amplitudinile cele mai importante, contribuind decisiv la forma caracteristicii mecanice.

6.-Numărul de ordine de armonică considerate a fost suficient întrucât numai câteva ordine de armonică au un aport mai important la caracteristica mecanică.

7-Curenții armonici statorici datorați reacției rotorice au valori destul de importante ceea ce deranjează rețeaua.

8.-Valorile factorilor de saturare ai deschiderilor de creștătură k_{sdc} au valori sub 1,1 astfel că influența lor asupra dispersiei creștăturii este redusă.

9.-Factorul de saturare k_s depășește valoarea 2 la alunecări în jurul lui 1, ceea ce demonstrează oportunitatea considerării sale.

10.-Concordanța între curenții de scurtcircuit măsurăți și cei calculați în program la s=1 este corespunzătoare, obținându-se pentru mașina 1, 75,5 A calculat, față de 80,8 A măsurat la 225 V, iar pentru mașina 2, 33,64 A calculat, față de 36 A măsurat la 226,2 V.

5.2.2. Calculul pierderilor în fier

Pentru o verificare a metodicii de calcul a pierderilor în fier și implicit a cuplului electromagnetic de pierderi în fier, cu ajutorul primei părți a programului s-au calculat pierderile în fier în funcție de tensiunea la borne pentru mersul în gol ideal, s=0. Caracteristicile obținute sunt date în figurile A5.1 și A5.2 din ANEXA 5, pentru mașina 1 respectiv mașina 2, valorile calculate fiind prezentate în tabelul 5.2.

Tabelul 5.2

U [V]	220	210	200	190	180	170	160	150	140	130	120
Mașina 1 P_{Fe} [W]	381,5	341,3	299,0	254,0	223,6	188,3	167,0	146,3	126,0	113,3	86,3
Mașina 2 P_{Fe} [W]	236,0	205,9	180,6	157,3	136,4	117,9	100,9	85,9	72,9	61,8	52,7

Compararea acestor rezultate cu cele obținute experimental pentru mersul în gol tehnic arată că pierderile în fier calculate au valori mai mari, dar de același ordin de mărime, obținându-se în fond o caracteristică suficient de apropiată de cea experimentală. Diferențele care apar se datorează în primul rînd modului destul de grosier în care se introduc coeficienții ce țin cont de prelucrarea tolelor în formulele de calcul a pierderilor.

C O N C L U Z I I

Rezultatele teoretice obținute în teză și confruntarea elementelor calculate cu cele experimentale conduc la următoarele concluzii generale:

1. Compararea valorilor inductiei în întregier, determinate experimental în cuva electrolitică, cu cele calculate în diferite aproximări arată că pentru $b_0/t \leq 0,3$ trebuie utilizată aproximarea lui Richter (1.7), iar pentru $b_0/t > 0,3$ aproximarea lui Weber (1.4).

2. Coeficientul de formă al solenașiei, care ține cont de deschiderea reală a creșterii, permite evidențierea reducerii amplitudinii armonicilor din cimp cu numere de ordine apropiate de numărul de creșteri al armăturii care le produce odată cu creșterea deschiderii raportate a creșterii (b_0/t).

3. Factorii de deschidere evidențiază teoretic efectul de redresare al armonicilor din cimp de ordinul $p \pm 2$, care induc astfel t.e.m. amplificate în infășurările armăturii a cărei număr de creșteri satisface condiția de ordin. Deci creșterea poate amplifica armonici existente în cimp dar nu este cauza inducerii unor tensiuni armonice de ordinul $p \pm 2$ proprii.

4. Amplificarea maximă a t.e.m. induse de armonicile din cimp de ordinul $p \pm 2$, datorită deschiderilor proprii de creștere, are loc pentru valori de 0,5 - 0,6 ale raportului b_0/t .

5. Fundamentala și armonicile din cimp cu numere de ordine mult diferite de numărul de creșteri induc t.e.m. care scind cu creșterea raportului b_0/t , fiind practic neînfluențate de factorii de deschidere.

6. Pentru valori ale diferenței $|Z_1 - Z_2|$ apropiate de p se produce o amplificare a armonicii din cimp de ordinul Z_2 de către creșterea statorică, rezultând valori mari pentru curenți statorici armonici de ordinul $\pm Z_2$ și cuplurile produse de acestia. Dintre cele două mașini încercate, la mașina 2 unde $Z_1 - Z_2 = 2p$, și factorul de deschidere statoric este $k_{ds} = 1.526.1$, cuplul dat de armonica de curent statoric de ordinul Z_2 raportat la cuplul maxim este mult mai important decât la mașina 1 unde $Z_1 - Z_2 = 4p$ și $k_{ds} = 1 + 1.53\lambda_1$.

7. Alegerea deschiderii crestăturii să fie făcută în condițiile unei împersii să se verifice armonicilor de ordinul și mai mic.

(ω mic).

8. Forma crestăturii trebuie să fie să fie mai mică și o solicitare să fie convenabilă pe secțiunea dintelui, formele drepte, rulare și trapeziale făcând cel mai bine acestea desiderate.

9. Conectarea zonelor este importantă influențind conținutul armonicii și cimpului din întrefier. Conectarea se face fără legături de egalizare a zonelor dă cel mai ridicat conținut armonici.

10. Modelul matematic obținut constituie un instrument de analiză, valabilitatea sa fiind dovedită prin comparație cu calcule și rezultatele experimentale.

11. Metoda de studiu elaborată se poate extinde la mașinile rotative cu întrefier constant alimentate cu sinusoide sau nesinusoidale de tensiuni.

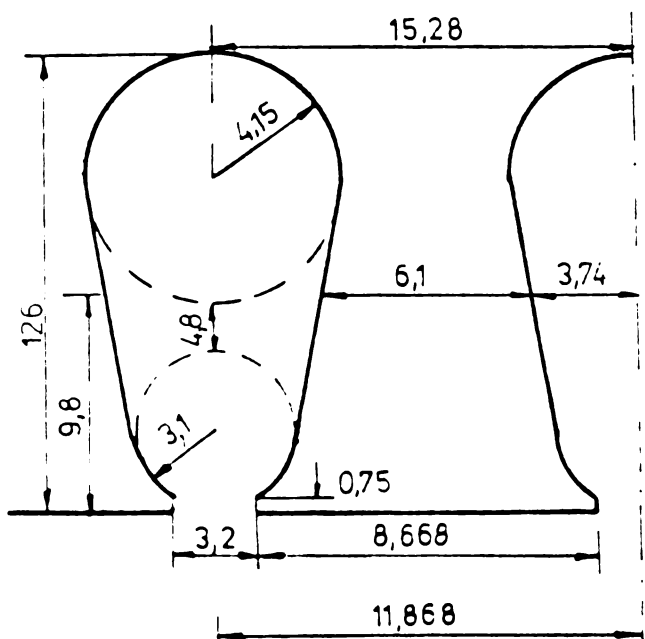
12. Programul alcătuit calculează caracteristicele mecanice, curenții, armonicile de curenti, cuplul fundamental și cuplurile parazite pentru mașinile cu rotor în colivie. Din acest motiv este indicată utilizarea sa în calculul de proiectare pentru verificarea caracteristicilor.

TABELUL Al.1.

DATE CONSTRUCTIVE PENTRU MOTORUL TIP 132S; 5,5; 1500				
Gabarit	Nr. de poli	Putere	Tens. de fază	Conexiune
132S	$2p = 4$	5,5 Kw	220 V	TRIUNGH.
CIRCUIT MAGNETIC				
$D_{ax} = 212 \text{ mm}$	$\delta = 0,35 \text{ mm}$	$l = 110 \text{ mm}$	$Z_1 = 36$	
$D_{int} = 136 \text{ mm}$	$D_{ax} = 50 \text{ mm}$	$k_{Fe} = 0,95$	$Z_2 = 28$	
INFASURAREA STATORICA				
Tipul înfășurării	1 strat	Conductoare în paralel	$a_c = 1$	
Căi de curent	$a_p = 2$	Nr. de cond. în crest.	$N_c = 50$	
Pasul înfășurării	$y = 9$	Rezist. fazei la 20°	0,662	
INFASURAREA ROTORICA				
Suprafața barei	$86,64 \text{ mm}^2$	Inăltimea inelului	23 mm	
Inclinarea crestăturii	11,9 mm	Grosimea inelului	10 mm	
DIMENSIUNILE CRESTATURII SI DINTELUI				

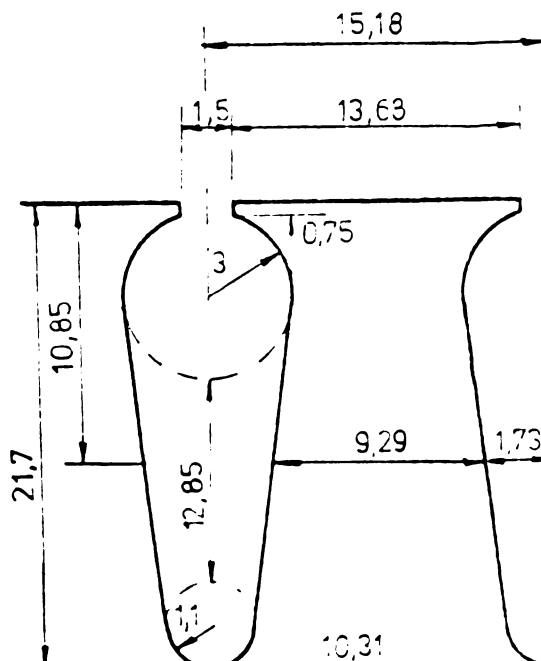
STATOR

ROTOR



VOLUM CAP DINTE $8 \times 10^{-7} \text{ m}^3$

VOLUM DINTE $1,45 \times 10^{-5} \text{ m}^3$



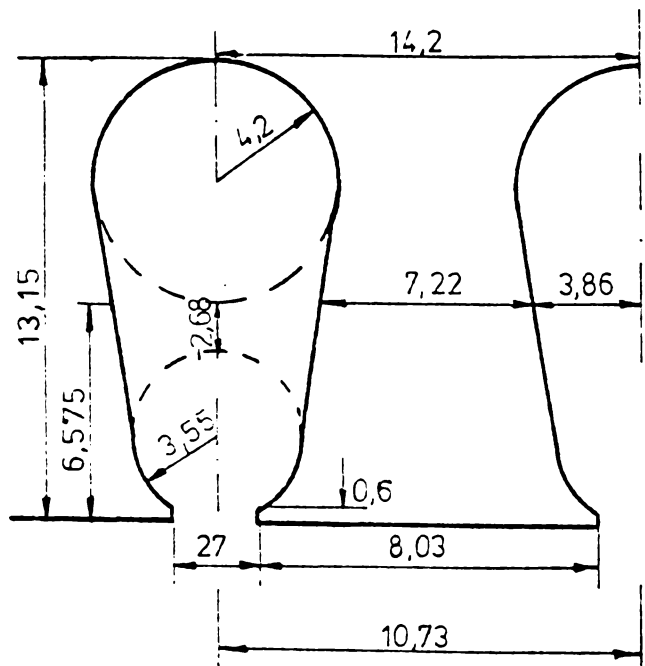
VOLUM CAP DINTE $1,13 \times 10^{-5} \text{ m}^3$

VOLUM DINTE $2,09 \times 10^{-5} \text{ m}^3$

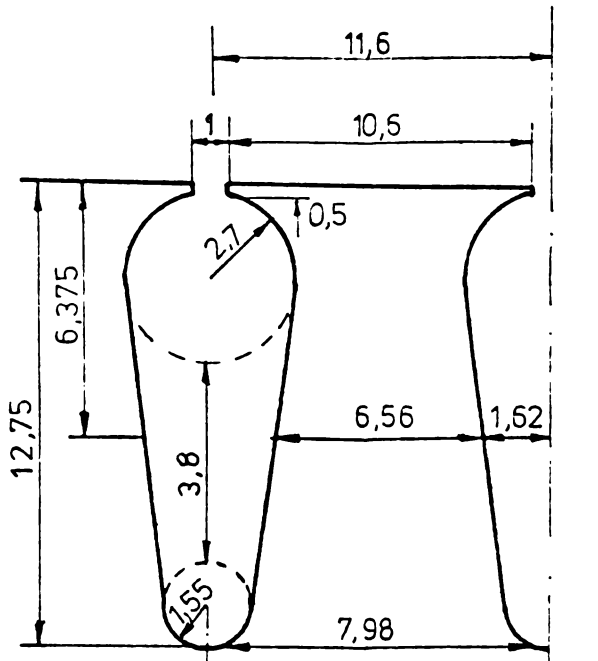
TABELUL A1.2.

DATE CONSTRUCTIVE PENTRU MOTORUL TIP 90L; 2,2; 3000				
Gabarit	Nr.de poli	Putere	Tens.de faz.	Conexiune
90L	2p = 2	2,2 Kw	.220 V	STEA
CIRCUIT MAGNETIC				
Dex = 143 mm Dint= 82 mm	$\delta = 0,3$ mm $Dax=32$ mm	$l = 85$ mm $k_{Fe} = 0,95$	$Z_1 = 24$ $Z_2 = 22$	
INFASURAREA STATORICA				
Tipul înfășurării Căi de curent Pasul înfășurării	1 strat $a_p = 1$ $y = 12$	Conductoare în paralel $a_c = 1$ Nr.de cond.în crest. $N_c = 47$ Rezist.fazei la 20° $2,23$		
INFASURAREA ROTORICA				
Suprafața barei Inclinarea crestăturii	$49,92$ mm ² 10,73 mm	Inăltimea inelului Grosimea inelului	18 mm 13 mm	
DIMENSIUNILE CRESTATURII SI DINTELUI				

STATOR



VOLUM CAP DINTE $4,1 \times 10^{-7}$ m³
VOLUM DINTE $6,32 \times 10^{-6}$ m³



VOLUM CAP DINTE $4,51 \times 10^{-7}$ m³
VOLUM DINTE $6,37 \times 10^{-6}$ m³

Tabelul A1.3

ÎNCERCĂRI PENTRU MOTORUL TIP 132S;5,5;1500

ÎNCERCAREA DE MERS ÎN GOL

U_f [V]	233	220	204	181,5	157	133	115	97
I_f [A]	6,2	5,2	4,4	3,6	2,9	2,3	2	1,7
P_o [W]	480	372	284	222	180	144	126	103
P_{Fe} [W]	338	254	183	136	103	74	58	38

ÎNCERCAREA DE SCURTCIRCUIT

U_f [V]	225	182	150,3	131	109	81	58,5	40
I_f [A]	80,8	60,6	47,3	39,3	30,8	21,2	14,6	9,8
P_{Sc} [W]	32.289	19.077	11.726	8244	5112	2425	1142	575,2

CARACTERISTICA MECANICĂ

M [Nm]	39	66	92	106	99	90,5	83	77	75	74	82	84	90	100	105	115	118
n [rot/min]	1450	1370	1280	1180	960	690	500	420	210	150	0	-55	-80	-100	-160	-300	-8

Tabelul A1.4

INCERCĂRI PENTRU MOTORUL TIP 90L;2,2; 3000;

ÎNCERCAREA DE MERS ÎN GOL

U_f [V]	249	234	219,5	200	159,7	139,5	116,5	92,6
I_f [A]	3,6	2,87	2,32	1,76	1,07	0,88	0,71	0,576
P_o [W]	467	332	247,3	168	102	91,2	79	58,9
P_{Fe} [W]	320,7	219	155	92	40,8	32,5	22,5	13,5

ÎNCERCAREA DE SCURTCIRCUIT

U_f [V]	226,2	190	171	155	132	108	90	57
I_f [A]	36	27,3	24,3	21,5	18,3	14,7	12,3	7,5
P_{Sc} [W]	20.199	13.029	10.356	8264	5930	3815	2588	950

CARACTERISTICA MECANICĂ

M [Nm]	11,3	18,5	21,4	22,9	21,9	21	19	17,3	15,8	14,5	15,4	15,3	14,8	17,2	17,5	18	21
n [rot/min]	2800	2500	2200	2000	1830	1570	1370	1050	780	560	380	220	170	110	30	0	-13

A N E X A 2

A2.1. CALCULUL PERMEANTELOR SPECIFICE LA CRESTATURI DE FORMA TRAPEZOIDALA

Calculele se efectuează în condițiile următoarelor ipoteze:

- Miezul feromagnetic are permeabilitatea infinită ,
- Mediul conductor este liniar,
- Elementul de creștere rezultă prin tăierea unui cilindru multistrat cu două plane axiale care formează între ele un unghi oarecare.
- Lungimea cilindrului conductor este infinită în comparație cu grosimea lui.

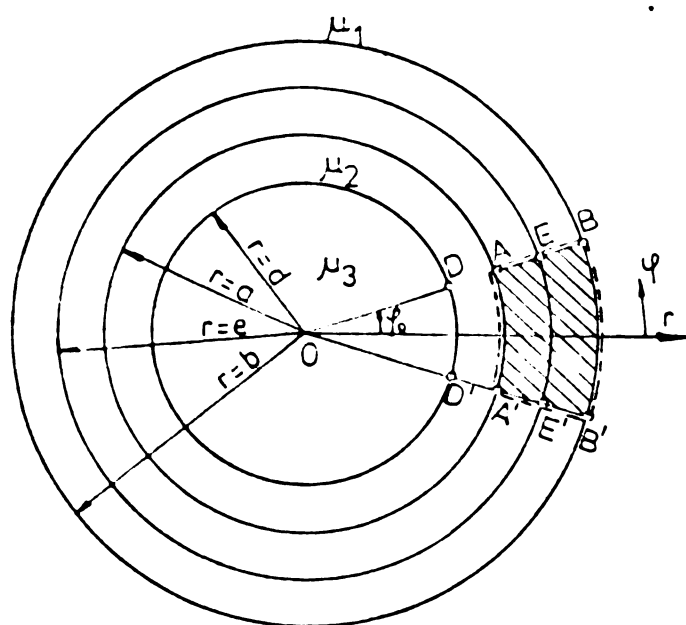


Fig.A2.1. Secțiune perpendiculară pe axă prin cilindrul considerat și noțiile corespunzătoare.

derat cu planele de tăiere OB' și DB, noțiile introduse și originile pentru coordonatele plane r și φ .

Cazul 1.(Element de creștere statoric conținând conductoare de la o latură de bobină). Pentru acest caz se consideră $\mu_1=\infty, \mu_2=\mu_3=\mu_0$ și densitatea uniformă de curent pe secțiunea ABB'A',

Sistemul de coordonate utilizat este cilindric cu coordonatele r, φ, z și versori corespunzători $\bar{a}_r, \bar{a}_\varphi$ și \bar{a}_z . Potențialul magnetic vector se notează cu \bar{A}, A_z fiind componenta sa după direcția z , intensitatea cimpului magnetic se notează cu $\bar{H}, H_r, H_\varphi, H_z$ fiind componente sale după cele trei direcții, iar densitatea de curent se notează cu J .

In figura A2.1. este prezentată secțiunea prin cilindrul multistrat consi-

$$J = \frac{N_i}{(b^2 - a^2)\varphi_0} \quad (A2.1)$$

N fiind numărul de conductoare din creșătură, iar i curentul care le parcurge.

Potențialul magnetic vector are numai componentă după direcția z și pentru porțiunea conductoare caracterizată de densitatea de curent J

$$\Delta A_z = -\mu J, \quad (A2.2)$$

sau, cum A_z este numai funcție de r,

$$\frac{1}{r} \frac{d}{dr} (r \frac{dA_z}{dr}) = -\mu J, \quad (A2.2)$$

ecuație diferențială a cărei soluție este:

$$A_z = -\mu J r^2 / 4 + C_1 \ln r + C_2 \quad (A2.3)$$

constantele de integrare C_1 și C_2 urmând să se determine din condițiile de contur.

Relația dintre \bar{A} și \bar{H} este:

$$\text{rot} \bar{A} = \mu \bar{H}$$

de unde, după efectuarea calculelor se obține:

$$-\frac{\partial A_z}{\partial r} \bar{A}_\varphi = \mu \bar{H}_\varphi \cdot \bar{A}_\varphi \quad (A2.4)$$

relația care permite exprimarea constantei C_1 , întrucât

$$\oint \bar{H} d\bar{l} = \int_{A'B'BA'}^{B'A'A} H_\varphi r d\varphi = N_i \quad (A2.5)$$

și din relațiile (A2.4) și (A2.5) rezultă expresia lui C_1 ,

$$C_1 = \mu \left[\frac{N_i}{2\varphi_0} + J \frac{r^2}{2} \right] \Big|_{r=a} = \mu_0 \left(\frac{N_i}{2\varphi_0} + J \frac{a^2}{2} \right), \quad (A2.6)$$

Constanta C_2 se determină din condiția

$$A_z \Big|_{r=b} = 0$$

și expresia potențialului magnetic vector devine:

$$A_z = \mu \frac{Ni}{4\varphi_0(b^2-a^2)} (b^2-r^2+2b^2 \ln \frac{r}{b}) \quad (A2.7)$$

Energia magnetică acumulată în crestătură este:

$$W_m = \frac{1}{2} \int_V \text{rot } \bar{A} \cdot \bar{H} \cdot dv = \frac{1}{2} \int_V \bar{A} \bar{J} \cdot dv + \frac{1}{2} \int_S (\bar{A} \cdot \bar{H}) \bar{n} \cdot ds \quad (A2.8)$$

\bar{n} fiind normala la suprafața S exterioară volumului V , ds și dv elementele de suprafață și volum, dar întrucât cimpul este plan paralel $\bar{A} \bar{J} = A_z J$ iar

$$(\bar{A} \times \bar{H}) \bar{n} = -A_z (\bar{a}_\varphi H_r - \bar{a}_r H_\varphi) \bar{a}_r = A_z H_\varphi = -A_z \frac{\partial A_z}{\partial r} \frac{1}{\mu} \Big|_{r=a}$$

și energia magnetică devine:

$$W_m = \frac{1}{2} \int_a^b \int_{-\frac{\varphi_0}{2}}^{\frac{\varphi_0}{2}} \int_{-\frac{l}{2}}^{\frac{l}{2}} \mu \left(\frac{Ni}{2\varphi_0(b^2-a^2)} \right)^2 \left[b^2-r^2+2b^2 \ln \frac{r}{b} \right] r d\varphi dr dz - \\ - \frac{1}{2} \int_{-\frac{\varphi_0}{2}}^{\frac{\varphi_0}{2}} \int_{-\frac{l}{2}}^{\frac{l}{2}} \mu \left(\frac{Ni}{4\varphi_0(b^2-a^2)} \right)^2 (b^2-r^2+2b^2 \ln \frac{r}{b}) (2b^2 \frac{1}{r} - 2r) r d\varphi dz \Big|_{r=a}$$

și după efectuarea calculelor se obține expresia permeanței specifice

$$\lambda_d = \frac{2W_m}{\mu_0 l(Ni)^2} = \frac{1}{2\varphi_0(b^2-a^2)^2} \left[\frac{1}{4}(a^4-b^4) - \frac{1}{2}(b^2-a^2)^2 - b^4 \ln \frac{a}{b} \right]. \quad (A2.9)$$

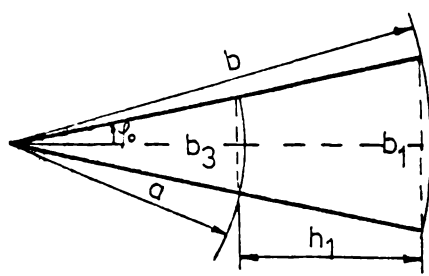


Fig.A2.2. Notații pentru Cazul 1.

Introducând notația $c = a/b$ și ținând cont de notațiile din figura A2.2, adică $c = \frac{b_3}{b_1}$ și $\varphi_0 = \arctg \frac{b_1 - b_3}{2h_1}$ relația (A2.9) devine:

$$\lambda_d = \frac{1}{2 \arctg \left(\frac{b_1 - b_3}{2h_1} \right) (1 - c^2)}.$$

$$\cdot \left[\ln \frac{1}{c} - \frac{1}{2} (1 - c^2)^2 - \frac{1}{4} (1 - c^4) \right]. \quad (A2.10)$$

Cazul 2. (Element de crestătură rotoric conținând conductoare de la o latură de bobină).

Pentru acest caz $\mu_1 = \mu_0$ și $\mu_2 = \mu_3 = \infty$, densitatea de curent fiind definită tot cu relația (A2.1). Ecuatia (A2.2) rămâne valabil și constantele de integrare pentru soluție se determină în același fel dar C_1 pentru $r=b$ și C_2 pentru $r=a$. După efectuarea calculelor se obține expresia potențialului magnetic vector.

$$A_z = \frac{\mu_0 N_i}{4 \rho_0 (b^2 - a^2)} (a^2 - r^2 + 2a^2 \ln \frac{r}{a}) \quad (A2.11)$$

și cu acleasi notări ca în figura A2.2, permeanța specifică este

$$\lambda_d = \frac{1}{2 \arctg \left(\frac{b_1 - b_2}{2h_1} \right) (1 - c^2)^2} \left[c^4 \ln \frac{1}{c} + \frac{1}{2} (1 - c^2)^2 - \frac{1}{4} (1 - c^4) \right] , \quad (A2.12)$$

unde $c = \frac{a}{b} = \frac{b_3}{b_1}$ ca și în cazul anterior.

Cazul 3. (Loc de pană de formă trapezoidală).

Pentru acest caz se consideră $\mu_2 = \mu_0$, $\mu_3 = \mu_1 = \infty$, considerîndu-se crestătura închisă, iar în suprafața DAA'D'D densitatea de curent este nulă. În această condiție ecuația (A2.2) devine:

$$\frac{1}{r} \frac{d}{dr} (r \frac{dA_z}{dr}) = 0$$

cu soluția:

$$A_z = C_1 \ln r + C_2 .$$

Din condiția $A_z = 0$ se determină C_2 iar din condiția

$$-\frac{dA_z}{dr} \Big|_{r=a} = \mu H_\varphi \Big|_{r=a} = \frac{N_i}{2 \rho_0}$$

se determină C_1 obținîndu-se pentru potențialul magnetic vector expresia:

$$A_z = -\frac{N_i}{2 \rho_0} \ln \frac{r}{a} , \quad (A2.13)$$

unde N_i reprezintă solenăția cuprinsă în suprafața ABB'A'A.

Energia magnetică, în condiția în care $J=0$, este:

$$W_m = \frac{1}{2} \int_S (\bar{A} \times \bar{H}) \bar{n} ds = \frac{1}{2} \int_{-\frac{b_0}{2}}^{\frac{b_0}{2}} \int_{-\frac{1}{2}}^{\frac{1}{2}} \mu_s \left(\frac{N_i}{2\mu_0} \right)^2 \ln \frac{r}{d} \cdot \frac{1}{r} r d\varphi dz \Big|_{r=a}$$

întrucât $(\bar{A} \times \bar{H}) \bar{n} = -A_z \frac{\partial A_z}{\partial r} \frac{1}{\mu_0} \Big|_{r=a}$, și permeanța specifică rezultă:

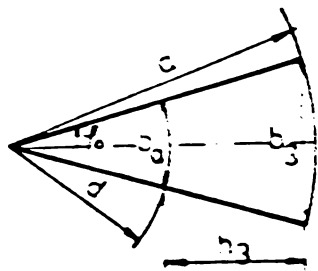


Fig.A2.3. Notații pentru cazul 3.

$$\lambda_d = \frac{1}{2\mu_0} \ln \frac{a}{d} \quad (A2.14)$$

Tinând cont de notațiile din figura A2.3 se obține în final

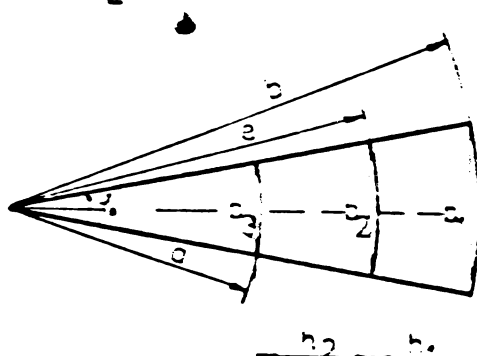
$$\lambda = \frac{1}{2 \operatorname{arctg} \left(\frac{b_3 - b_0}{2h_3} \right)} \cdot \ln \frac{b_3}{b_0} \quad (A2.15)$$

Cazul 4. (Crestătură statorică conținând conductoare de la două laturi de bobină).

Se consideră $\mu_3 = \mu_2 = \mu_0$, $\mu_1 = \infty$, suprafețele AEE'A'A și EE'B'BZ egale și conținând cîte N conductoare parcurse de curentul i, definindu-se astfel căuă densități de curent J_a și J_b date de relațiile:

$$J_a = \frac{Ni}{\mu_0(e^2 - a^2)}, \quad J_b = \frac{Ni}{\mu_0(b^2 - e^2)} \quad (A2.16)$$

Pentru ambele porțiuni de crestătură rămîn valabile ecuațiile stabilite în Cazul 1, adică relațiile (A2.2) și (A2.4), soluția pentru A_z fiind dată de relația (A2.3). Pentru partea superioară, suprafața AEE'A'A, constanta C_1 se determină pentru $r=a$ iar constanta C_2 pentru $r=b$ obținindu-se:



$$A_z = \frac{\mu_0 Ni}{4\mu_0(e^2 - a^2)^2} \cdot (b^2 - r^2 + 2e^2 \ln \frac{r}{b}) \quad (A2.17)$$

Fig.A2.4. Notații pentru cazul 4.

Dacă se introduc notațiile:

$$c = \frac{a}{b}, \quad c_b = \frac{e}{b}, \quad c_a = \frac{a}{e}, \quad c = c_a c_b,$$

se face legătura cu notațiile pentru crestătură date în figura A2.4 și se ține cont de egalitatea celor două suprafete, $S_{AEE'A'A} = S_{EBB'E'E}$, adică

$$c = \frac{b_3}{b_1}, \quad c_b = \frac{b_2}{b_1}, \quad c_a = \frac{b_3}{b_2}, \quad c_a = \sqrt{\frac{2c^2}{1+c^2}},$$

$$c_b = \sqrt{\frac{1+c^2}{2}}, \quad \varphi = \arctg \frac{b_1 - b_3}{2(h_1 + h_2)},$$

se obține în final, procedind ca și în primul caz tratat

$$\lambda_a = -\frac{1}{2\varphi_0(1-c^2)} \left[(1+c^2)^2 \ln c_b - (1+c^2)^2 \ln c - \frac{1}{2}(1-c^2)^2 - \frac{1}{4}(1-c^2)(1+3c^2) \right].$$

Pentru stratul inferior, suprafața EBB'E'E din figura A2.1, constantele C_1 și C_2 se determină tot pentru $r=a$, respectiv $r=b$ și expresia potențialului magnetic vector devine:

$$A_z = \frac{\mu_0 Ni}{4\varphi_0(b-e)} \left[b^2 - r^2 + 2(b^2 - d^2 + a^2) \ln \frac{r}{b} \right] \quad (A2.19)$$

și se obține permeanță specifică:

$$\lambda_b = \frac{1}{2\varphi_0(1-c^2)} \left[(1-c^4) \ln \frac{1}{c} + (1+c^2)^2 \ln \frac{1}{c_b} - \frac{1}{2}(1-c^2)^2 - \frac{1}{4}(1-c^2)(c^2 + 3) \right] + \frac{1}{2\varphi_0} \ln \frac{1}{c_a} \quad (A2.20)$$

ultimul termen corespunzând permeanței calculate pe suprafața AEE'A'A în condițiile considerării absenței conductoarelor din această parte a crestăturii.

Pentru calculul permeanței specifice corespunzătoare cupajului dintre cele două laturi de bobină se consideră solenăția Ni distribuită pe întreaga suprafață a crestăturii, suprafața ABB'A'A din figura A2.1, și se obține pentru potențialul magnetic vector aceeași expresie ca și în cazul 1, relația (A2.7). Cu acest poten-

țial magnetic vector echivalent se calculează energia magnetică acumulată în întreaga crestătură considerindu-se că nu există curent în conductoare și se obține în final permeanța specifică:

$$\lambda_m = \frac{1}{4\varphi_0(l-c^2)^2} \left[2(l-c^2) \ln \frac{1}{c} - (l-c^2)^2 \right] - \frac{1}{2} \frac{1}{2\varphi_0} \cdot \ln \frac{1}{c_a} \quad (A2.21)$$

unde s-a scăzut jumătate din permeanța calculată pentru suprafața AEE'A'A în absența conductoarelor în această parte a crestăturii.

Permeanța totală a crestăturii este:

$$\lambda = \lambda_a + \lambda_b + 2\lambda_m = \frac{4}{2\varphi_0(l-c^2)^2} \left[\ln \frac{1}{c} - \frac{1}{2}(l-c^2)^2 - \frac{1}{4}(l-c^4) \right]. \quad (A2.22)$$

A2.2. CALCULUL PERMEANTEI SPECIFICE LA CRESTATURA OVALĂ

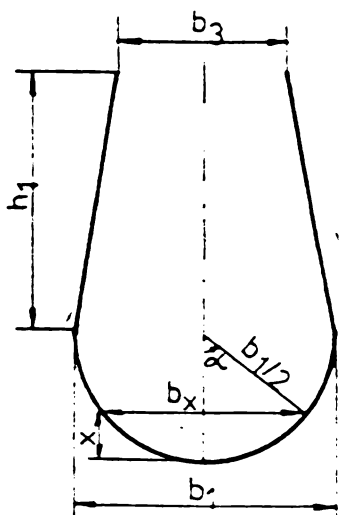


Fig.A2.5. Notații pentru crestătura ovală

Ipotezele de calcul sunt:

- Miezul feromagnetic are permeabilitatea infinită,
- Fluxul în crestătură este perpendicular pe planul median al crestăturii,
- Conductoarele din crestătură aparțin unei laturi de bobine și sunt distribuite uniform, numărul lor fiind proporțional cu suprafața portiunii considerate.

In figura A2.5 sunt date notatiile pentru mărimile caracteristice ale părții din crestătură ocupate cu conductoare. Crestătura este împărțită, pentru calcul, în două portiuni, portiunea semicirculară și cea trapezoidală. Pentru portiunea semicirculară se obține:

$$\lambda_{sc} = \frac{1}{N^2} \int_0^{b_1/2} N_x^2 \frac{dx}{b_x}, \quad (A2.23)$$

sau introducind $b_x = b_1 \sin \alpha$, $dx = \frac{b_1}{2} \cos \alpha d\alpha$ și $N_x = NA_x/A_{cr}$ unde

A_{cr} este aria totală a crestăturii, $A_{cr} = [\pi b_1^2 + 4(b_1 + b_3)h_1] \frac{1}{8}$ și A_x este aria unui element din partea ovală,

$$A_x = \frac{b_1^2}{4} \left(\alpha - \frac{\sin 2\alpha}{2} \right),$$

relația (A2.23) devine

$$\lambda_{sc} = \int_0^{\pi/2} \left[\frac{2b_1^2(\alpha - \frac{\sin 2\alpha}{2})}{\pi b_1^2 + 4(b_1 + b_3)h_1} \right]^2 \cdot \frac{d\alpha}{2} .$$

Pentru porțiunea trapezoidală permeanța specifică este:

$$\lambda_{tr} = \frac{1}{N^2} \int (N_{sc} + N_x)^2 \frac{dx}{b_x} ,$$

și introducind $b_x = b_1 - \frac{x}{h_1}(b_1 - b_3)$, $N_x = N \frac{A_x}{A_{cr}}$, unde suprafața

elementară $A_x = \frac{b_1 + b_x}{2} x$, iar numărul de conductoare din porțiunea semicirculară a creștăturii $N_{sc} = N A_{sc} / A_{cr}$, $A_{sc} = \pi b_1^2 / 8$, se obține.

$$\lambda_{tr} = \int_0^{h_1} \left[\frac{\pi b_1^2 + 4(b_1 + b_x)x}{\pi b_1^2 + 4(b_1 + b_3)h_1} \right] \cdot \frac{dx}{b_x} . \quad (A2.25)$$

Permeanța specifică a creștăturii considerate este suma celor două permeanțe specifice parțiale calculate; expresia ei fiind în final, după efectuarea calculelor și introducerea notărilor $c = b_3/b_1$, $h = h_1/b_1$,

$$\lambda = \frac{1}{[\pi + 4h(1+c)]^2} \left\{ \frac{\pi^3}{12} - \frac{3\pi}{8} + \frac{\pi h}{1-c} \left(\pi \ln \frac{1}{c} + \frac{8h}{1-c} \ln \frac{1}{c} - 8h \right) + \right. \quad (A2.26)$$

$$\left. + 16h^3 \left[1 + \frac{1}{(1-c)^3} \ln \frac{1}{c} - \frac{1}{(1-c)^2} - \frac{1}{2(1-c)} - \frac{1-c}{4} \right] \right\} .$$

A2.3. DEFINIREA FUNCTIILOR BESSEL $J_{n(x)}$, $I_{n(x)}$, $K_{n(x)}$, [26]

Funcția Bessel ordinată de speță întâi $J_{n(x)}$ este soluția ecuației diferențiale

$$x^2 \frac{d^2y}{dt^2} + x \frac{dy}{dt} + (x^2 - v^2) y = 0$$

având expresia:

$$J_{n(x)} = \sum_{k=0}^{\infty} \frac{(-1)^k}{k!(k+n)!} \left(\frac{x}{2} \right)^{2k+n}$$

v fiind un întreg.

Funcțiile Bessel modificate de speță întâi $I_{n(x)}$ și de speță a doua $K_{n(x)}$ sunt soluțiile ecuației diferențiale de tip Bessel modificate pentru cazul cînd n este un întreg ,

$$\frac{d^2y}{dx^2} + \frac{dy}{xdx} + \left(-1 - \frac{n^2}{x^2}\right) y = 0$$

și au expresiile:

$$I_{n(x)} = \sum_{k=0}^{\infty} \frac{1}{k!(n+k)!} \left(\frac{x}{2}\right)^{2k+n},$$

$$K_{n(x)} = \frac{\pi}{2} \frac{I_{-n(x)} - I_{n(x)}}{\sin n\pi}.$$

Derivatele funcțiilor Bessel modificate se obțin cu relațiile de recurență:

$$I'_{n(x)} = I_{n-1(x)} - \frac{n}{x} I_{n(x)},$$

$$K'_{n(x)} = -K_{n-1(x)} - \frac{n}{x} K_{n(x)}.$$

Tabelul A2.1.

Corespondența dintre notatiile utilizate și numele variabilelor din programul pentru calculul dispersiei frontale a înfășurării

Notația	P	w_1	Z_1	ζ_1	y_1	m_1	Z_2	T	L_{f1}
Variabila	P	C	ZS	Z1	Z2	MS	MR	D	D1S
Notația	L_{f2}	D_e	D_{f1}	D_{f2}	h_{lf}	b_{lf}	h_i	b_i	D
Variabila	D1R	H	E	G	AS	BS	AR	BR	DI


```

100=RS/0
STAT(6)=Z/(P1*X1*A1).-17.-EXP(P1*X1)/Z*(D+IN(P1*A1)/C1*
100)**2
X1=RE/0
K1=(D+C1*(P1*X1))**21.-C1.-EXP(P1*X1)/Z*(D+IN(P1*A1)/C1)*P1*
21**2
FORMAT(70X, *K1, STAT(6), ROT(6))
55 FORMAT(25Y, *K1, 11X, F10.5, 10X, F10.2)**
CALCULUL INDUCTIVITATILOR
K1C2=STAT(1)*STAT(2)
K2=SIN(C1/(2*MS1))/(2S/(2*P*MS1)*SIN(C1/(2*MS1)))
LS1=EXP(F175.4*(C1*K1C2*K2/(2*P1)**2*STAT(3)*STAT(4)*STAT(5)*S1**2*G
C1*X1**2
25 FORMAT(70X, *INDUC1, STAT(8)*10A, *LS1=*, C1(2,2))
STOP
END
2 C SUBPROGRAM PENTRU CALCULUL FUNCTIILOR BESSEL
3 C
4 SUBROUTINE BESSEL
5 COMMON X,Y,BJ,BI,BK
6 REAL X
7 DATA B/0.57741/
8 MS1=0.1
9 Z=X/2.0**2
10 Y=(X/2.0)**2
11 Z=1
12 K=N
13 IF(N.EQ.0) GO TO 2
14 A=A/T
15 IF(I.EQ.N) GO TO 2
16 T=T+1
17 GO TO 3
18 A1=A
19 S=A1
20 S1=A1
21 A=A+Y/(N+1)
22 A1=A1+Y/(N+1)
23 Y=1
24 S=S+A
25 S1=S1+A
26 Y=Y+1
27 A=-A*Y/(K*(N+K))
28 A1=A1*Y/(K*(N+K))
29 IF(K.EQ.0) GO TO 4
30 GO TO 5
31 B=JES
32 A1=S1
33 NF=1
34 DO 35
35 S1=0.
36 IF(N.LE.1) GO TO 7
37 DO 6 I=1,N
38 NF=NF+1
39 DO 5 J=1,NF
40 S1=S1+
41 A=A*(2./X)**2
42 K=1
43 A=A/P1/N
44 S1=S1+A
45 IF(K.EQ.(N-1)) GO TO 7
46 A=-A*X/(K*(N-K-1))
47 S1=S1+A
48 K=K+1
49 GO TO 8
50 IF(N.EQ.1) GO TO 51
51 GO TO 50
52 S1=1./X
53 S1=S1./NF
54 P=R1*(C+D)
55 S2=P
56 DO 57 K=1,I
57 S1=S1/(K*(I+K))**2
58 DO 59 K=1,K
59 S=C+1./KX
60 S=S+(1./KX)
61 S=S2+S
62 S2=S2+S
63 S1=S1+2./P
64 S2=S2+2./P
65 K=(-1)**(N+1)*S1*(ALOG(X/2)+L1+0.1+0.2
66 RETURN
67 END

```

A N E X A 3

A3.1. PROGRAM PENTRU CALCULUL CARACTERISTICII MECANICE

FISIER 0

```
0: 220 → A ←
1: A+1 → A; ENT R(A); JMP A=238 ←
2: SCL 0,(sf),0,(MM); AXE 0,0,(us),(uM) ←
3: (So) → R247;(ksi) → R243;(2R2i) → R246;(2x2i) → R248; TBL2 ←
4: (ksdi) → R244 → R245;(Rp0) → R250;(xd1c) → R249; 0 → R0 ←
5: "A"; R0+1 → R0; GTO 6; LDF R0; GTO "B" ←
6: END ←
```

FISIER 1

```
0: GTO "B" ←
1: "I"; X/2R228 → X; √(1+XX) → A; X+A → Z ←
2: (1-Z)1/2/2(1+ZZ) → B; 4(XATN(X)-LN(A))/π → X ←
3: 2π R233/Y → Y; Y/(Y-XR228) → A ←
4: 2AB·SIN(π XR228/BY) → B; RET ←
5: "R"; (hb) → R40; (ρAL) → R41; 1-A(1-R247)/R223 → R42 ←
6: 50R42 → R48; R40 √ABS(π R48R237/R41) → X; EXP(2X) → Y;
(Y-1/Y)/2 → R43 ←
7: (Y+1/Y)/2 → R44; X(R43+SIN(2X)) → R45; R45/(R44-COS(2X)) → R45;
R43-SIN(2X) → R46 ←
8: 3R46/2X(R44-COS(2X)) → R46; 4SIN(π A/R222)1/2 → R47; R45R47R231 → B ←
9: R46R47R232+R248 → C; B+R246 → B; RET ←
10: "B"; R244R225 → X; R221 → Y; GSB "I" ←
11: AR228 → R240; B → R241; R226R245 → X; R222 → Y; GSB "I" ←
12: AR243R240 → R240; B → R242; SIN(π R223/R222) → R29 ←
13: IF R247=0; GTO+3 ←
14: R223 → A; GSB "R" ←
15: C → R18; B → R6; GTO+2 ←
16: R246+4R231R291/2 → R6; R248+4R232R291/2 → R18 ←
17: GTO "A" ←
18: END ←
```

FISIER 2

0: "B"; R237R233R234/π R240→C; R225/R233→R27; R226/R233→R28 ←
1: 2SIN(R223R27/2)/R223R27→R27; 2SIN(R223R28/2)/R223R28→R28 ←
2: SIN(π R223R236/R221)/R236SIN(π R223/R221)→R30 ←
3: 3C(R235R30/R223)↑2*R27/R223→R31 ←
4: 2CR22(R29/R223)↑2*R28→R32 ←
5: 6CR235R30R27R29/R223↑2→R33 ←
6: CR222R235R28R29R30/R223↑3→R34 ←
7: R238→R4; R229→R1; 200π→B; BR31+R230+R249→R13; BR34→R14 ←
8: B/2→R2; R247R2R33→R17; R247(R18+R2R32)→R18 ←
9: R14→R22; R13→R23; BR31→R21; R250→R11 ←
10: 0→R2→R3→R5→R7→R8→R9→R10→R12 ←
11: 0→R15→R16→R19→R20→R24; 4→A ←
12: GTO "A" ←
13: END ←

FISIER 3

REZOLVAREA SISTEMULUI DE ECUATII CU COEFICIENTI COMPLECSI,
 $n=3$. (SCHEMA LOGICA DATA IN FIG.A3.1).

FISIER 4

0: "B"; √(R4↑2+R16↑2)→R1; √(R8↑2+R20↑2)→R2;
(R12↑2+R24↑2)→R3 ←
1: R8/R2→R76; √2R2R222R29R28/π R223→R5 ←
2: 3 √ 2(R1+R3)R235R27R30/π R223→R4 ←
3: R237(R4+R5R76)/π R240→R6; R223R4/R221→R7; R223R5/R222→R8 ←
4: (b_{d1v})→R10; (b_{d1m})→R11; (b_{d1f})→R12; (b_{d2v})→R13; (b_{d2m})→R14;
(b_{d2f})→R15 ←
5: (D_e)→R16; (d_{ax})→R17; (h_{cr1})→R18; (h_{cr2})→R19; (b_{cr1max})→R20;
(b_{cr2max})→R21 ←
6: ($1/k_{Fe}$)→A; (ρ_{mol})→B; (Vol.d.1)→R70; (Vol.d.2)→R71 ←
7: (R16-2R233)/2-R18→R22; (2R233-R17)/2-R19→R23 ←
8: π(R16-R22)/2R223+R22→R24 ←
9: π(R17+R23)/2R223+R23→R25 ←
10: π(R16/2+R233+R18)R22R234→R26 ←
11: π(R233-R19)R23R234→R27 ←
12: 2π R233/R221→R28; 2π R233/R222→R29 ←

13: GTO "A" ←
14: END ←

FISIER 5

0: GTO "B" ←
1: "H" ←
2: IF $X \leq 1,2; .2964X^3 + .99374XX + .906294X - .00586 \rightarrow Y$; RET ←
3: IF $X \leq 1.58; 349.1X^3 - 1340.44XX + 1720X - 735.03 \rightarrow Y$; RET ←
4: IF $X \leq 1.79; 378.93X - 585.62 \rightarrow Y$; RET ←
5: IF $X \leq 2.05; 796X - 1331.8 \rightarrow Y$; RET ←
6: $6000X - 12000 \rightarrow Y$; RET ←
7: "BB" ←
8: IF $X \leq 2; 4.85E-2 + .7346X - 8.3E-2 * XX \rightarrow Y$; RET ←
9: IF $X \leq 10.45; 1.015 + .124X - 7.06E-3 * XX \rightarrow Y$; RET ←
10: IF $X \leq 250; 1.527 + 3.37E-3 * X - 5.93E-6 * XX \rightarrow Y$; RET ←
11: IF $X \leq 700; 1.736 + 1.052E-3 * X \rightarrow Y$; RET ←
12: $2.5 \rightarrow Y$; RET ←
13: "B" ←
14: $10 \rightarrow Z$ ←
15: $AR28R6/R(Z) \rightarrow R(Z+20); R(Z+20) \rightarrow X$; GSB "H" ←
16: $Y \rightarrow R(Z+30); Z+1 \rightarrow Z$; IF $X \leq 12$; GTO-1 ←
17: $13 \rightarrow Z$ ←
18: $AR29R6/R(Z) \rightarrow R(Z+20); R(Z+20) \rightarrow X$; GSB "H" ←
19: $Y \rightarrow R(Z+30); Z+1 \rightarrow Z$; IF $X \leq 15$; GTO-1 ←
20: $(R40+4R41+R42)/6 \rightarrow R36 \rightarrow X$; GSB "BB" ←
21: $Y \rightarrow R37; (R43+4R44+R45)/6 \rightarrow R38 \rightarrow X$; GSB "BB" ←
22: $Y \rightarrow R39; (-,1R243+1.1)AR221R28R6/4R22R223 \rightarrow R46 \rightarrow X$; GSB "H" ←
23: $Y \rightarrow R47; (-11R243+1.1)AR222R29R6/4R23R223 \rightarrow R48 \rightarrow X$; GSB "H" ←
24: $Y \rightarrow R49; 2(R18R36+R19R38)+R47R24+R49R25 \rightarrow R50$ ←
25: $1+R50R237/2R6R240 \rightarrow R50; R237R7/R225 \rightarrow R51$ ←
26: IF $R51 \leq R37$; $R37 \rightarrow R51$ ←
27: $R51 \rightarrow X$; GSB "H" ←
28: $Y \rightarrow R52; 1+2R52(R18+R20)/R7 \rightarrow R53; R237R8/R226 \rightarrow R54$ ←
29: IF $R54 \leq R39$; $R39 \rightarrow R54$ ←
30: $R54 \rightarrow X$; GSB "H" ←
31: $Y \rightarrow R55; 1+2R55(R19+R21)/R8 \rightarrow R56$ ←
32: GTO "A" ←
33: END ←

FISIER 6

0: GTO "B" ←
1: "P"; IF X > 1; 1.51113636XX - 2.3982575X + 1,3575 → Y; RET ←
2: .3406X → Y; RET ←
3: "B"; R37 → X; GSB "P" ←
4: 1,8YBR70R221 → R57; R39 → X; GSB "P" ←
5: 1.8YBR71R222 → R58; R46 → X; GSB "P" ←
6: 1.5YBR26 → R59; R48 → X; GSB "P" ←
7: 1.5YBR27 → R60; R57+R58+R59+R60 → R61; R58+R60 → R63 → R239 ←
8: IF R53 > (t₁/2b₀₁); (t₁/2b₀₁) → R244; GTO+2 ←
9: R53 → R244 ←
10: IF R56 > (t₂/2b₀₂); (t₂/2b₀₂) → R245; GTO+2 ←
11: R56 → R245 ←
12: R61/3R223R3 ↓ 2 → R65 ←
13: IF ABS(R243-R50) < (ε_{sat}); R50 → R243; GTO "1" ←
14: R50 ← R243; R65 ← R250; 0 → R0; GTO "2" ←
15: "1"; IF ABS(R250-R65) < (ε_p); R65 → R250; GTO+2 ←
16: R50 ← R243; R65 ← R250; 0 → R0; GTO "2" ←
17: PRT R61, R63, R250, SPC; PRT R1, R2, R3, R6, R243, R76; SPC ←
18: "2"; GTO "A" ←
19: END ←

FISIER 7

0: GTO "B" ←
1: "M21"; 2R234R233R235R237R222/π R223R240 → A → B → C;
X → R10; GSB "A1" ←
2: Y → R2; R8 → R3; AR2 → A; X-R222 → X; GSB "A1" ←
3: Y → R4; R8 → R5; BR4R5 → B; R10+R222 → X; GSB "A1" ←
4: Y → R6; R8 → R7; CR6R7 → C; (R3+R242(R5+R7)/2)A100π → A ←
5: 100π(1+R242/2)COS(π R222/R223) → R8 ←
6: R222(1-R247)/R223 → R9; R8(1-R9)B → B; R8(1+R9)C → C; RET ←
7: "A1"; 2R233SIN(XR226/2R233)/XR226 → Y; YSIN(Xπ/R222)/X → Y ←
8: IF(X-R221)(X+R221)=0; 1 → Z; GTO+2 ←
9: SIN((X-R221)R236 π/R221)SIN((X-R221)π/2R223)/(X-R221)
SIN((X-R221)π/R221) → Z ←
10: Z+SIN((X+R221)R236 π/R221)SIN((X+R221)π/2R223)/(X+R221)
SIN((X+R221)π/R221) → Z ←

11: SIN(X π R236/R221)SIN(X π /2R223)/R236XSIN(X π /R221)+
ZR241/2R236 → R8; RET ←
12: "B"; O → Z ←
13: Z+1 → Z; O → RZ; JMP Z=220 ←
14: R223 → X; GSB "M21" ←
15: A → R112; B → R200; C → R211; -5R223 → X; GSB "M21" ←
16: A → R113; B → R201; C → R212; 7R223 → X; GSB "M21" ←
17: A → R114; B → R202; C → R213; R223-R221 → X; GSB "M21" ←
18: A → R115; B → R203; C → R214; R223+R221 → X; GSB "M21" ←
19: A → R116; B → R204; C → R215; R221-5R223 → X; GSB "M21" ←
20: A → R117; B → R205; C → R216; 7R223-R221 → X; GSB "M21" ←
21: A → R118; B → R206; C → R217; GTO "A" ←
22: END ←

FISIER 8

0: GTO "B" ←
1: "M12"; 6R237R233R234R235/ π R240 → R9; X → R10; GSB "A2" ←
2: C → R2; R2Y → A; X-R221 → X; GSB "A2" ←
3: R2Y → B; R10+R221 → X; GSB "A2" ←
4: R2Y → C; 50 π → Y; 2R9AY → A; R9R241BY → B; R9R241CY → C; RET ←
5: "A2"; 2R233SIN(XR225/2R233)/XR225 → Z ←
6: ZSIN(π XR236/R221)SIN(π X/2R223)/XR236SIN(π X/R221) → C ←
7: IF (X-R222)(X+R222)=0; O → Y; GTO+2 ←
8: SIN(π (X-R222)/R227)/ π (X-R222)↑2+
SIN(π (X+R222)/R227)/ π (X+R222)↑2 → Y ←
9: R227(SIN(π X/R227)/ π XX-R242Y/2)SIN(X π /R222) → Y; RET ←
10: "B"; R223 → X; (X-R221)/X → R7; (X+R221)/X → R8; GSB "M12" ←
11: R247A → R122; 1-R247 → A; 1-AR7 → R7; 1-AR8 → R8; BR7 → R155;
CR8 → R166 ←
12: R223-R222 → X; GSB "M12" ←
13: AR247 → R130; BR7 → R163; CR8 → R174 ←
14: R223+R222 → X; GSB "M12" ←
15: AR247 → R131; BR7 → R164; CR8 → R175; -5R223 → X ←
16: 6-5R247 → R8; (R221+X)/R223 → R7; GSB "M12" ←
17: 1-R7(1-R247) → R7; AR8 → R133; CR7 → R177 ←
18: 7R223 → X; (R221-X)/R223 → R7; GSB "M12" ←
19: 1+R7(1-R247) → R7; 7R247-6 → R8; AR8 → R144; BR7 → R188 ←
20: O → R130 → R163 → R174; GTO "A" ←
21: END ←

FISIER 9

0: GTO "B" ←
1: "A3";2R238SIN(XR225/2R233)/XR225 → A;SIN(XΠ/2R223) → B ←
2: B SIN(XΠ R236/R221)/XR236SIN(XΠ/R221) → B;RET ←
3: "B";6R237R233R234/Π R223R240 → R2;R223 → X;GSB "A3" ←
4: (R235B)↑2*A → R3;B → R6;-5R223 → X;GSB "A3" ←
5: (R235B)↑2*A+R3 → R3;7R223 → X;GSB "A3" ←
6: (R235B)↑2*A+R3 → R3;100Π R2R3+R230+R249 → R111;R223-R222 → X ←
7: 1-R222(1-R247)/R223 → R5;GSB "A3" ←
8: R5(100Π R2A(R235B) ↑ 2+R230(B/R6) ↑ 2+R249) → R207 ←
9: 1+R222(1-R247)/R223 → R7;R223+R222 → X;GSB "A3" ←
10: R7(100Π R2A(R235B) ↑ 2+R230(B/R6) ↑ 2+R249) → R219 ←
11: R229 → R1 → R97 → R109;GTO "A" ←
12: END ←

FISIER 10

0: GTO "B"
1: "R";... ← *
5: ... RET ←
6: "LR";2R222 R233R234R237/Π R240 → R10;A → Y;GSB "A4" ←
7: X → R2;A-R222 → Y;GSB "A4" ←
8: X+R2 → R2;A+R222 → Y;GSB "A4" ←
9: X+R2 → R2; R2R10*100 Π → R10;RET ←
10: "A4";2R233* SIN(YR226/2R233)SIN(YΠ/R222) ↑ 2/YR226 → X;RET ←
11: "B",R223 → A;GSB "R" ←
12: B → R13;C → R123;GSB "LR" ←
13: R42(R123+R10) → R123;-5R223 → A;GSB "R" ←
14: B → R25;C → R135;GSB "LR" ←
15: R42(R135+R10) → R135;7R223 → A;GSB "R" ←
16: B → R37;C → R147;GSB "LR" ←
17: R42(R147+R10) → R147;R223-R221 → A;GSB "R" ←
18: B → R49;C → R159;GSB "LR" ←
19: R42(R159+R10) → R159;R223+R221 → A;GSB "R" ←
20: B → R61;C → R171;GSB "LR" ←
21: R42(R171+R10) → R171;R221-5R223 → A;GSB "R" ←
22: B → R73;C → R183;GSB "LR" ←

* Pentru subrutina "R" a se vedea FISIER 1

23: R42(R183+R10) → R183; 7R223-R221 → A; GSB "R" ←
24: B → R85; C → R195; GSB "LR" ←
25: R42(R195+R10) → R195; R238 → R11; 2 → Z ←
26: 0 → R(Z) → R(Z+38); Z+1 → Z ←
27: IF Z ≤ 10; GTO-1 ←
28: 11 → A; GTO "A" ←
29: END ←

FISIER 11

REZOLVAREA SISTEMULUI DE ECUATII CU COEFICIENTI COMPLECSI,
 $n=10$. (SCHEMA LOGICA DATA IN FIG.A3.1).

FISIER 12

0: GTO "B" ←
1: "R".....*
5:RET ←
6: "B"; 101 → Z; 1 → X ←
7: $\sqrt{(R(X+10)^2 + R(X+120)^2)} \rightarrow R(Z); X+11 \leftarrow X; Z+1 \rightarrow Z$ ←
8: IF Z ≤ 110; GTO-1 ←
9: R223 → A; R222/100π → R11; GSB "R" ←
10: R11ABR102 | 2/R42 → R112; -5R223 → A; GSB "R" ←
11: R11ABR103 | 2/R42 → R113; 7R223 → A; GSB "R" ←
12: R11ABR104 | 2/R42 → R114; R223-R221 → A; GSB "R" ←
13: R11ABR105 | 2/R42 → R115; R221+R223 → A; GSB "R" ←
14: R11ABR106 | 2/R42 → R116; R221-5R223 → A; GSB "R" ←
15: R11ABR107 | 2/R42 → R117; 7R223-R221 → A; GSB "R" ←
16: R11ABR108 | 2/R42 → R118; 3R11R229 → R11; 1-R247 → Y ←
17: 1-R222Y/R223 → X; 1+R222Y/R223 → Y
18: R11R223R109 | 2/X → R119; -R11R223R110 | 2/Y → R120; 0 → X; 112 → Z ←
19: X+R(Z) → X; Z+1 → Z ←
20: IF Z ≤ 120; GTO-1 ←
21: R239R223/100π R247 → R122; X+R122 → R121 ←
22: GTO "A" ←
23: END ←

* Pentru subrutina "R" a se vedea FISIER 1

FIŞIER 13

```
0: "B"; PRT R101,R102,R103,R104,R105,R106,R107,R108,R109,R110; SPC1+  
1: PRT R121,R122,R112,R113,R114,R115,R116,R117,R118,R119,R120,  
    R247; SPC2+  
3: LTR R247,R122;PLT"X"; PNP +  
4: R247+( $\Delta s$ )→R247; IF R247<(sp); O→RO; GTO"A"+  
5: END +
```

A3.2. DESCRIEREA PROGRAMULUI

Împărțirea programului pe fișiere s-a făcut urmăindu-se gruparea elementelor comune de calcul care folosesc aceleasi subrute. Întrucit pentru matricea sistemului de 10 ecuații cu coeficienți complecși trebuie rezervate 220 de registre iar datele de intrare principale și valorile ce se calculează și se folosesc ocupă 30 de registre lungimea maximă a unui fișier poate fi de 136 de registre, 6 registre fiind ocupate de ROMuri și 25 de registre de programul principal care rămâne tot timpul în memoria operativă a calculatorului. Pentru a nu complica foarte mult programul prin reducerea fișierelor datele care sunt necesare numai în anumite etape de calcul se introduc în fișierul corespunzător, iar anumite elemente comune sunt repetate în mai multe fișiere ca de exemplu subrutina "R".

Fișierul 0 conține programul principal prin care se introduc datele de intrare principale, se fac initializările și se apelează celelalte fișiere, linia de apelare fiind linia 5 din program. Tot aici se fac comenziile pentru ploter, la linia 2, stabilindu-se mărirea domeniului, adică a scărilor cu instrucțiunea SCL și transformându-se axele cu instrucțiunea AXE. Linia 1 care se închide cu o instrucțiune JMP permite introducerea datelor de intrare în ordine în registrele R221÷R238. Semnificația registrelor care conțin date de intrare precum și valorile datelor de intrare este prezentată în Tabelul A3.1.

Atât în Fișierul 0 cât și în celelalte toate notațiile introduse în paranteză reprezintă valori, astfel (s_p) → 1,5, (u_s) → 1, g.e.z.d.

Fișierul 1 conține două subrute, subruta de calcul a factorului lui Carter și a coeficientilor permeanței echivalente variabile a întrefierului, λ_1 și λ_2 , notată cu "I" și subruta

TABELUL A 3.1

NR. CRT.	SEMNIFICATIA MĂRIMII	NOTATIA UTILIZATĂ	REGISTRU DE IN TROD.	FISIE RU	VALOAREA	
					MAŞINA 1	MAŞINA 2
MARI MI DE INTRARE PRINCIPALE						
1	Numărul de crestături statoric	Z_1	R 221	0	36	24
2	Numărul de crestături rotoric	Z_2	R 222	0	28	22
3	Numărul de perechi de poli	P	R 223	0	2	1
4	Pasul inf.raportat la pasul polar	y_1/Z_1	R 224	0	1	1
5	Deschiderea crestăturii statorice	b_{01}	R 225	0	$32 \times 10^{-4} \text{m}$	$27 \times 10^{-4} \text{m}$
6	Deschiderea crestăturii rotorice	b_{02}	R 226	0	$15 \times 10^{-4} \text{m}$	10^{-3}m
7	Inclinarea raportată	γ_2	R 227	0	35,9	23,83
8	Intrefierul real	d_o	R 228	0	$3,5 \times 10^{-4} \text{m}$	$3 \times 10^{-4} \text{m}$
9	Rezistența zonei statorice	R_{12}	R 229	0	$1,63 \Omega$	$2,8 \Omega$
10	Reactanta dispersie frontală	X_{d1f}	R 230	0	$1,57 \Omega$	$1,4873 \Omega$
11	Rezistența barei rotorice	R_{2b}	R 231	0	$4,72 \times 10^{-5} \Omega$	$7,95 \times 10^{-5} \Omega$
12	Reactanta de dispersie crest.rotor.	X_{2b}	R 232	0	$7,022 \times 10^{-5} \Omega$	$3,973 \times 10^{-5} \Omega$
13	Raza medie de intrefier	r	R 233	0	$0,067825 \text{m}$	$0,04085 \text{m}$
14	Lungimea miezului	l	R 234	0	0,11m	0,085m
15	Numărul de spire	W_1	R 235	0	300	188
16	Numarul de crest.pe pol si fază	q_1	R 236	0	3	4
17	Permeabilitatea vidului	μ_0	R 237	0	12566×10^{-10}	12566×10^{-10}
18	Tensiunea pe fază	U_1	R 238	0	220V	220V
19	Rezistența portiunilor de inel	$2R_{2i}$	R 246	0	$4,09 \times 10^{-6} \Omega$	$3,9 \times 10^{-6} \Omega$
20	Reactanta de dispersie a port.inel	$2X_{2i}$	R 248	0	$2,216 \times 10^{-6} \Omega$	$3,407 \times 10^{-6} \Omega$
21	Reac de disp pe crest.a-zonei stat.	X_{d1g}	R 249	0	$1,01168 \Omega$	$0,7281 \Omega$
MARI MI CE SE PASTREAZA IN PROGRAM						
22	Pierderile în fierul rotoric	P_{Fe2}	R 239	6	-	-
23	Intrefierul echivalent	d^*	R 240	1	-	-
24	Coef.permeantei echiv.varaintref.	λ_1, λ_2	R 241, R 242	1	-	-
25	Factorul de saturatie global	K_s	R 243	5	-	-
26	Fact.de satur.pe crest.statorică	k_{sdc1}	R 244	5	-	-
27	Fact.de saturatie pe crest.rotor.	k_{sdc2}	R 245	5	-	-
28	Alunecarea	s	R 247	13	-	-
29	Rezistența echival de pierderi	R_p	R 250	6	-	-
MARI MI DE INTRARE SUPLIMENTARE						
30	Inăltimea barei rotorice	h_b	R 40	$110,12$	$21 \times 10^{-3} \text{m}$	$12,3 \times 10^{-3} \text{m}$
31	Rezistivitatea aluminiului	ρ_{Al}	R 41	$1,10,12$	$0,031 \times 10^{-6} \Omega \cdot \text{m}$	$0,031 \times 10^{-6} \Omega \cdot \text{m}$
32	Lățimea dintelui stator.la vîrf	bd_{1v}	R 10	4	$8,67 \times 10^{-3} \text{m}$	$8,03 \times 10^{-3} \text{m}$
33	Lățimea dintelui statoric la mijloc	bd_{1m}	R 11	4	$6,1 \times 10^{-3} \text{m}$	$7,22 \times 10^{-3} \text{m}$
34	Lățimea dintelui statoric la fund	bd_{1f}	R 12	4	$15,3 \times 10^{-3} \text{m}$	$14,2 \times 10^{-3} \text{m}$
35	Lățimea dintelui rotoric la vîrf	bd_{2v}	R 13	4	$13,7 \times 10^{-3} \text{m}$	$10,5 \times 10^{-3} \text{m}$
36	Lățimea dintelui rotoric la mijloc	bd_{2m}	R 14	4	$9,3 \times 10^{-3} \text{m}$	$6,55 \times 10^{-3} \text{m}$
37	Lățimea dintelui rotoric la fund	bd_{2f}	R 15	4	$10,3 \times 10^{-3} \text{m}$	$7,95 \times 10^{-3} \text{m}$
38	Diametrul exterior	D_e	R 16	4	0,212m	0,143m
39	Diametrul axului	d_{ax}	R 17	4	0,05 m	0,032 m
40	Inăltimea crestăturii statorice	h_{cr1}	R 18	4	$19,5 \times 10^{-3} \text{m}$	$13,15 \times 10^{-3} \text{m}$
41	Inăltimea crestăturii rotorice	h_{cr2}	R 19	4	$21,7 \times 10^{-3} \text{m}$	$12,75 \times 10^{-3} \text{m}$
42	Lățimea maximă a crestăt.stator.	$b_{cr1max.}$	R 20	4	$8,3 \times 10^{-3} \text{m}$	$8,4 \times 10^{-3} \text{m}$
43	Lățimea maximă a crestăt.rotorice	$b_{cr2max.}$	R 21	4	$5 \times 10^{-3} \text{m}$	$5,4 \times 10^{-3} \text{m}$
44	Inversul factorului de fier	$1/k_{Fe}$	A	4	1/0,95	1/0,95
45	Densitatea de masa a oțelului	ρ_{mol}	B	4	7850kg/m^3	7350kg/m^3
46	Volumul dintelui statoric	vol d ₁	R 70	4	$14,8 \times 10^{-5} \text{m}^3$	$5,32 \times 10^{-5} \text{m}^3$
47	Volumul dintelui rotoric	vol d ₂	R 71	4	$20,9 \times 10^{-5} \text{m}^3$	$5,37 \times 10^{-5} \text{m}^3$

de calcul a rezistenței și reactanței ochiului rotoric ținând cont de efectul de refulare notată cu "R". Utilizând aceste două subrute în fișier se calculează întrefierul echivalent, coeficienții λ_1 și λ_2 ai permeanței echivalente și parametrii ochiului rotoric. Pentru a se putea calcula și la alunecarea $s=0$ există un IF la linia 13 care permite evitarea subrutinei "R" în care apare în această situație o împărțire cu zero.

În fișierul 2 sunt calculați coeficienții sistemului de trei ecuații care conține ca necunoscute curentii fundamentali statoric și rotoric și currentul echivalent pierderilor în fier, sistem dat de ecuațiile (4.10). Particularitatea plasării coeficienților se datorează modului de operare a calculatorului în care matricile trebuie introduse linie după linie în continuare. Modul de indexare a coeficienților este dat în Tabelul A3.2. observindu-se că părțile reale și părțile imaginare sunt scrise în cîte un registru separat. Astfel pentru un sistem de 3 ecuații sunt necesare 24 de registre pentru coeficienți, registe numerotate de la 1 la 24 conform Tabelului A3.2 în care la fiecare registru se indică în paranteză și valoarea care trebuie introdusă.

Tabelul A3.2.

I	P_{IR}	I_{lp}	Termenul liber	Observații
R1 (R_{1q})	R2 (0)	R3 (0)	R4 (U_1)	partea reală
R13 (X_{1q})	R14 (X_{21})	R15 (0)	R16 (0)	partea imaginară
R5 (0)	R6 ($R_{2\sigma}$)	R7 (0)	R8 (0)	partea reală
R17 ($s^2 X_{12}$)	R18 ($s^2 X_{2\sigma}$)	R19 (0)	R20 (0)	partea imaginară
R9 (0)	R10 (0)	R11 (R_{1pq})	R12 (0)	partea reală
R21 (X_{1q})	R22 (X_{21})	R23 (X_{1q})	R24 (0)	partea imaginară

Fișierul 3 conține subprogramul pentru rezolvarea sistemului de ecuații cu coeficienți complecsi a cărui schemă logică se dă în figura A3.1. Numărul de ecuații este $n=3$ și se stabilește în fișierul anterior. În schema logică din figura A3.1 s-a notat cu a_{ij} coeficientul complex cu c_i termenul liber de pe linia i iar

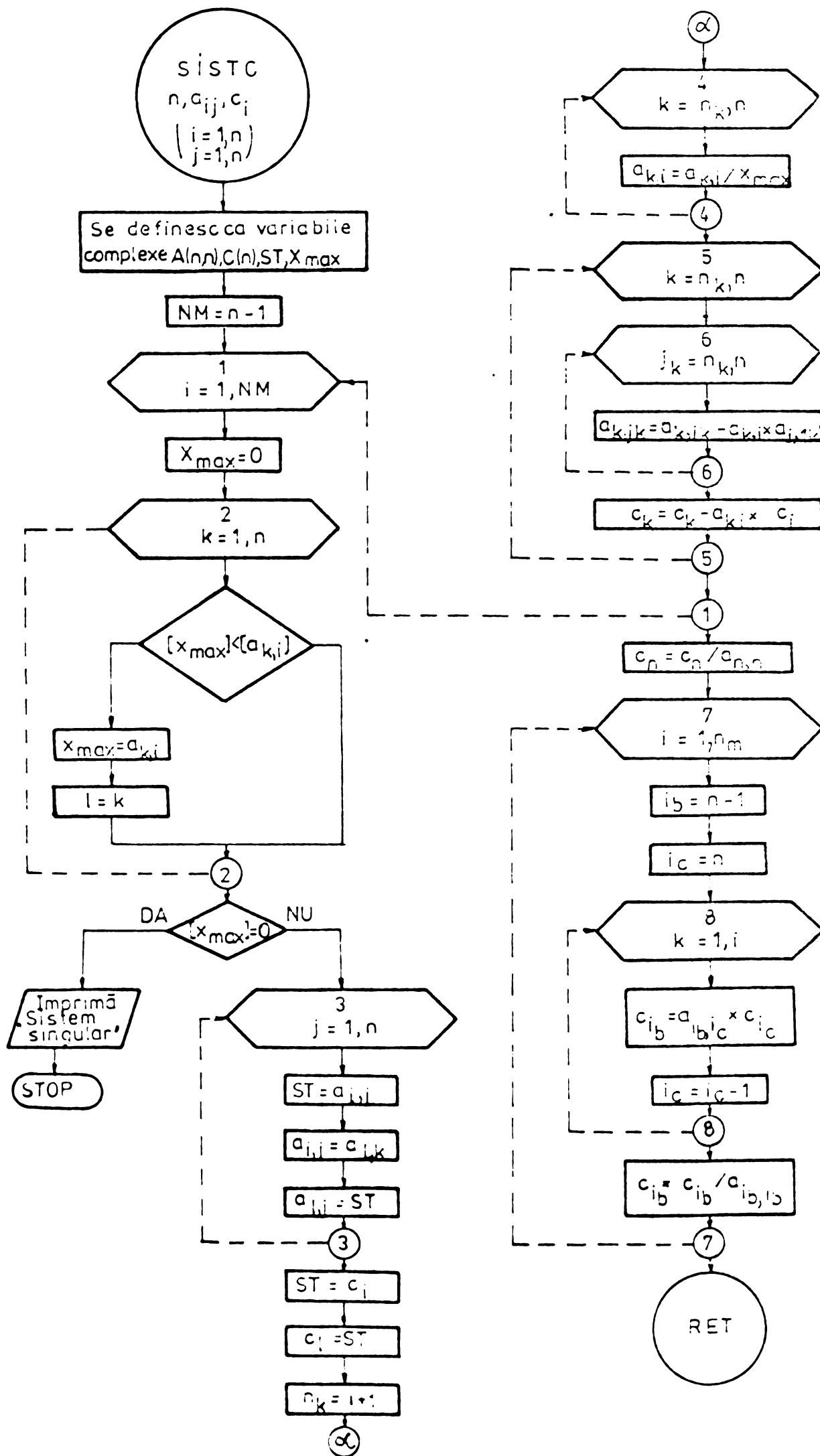


Fig.A3.1. Schema logică pentru rezolvarea sistemului de ecuații cu coeficienți complecsi.

notația $[X_{\max}]$ de exemplu se referă la modulul numărului complex X_{\max} . În procesul de rezolvare a sistemului valorile coeficienților se distrug rezultatele fiind introduse în registrele aferente termenilor liberi cu partea reală în partea reală a termenului liber iar cu partea imaginară în partea imaginată a termenului liber corespunzător.

În fișierul 4 se calculează valorile eficace ale curentilor, solenagiile rezultante statorice și rotorice și inducția în între-fier. De asemenea în acest fișier sunt introduse datele necesare calculului factorilor de saturare și pierderilor în fier și se calculează o serie de mărimi geometrice ale mașinii cum ar fi lungimile și înălțimile jugurilor, volumele jugurilor, etc.

La calculul solenagiiei rezultante, solenagia rotorică este înmulțită cu $\cos(\varphi_2)$, unghiul φ_2 calculându-se din partea reală și din modulul curentului de ochi rotoric și reprezentând defazajul dintre tensiunea electromotrice indușă în ochiul rotoric și curentul de ochi generat de aceasta.

Fișierul 5 conține calculul factorilor de saturare pentru mașină și pentru creșterile statorice și rotorice. Acest calcul se efectuează conform principiului expus în subcapitolul 4.1. Subroutinele "H" și "BH" utilizate reprezintă aproximările pentru caracteristicile $H=f(B)$ respectiv $B=f(H)$. Aproximarea pentru curba de magnetizare făcută pe porțiuni este dată în tabelul 4.1 din subcapitolul 4.2., polinoamele de aproximare fiind scrise în program. Valoarea de saturare a fost luată la $B=2,5$ T, avându-se în vedere faptul că în calculul factorilor de saturare nu se ține cont de fluxurile prin creșteră și de scăparele de flux.

În fișierul 6 se calculează pierderile în fier și se fac testările pentru factorul de saturare și rezistența echivalentă pierderilor în fier. Nu s-au verificat și factorii de saturare pentru deschiderile de creșteră întrucât aceștia se stabilizează singuri odată cu stabilizarea prin iterare a factorului de saturare.

În subrmina "P" este dată aproximarea curbei pierderilor specifice în fier în funcție de valoarea inducției. Aproximarea s-a făcut cu un polinom de gradul 1 pe domeniul $B \in (0,1)$,

$$p_{sp} = 0,3406 B$$

și cu un polinom de gradul 2 pentru valorile lui $B > 1T$,

$$P_{sp} = 1,51113636B^2 - 2,3982575B + 1,3575,$$

Fișierul 7 conține calculul inductivităților de cuplaj rotor zonă statorică pentru fundamentală și armonici, precum și repartizarea acestora în registrele corespunzătoare din tabloul de 220 de registre care conțin coeficienții sistemului de 10 ecuații cu coeficienții complecși. Acest tablou se construiește pe același principiu ca și tabloul pentru sistemul cu trei ecuații dat în tabelul A3.2. De asemenea la începutul fișierului 7 se face inițializarea pentru toate cele 220 de registre în liniile 12 și 13. Fișierul conține două subrutine "M21" pentru calculul inductivităților și "A1" pentru calculul factorilor de infășurare și de deschidere.

In fișierul 8 sunt calculate și repartizate în registrele corespunzătoare inductivitățile de cuplaj stator-ochi rotoric. Fișierul conține subrutinile "M12" pentru calculul inductivităților și "A2" pentru calculul factorilor de infășurare și de deschidere.

Fișierul 9 conține calculul și repartizarea pe registre a inductivităților proprii zonei statorice având o subrutină "A3" pentru determinarea factorilor de infășurare.

In fișierul 10 se calculează și se repartizează pe registre rezistențele și reactanțele ochiului rotoric. Fișierul conține trei subrutine și anume "R", "LR" pentru calculul inductivității proprii a ochiului și "A4" pentru calculul factorilor de infășurare. La sfârșitul acestui fișier se fac reinitializări pentru registrele folosite la calcule intermediare și care au valoarea zero în tabloul sistemului și se introduce valoarea numărului de ecuații pentru subprogramul de rezolvare care este conținut în fișierul 11.

In fișierul 12 se calculează valorile efective ale curenților valorile cuplurilor asincrone și se obține cuplul rezultant. Pentru calculul cuplurilor asincrone se utilizează relația obținută pe baza bilanțului energetic, rezistențele reacționale fiindu-se în fișier cu ajutorul subrutinei "R".

Fișierul 13 conține instrucțiuni de imprimare și plotare a curenților și cuplurilor și testarea alunecării față de valoarea maximă considerată comandând reluarea ciclului cu o nouă valoare de alunecare sau încheierea procesului dacă alunecarea a depășit valoarea maximă.

Calculul unui punct pentru o valoare a alunecării durează pînă la 7', depinzînd de numărul de iteratii necesare pentru stabilirea factorului de saturatie și a rezistenței de pierderi.

Programul prezentat este scris pentru varianta cu patru armonici de crestare în cazul mașinii 1. Pentru calculul caracteristicii mecanice la mașina 1 în cazul cînd se consideră primele patru armonici de spațiu ale solenașiei statorice și numai două armonici de crestare se introduc în program următoarele modificări.

1. In Fișierul 7 se înlocuiește pe linia 19, R221-5R223 → X cu -11R223 → X și pe linia 20, 7R223-R221 → X cu 13R223 → X,

2. In Fișierul 8 între liniile 19 și 20 se introduc liniile:

- 11R223 → X; 12-11R247 → R8; GSB" M12" ↴

R8A → R177; 13R223 → X; 13R247-12 → R8; GSB" M12" -

R8A → R188 ↴

3. In Fișierul 9 între liniile 5 și 6 se introduc liniile

R3+A(R235B) ↑ 2 → R3; -11R223 → X; GSB" A3" ↴

R3+A(R235B) ↑ 2 → R3; 13R223 → X; GSB" A3" ↴

4. In Fișierul 10 se înlocuiește pe linia 21, R221-5R223 → A, cu -11R223 → A, și pe linia 23, 7R223-R221 → A cu 13R223 → A,

5. In fișierul 12 se înlocuiește pe linia 14, R221-5R223 → A, cu -11R223 → A, și pe linia 15, 7R223-R221 → A cu 13R223 → A.

In urma acestor modificări curentii și cuplurile datorate armonicilor de ordinele -11R223 și 13R223 iau locul celor datorate armonicilor de ordinele R221-5R223 și respectiv 7R223-R221.

Pentru mașina 2 programul, în cele două variante, este similar, urmînd să se anuleze în fișierele 7 și 8 registrele ocupate de termenii corespunzători armonicii de ordinul b=-1, care nu există la această mașină.

La calculul pierderilor în fier nu se utilizează decît primele 6 figiere. In fișierul 6 se introduce o linie în care se variază valoarea tensiunii și se reduce programul la început dacă valoarea tensiunii este mai mare decît valoarea minimă introdusă. Se poate introduce de asemenea o instrucțiune pentru plotarea pierderilor în fier în funcție de tensiune modificînd în acest caz, în mod corespunzător mărimile din instrucțiunile SCL și AXE plasate pe linia a 2-a în Fișierul 0.

A3.3. PARTICULARITATI DE OPERARE SI LIMPAJ ALE CALCULATORULUI HP9820A

Calculatorul HP9820A are o memorie operativă de 429 de registre, fiecare registru având o capacitate de 8 caractere. El este prevăzut cu trei memorii cablate de tip ROM (read only memory) care ocupă maximum 26 de registre din memoria operativă. Fiecare registru al memoriei este definit de litera R urmată de un număr cuprins între 0 și 403. În afara acestei memorii operative există șase registre suplimentare numite A,B,C,X,Y și Z. Valorile cu care se operează sunt cuprinse între 10^{-99} și 10^{99} precizia de calcul fiind ridicată.

Calculatorul HP9820A este prevăzut cu o unitate de memorie externă pe bandă magnetică având o capacitate de 6000 de registre echivalente pe o casetă, cu o mașină de scris și un înregistrator în coordonate xy (ploter). Controlul terminalelor și a memoriei externe se face de către unitatea centrală prin memoriile cablate ROM.

Instructiunile calculatorului care s-au utilizat în program sunt date în tabelul A3.3.

Tabelul A3.3.

Nr.crt.	Instructiunea	Simbol	Exemplu
0.	1.	2.	3.
1. Adunare		+	A+B;R1+R2
2. Scădere		-	A-B;R1-R2
3. Înmulțire		*	A*B;R1*R2
4. Înmulțire implicită	nu are		AB;R1R2
5. Impărțire		/	A/B;R1/R2
6. Ridicare la putere		↑	A↑2;R1↑ R2
7. Rădăcina patrată		√	√A; √(AB)
8. Funcție exponențială	EXP		EXP(A);EXP(R1R2)
9. Logaritm natural	LN		LN(A);LN(R1+R2)
10. Logaritm zecimal	LOG		LOG(A/B)
11. Antilogaritm zecimal	TN↑		TN ↑ (A/B)
12. Sinus	SIN		SIN(R1);SIN(A/R1)
13. Cosinus	COS		COS(R1);COS(A/R1)
14. Tangentă	TAN		TAN(R1);TAN(A/R1)
15. Arcsinus	ASN		ASN(A)
16. Arccosinus	ACS		ACS(A)

17. Arctangentă	ATN	ATN(A)
18. Valoarea absolută	ABS	ABS(R1-R2)
19. Selectia radianilor	TBL2	
20. Valoarea lui π	π	
21. Atribuire	\rightarrow	R1*A+B → R2
22. Operatori relationali	=; ≠; >; ≤	(A=B)≠(X > Y); (A ≤ B)(X=Y)→R1
Instrucțiuni de salt:		
-absolut	GTO n.	GTO 10;GTO"A"
-relativ	GTO _± n.	GTO-2;GTO+5
-la subrutină	GSB	GSB"R"
-salt din linia de origine la începutul rîndului de destinație	JMP _{expresie...}	JMP(A+B);JMP(A > 30)
24. Compararea logică	IF	IF(A ≤ B);GTO"1"
25. Intoarcerea din subrutină în programul principal	RET	
26. Oprirea programului	STP	
27. Citirea datelor	ENT	ENT A,B;ENT"N",A
28. Scrierea datelor la impriman- tă	PRT	PRT A,B;PRT"S=",A
29. Tipărirea datelor	TYP	TYP R1,R2,A,R1R2
30. Formatul de tipărire	FMT	FMT 10X,FXD3,4FLT6
31. Tipărirea datelor în virgulă fixă	FXD	FXD3
32. Tipărirea datelor în virgulă mobilă	FLT	FLT6
33. Mărimele scării la plotter	SCL X _{min} ,X _{max} , - Y _{min} ,Y _{max}	SCL-10,10,-5,20
34. Trasarea axelor la plotter	AXE X ₀ ,Y ₀ , unit _x ,unit _y .	AXE 0,0,1,0.5
35. Plotare	PLT	PLT X,Y,PLT"A"
36. Indicarea poziției de plotare a literelor	LTR X,Y, abc a=1..9, b=1..9 c=1..4	LTR X,Y,111
37. Spațierea rîndurilor la im- primantă	SPC	SPC2
38. Încărcarea unui fișier în memoria operativă	LDF	LDF 10;LDF RO
39. Memorarea instrucțiunilor	↑	
40. Pornirea programului	RUN	

Tabelul A4.1.

s	I₁	2_{IR}	-10_{IR}	14_{IR}	-34_{IR}	38_{IR}	26_{IR}	-22_{IR}	-28_{I₁}	28_{I₁}
A	A	A	A	A	A	A	A	A	A	A
0,1	14,75	1980	68,79	28,83	6,19	17,98	0,98	1,36	3,57	5,18
0,2	22,30	3006	103,78	43,37	9,08	27,17	1,48	2,06	5,51	7,99
0,3	27,14	3649	123,21	50,85	12,89	33,25	1,85	2,54	5,36	7,88
0,4	30,92	4138	134,40	54,12	18,08	39,92	2,30	3,10	4,58	6,88
0,5	32,75	4378	140,25	55,84	36,47	56,06	3,20	3,68	5,11	5,26
0,6	34,38	4590	142,88	54,68	37,63	56,56	3,33	3,82	4,80	5,19
0,7	35,31	4717	143,78	52,35	37,93	55,94	3,39	3,89	4,62	5,35
0,8	36,50	4870	141,98	44,17	35,35	50,52	3,32	3,85	3,54	5,34
0,9	36,91	4931	139,51	41,46	38,52	45,73	3,47	3,90	1,18	4,90
1,0	37,91	5059	133,64	52,85	38,83	46,32	3,58	3,79	2,57	3,24
1,1	38,03	5084	124,82	58,25	39,27	54,96	3,60	2,52	4,49	1,63
1,199	38,63	5158	3,21	61,00	39,44	58,46	3,67	3,88	5,77	5,08
1,299	39,00	5217	127,02	65,08	39,83	61,58	3,69	4,11	5,44	5,66
1,399	39,50	5284	139,61	67,40	40,58	63,44	3,74	4,24	5,35	5,76

Tabelul A4.2.

θ	I_1	2_{IR}	-10_{IR}	14_{IR}	-34_{IR}	38_{IR}	-22_{IR}	26_{IR}	-28_{I_1}	28_{I_1}
	A	A	A	A	A	A	A	A	A	A
0,1	14,72	1976	68,66	28,78	6,81	17,94	5,62	2,38	4,76	4,40
0,2	22,21	2994	103,37	43,19	10,01	27,04	8,48	3,60	7,32	6,79
0,3	27,02	3633	122,67	50,62	13,79	33,10	10,24	4,39	7,09	6,72
0,4	30,80	4121	133,87	53,91	18,84	39,75	11,56	5,04	5,96	5,92
0,5	32,62	4361	139,71	55,63	37,25	55,83	13,60	6,95	6,88	4,21
0,6	34,25	4573	142,33	54,47	38,33	56,33	14,06	7,20	6,44	4,21
0,7	35,17	4698	143,20	52,14	38,59	55,70	14,26	7,32	6,19	4,37
0,8	36,35	4851	141,42	43,99	35,87	50,31	14,14	7,16	4,73	4,48
0,9	36,76	4910	138,92	41,29	38,87	45,54	14,26	7,47	1,59	4,11
1,0	37,75	5038	133,07	52,62	38,79	46,13	13,88	7,71	3,44	2,78
1,1	37,86	5061	124,27	58,00	39,02	54,72	9,21	7,73	5,91	1,58
1,199	38,49	5139	0,32	60,80	39,61	58,26	14,19	7,88	7,26	4,46
1,299	38,85	5197	126,69	64,84	40,31	61,34	15,00	7,07	7,07	4,83
1,399	39,34	5264	139,13	67,15	41,18	63,19	15,49	8,03	7,00	4,86

Tabelul A4.3.

s	M_{as}	M_{Fe}	M_2	M_{-10}	M_{14}	M_{-34}	M_{38}	M_{-26}	M_{-22}	M_{-28}	M_{28}
	Nm	Nm	Nm	Nm	Nm	Nm	Nm	Nm	Nm	Nm	Nm
0,1	93,1	2,0	94,4	-0,48	-0,15	-0,004	-0,073	-12.10 ⁻⁶	-14.10 ⁻⁵	-0,96	-1,72
0,2	105,9	4,1	110,6	-1,15	-0,36	-0,008	-0,177	-29.10 ⁻⁶	-34.10 ⁻⁵	-2,59	-4,56
0,3	104,7	3,7	111,5	-1,71	-0,54	-0,018	-0,285	-49.10 ⁻⁶	-55.10 ⁻⁵	-2,84	-5,01
0,4	104,4	3,4	111,2	-2,16	-0,67	-0,038	-0,446	-83.10 ⁻⁶	-88.10 ⁻⁵	-2,47	-4,39
0,5	96,3	4,0	103,6	-2,52	-0,81	-0,168	-0,974	-18.10 ⁻⁵	-13.10 ⁻⁴	-3,80	-3,01
0,6	90,4	4,2	99,1	-2,82	-0,90	-0,197	-1,126	-23.10 ⁻⁵	-16.10 ⁻⁴	-4,36	-3,56
0,7	83,6	5,9	93,9	-3,12	-1,00	-0,227	-1,308	-29.10 ⁻⁵	-18.10 ⁻⁴	-5,81	-4,79
0,8	78,4	5,5	91,8	-3,37	-1,31	-0,233	-1,387	-38.10 ⁻⁵	-21.10 ⁻⁴	-6,07	-6,54
0,9	77,0	5,5	87,6	-3,66	1,47	-0,355	-1,852	-13.10 ⁻⁴	-26.10 ⁻⁴	-3,01	-8,73
1,0	86,6	4,8	86,9	-3,97	1,07	-0,555	1,811	57.10 ⁻⁵	-34.10 ⁻⁴	5,74	-9,14
1,1	99,9	5,0	83,3	-5,15	1,04	0,682	1,613	37.10 ⁻⁵	97.10 ⁻⁴	7,33	6,08
1,199	109,0	4,3	81,9	-0,29	0,99	0,395	1,416	30.10 ⁻⁵	33.10 ⁻⁴	7,67	12,57
1,299	106,7	4,5	80,5	5,38	0,98	0,308	1,326	26.10 ⁻⁵	28.10 ⁻⁴	4,96	8,75
1,399	100,7	4,3	79,5	4,34	0,96	0,267	1,241	23.10 ⁻⁵	25.10 ⁻⁴	3,79	6,31

Tabelul A4.4.

θ	M_{as}	$M_{F\Theta}$	M_2	M_{-10}	M_{14}	M_{-34}	M_{38}	M_{-22}	M_{26}	M_{-28}	M_{+28}
	Nm	Nm	Nm	Nm	Nm	Nm	Nm	Nm	Nm	Nm	Nm
0,1	92,4	2,0	94,1	-0,48	-0,15	-0,004	-0,072	-0,002	$-7 \cdot 10^{-5}$	-1,70	-1,24
0,2	104,3	4,1	109,7	-1,14	-0,36	-0,011	-0,175	-0,006	$-2 \cdot 10^{-4}$	-4,58	-3,29
0,3	103	3,7	110,5	-1,69	-0,53	-0,021	-0,282	-0,009	$-3 \cdot 10^{-4}$	-4,98	-3,64
0,4	103	3,4	110,3	-2,14	-0,67	-0,044	-0,442	-0,012	$-4 \cdot 10^{-4}$	-4,19	-3,25
0,5	93,6	4,0	102,8	-2,50	-0,80	-0,175	-0,966	-0,018	$-9 \cdot 10^{-4}$	-6,87	-1,93
0,6	87,4	4,2	98,4	-2,80	-0,89	-0,205	-1,117	-0,021	$-1 \cdot 10^{-3}$	-7,85	-2,34
0,7	79,8	5,9	93,2	-3,10	-0,99	-0,235	-1,297	-0,025	$-1 \cdot 10^{-3}$	-10,42	-3,20
0,8	74,9	5,5	91,1	-3,34	-1,30	-0,240	-1,375	-0,028	$-2 \cdot 10^{-3}$	-10,82	-4,60
0,9	76,4	5,5	86,9	-3,63	1,46	-0,362	-1,836	-0,035	$-6 \cdot 10^{-3}$	-5,51	-6,14
1,0	92,8	4,8	86,1	-3,93	1,06	-0,554	1,795	-0,046	$3 \cdot 10^{-3}$	10,29	-6,76
1,1	104,0	5,0	82,5	-5,11	1,04	0,673	1,599	0,130	$2 \cdot 10^{-3}$	12,70	5,46
1,199	110,1	4,3	81,3	-0,03	0,98	0,397	1,404	0,044	$1 \cdot 10^{-3}$	12,11	9,66
1,299	107,0	4,5	79,8	5,31	0,97	0,315	1,314	0,038	$1 \cdot 10^{-3}$	8,37	6,35
1,399	100,9	4,3	78,9	4,30	0,95	0,275	1,230	0,033	$1 \cdot 10^{-3}$	6,48	4,48

Tabelul A4.5.

s	I₁	1_{IR}	-5_{IR}	7_{IR}	-27_{IR}	29_{IR}	23_{IR}	21_{IR}	22_{IR}
	A	A	A	A	A	A	A	A	A
0,1	8,61	1456	54,7	25,77	6,98	8,36	0,643	0,647	5,03
0,2	14,97	2545	95,3	44,90	12,14	14,55	1,118	1,126	9,22
0,3	19,67	3347	125,0	58,64	15,95	19,11	1,468	1,477	12,08
0,4	23,35	3965	145,6	67,06	18,93	22,60	1,735	1,733	11,86
0,5	26,12	4434	161,4	73,44	21,17	25,21	1,935	1,926	12,47
0,6	28,36	4809	172,6	76,85	22,98	27,25	2,089	2,065	12,14
0,7	30,17	5110	180,7	77,18	24,42	28,78	2,204	2,162	11,63
0,8	31,64	5353	185,9	60,30	25,59	29,84	2,284	2,216	10,56
0,9	32,65	5522	189,2	52,28	26,41	30,40	2,324	2,235	8,87
1,0	33,71	5697	188,7	80,15	27,22	31,06	2,391	2,180	3,67
1,1	34,38	5812	176,1	86,83	28,03	32,50	2,485	2,156	4,42
1,199	35,00	5914	0,373	89,95	28,70	33,51	2,555	2,362	9,07
1,209	36,32	6132	179,9	93,76	29,68	34,80	2,657	2,488	10,29
1,392	36,86	6226	203,4	97,15	30,69	30,02	2,735	2,591	10,87

Tabelul A4.6.

s	I ₁	1 _{IR}	-5 _{IR}	7 _{IR}	-27 _{IR}	29 _{IR}	-11 _{IR}	13 _{IR}	22 _{IR}	22 _{I₁}
	A	A	A	A	A	A	A	A	A	A
0,1	8,61	1456	54,7	25,76	6,97	8,36	8,41	4,99	4,98	
0,2	14,95	2542	95,2	44,85	12,12	14,54	14,66	8,69	9,12	
0,3	19,64	3342	124,8	58,55	15,92	19,08	19,16	11,34	11,94	
0,4	23,31	3959	145,4	66,95	18,90	22,56	21,90	12,96	11,73	
0,5	26,08	4426	161,2	73,31	21,13	25,17	23,97	14,14	12,34	
0,6	28,31	4800	172,3	76,70	22,94	27,20	25,08	14,71	12,02	
0,7	30,11	5100	180,3	77,03	24,37	28,72	25,56	14,85	11,51	
0,8	31,57	5342	185,5	60,18	25,54	29,78	25,38	14,37	10,46	
0,9	32,58	5511	188,7	52,17	26,36	30,33	24,93	7,98	8,80	
1,0	33,64	5684	188,3	79,96	27,16	30,99	22,29	13,68	3,65	
1,1	34,30	5798	175,6	86,63	27,96	32,42	4,69	15,71	4,43	
1,199	34,93	5902	0,4	89,77	28,65	33,45	23,83	16,58	9,02	
1,299	36,25	6120	179,5	93,58	29,62	34,73	26,47	17,51	10,21	
1,399	36,79	6213	203,0	96,96	30,63	35,95	28,28	18,37	10,78	

Tabelul A4.7.

θ	M_{as}	M_{Fe}	M_1	M_{-5}	M_7	M_{-27}	M_{29}	M_{23}	M_{21}	M_{22}
	Nm	Nm	Nm	Nm	Nm	Nm	Nm	Nm	Nm	Nm
0,1	14,82	0,26	15,37	-0,062	-0,032	-12.10 ⁻⁵	-15.10 ⁻⁴	-78.10 ⁻⁷	-17.10 ⁻⁶	-0,72
0,2	20,68	0,18	23,50	-0,196	-0,103	-40.10 ⁻⁵	-48.10 ⁻⁴	-25.10 ⁻⁶	-55.10 ⁻⁶	-2,69
0,3	21,68	0,28	27,18	-0,352	-0,188	-74.10 ⁻⁵	-89.10 ⁻⁴	-47.10 ⁻⁶	-10.10 ⁻⁵	-5,23
0,4	22,37	0,25	28,73	-0,501	-0,266	-11.10 ⁻⁴	-14.10 ⁻³	-71.10 ⁻⁶	-15.10 ⁻⁵	-5,83
0,5	20,47	0,23	28,90	-0,649	-0,357	-15.10 ⁻⁴	-19.10 ⁻³	-98.10 ⁻⁶	-20.10 ⁻⁵	-7,63
0,6	18,60	0,23	28,51	-0,791	-0,468	-21.10 ⁻⁴	-25.10 ⁻³	-13.10 ⁻⁵	-26.10 ⁻⁵	-8,85
0,7	15,91	0,23	27,70	-0,942	-0,674	-27.10 ⁻⁴	-33.10 ⁻³	-17.10 ⁻⁵	-32.10 ⁻⁵	-10,46
0,8	12,79	0,22	26,91	-1,123	-1,035	-36.10 ⁻⁴	-43.10 ⁻³	-22.10 ⁻⁵	-38.10 ⁻⁵	-12,14
0,9	11,04	0,27	25,70	-1,398	1,031	-51.10 ⁻⁴	-75.10 ⁻³	-50.10 ⁻⁵	-47.10 ⁻⁵	-14,47
1,0	16,14	0,24	24,86	-1,907	0,787	-13.10 ⁻³	0,108	49.10 ⁻⁵	-87.10 ⁻⁵	-7,95
1,1	31,21	0,28	23,78	-3,115	0,620	11.10 ⁻³	54.10 ⁻³	26.10 ⁻⁵	12.10 ⁻⁴	9,58
1,199	37,97	0,29	22,83	-0,014	0,546	58.10 ⁻⁴	46.10 ⁻³	22.10 ⁻⁵	56.10 ⁻⁵	-14,26
1,299	38,16	0,26	22,94	3,256	0,528	47.10 ⁻⁴	42.10 ⁻³	21.10 ⁻⁵	49.10 ⁻⁵	11,13
1,399	34,33	0,29	22,24	2,216	0,522	42.10 ⁻⁴	39.10 ⁻³	19.10 ⁻⁵	46.10 ⁻⁵	8,92

Tabelul A4.8.

s	M _{as}	M _{Fe}	M ₁	M ₋₅	M ₇	M ₋₂₇	M ₂₉	M ₋₁₁	M ₁₃	M ₂₂
	Nm	Nm	Nm	Nm	Nm	Nm	Nm	Nm	Nm	Nm
0,1	14,82	0,26	15,36	-0,062	-0,032	-12.10 ⁻⁵	-15.10 ⁻⁴	-54.10 ⁻⁴	-21.10 ⁻⁴	-0,70
0,2	20,67	0,18	23,46	-0,196	-0,103	-40.10 ⁻⁵	-48.10 ⁻⁴	-17.10 ⁻³	-63.10 ⁻⁴	-2,63
0,3	21,68	0,28	27,10	-0,351	-0,188	-74.10 ⁻⁵	-89.10 ⁻⁴	-31.10 ⁻³	-12.10 ⁻³	-5,11
0,4	22,35	0,25	28,64	-0,499	-0,266	-11.10 ⁻⁴	-14.10 ⁻³	-44.10 ⁻³	-18.10 ⁻³	-5,70
0,5	20,46	0,23	28,80	-0,646	-0,356	-15.10 ⁻⁴	-18.10 ⁻³	-56.10 ⁻³	-23.10 ⁻³	-7,46
0,6	18,60	0,23	28,40	-0,788	-0,467	-21.10 ⁻⁴	-25.10 ⁻³	-67.10 ⁻³	-28.10 ⁻³	-8,67
0,7	15,90	0,23	27,68	-0,938	-0,672	-27.10 ⁻⁴	-32.10 ⁻³	-76.10 ⁻³	-33.10 ⁻³	-10,30
0,8	12,79	0,22	26,80	-1,118	-1,032	-36.10 ⁻⁴	-43.10 ⁻³	-85.10 ⁻³	-43.10 ⁻³	-11,90
0,9	11,03	0,27	25,59	-1,393	1,027	-51.10 ⁻⁴	-75.10 ⁻³	-99.10 ⁻³	-58.10 ⁻³	-14,26
1,0	16,06	0,24	24,75	-1,898	0,783	-13.10 ⁻³	0,107	-0,134	55.10 ⁻³	-7,84
1,1	31,24	0,29	23,67	-3,101	0,617	11.10 ⁻³	54.10 ⁻³	5,5.10 ⁻²	41.10 ⁻³	9,61
1,199	37,86	0,29	22,74	-0,014	0,544	58.10 ⁻⁴	46.10 ⁻³	0,133	37.10 ⁻³	14,08
1,299	38,03	0,26	22,85	3,243	0,526	47.10 ⁻⁴	42.10 ⁻³	0,107	37.10 ⁻³	10,96
1,399	34,12	0,29	22,15	2,208	0,520	42.10 ⁻⁴	39.10 ⁻³	0,102	36.10 ⁻³	8,77

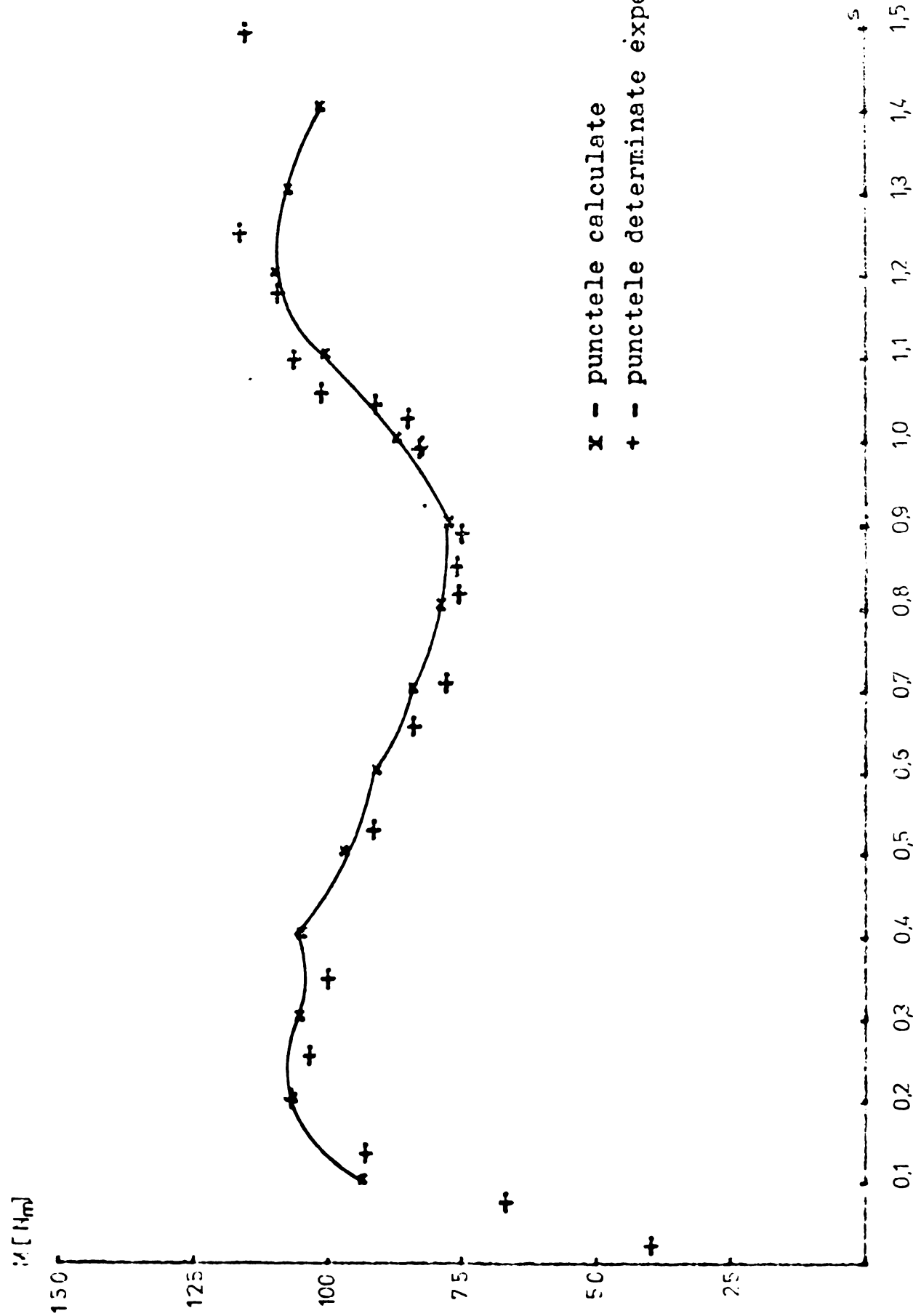


Fig.A4.1. Caracteristica mecanică calculată la pagina 1 pentru varianta cu patru armonici de creștere

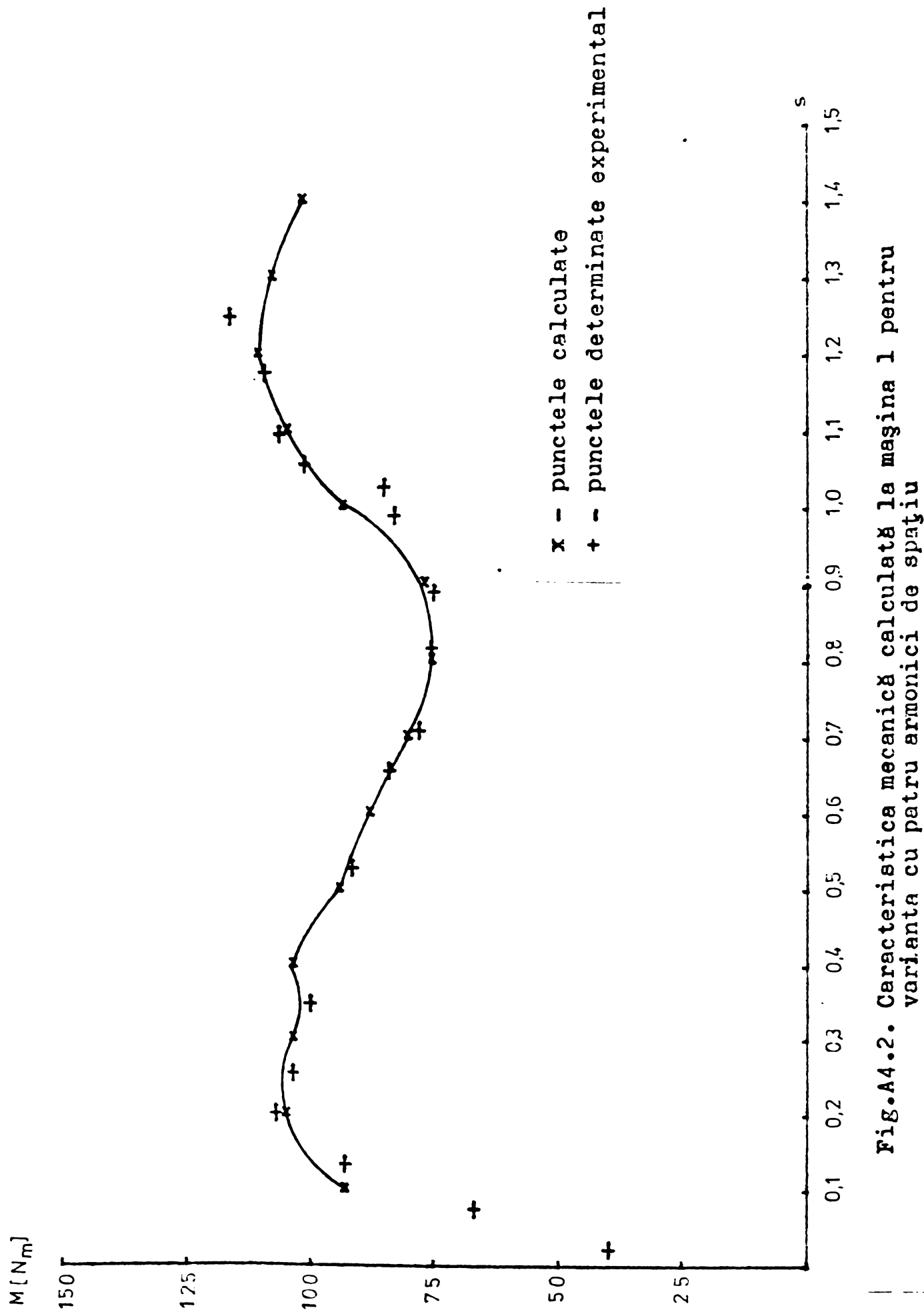


FIG. A4.2. Caracteristice mecanice calculate la pagina 1 pentru varianta cu patru armonici de spatiu

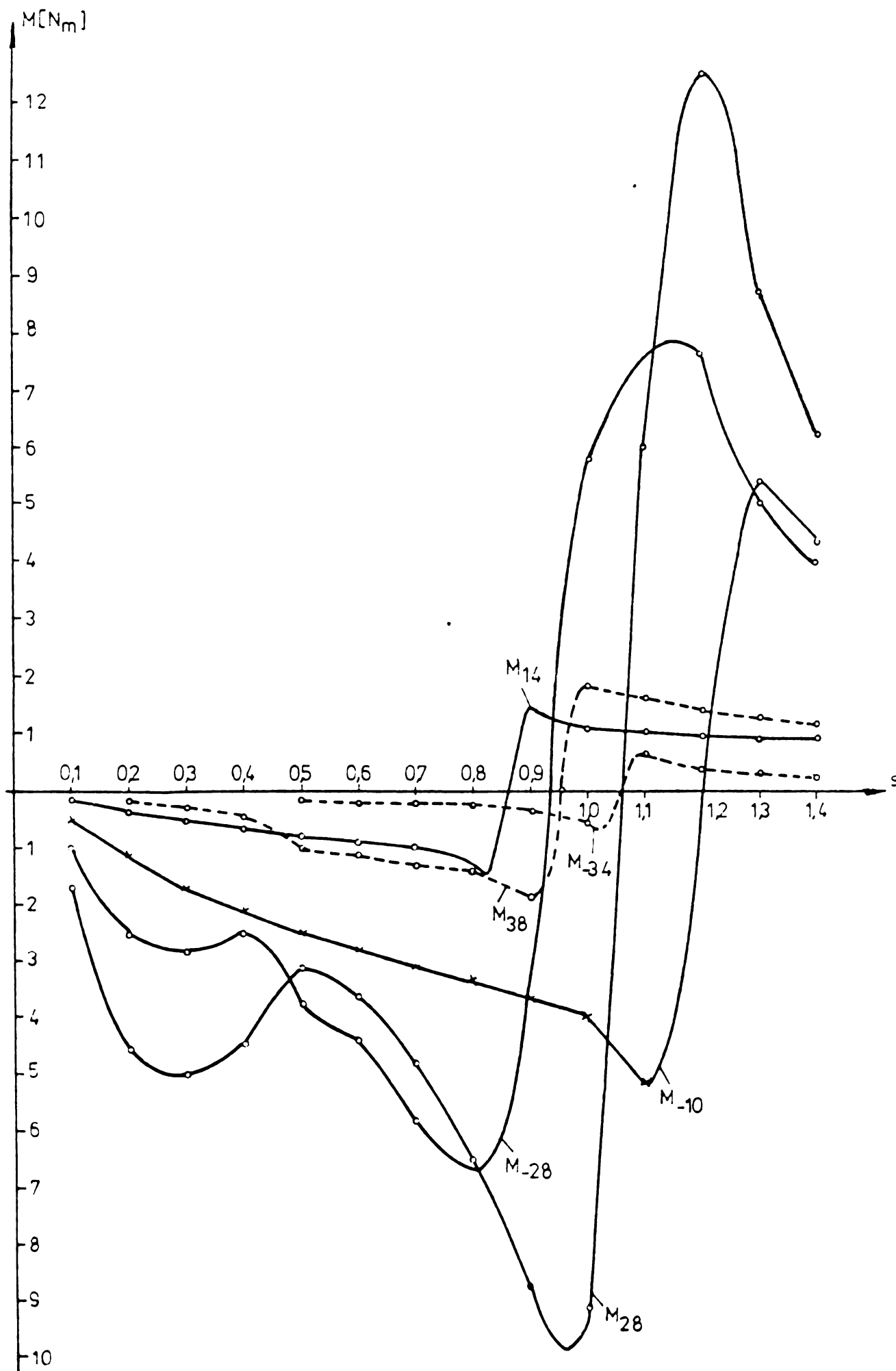


Fig.A4.3. Principalele cupluri parazite de tip asincron la magina 1
în varianta cu patru armonici de creștere

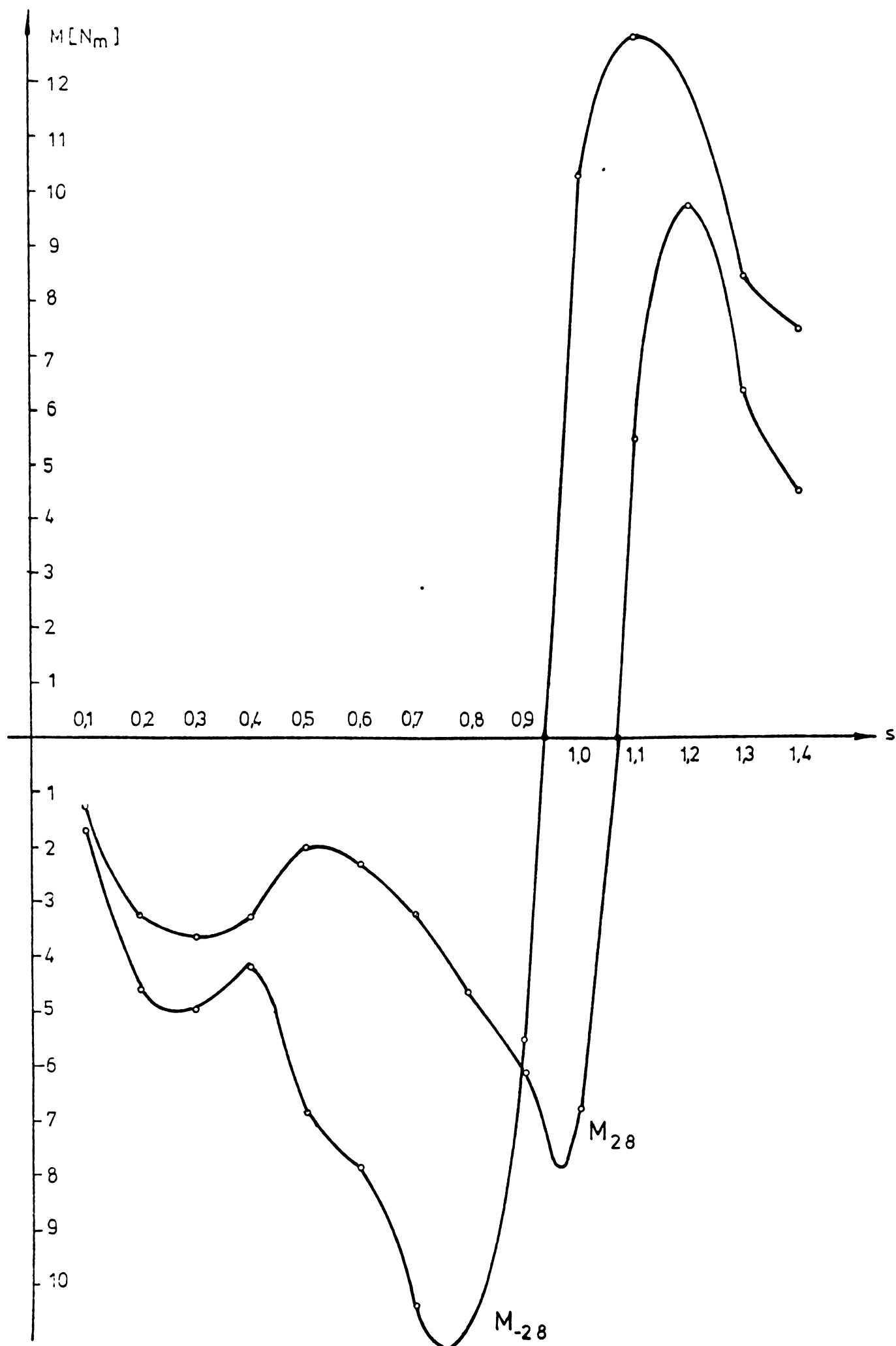


Fig.A4.4. Cuplurile parazite de tip asincron datorate curentilor armonici statorici la mașina 1 în varianta cu patru armonici de spațiu.

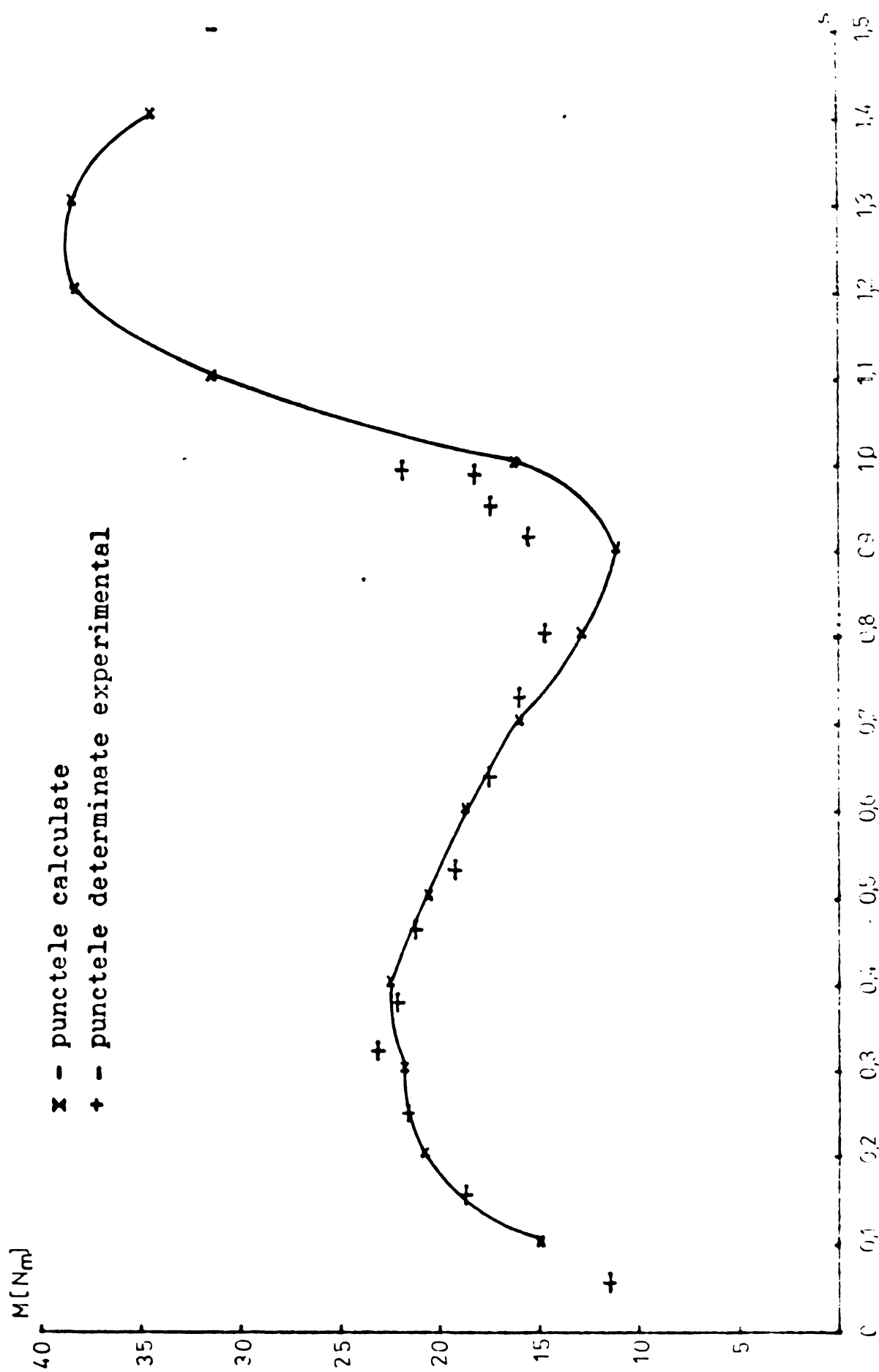


Fig.A4.5. Caracteristica mecanică calculată la margini 2 pentru varianța cu patru armonici de creștere

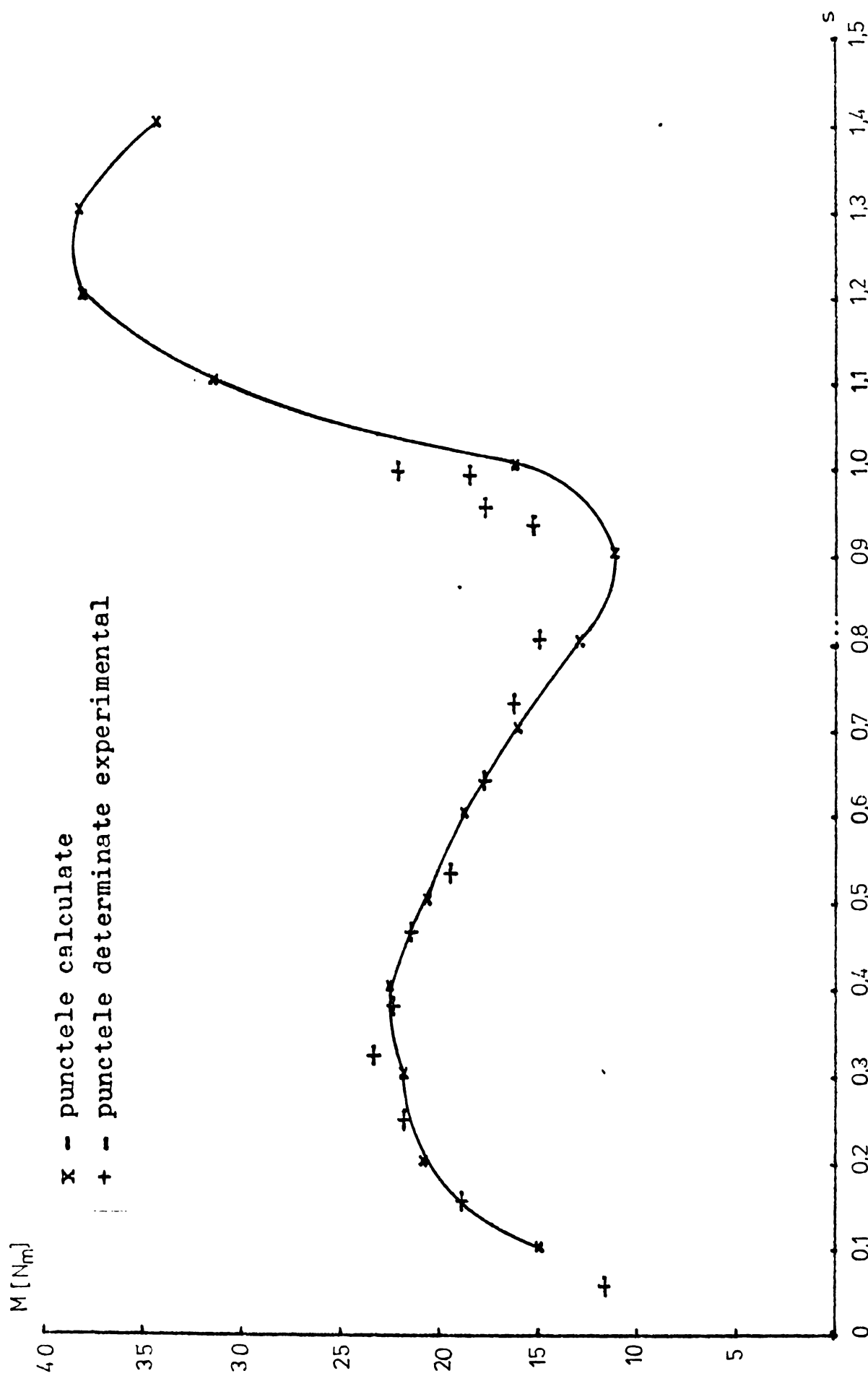


Fig.4.6. Caracteristica mecanică calculată la pagina 2 pentru varianta cu patru armonici de spațiu

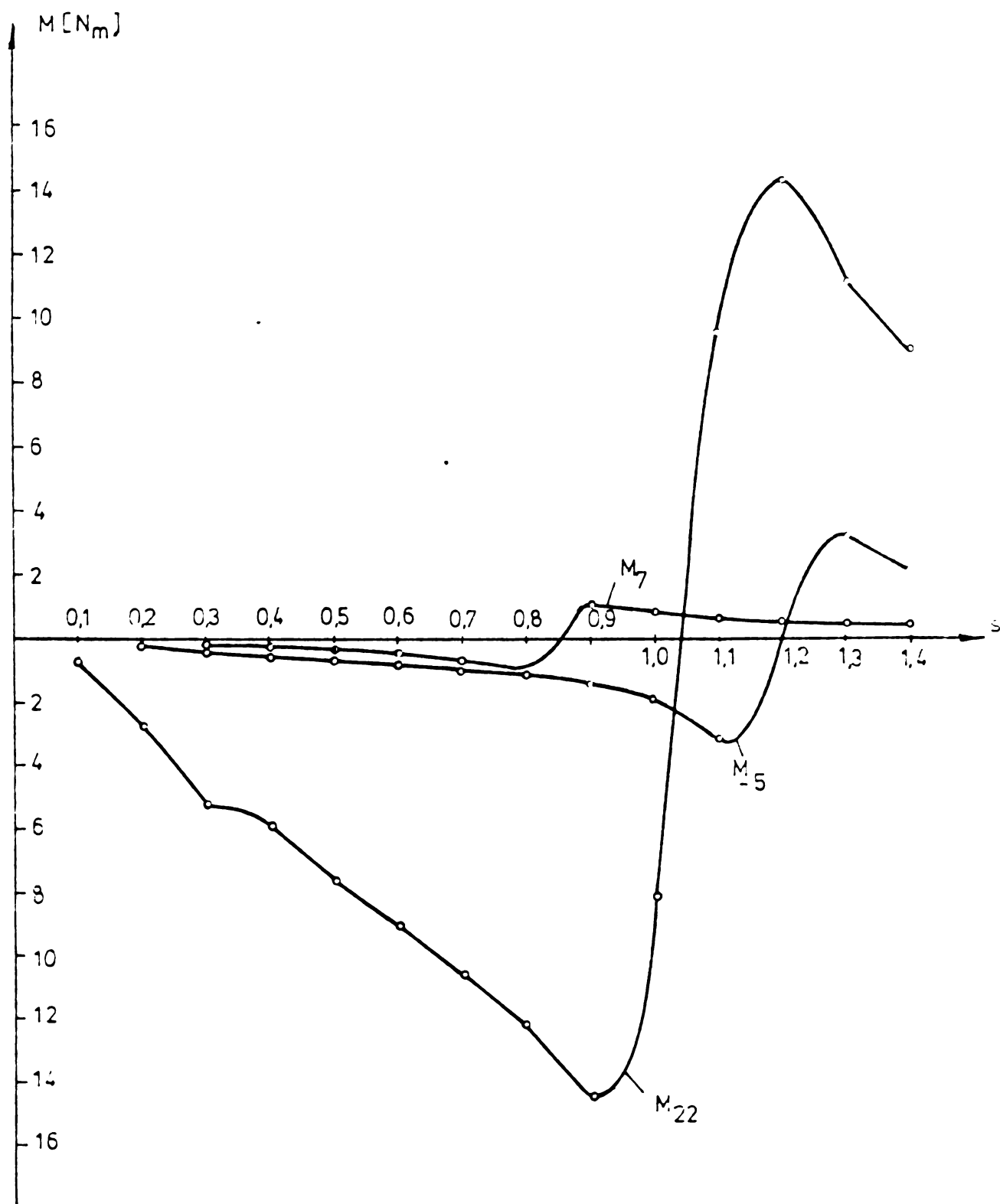


Fig.A4.7. Principalele cupluri parazite de tip asincron la masina

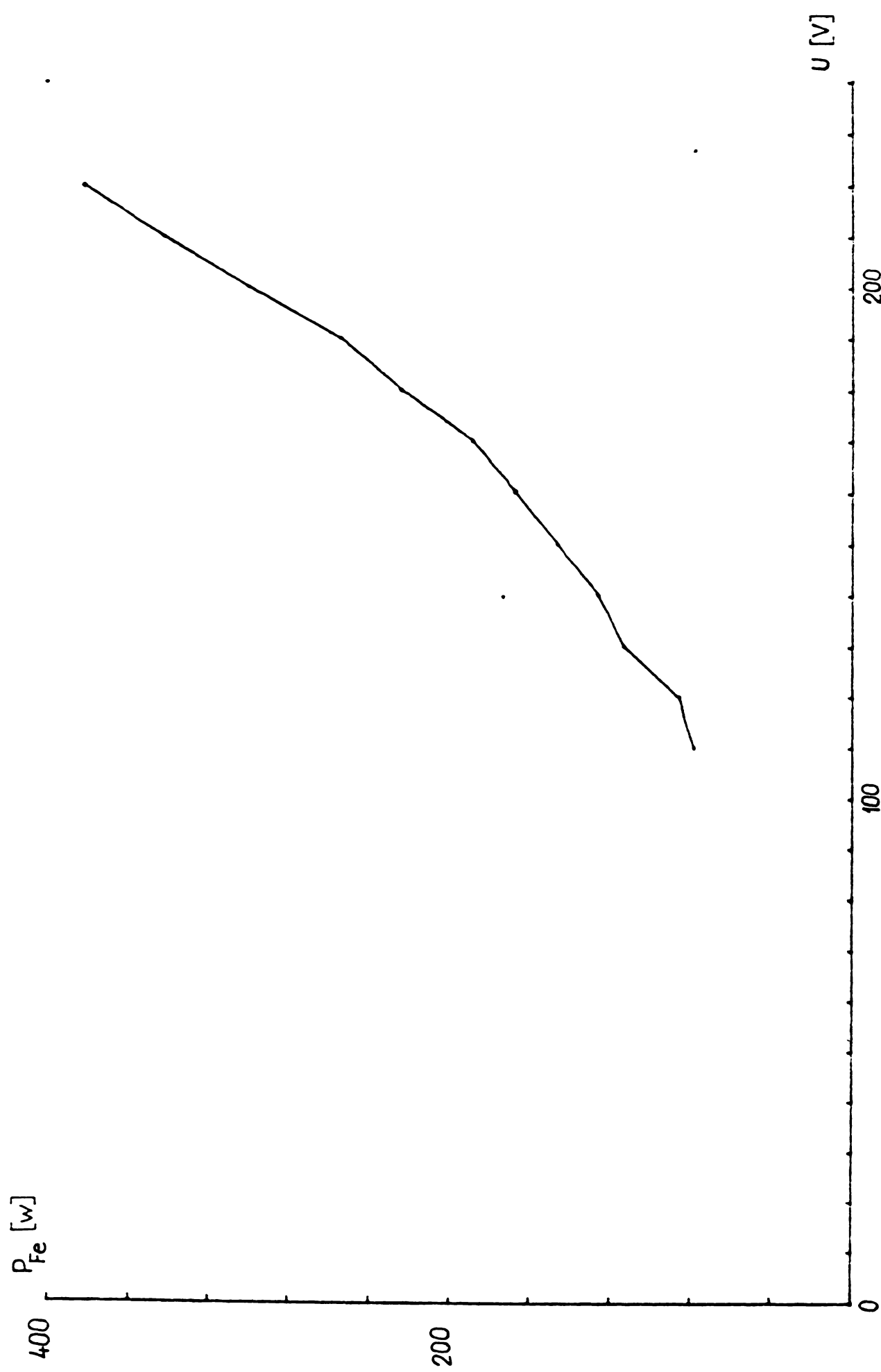


Fig.A5.1. Pierderile în fier în funcție de tensiunea la bornă la pagina 1, pentru alunecare zero.

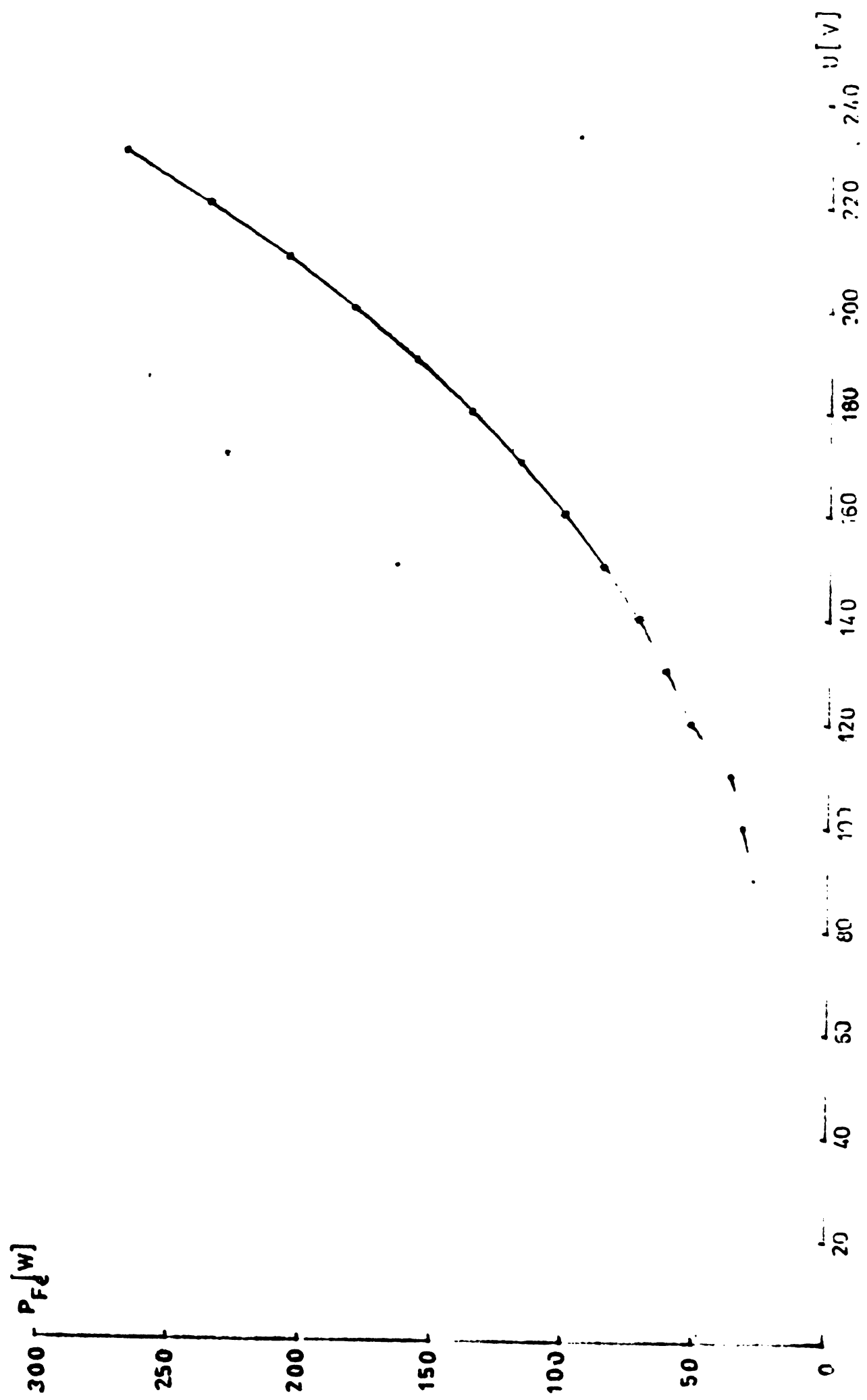


Fig.A5.2. Pierderile în fier în funcție de tensiunea la borne 1a și magne 2, pentru alunecare zero.

B I B L I O G R A F I E

- 1 Agarwal, P.D. Equivalent circuits and performance calculations of canned motors. AIEE Trans, PAS, 1960, p.635-642.
- 2 Alger, P.L. Induction machines. Their behaviour and uses. Second edition, Gordon and Breach Science Publishers, 1970.
- 3 Alger, P.L. Induced high-frequency currents in squirrel-cage windings. AIEE Trans, PAS, 1957, p.724-729.
- 4 Alger, P.L., West, H.R. The air gap reactance of polyphase machines. AIEE Trans, 1947, p.1331-1343.
- 5 Alger, P.L., Hamata, V. Subsynchronous motors. Acta Technica CSAV, 1972, p.307-316.
- 6 Alger, P.L., Angst, G., Davies, E.J. Stray-load losses in polyphase induction machines. AIEE Trans, PAS, Pt.III, 1959, p.349-355.
- 7 Ancel, J., Ivanès, M., Poloujadoff, M. Nature de la résistance de contact entre les barreaux et la tôlerie d'une cage en aluminium coulé. R.G.E., 1968, p.158-161.
- 8 Angot, A. Complemente matematice pentru ingineri.
E.T. Bucureşti, 1964.
- 9 Angst, G. Saturation factors for leakage reactance of induction motors with skewed rotors. IEEE Trans, PAS, 1963, p.716-725.
- 10 Barton, T.H., Dunfield, J.C. MMF harmonic effects in induction motors with phase-wound rotors. Proc. IEE, 1969, p.965-971.
- 11 Binns, K.J., Lawsonson, P.J. Analysis and computation of electric and magnetic field problems. Second edition, Pergamon Press, 1973.
- 12 Binns, K.J. Calculation of some basic flux quantities in induction and other doubly-slotted electrical machines. Proc. IEE, 1964, p.1847-1853.

- 13 Binns, K.J.,
Lyc, M.

Identification of principal factors causing unbalanced magnetic pull in cage induction motors. Proc. IEE, 1974, p.349-354.
- 14 Binns, K.J.,
Rowland-Rees, G.

Simple rules for the elimination of cogging torques in squirrel-cage induction motors. Proc. IEE, 1974, p.63-67.
- 15 Binns, K.J.,
Mindmarch, R.,
Short, B.P.

Effects of skewing slots on flux distribution in induction machines. Proc. IEE, 1971, p.543-549.
- 16 Birch, T.S.,
Butler, O.I.

Permeance of closed-slot bridges and its effect on induction-motor-current conduction. Proc. IEE, 1971, p.169-172.
- 17 Bird, B.M.

Measurement of stray load losses in squirrel-cage induction motors. Proc. IEE, 1964, p.1697-1705.
- 18 Burbidge, R.F.,
Fryett, M.L.

Synchronous and asynchronous torques in squirrel-cage induction motors. Proc. IEE, 1967, p.1665-1673.
- 19 Cahen, F.

Electrotechnique. Tome 4. Machines tournantes à courants alternatifs. Gauthier-Villars, Paris, 1964.
- 20 Carpenter, C.J.

The application of the method of images to machine end-winding fields. Proc. IEE, 1960, p.487-493.
- 21 Chalmers, B.J.,
• Dodgson, R.

Saturated leakage reactances of cage induction motors. Proc. IEE, 1969, p.1333-1340.
- 22 Chalmers, B.J.

A.C. Machine windings with reduced harmonic content. Proc. IEE, 1964, p.1859-1863.
- 23 Chalmers, B.J.,
Dodgson, R.

Waveshapes of flux density in polyphase induction motors under saturated conditions. IEEE Trans, PAS, 1971.
- 24 Chalmers, B.J.,
Karain, C.K.

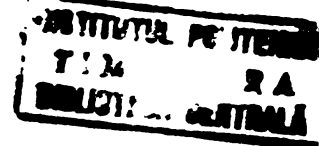
High-frequency no-load losses of cage induction motors. IEEE Trans, PAS, 1970, p.1041-1049.

- 25 Chavcrnoz, R. Etude expérimental des harmoniques dans les gros moteurs asynchrones. R.G.E., 1968, p.147-152.
- 26 Ciganek, L. Graphical solution of the locked-rotor magnetizing curve of the saturated induction motor. Acta Technica CSAV, 1973, p.402-417.
- 27 Ciganek, L. Air gap field under the saturated tooth of an induction motor. IEEE Trans, PAS, 1968, p.1913-1924.
- 28 Crigan, A., Biró, K., Viorel, I.A. Curs de magini electrice. Partea II. Magini rotative fără colector. Litografie I.P.Cluj-Napoca, 1973.
- 29 Danilevici, I.A.B., Dombrovski, V.V., Kazovski, E. Parametrii mașinilor de curent alternativ. E.T. București, 1968.
- 30 Das Gupta, A.K., Dash, P.K. Derivation of the basic constants of three-phase inductor alternators in terms of winding parameters. IEEE Trans, PAS, 1969, p.566-574.
- 31 Dordea, T. Mașini electrice. E.D.P. București, 1970.
- 32 Dordea, T. Beitrag zur Zweiachsentheorie der elektrischen Maschinen. A.f.E., 1966, p.362-371.
- 33 Dordea, T. Asupra cuplului electromagnetic al mașinilor electrice. "Studii și cercetări de energetică și electrotehnică", 1968, p.131-146.
- 34 Dordea, T., Novac, I. Considerare pierderilor în fier în parametrii operaționali ai mașinii sincrone. A doua conferință a electricienilor, București, sept. 1969.
- 35 Dordea, T. Influența efectului de refulare asupra parametrilor conductoarelor în formă de pană plasate în crestături. A III-a Conferință a electricienilor, secția VI, București, 21-23 sept. 1972.

- 36 Freeman, E.M. The calculation of harmonics, due to slotting, in the flux-density waveform of a dynamo-electric machine. Proc. IEE, 1962, p. 581-588.
- 37 Fuchs, E.F. Numerical determination of synchronous, transient and subtransient reactances of a synchronous machine. Ph.D.Thesis, U. of Colorado, 1970.
- 38 Ghicorghiul, I.S., Fransua, A.S. Tratat de magini electrice. Vol.III. Magini asincrone. Editura Academiei RSR, Bucuresti.
- 39 Heller, B. Der Einfluss der Nutung auf den Drehmomentverlauf des käfigankermotors. Acta Technica CSAV, 1964, p.517-541.
- 40 Heller, B., Hamata, V. Dopolnitelníie polia momentu i poteri možnosti v asinkronníih mažinah. Energija, Moscow, 1964.
- 41 Heller, B., Jokl, A.L. Tangential forces in squirrel-cage induction motors. IEEE Trans, PAS, 1969, p.484-492.
- 42 Heller, B., Jokl, A.L. Losses in squirrel-cage motors due to rotor skew. IEEE Trans, PAS, 1971, p.556-563.
- 43 Heller, B., Klima, V. Die sekundäre Ankerrückwirkung in Käfigankermotoren bei Anordnung von parallelen Zweigen in der Statorwicklung. Acta Technica CSAV, 1970, p.321-330.
- 44 Heller, B., Klima, V. Die sekundäre Ankerrückwirkung im Käfigankermotor. Acta Technica CSAV, 1969, p.369.
- 45 Konsinger, B. Theory of end-winding leakage reactances. AIEE Trans, Part III, 1959, p.417-436.
- 46 Ishizaki, A., Hirayama, K. Determination of equivalent circuit parameters for performance calculation of polyphase induction machines. Elect. Engg. Japan, 1967, p.71-79.

- 57 Ivenes, M.
Influence de la forme du champ magnétique dans l'entrefer et la résistance de contact des cages sur les pertes supplémentaires des machines à induction. R.G.B., 1963, p.368-376.
- 58 Jayawant, B.V.
Induction machines. Mc.Graw-Hill, 1968.
- 49 Klima, V.,
Heller, B.
Regeln zur Vermeidung von Ausgleichströmen im Dreieck, bzw. in parallelen Zweigen. Acta Technica CSAV, 1970, p.1-14.
- 50 Kostenko, M.,
Piotrovski, L.
Machines électriques. Tome II. Machines à courant alternatif. Editions Mir, 1969.
- 51 Krcisinger, V.,
Adam, J.
Computing of currents in windings of ferromagnetic circuits. Acta Technica CSAV, 1973, p.303-326.
- 52 Lengyel, Z.
Auszinkrón gép szórási reaktanciája áramfüggésének számítása. Elektrotechnika, 1972, p.294-302.
- 53 Lindsay, J.F.,
Barton, T.H.
Parameter identification for squirrel cage induction machines. IEEE Trans, PAS, 1973, p.1287-1292.
- 54 Lindsay, J.F.,
Barton, T.H.
A modern approach to induction machine parameter identification. IEEE Trans, PAS, 1972, p.1493-1499.
- 55 Liwschitz, M.M.
Leakage reactance of the squirrel cage rotor with respect to the stator harmonics and the equivalent circuit of the induction motor. AIEE Trans, 1947, p.1407-1408.
- 56 Liwschitz, M.M.,
Formhals, W.H.
Some phases of calculation of leakage reactance of induction motors. AIEE Trans, 1947, p.1409-1413.
- 57 Macfadyen, W.K.,
Simpson, R.R.S.,
Slater, R.D.,
Wood, J.S.
Representation of magnetisation curves by exponential series. Proc. IEE, 1973, p.902.
- 58 Nasar, S.A.
Electromechanical energy conversion in multi-winding double cylindrical structures in presence of space harmonics. IEEE Trans, 1963, p.1100-1106.

- 59 Nasar, S.A. Electromagnetic energy conversion. Devices and systems. Prentice-Hall, 1970.
- 60 Nicuhaus, W., Neppeler, R. Der Einfluss der Nutöffnungen auf den Drehmomentverlauf von Drehstrom-Asynchronmotoren mit Käfigläufer. ETZ-A, 1969, p.185-191.
- 61 Nicolaide, A. Mașini electrice. Vol. I și II. Ed. Scrisul Românesc, Craiova, 1975.
- 62 Oberretl, K. Über Sättigungsoberfelder in Induktionsmaschinen. E.u.M., 1961, p.285-294.
- 63 Oberretl, K. Die Oberfeldtheorie des Käfigmotors unter Berücksichtigung der durch die Ankerstrichwirkung verursachten Statoroberströme und der parallelen Wicklungszweige. A.E.B., 1965, p.343-364.
- 64 Oberretl, K. Field-harmonic theory of slip-ring motor taking multiple armature reaction into account. Proc. IEE, 1970, p.1667-1674.
- 65 Oberretl, K. Das zweidimensionale Luftspaltfeld einer Drehstromwicklung mit offen Läufen. A.E.B., 1970, p.371-381.
- 66 Oberretl, K. To the calculation of forces from the magnetic energy by virtual displacement. Acta Technica CSAV, 1976, p.184-196.
- 67 Odok, A.M. Stray-load losses and stray torques in induction machines. AIEE Trans, PAS, 1954, p.43-53.
- 68 Ozawa, A. Analysis of slot gaps by Schwarz-Christoffel transformation. Elect. Engng., Japan, 1967, p.8-18.
- 69 Popow, L.W. Die Theorie der Asynchronmaschine mit Käfigläufer unter Berücksichtigung der Ständer- und Läufernutzung. Elektric, 1971, p.344-345.
- 70 Pasdeloup, H. Calcul et mesure des pertes supplémentaires dans les moteurs asynchrones. R.G..., p.144-146.



- 71 Rădulet, R. Bazele electrotehnicii. Probleme. Vol.I. E.D.P. Bucureşti, 1970.
- 72 Richter, R. Maşini electrice. Vol.I. E.T.Bucureşti, 1958.
- 73 Richter, R. Maşini electrice. Vol.IV. E.T.Bucureşti, 1960.
- 74 Richter, R. Infăşurările maşinilor electrice. E.T. Bucureşti, 1958.
- 75 Simonyi, K. Electrotehnică teoretică. E.T.Bucureşti, 1974.
- 76 Stoia, D. Studiul cîmpului magnetic caracteristic turbogeneratoarelor sincrone. Rezumatul tezei de doctorat. I.P.Bucureşti, 1973.
- 77 Stuart, R.D. Introducere în analiza Fourier cu aplica-
tii în tehnică. E.T.Bucureşti, 1971.
- 78 Schuisky, W. Raschet electriceskikh masin. Energhia 1968.
- 79 Taegen, F., Hommes, E. Die Theorie des Käfigläufermotors unter Berücksichtigung der Ständer- und Läufer-
nutung. A.f.E., 1974, p.331-339.
- 80 Timotin, A., Hortopan, V. Lectii de bazele electrotehnicii. Vol.I. E.D.P. Bucureşti, 1962.
- 81 Trutt, F.C., Erdélyi, E.A., Hopkins, R.E. Representation of the magnetization cha-
racteristic of DC machines for computer use. IEEE Trans, PAS, 1968, p.665-669.
- 82 Tugulea, A. Reactanţa de dispersie şi rezistenţa în curent alternativ a laturilor de bobină situate în crestături eliptice. Studii şi cercetări de Energetică şi Electrotehnică Tom 16, nr. 2, 1966, p.221-235.
- 83 Vasiliievici, A. Influenţa saturării asupra reactanţelor de dispersie la maşini de inducţie. A doua conferinţă a electricienilor. Bucureşti, sept. 1969.

- 84 Veinott, C.G. Theory and design of small induction motors. Mc.Graw-Hill, 1959.
- 85 Veinott, C.G. Spatial harmonic magnetomotive forces in irregular windings and special connections of polyphase windings. IEEE Trans, PAS, 1964, p.1244-1253.
- 86 Wylie, C.R.Jr. Advanced engineering mathematics. Mc.Graw-Hill, 1960.
- 87 Viorel, I.A. Asupra calculului permeanței echivalente variabile a întrefierului mașinii de inducție. Buletinul științific I.P.C., 18, 1975, p.52-54.
- 88 Viorel, I.A. Cîmpul în întrefierul mașinii de inducție cu considerarea deschiderilor crestăturilor. Buletinul științific I.P.C.N., 19, 1976, p.49-50.
- 89 Viorel, I.A., Ignat, I. Calculul curentilor și a cuplurilor parazite la mașina de inducție. Probleme actuale de informatică și conducere. Comunicările sclective alc celui de al III-lea Simpozion de informatică, 11-18 mai 1977, Cluj-Napoca și Satu-Mare, Ed.Dacia 1977, p.340-345.
- 90 Viorel, I.A. Asupra calculului inductivității de disperzie a părții de infășurare plasată în crestătură la mașina de inducție. Al IV-lea Simpozion de Informatică și Conducere Cluj-Napoca, 10-13 mai 1978.